

UNIVERSIDADE DE SÃO PAULO

ESCOLA DE ENGENHARIA DE SÃO CARLOS

DEPARTAMENTO DE ENGENHARIA ELÉTRICA

E DE COMPUTAÇÃO

Sistema Automatizado de Produção de Cerveja,

Monitorado e Controlado Remotamente

Autor: Leonardo Graboski Veiga

Orientador: Prof. Dr. Evandro Luis Linhari Rodrigues

São Carlos

2015

Leonardo Graboski Veiga

Sistema Automatizado de Produção de Cerveja, Monitorado e Controlado Remotamente

Trabalho de Conclusão de Curso apresentado
à Escola de Engenharia de São Carlos, da
Universidade de São Paulo

Curso de Engenharia Elétrica

ORIENTADOR: Prof. Dr. Evandro Luis Linhari Rodrigues

São Carlos

2015

Página com a ficha catalográfica (em página par).

página com a folha de aprovação (página ímpar).

Dedicatória

Dedico este trabalho aos meus pais.

Leonardo Graboski Veiga.

Agradecimentos

Tenho convicção de que quem somos pode ser sintetizado pela soma das interações sociais que acumulamos com o passar dos anos. É por isso que agradeço a todos que passaram por minha vida — cada um de vocês é parte daquilo que hoje sou. Não obstante, alguns nomes em específico devem ser lembrados.

Agradeço à minha família pelo suporte incondicional: aos meus genitores Dirce Graboski e Gustavo Veiga, pela vida e por tudo aquilo que se sucedeu desde então; à minha avó Sofia Karachinski e o meu avô Victor Graboski, que me ensinaram que as virtudes e a inteligência de um ser humano vão muito além do estudo; aos meus padrinhos Luis Fernando Busnardo e Cinderela Busnardo, com os quais me diverti e aprendi um bocado; às minhas tias Inez Graboski e Glaci Edwiges Graboski, que foram minhas segundas mães durante a maior parte da minha vida; aos meus primos e primas André Luiz Graboski, Felippe Busnardo, Ana Paula Busnardo e Maria Fernanda Busnardo e; à esposa do meu pai, Elisabete Veiga.

Agradeço aos meus amigos de Curitiba pelas inúmeras situações que compartilhamos: Albert Faria, Pedro Henrique Bertolin, Douglas Auchewski, Eduardo Henrique Fasolin, Isabela Deolindo, Lucas Lupatini, Pamella Prohmann, Massimo Karly, Moacir Costa Filho, Lucas Vieira e Paulo Jacques Filho, dentre vários outros não menos importantes. Desde os tempos do Santa Maria e, posteriormente da UTFPR, até os dias de hoje, nunca aceitaram ver senão alegria em meus olhos, motivando o meu desenvolvimento técnico e pessoal.

Agradeços aos meus amigos de São Carlos pela caminhada que fizemos juntos ao longo destes anos de faculdade: Rafael Hellman, com quem dividi não somente moradia, mas também as dificuldades da engenharia e muitos momentos de festa entre uma prova e outra; Rafael Oishi, Vitor Martins e Gabriel Moreira, da Rep Hot Chili Peppers, minha segunda casa sancarlense; Renato Nunes Moraes e Renata de Camilo, pelo duradouro companheirismo e; a todos os outros amigos e colegas de classe que compartilharam experiência e conhecimento em prol de atingir um objetivo coletivo almejado por todos, chamado graduação.

Agradeço aos meus professores: em especial ao meu professor orientador Prof. Dr. Evandro Luis Linhari Rodrigues, que me incentivou a sempre buscar o melhor e me apresentou ao incrível mundo do Linux embarcado.

Não menos importantes, agradeço àqueles que contribuíram para o resultado final que é este trabalho de conclusão de curso, dentre os quais o Rui Bertho, responsável pela oficina mecânica do departamento. E a todos os outros que porventura eu tenha esquecido por um lapso de memória, mas não por falta de merecimento.

Leonardo Graboski Veiga.

*"O sucesso é ir de fracasso em fracasso
sem perder o entusiasmo."*

Winston Churchill

Resumo

Este trabalho consistiu na implementação de um sistema elétrico automatizado de produção de cerveja, baseado na plataforma de Linux embarcado BeagleBone Black. Inicialmente foi realizado o estudo do processo produtivo da cerveja, com foco no cozimento do mosto, lavagem dos grãos, fervura e resfriamento do mosto. A BeagleBone Black foi escolhida para a implementação do controle do sistema, interface web de usuário e comunicação com a internet, em função do emprego do Linux embarcado e dos seus recursos de hardware: até 65 pinos de GPIO, 8 PWMs, 7 entradas analógicas e 1 unidade programável de tempo-real. Com relação à programação do servidor, foi empregada a linguagem de programação JavaScript, interpretada pelo ambiente Node.js. Para a interface entre o sistema embarcado e a parte mecânica foi desenvolvido um circuito de acionamentos de potência com optoacopladores, transistores MOSFET e relés de estado sólido. Foram empregados sensores digitais DS18B20 para monitoramento e realimentação do sistema de controle de temperatura: um controle liga-desliga com quatro níveis de potência de saída (0%, 33%, 66% e 100%) e janela de tempo de 1 segundo de duração. Os elementos atuadores foram dois resistores específicos para esta função, cuja potência máxima projetada para cada um foi de 2200W em 110Vac.

Como resultados, foram realizados testes da interface gráfica de usuário em um computador e em um smartphone, para os quais foi concluído que, embora a interface seja funcional para ambos os casos, o design somente mantém sua integridade na tela do computador. A comprovação do algoritmo de automação foi realizada por meio da interface de usuário, empregando uma receita de cerveja desenvolvida para propósito de simulação, e de um script em Python, simulando o sensor de temperatura. O funcionamento do circuito de acionamentos de potência foi comprovado visualmente em bancada, com o emprego de LEDs ligados às saídas e controle manual do sistema, com exceção do acionamento do servo-motor, para o qual foi usado um osciloscópio, no intuito de observar o sinal de controle PWM. O funcionamento da estrutura mecânica foi o último teste realizado — um teste de integração, somente

com água, no qual observou-se que este é capaz de cumprir os requisitos para produção de cerveja. Em síntese, este teste possibilitou a validação de todas as partes do projeto operando em conjunto.

Pode-se concluir que, embora o sistema desenvolvido cumpra às especificações do projeto, possibilitando o controle automático e supervisão de uma brassagem pela internet, diversos fatores não contemplados neste projeto são essenciais para transformá-lo efetivamente em um produto. Dentre eles a ergonomia, a facilidade de manutenção, a adição de sistemas supervisores de redundância, maior preocupação com segurança e eficiência energética, além da adequação da parte mecânica às normas sanitárias porventura exigidas pelas suas respectivas agências reguladoras. Apesar dos pontos de melhorias apontados para trabalhos futuros e, em função dos recursos disponíveis para a elaboração e execução do projeto, este foi considerado um sucesso dados os resultados apresentados.

Palavras-Chave: BeagleBone, Black, Node.js, controlador, brassagem, cerveja, automatizado, SBC, web, internet, remoto.

Abstract

This work had consisted in the implementation of an automated electric brewing system, based on the BeagleBone Black embedded Linux platform. First, a study of the beer brewing process was made, focused in the mash, sparging, boil and chilling of the wort. The BeagleBone Black was chosen to implement the control system, web user interface and internet communication, due to the embedded Linux and its hardware resources: up to 65 GPIO pins, 8 PWMs, 7 analog inputs, 1 programmable realtime unit. For the server-side programming, the Javascript language was chosen, interpreted by the Node.js environment. For the interface between the embedded system and the mechanical structure, a power drive circuit was designed, by using optocouplers, MOSFET transistors and solid-state relays. Digital sensors DS18B20 were employed as monitoring and feedback devices to the temperature control system: an on-off control with four output power levels (0%, 33%, 66% e 100%) and a time window of 1 second. The actuators were two specific resistors, to which the maximum power was 2200W at 110Vac.

As results, the graphical user interface was tested both on a computer and a smartphone screen, and it was concluded that although the interface is functional for both scenarios, the design only keeps its integrity on the computer screen. The automation algorithm validation was tested by the user interface, while running a beer recipe tailored for simulation purposes and a Python script to simulate the temperature sensor. The power drive circuit bench test was approved by means of a visual inspection, with LEDs coupled to the outputs and manual control of the system; although for the servo-motor an oscilloscope was used to observe the PWM control signal. The mechanical structure operation was the last test — an integration test, with water only, in which it was observed that the system is capable of fulfilling the requisites to brew beer. In synthesis, this test allowed for the validation of all the project parts operating together.

It can be concluded that, even though the developed system complies to the project spe-

cification, by allowing the automatic brewing online control and supervision via web, many factors not contemplated in this project are essential to transform it into a product. Among them are ergonomics, easiness of maintenance, redundancy supervisor systems, higher concerns regarding safety and energy efficiency, and the mechanical system compliance to health standards possibly required by its respective regulatory agencies. Although there are many improvements pointed out to future works and, because of the restricted resources available for the project design and execution, it was considered a success given the presented results.

Keywords: BeagleBone, Black, Node.js, controller, brewing, beer, automated, SBC, web, internet, remote.

Lista de Figuras

1.1	Número de cervejarias norte-americanas por categoria.	36
1.2	Cronograma do Trabalho de Conclusão de Curso	40
2.1	Programa de temperaturas típico de uma brassagem.	45
2.2	Dispositivos de mistura de grãos à brassagem.	47
2.3	Esquema de panela de brassagem industrial moderna.	48
2.4	Esquema de panela de mistura do mosto.	49
2.5	Diferentes configurações de caldeirões de fervura.	51
2.6	Arranjo para recuperação de energia.	53
2.7	Sistemas de clarificação.	54
2.8	Esquema de funcionamento do trocador de calor de placas.	55
2.9	BeagleBone Black e principais componentes	57
2.10	Diagrama de blocos de alto nível da BeagleBone Black	59
2.11	Configuração padrão dos pinos da BeagleBone Black	59
2.12	Diagrama de blocos do subsistema PRU-ICSS	60
2.13	Pinos da BeagleBone Black acessíveis pela PRU-ICSS	61
2.14	Fluxo de desenvolvimento de software da PRU	64
2.15	Sinal senoidal em função do tempo	72
2.16	Representação esquemática do diodo polarizado diretamente	73
2.17	Definição do circuito equivalente linear, usando-se segmentos de reta para aproximar a curva característica	74
2.18	Notações e símbolos utilizados para a configuração base-comum	75
2.19	Símbolos do JFET e do MOSFET	76
2.20	Obtendo a curva de transferência das curvas de dreno de um JFET	77
2.21	Arquitetura interna do DS18B20	78
2.22	Mapa de memória do DS18B20	79

2.23 Registradores de temperatura do DS18B20	79
4.1 Representação esquemática da estrutura mecânica	86
4.2 Sistema CIP básico	88
4.3 Diagrama conceitual das conexões mecânicas	90
4.4 Diagrama da panela de mostura e conexões	91
4.5 Detalhes da vedação da panela de mostura	91
4.6 Projeto da estrutura metálica	92
4.7 Dimensões da estrutura de adição de lúpulos	94
4.8 Corpo da estrutura de adição de lúpulos	94
4.9 Tampas da estrutura de adição de lúpulos	95
4.10 Esquema de ligação das varetas à tampa de correr	95
4.11 Estrutura de adição de lúpulos	96
4.12 Servo-motor desmontado	97
4.13 Circuito de caracterização do servo-motor	98
4.14 Últimas imagens pré-compiladas disponíveis para a BBB	100
4.15 Configuração do <i>Putty</i> para acesso SSH via USB	101
4.16 Tentativa de login bem sucedida pelo <i>Putty</i>	101
4.17 Acesso à BBB via SSH	102
4.18 Leitura do sensor DS18B20 pelo terminal	105
4.19 Estrutura de diretórios da aplicação da BBB	106
4.20 Ambiente completo do IDE <i>Cloud9</i>	110
4.21 Criação de repositório no <i>GitHub</i>	111
4.22 Fazendo git commit após mudanças incrementais	112
4.23 Arquivo CSV com registro de temperaturas gerado em Python	114
4.24 Gráfico com 7200 pontos gerado em Python	116
4.25 Geração de gráfico em Python múltiplas vezes para obter o tempo médio	117
4.26 Exemplo de uso do módulo <i>Debug</i>	119
4.27 Resultado de chamada de função sem criação de escopo x com criação de escopo	124
4.28 Representação em fluxograma do algoritmo de implementação da função <i>getTemperatureReading</i>	130

4.29 Representação em fluxograma do algoritmo de implementação da função <i>re-</i> <i>arrange</i>	144
4.30 Representação em fluxograma do algoritmo de implementação da função <i>er-</i> <i>rorWarningHandler</i>	145
4.31 Módulo do circuito de acionamentos de potência	147
4.32 Módulo do circuito de acionamento do servo-motor	148
4.33 Circuito detector de passagem por zero da senóide da rede	150
5.1 Resultado da simulação do módulo de acionamentos de potência com carga simulando a bomba de recirculação	152
5.2 Resultado da simulação do módulo de acionamentos de potência com carga simulando uma válvula solenóide	153
5.3 Resultado da simulação do módulo de acionamentos de potência com carga simulando o SSR	153
5.4 Ensaio do módulo de acionamentos de potência com $R_{porta} = 10k\Omega$	154
5.5 Ensaio do módulo de acionamentos de potência com $R_{porta} = 22k\Omega$	154
5.6 Ensaio do módulo de acionamentos de potência com SSR ligado à saída	155
5.7 Ensaio do módulo de acionamentos de potência com válvula solenóide ligada à saída	155
5.8 Implementação do módulo de acionamentos de potência em placa de protótipo	156
5.9 Resposta ao degrau do acionamento da válvula solenóide	157
5.10 Resposta ao degrau do acionamento da válvula solenóide, em close	157
5.11 Instabilidade da frequência da rede em função do tempo	158
5.12 Acionamento do SSR em diferentes instantes da senóide da rede	159
5.13 Resultado da simulação do módulo de acionamentos de potência com carga simulando o servo-motor	160
5.14 Comportamento da corrente de alimentação do servo-motor durante operação sem carga	160
5.15 Comportamento da corrente de alimentação do servo-motor durante operação com carga	161
5.16 Teste do servo-motor com carga	161
5.17 Comportamento da corrente de alimentação do servo-motor ao aplicar um torque ao seu eixo	162

5.18	Descrição da simulação do circuito detector de <i>zero-crossing</i>	162
5.19	Comportamento do circuito detector de <i>zero-crossing</i> para diferentes valores de atenuação da senóide retificada	163
5.20	Verificação do comportamento do circuito detector de <i>zero-crossing</i> para diferentes valores de R2	163
5.21	Saída do circuito detector de <i>zero-crossing</i> para diferentes valores de tensão de alimentação	164
5.22	Curvas de tensão, corrente e potência sobre o resistor de potência do circuito detector de <i>zero-crossing</i>	165
6.1	Distribuição temporal das macrotarefas do semestre	167
F.1	Forma de onda de acionamento do servo-motor	281
F.2	Limites de excursão do servo-motor	282
F.3	Simulação para obtenção do valor mínimo de incremento Δt	283
F.4	Gráfico de Δt em função de <i>ciclo</i>	283

Listas de Tabelas

1.1	Atividades propostas do Trabalho de Conclusão de Curso	39
2.1	Características de diferentes sistemas de fervura.	52
2.2	Especificações Gerais da BeagleBone Black	58
2.3	Mapa de Memória Local da PRU	62
2.4	Mapa de Memória Global da PRU	63
2.5	Descrição dos campos do registrador de controle de <i>pads</i>	67
2.6	Lista de pinos do <i>header</i> P8 e seus respectivos modos de funcionamento	67
2.7	Lista de pinos do <i>header</i> P9 e seus respectivos modos de funcionamento	68
3.1	Lista de materiais que compõem o núcleo do projeto	81
3.2	Lista de materiais utilizados na confecção do subsistema mecânico	82
3.3	Lista de componentes eletrônicos diversos empregados na confecção de PCBs e cabeamento do sistema	83
3.4	Lista de equipamentos, instrumentos e <i>softwares</i> de suporte ao desenvolvimento do projeto	84
3.5	Lista insumos cervejeiros para produção de cerveja do tipo <i>Blond Ale</i>	84
4.1	Dimensões elementos mecânicos relevantes para o projeto da altura da estrutura metálica	92
4.2	Lista de diretórios e arquivos da aplicação da BBB	107
4.3	Estatísticas referentes ao tempo de geração de gráfico na BBB, para 7200 pontos em Python	117
4.4	Correspondência entre o valor numérico e o significado dos códigos usados para registro da brassagem	133
4.5	Parâmetros de receita de cerveja utilizados para <i>debug</i>	138
4.6	Parâmetros de receita de cerveja utilizados para <i>debug</i>	140

5.1	Tensões de operação da válvula solenóide	156
5.2	Largura do pulso que indica passagem por zero em função do valor de R2 . . .	164
F.1	Limites de temporização do servo-motor TowerPro MG995	284
II.1	Registradores do módulo de controle	311

Listas de Códigos-fonte

2.1	Sobreposição de <i>device tree</i>	66
2.2	Implementação incorreta de código em Node.js	69
2.3	Implementação de código em Node.js orientada a callback	70
2.4	Instalação de pacote usando o NPM	70
2.5	Descrição e dependências de um projeto usando NPM	70
2.6	Instalação de dependências usando o NPM	70
4.1	Passos para configuração do Wi-Fi	102
4.2	Configuração para reset do Wi-Fi após o boot	102
4.3	Instalação e configuração do NTP	103
4.4	Servidores brasileiros do NTP	103
4.5	Instalação do DTC	104
4.6	Fragmento de device tree para o DS18B20	104
4.7	Compilação de <i>device tree</i>	104
4.8	Reinicialização do servidor web Apache	105
4.9	Primeira tentativa de instalação do <i>Cloud9 IDE core</i> na BBB	108
4.10	Instalação bem sucedida do <i>Cloud9 IDE core</i> na BBB	109
4.11	Execução do <i>Cloud9</i>	109
4.12	Instalação do <i>Git</i> e cópia do repositório do <i>GitHub</i> para a BBB	111
4.13	Primeiro <i>git commit</i>	112
4.14	Função de <i>log</i> da temperatura em Python	113
4.15	Script para gravação das leituras de temperatura em Python	114
4.16	Instalação da biblioteca Matplotlib	114
4.17	Instalação do ecossistema SciPy	115
4.18	Importação das bibliotecas para geração de gráfico em Python	115
4.19	Instalação e/ou atualização do Node.js	117

4.20	Criação do diretório <i>/var/www/node_modules</i>	118
4.21	Instalação do módulo <i>Debug</i>	118
4.22	Exemplo de uso do módulo <i>Debug</i>	118
4.23	Instalação do Octalbonescript	120
4.24	Modificações feitas ao template de <i>device tree</i> do Octalbonescript	120
4.25	Criação de objetos para os elementos do sistema em Node	121
4.26	Uso de clausura para criação de escopo	123
4.27	Instalação dos módulos necessários para implementar o servidor web em Node.js	124
4.28	Configuração do PHP-express	125
4.29	Configuração do servidor web com o <i>framework</i> Express.js	125
4.30	Exemplo de uso dos argumentos <i>req</i> e <i>res</i> definidos pelo Express.js	127
4.31	Declaração do objeto <i>environmentVariables</i>	131
4.32	Uso da função <i>JSON.stringify</i> para codificar um objeto em string JSON	132
4.33	Função que passa a URL da página atual para um módulo em PHP	139
4.34	Instalação da biblioteca D3.js e do framework Rickshaw	141
B.1	Módulo com as funções para <i>log</i> da temperatura	177
B.2	Script para plotagem de gráfico	180
C.1	Código-fonte raiz da aplicação em Node.js	183
C.2	Módulo de gerenciamento de GPIO e PWM	185
C.3	Módulo de roteamento do servidor web	190
C.4	Módulo de registros e verificações em geral	193
C.5	Código-fonte raiz da aplicação em Node.js	200
D.1	Módulo PHP que cria a barra de navegação da interface web	213
D.2	Função que passa a URL da página atual para um módulo em PHP	214
D.3	Página inicial da interface web	215
D.4	Página <i>sobre</i> da interface web	215
D.5	Página de estatísticas	216
D.6	Gráfico dinâmico de temperatura	218
D.7	Página gerenciadora de receitas da interface web	226
D.8	Funcões auxiliares do gerenciador de receitas	229
D.9	Código HTML do editor de receitas	230
D.10	Código PHP do editor de receitas	238

D.11	Código javascript do editor de receitas	249
D.12	Gerenciador de brassagem	251
D.13	Painel de controle de brassagem	255
D.14	CSS do formulário	261
D.15	CSS específico para alguns botões	264
D.16	CSS do template da aplicação web	265
E.1	/etc/network/interfaces	277
E.2	w1.dts	278
F.1	Código-fonte de caracterização do funcionamento do servo-motor com AT89S52284	

Siglas

ABV	<i>Alcohol by Volume</i> - Porcentagem do volume de álcool na cerveja
API	<i>Application Programming Interface</i> - Interface de Programação de Aplicação
BBB	BeagleBone Black
BJT	<i>Bipolar Junction Transistor</i> - Transistor Bipolar de Junção
BK	<i>Brewing Kettle</i> - Panela de Fervura
CI	Círculo Integrado - equivalente a IC (<i>Integrated Circuit</i>) e muitas vezes referido como <i>chip</i> .
CIP	<i>Clean in Process</i> - Limpeza no Local, é a limpeza automatizada dos equipamentos
CRC	<i>Cyclic Redundancy Check</i> - Verificação de Redundância Cíclica
DDP	Diferença de potencial
DT	<i>Device Tree</i> - Uma estrutura de dados em árvore usada para descrever <i>hardware</i>
DTC	<i>Device Tree Compiler</i> - Compilador de <i>Device Tree</i>
FET	<i>Field Effect Transistor</i> - Transistor de Efeito de Campo
GMT	<i>Greenwich Mean Time</i> - Hora Média de Greenwich
GPIO	<i>General Purpose Input/Output</i> - Entrada/Saída de Propósito Geral
GUI	<i>Graphical User Interface</i> - Interface Gráfica de Usuário
HID	<i>Human Interface Device</i>
HLT	<i>Hot Liquor Tank</i> - Tanque de Água Quente
IBU	<i>International Bitterness Unit</i> - Unidade de Amargor Internacional
IDE	<i>Integrated Development Environment</i> - Ambiente de Desenvolvimento Integrado
IEP	<i>Industrial Ethernet Peripheral</i> - Periférico Ethernet Industrial
IoT	<i>Internet of Things</i> - Internet das Coisas
LSB	<i>Least Significant Bit</i> - Bit Menos Significativo
MOSFET	<i>Metal-Oxide Semiconductor Field Effect Transistor</i> - Transistor de Efeito de Campo Metal-Óxido Semicondutor

LT	<i>Lauter Tun</i> - Panela de Filtragem
MSB	<i>Most Significant Bit</i> - Bit Mais Significativo
MT	<i>Mash Tun</i> - Panela de Mostura
NPM	<i>Node Package Manager</i> - Gerenciador de Pacotes do Node
OG	<i>Original Gravity</i> - Gravidade Original. É a densidade do mosto após o cozimento dos grãos
PID	<i>Proportional-Integral-Derivative-Controller</i> - Controlador Proporcional Integral Derivativo
PCB	<i>Printed Circuit Board</i> - Placa de Circuito Impresso. Embora PCI seja a abreviação em português, o termo PCB foi escolhido para uso no intuito de não confundir o leitor com o barramento de computadores <i>Peripheral Component Interconnect</i>
REST	<i>Representational State Transfer</i> - Transferência de Estado Representacional
RISC	<i>Reduced Instruction Set Computer</i> - Computador com um conjunto reduzido de instruções
SaaS	<i>Software as a Service</i> - Software como um Serviço
SO	<i>Sistema Operacional</i> - também conhecido como OS (<i>Operating System</i>)
SoC	<i>System on Chip</i> - Sistema em um Chip
SBC	<i>Single Board Computer</i> - Computador de Placa Única
SDK	<i>Software Development Kit</i> - Kit de Desenvolvimento de Software
SSH	<i>Secure Shell</i> - Protocolo de comunicação entre computadores
UI	<i>User Interface</i> - Interface de Usuário
UTC	<i>Universal Time Coordinated</i> - Tempo Universal Coordenado
VCS	<i>Version Control System</i> - Sistema de Controle de Versão

Sumário

1	Introdução	35
1.1	Motivação	35
1.2	Objetivos	37
1.2.1	Cronograma	38
1.3	Justificativas/relevância	40
1.4	Organização do Trabalho	41
2	Embasamento Teórico	43
2.1	Processo de Produção de Cerveja	43
2.2	Estrutura mecânica	46
2.2.1	Panela de mostura	47
2.2.2	Caldeirão de fervura	49
2.2.3	Adição de lúpulos	53
2.2.4	Clarificação e resfriamento do mosto	53
2.3	BeagleBone Black	56
2.3.1	<i>Programmable Real-time Unit – PRU-ICSS</i>	59
2.3.2	<i>Device Tree</i>	64
2.4	Programação em Node.js (Javascript)	68
2.4.1	<i>Node Package Manager - NPM</i>	70
2.4.2	<i>MEAN Stack</i>	71
2.4.3	Servidor Express.js	71
2.5	Circuitos de Interface	72
2.5.1	Sinais	72
2.5.2	Dispositivos Semicondutores	73
2.5.3	Sensor de temperatura DS18B20	77

2.6	Sistema de controle de temperatura	80
2.6.1	Controlador PID	80
2.6.2	Interface com sensores e atuadores	80
3	Materiais	81
3.1	Núcleo do projeto	81
3.2	Sistema mecânico	81
3.3	Componentes eletrônicos	82
3.4	Equipamentos, instrumentos, <i>softwares</i> e miscelânea	83
3.5	Insumos cervejeiros	84
4	Métodos	85
4.1	Estrutura mecânica	85
4.1.1	Funcionamento da estrutura	85
4.1.2	Dimensionamento da parte funcional	88
4.1.3	Estrutura metálica de suporte	91
4.2	Estrutura de adição de lúpulos	93
4.2.1	Controle do servo-motor	97
4.3	Configuração da BeagleBone Black	98
4.3.1	Ajustes de rede para uso do adaptador Wi-Fi/USB	101
4.3.2	Data/hora	103
4.3.3	Sensor DS18B20	104
4.3.4	Webserver Apache	105
4.4	Organização do diretório da aplicação	105
4.5	IDE e sistema de controle de versão	108
4.5.1	<i>Cloud9</i>	108
4.5.2	<i>Git/GitHub</i>	110
4.6	Geração de gráfico e registro de temperatura em Python	112
4.6.1	Registro de temperatura	112
4.6.2	Gráfico de temperatura	114
4.7	Aplicação <i>server-side</i> em Node.js	117
4.7.1	Acesso a GPIO e PWM	119
4.7.2	Servidor Express.js	124
4.7.3	Registros e verificações em geral	128

4.7.4	Controle do processo de brassagem	133
4.7.5	Simulação do controle do processo de brassagem	137
4.8	Interface de usuário	138
4.8.1	Aspectos gerais da GUI	138
4.8.2	Boas vindas e informações do projeto	140
4.8.3	Configurações gerais da BBB	140
4.8.4	Estatísticas e gráfico dinâmico	140
4.8.5	Gerenciador de receitas	142
4.8.6	Editor de receitas	142
4.8.7	Gerenciador de brassagem	145
4.8.8	Painel de controle de brassagem	146
4.9	Circuitos de interface entre a BBB e sensores/atuadores	146
4.9.1	Acionamentos de potência	146
4.9.2	Detector de <i>zero-crossing</i>	148
5	Resultados e Discussões	151
5.1	Estrutura mecânica	151
5.2	Estrutura de adição de lúpulos	151
5.3	Configuração da BeagleBone Black	151
5.4	Organização do diretório da aplicação	151
5.5	IDE e sistema de controle de versão	151
5.6	Geração de gráfico e registro de temperatura em Python	151
5.7	Aplicação <i>server-side</i> em Node.js	151
5.8	Interface de usuário	151
5.9	Circuitos de interface entre a BBB e sensores/atuadores	151
5.9.1	Acionamentos de potência	152
5.9.2	Servo-motor	159
5.9.3	Detector de <i>zero-crossing</i>	162
5.10	Sistema de controle de temperatura	165
6	Conclusão ou Conclusões	167
A	Códigos-fonte da interface de usuário	175
B	Scripts Python	177

B.1	Módulo com as funções para <i>log</i> da temperatura	177
B.2	Script para plotagem de gráfico	180
C	Códigos-fonte Node.js	183
C.1	Código-fonte raiz da aplicação em Node.js	183
C.2	Módulo de gerenciamento de GPIO e PWM	185
C.3	Módulo de roteamento do servidor web	190
C.4	Módulo de registros e verificações em geral	193
C.5	Módulo de controle do processo de brassagem	200
D	Códigos-fonte da aplicação web	213
D.1	Módulo PHP que cria a barra de navegação da interface web	213
D.2	Função que passa a URL da página atual para um módulo em PHP	214
D.3	Página inicial	215
D.4	Página <i>sobre</i>	215
D.5	Página de estatísticas	216
D.6	Gráfico dinâmico de temperatura	218
D.7	Página gerenciadora de receitas da interface web	226
D.8	Funcões auxiliares do gerenciador de receitas	229
D.9	Código HTML do editor de receitas	230
D.10	Código PHP do editor de receitas	238
D.11	Código javascript do editor de receitas	249
D.12	Gerenciador de brassagem	251
D.13	Painel de controle de brassagem	255
D.14	CSS do formulário	261
D.15	CSS específico para alguns botões	264
D.16	CSS do template da aplicação web	265
E	Arquivos de configuração do sistema	277
E.1	Arquivo de configuração de rede	277
E.2	Device Tree para o DS18B20	278
F	Caracterização do funcionamento do servo-motor com AT89S52	281
F.1	Simulação e ensaio em bancada	281
F.2	Código-fonte	284

G Cálculo de OG e IBU de uma receita de cerveja	289
G.1 Estimação do IBU para uma receita de 20l	290
H Análise do tempo de leitura do sensor DS18B20 em Python	293
I Diagrama esquemático do circuito de acionamentos de potência	295
I Diagrama de conexões elétricas da BeagleBone Black	299
II Registradores do Módulo de Controle	311
III Válvula Danfoss EV210BD 032U3620	317
IV Bobina Danfoss 042N7550	325
V Bomba centrífuga Topsflo B08H121006	329
VI Transistor IRF540N	331
VII Servo-motor TowerPro MG995	335

Capítulo 1

Introdução

O objetivo deste Trabalho de Conclusão de Curso é o projeto de um sistema elétrico automatizado de produção de cerveja, monitorado e controlado remotamente. A plataforma de Linux embarcado BeagleBone Black foi escolhida para ser o núcleo de processamento de dados, cuja linguagem de programação escolhida foi o Javascript em conjunto com o interpretador Node.js; comunicação via *web* desenvolvida em HTML, CSS, Javascript e PHP e; controle do processo, de tal modo que foi necessário projetar circuitos de interface entre a placa e os sensores e atuadores do sistema.

1.1 Motivação

Há algumas décadas começou nos Estados Unidos da América um movimento espontâneo no qual diversos cidadãos norte-americanos começaram a produzir cervejas por conta própria. Estes foram denominados *homebrewers*, ou cervejeiros caseiros, e eles criaram um mercado de insumos e equipamentos para brassar - ou seja, produzir cerveja - em pequenas quantidades e de forma artesanal, utilizando-se de processos e ferramentas improvisados para tal [1].

Apesar das ferramentas de produção rudimentares empregadas no início do movimento de produção caseira de cerveja — e que são utilizadas até hoje — percebeu-se que a qualidade do resultado final podia ser tão boa quanto a de cervejas comerciais de alta qualidade. O movimento cervejeiro cresceu e a partir dele nasceram diversas microcervejarias: segundo dados da *Brewers Association*, em 1994 existiam 192 microcervejarias e 329 *brewpubs* (bares que produzem a própria cerveja) nos Estados Unidos, enquanto em 2014 este número cresceu para 1871 microcervejarias e 1412 *brewpubs* [2], indicando uma tendência de mercado no que diz respeito às cervejas artesanais: a figura 1.1 ilustra os números que apoiam esta tendência.

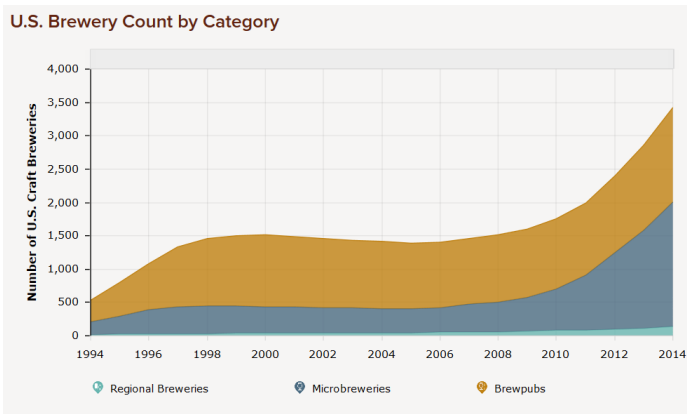


Figura 1.1: Número de cervejarias norte-americanas por categoria.

Fonte: Site da Brewers Association¹

No Brasil, o movimento cervejeiro artesanal caseiro é considerado por algumas fontes um mercado incipiente, porém com bom ritmo de crescimento [3], devido em grande parte à tendência de mercado em relação às microcervejarias. Desde 1995, com a fundação da cervejaria Dado Bier, no estado do Rio Grande do Sul, que alega ser a primeira microcervejaria do Brasil [4], seguida pela cervejaria Colorado, do estado de São Paulo, fundada em 1996 [5], o movimento cervejeiro cresceu e, a partir do início da década de 2010 se popularizou, com estimativa de que existam atualmente cerca de 200 microcervejarias no país [3]. Esta busca por diferenciação do consumo é refletida também no aumento do coeficiente de penetração de importações neste setor, que indica a quantidade percentual de importações: este cresceu de 0,02% em 2005 para 0,21% em 2011 [3]. Cabe ressaltar que a indústria da cerveja no Brasil, como um todo, corresponde a 2% do PIB do país, representando um faturamento anual de R\$70 bilhões [6], portanto o mercado de artesanais, que representa cerca de 1% do total, corresponde a um faturamento de R\$700 milhões, com prognóstico de crescimento para 2% em até dez anos [7].

Além disto, existem sistemas de produção automática de cerveja que são comercializados em outros países, a exemplo do PicoBrew [8], dos Estados Unidos, cuja ideia é similar à de uma cafeteira automática e do Williams Warn [9], da Nova Zelândia, que é um projeto compacto mais parecido com o equipamento de um produtor caseiro, apesar de completamente automatizado.

A motivação para este trabalho, portanto, surgiu a partir da constatação de que o mercado de cervejas artesanais é crescente e rentável, tanto no que diz respeito a fornecer equipamentos para produtores caseiros, quanto ao fornecimento de equipamentos e tecnologia para

¹Disponível em <https://www.brewersassociation.org/statistics/number-of-breweries/>

micro e pequenas cervejarias. Outro ponto que cabe ressaltar é que a maioria das indústrias nacionais fornecedoras de equipamentos para o mercado cervejeiro – dentre elas Mec Bier Microcervejarias, Bierking Equipamentos, Biermatik Comercial Ltda., Cervejando.com e Mybeer, dentre outros – oferece, na melhor das hipóteses, soluções semi-automatizadas para operação presencial, a despeito das soluções automáticas encontradas em outros países, o que motivou a automação mais complexa e remota deste trabalho. A motivação final deste projeto não é a criação de um produto, mas sim a compreensão e aplicação de tecnologias à área de automação do processo de produção de cerveja.

1.2 Objetivos

Para melhor entender os objetivos propostos, uma breve introdução ao processo de produção de cerveja é necessária, visando a identificação dos processos que podem ser automatizados. As principais etapas são: moagem dos maltes - moagem dos grãos maltados de cevada; mostura - cozimento dos maltes seguindo rampas e patamares específicos de temperatura; filtragem do mosto - recirculação do líquido (mosto) por um filtro, com o objetivo de evitar que ele apresente material particulado e em suspensão; lavagem dos grãos - processo opcional no qual, após separar o mosto dos grãos, estes são lavados para extrair o máximo possível dos seus açúcares fermentáveis; fervura do mosto - processo de fervura do mosto por um tempo predeterminado e adição dos lúpulos ao longo do processo; *whirlpool* - separação das proteínas coaguladas e material particulado do líquido, geralmente feito por centrifugação; resfriamento - diminuição abrupta da temperatura do mosto a fim de evitar sua contaminação por bactérias, utilizando um *chiller*, também conhecido como trocador de calor; adição das leveduras e fermentação - processo que transforma os açúcares fermentáveis da cerveja em álcool e gás carbônico; maturação - processo de envase ou consumo do barril - o envase seguido de uma refermentação da garrafa serve para carbonatar a cerveja, enquanto ao consumir diretamente do barril, é preciso ter um equipamento que possibilite a carbonatação forçada da mesma [1].

Conhecido o processo de produção, é possível entender o que se esperava obter do trabalho: projeto de um sistema embarcado multiprocessado que automatiza o processo de produção de cerveja desde o cozimento do mosto até seu resfriamento. A moagem dos grãos e as etapas subsequentes ao resfriamento não foram inclusas no escopo deste projeto, uma vez que a soma de toda a automação seria impraticável em função do orçamento e do tempo

disponíveis. Com relação ao controle e monitoramento, o microcontrolador ARM do sistema executou uma distribuição de Linux embarcado, sobre a qual foi implementado um servidor web que hospedou a interface de usuário e também o código de controle do sistema. A interface possibilitou ao usuário adicionar, editar e excluir receitas; iniciar, monitorar e modificar *on-the-fly* o processo automático de produção de cerveja; apresentou estatísticas do sistema e; ofereceu opções de configuração geral do sistema embarcado.

Os objetivos gerais e específicos do projeto foram:

- Implantação de distribuição Debian do Linux no sistema BeagleBone Black
- Projeto de interfaceamento entre sensores diversos e o sistema BeagleBone Black
- Projeto, aquisição dos componentes e montagem do sistema mecânico
- Levantamento das plantas térmicas a serem controladas
- Projeto dos controladores do sistema de temperatura e implementação no subsistema PRU-ICSS
- Projeto do acionamento dos resistores de potência
- Projeto e implementação do programa de controle de acionamento de válvulas e bombas, e adição de ingrediente
- Desenvolvimento da interface web do sistema
- Detecção e tomada de decisões em caso de interrupção no fornecimento de energia
- Teste e validação do funcionamento do sistema completo
- Verificação organoléptica subjetiva da qualidade da cerveja, objetivando a comprovação do funcionamento do sistema

1.2.1 Cronograma

O cronograma previsto para a realização deste projeto contém as atividades e suas respectivas alocações de tempo. As atividades são listadas na tabela 1.1 e o cronograma é exposto na figura 1.2.

Tabela 1.1: Atividades propostas do Trabalho de Conclusão de Curso

Atividade	Descrição
1	Instalação do Debian na memória eMMC da BeagleBone Black
2	Acesso aos terminais de E/S da BeagleBone Black
3	Instalação e uso de módulo WI-FI USB
4	Interfaceamento e uso de sensores de temperatura DS18B20
5	Projeto da parte mecânica
6	Aquisição das peças e montagem da parte mecânica
7	Dimensionamento e aquisição dos resistores de aquecimento
8	Projeto, teste e interfaceamento do circuito de acionamento das bombas de recirculação e válvulas solenóide
9	Teste de funcionamento da parte mecânica, com controle manual
10	Projeto do acionamento dos resistores de potência, utilizando relé de estado sólido
11	Projeto, teste e interfaceamento de sistema de detecção de vazão
12	Projeto dos sistemas de adição controlada de insumos
13	Levantamento das plantas térmicas do sistema
14	Projeto dos controladores PID digitais e implementação no subsistema PRU-ICSS
15	Desenvolvimento da interface web para cadastro de receitas de cerveja
16	Desenvolvimento da interface web para acompanhamento do processo de brasagem
17	Desenvolvimento da interface web para controle e ajustes do processo de brasagem <i>on-the-fly</i>
18	Desenvolvimento da interface web para acesso a estatísticas das produções anteriores
19	Teste completo do sistema
20	Pesquisa de avaliação organoléptica da cerveja produzida, para validação do sistema
21	Redação da monografia

	jul/15	ago/15	set/15	out/15	nov/15	dez/15	jan/16	fev/16	mar/16	abr/16	mai/16	jun/16
1												
2												
3												
4												
5												
6												
7												
8												
9												
10												
11												
12												
13												
14												
15												
16												
17												
18												
19												
20												
21												

Figura 1.2: Cronograma do Trabalho de Conclusão de Curso

1.3 Justificativas/relevância

Este trabalho objetivou a aplicação de conhecimentos e técnicas – além da busca pelo estado da arte – nas áreas de sistemas de controle, circuitos elétricos e eletrônicos, instrumentação, microcontroladores e sistemas digitais. Conhecimentos estes obtidos durante o curso de graduação em Engenharia Elétrica - Ênfase em Eletrônica.

Outro foco foi o aprendizado de novos conhecimentos, majoritariamente nas áreas de Linux embarcado, que compreende computadores em módulo e computadores de placa única, desenvolvimento de aplicações *web* e engenharia mecânica.

Este trabalho foi importante uma vez que se propôs a resolver problemas e criar métodos de automação para uma indústria representativa no mercado nacional, além de empregar tecnologias de ponta da área de sistemas embarcados a uma aplicação, fomentando o seu uso no Brasil. Do ponto de vista de criação de um produto, a contribuição deixada foi o incentivo da população ao **consumo consciente** de cervejas — bandeira levantada pelas microcervejarias artesanais nacionais, com o lema "beba menos, beba melhor", e que é de interesse da saúde pública.

1.4 Organização do Trabalho

Este trabalho está distribuído em XXX capítulos, incluindo esta introdução, dispostos conforme a descrição que segue:

- Capítulo 2: Descreve
- Capítulo 3: Discorre sobre
- Capítulo 4: Apresenta

Capítulo 2

Embasamento Teórico

Neste capítulo, será apresentado o embasamento teórico utilizado para o desenvolvimento deste Trabalho de Conclusão de Curso, abordando desde o processo de produção de cerveja e os equipamentos utilizados até os sistemas de controle e plataforma de implementação da interface de usuário, dentre outros tópicos.

2.1 Processo de Produção de Cerveja

O primeiro passo para o desenvolvimento do controle de automatização da produção de cerveja foi o entendimento dos seus processos e particularidades. Esta seção tem o objetivo de apresentar uma introdução à fabricação de cerveja, o que implica em significativas simplificações e resumos dos temas aqui discorridos. Para maiores informações, recomenda-se a consulta do material bibliográfico de referência.

A produção começa com a escolha e **moagem** dos maltes, produzidos a partir de cereais selecionados, sendo a cevada o cereal mais amplamente utilizado – embora outros grãos, como trigo, centeio e aveia também possam ser empregados [10]. O grão malteado é a fonte principal de açúcares fermentáveis utilizado na fabricação de cerveja e é produzido a partir da germinação parcial do cereal, sendo que diferentes processos e variedades de grãos resultam em diferentes qualidades de maltes. Estes, por sua vez, conferem características únicas aos diversos estilos de cerveja [1, 10]. O método de moagem do malte é escolhido com base nos métodos de brassagem e separação de mosto a serem empregados [10], e.g. quando a cama de grãos formada no processo serve como um filtro para separação do mosto, deve-se preservar a casca, utilizando uma moagem grossa e de maceração, evitando Trituração.

Com os maltes moídos, segue-se para a **brassagem**, que consiste na mistura de deter-

minada quantidade de água quente aos maltes, possibilitando a extração e diluição dos seus açúcares fermentáveis. Enquanto um extrato em água fria tem rendimento na ordem de 15-22%, o HWE (*hot water extract*) – extrato em água quente, chega à ordem de 75-83% devido à atividade enzimática catalisadora [10].

O processo de brassagem pode ser realizado de várias maneiras, dentre elas [10]:

- (a) infusão simples, na qual os maltes são cozidos a uma temperatura fixa, quase isotérmica, utilizado tradicionalmente por cervejarias britânicas. É feita em uma tina de brassagem, na qual tanto o processo de extração dos açúcares quanto a separação do extrato do mosto são realizados. O cozimento se dá a uma temperatura na ordem de 63°C a 67°C, durante um período de 30 minutos a duas horas e meia. O líquido da panela (extrato) é recirculado para que as partículas sólidas em suspensão sejam separadas deste. Por isso, é importante que a moagem dos grãos seja grossa, já que estes assentam na tina e servem como filtro. Após a separação do extrato, a cama de grãos formada é lavada com um spray de água quente, processo denominado *sparging*;
- (b) decocção, na qual a moagem dos grãos é mais fina e os maltes utilizados são pouco modificados: devido à moagem fina, os grãos podem ser bombeados ou misturados. Este método usa três recipientes: um recipiente de mistura do mosto, um recipiente de decocção e um dispositivo de separação do extrato do mosto. Neste processo retira-se uma quantidade de líquido, que está a uma temperatura inicial de 35°C, e este é fervido e adicionado novamente ao restante. Após a mistura, a temperatura do mosto deve ser de cerca de 50°C e deve permanecer assim por um período de tempo. O processo é repetido outras duas vezes, para obter as temperaturas de 65°C e 76°C respectivamente;
- (c) dupla infusão; e
- (d) maceração escalonada, infusão por temperaturas programadas ou infusão por degraus de temperatura, que consiste de um processo que tem substituído os outros sistemas, em função de sua praticidade e economia de energia, da ordem de 30 a 50% se comparada a um programa de decocção similar. A extração de açúcares é feita de forma análoga ao processo de infusão simples, com a diferença de que as temperaturas do processo são controladas em rampas e patamares. A filtragem do extrato do mosto pode ser feita tanto utilizando a técnica de cama de grãos do processo de infusão simples quanto a filtragem direta da decocção. A figura 2.1 apresenta o exemplo de três programas de

temperatura de brassagem — de cima para baixo, os gráficos da figura se referem a brassagens por degraus, decocção simples e decocção dupla. No processo por degraus, o aumento de temperatura entre os patamares deve ser da ordem de 1°C/min.

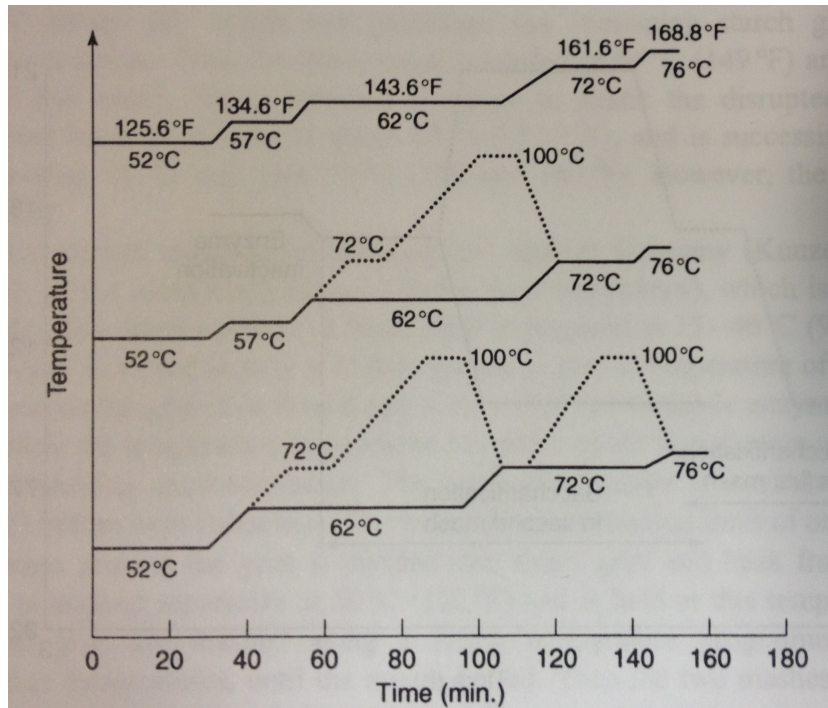


Figura 2.1: Programa de temperaturas típico de uma brassagem.

Fonte: BRIGGS (2011)

Após a **filtragem** do extrato do mosto, este é transferido para um caldeirão de **fervura**, processo no qual são adicionados os lúpulos e que leva cerca de uma hora, podendo se estender dependendo da receita [10], a exemplo das cervejas comerciais *90 Minute IPA* e *120 Minute IPA*, da cervejaria Dogfish Head, cujos tempos de fervura duram 90 minutos e 120 minutos, respectivamente [11, 12]. Lúpulo é uma flor em formato de cone e é utilizado para conferir amargor e aroma à cerveja, além de ser um ótimo conservante natural. Pode ser adicionado ao mosto em flores, *pellets* (pastilhas prensadas) ou extrato. Quando adicionado no início da fervura, contribui para o amargor da cerveja, por meio da isomerização de ácidos alfa que ocorre em função da alta temperatura. Em contrapartida, compostos aromáticos voláteis são perdidos neste processo e, por isso, também é adicionada uma quantidade de lúpulos ao final da fervura, para contribuir com o aroma [1, 10].

Além de conferir amargor à cerveja, por meio da adição de lúpulos, a fervura também é responsável pela coagulação de proteínas indesejáveis, assepsia do líquido, evaporação e consequente redução do seu volume, mudanças no sabor da cerveja e evaporação de compostos

voláteis indesejáveis [10].

Na sequência da fervura, o mosto deve ser **resfriado** rapidamente até 26°C para evitar oxidação, contaminação e criação de compostos orgânicos que introduzem sabores indesejados [1]. O processo de resfriamento é realizado com o emprego de um trocador de calor, denominado *chiller*. Também devem ser separadas e desprezadas as proteínas coaguladas e os restos de lúpulos decorrentes da fervura. Este processo geralmente é denominado *whirlpool*, em função de sua natureza, na qual o mosto fervido é centrifugado e os compostos indesejados se acumulam no centro e no fundo da panela de fervura [10]. O último passo é aerar ou até mesmo oxigenar o mosto, para que as leveduras possam se reproduzir corretamente no início da **fermentação** [10].

A levedura deve ser adicionada ao mosto resfriado e oxigenado o mais rápido possível para evitar contaminações, e o recipiente de fermentação comumente é selado, evitando a entrada de ar [10]. O processo de fermentação e os subsequentes processos de **maturação** e **envase** não serão detalhados, pois sua automação não é parte do escopo deste trabalho e o tema destes tópicos, em conjunto com a fermentação, envolve quase que exclusivamente outras áreas do conhecimento não relacionadas à engenharia elétrica.

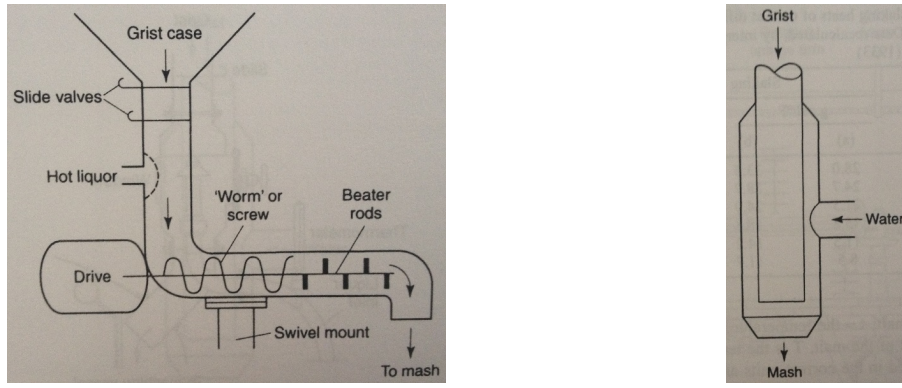
2.2 Estrutura mecânica

O processo de brassagem, que consiste no cozimento dos maltes para extração dos açúcares fermentáveis e filtração do líquido resultante, conhecido como mosto, é realizado em equipamentos específicos para estas tarefas. Em função das diferentes técnicas de brassagem e tecnologias desenvolvidas ao longo do tempo, diversos tipos e arranjos de equipamentos foram desenvolvidos [10].

Atualmente existe uma convergência nos métodos de fabricação de cervejas, motivada principalmente por questões econômicas, cujo objetivo do equipamento é maximizar a produção. Outros motivos para o desenvolvimento e aprimoramento de equipamentos são a necessidade de sempre produzir uma cerveja com as mesmas características, ou seja, padronizar a produção e, também, a preocupação crescente com redução do uso de energia e água, além da redução na produção de efluentes [10]. Ainda assim, equipamentos antigos continuam em uso, seja pela impossibilidade de reproduzir uma receita específica em equipamentos mais modernos ou pelo custo elevado da atualização das plantas de produção.

Na adição dos grãos à panela de mostura, o processo de mistura destes à água é importante

para que a brassagem seja eficiente, uma vez que os grãos mal misturados podem formar aglutinados que impedem a extração dos açúcares. Para evitar este inconveniente dispositivos mecânicos foram desenvolvidos, conforme exposto na figura 2.2: em (a) a água e os grãos são misturados em um fluxo constante, determinado pela velocidade de giro de uma rosca sem fim e; em (b) a água é adicionada aos maltes em um ângulo tangente, de tal forma que um vórtex a mistura aos grãos. Com relação à água, a sua temperatura também deve ser controlada, para evitar que proteínas sejam inativadas, além de que seu volume inicial é predeterminado conforme a receita [10].



(a) Dispositivo com rosca sem fim

(b) Dispositivo de mistura por vórtex

Figura 2.2: Dispositivos de mistura de grãos à brassagem.

Fonte: BRIGGS (2011)

2.2.1 Panela de mostura

A panela de mostura, ou MT (*mash tun*), é o dispositivo mais simples para a preparação do mosto, uma vez que nela ocorre a extração dos açúcares, a filtração do extrato do mosto e a lavagem dos grãos [10]. A figura 2.3 apresenta uma configuração comum de MT, usada atualmente.

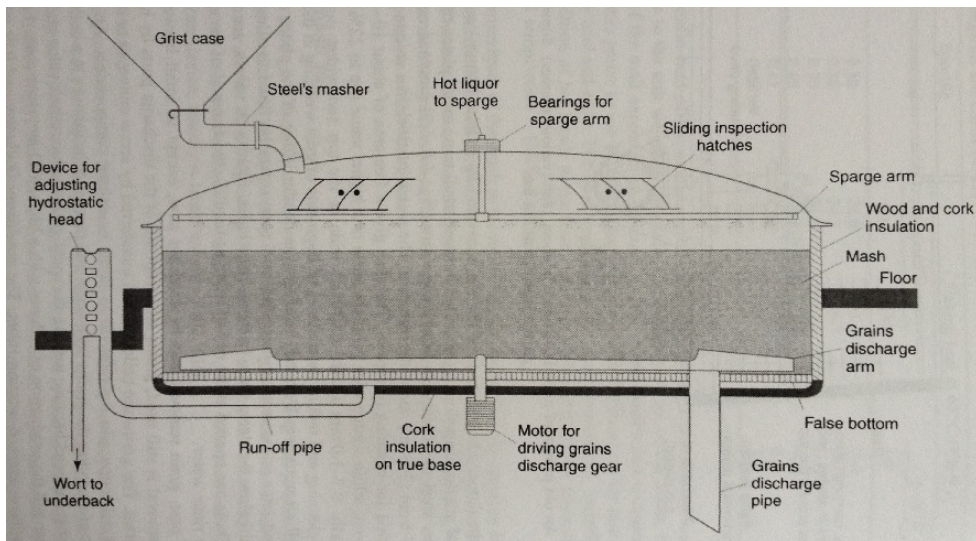


Figura 2.3: Esquema de panela de brassagem industrial moderna.

Fonte: BRIGGS (2011)

As MTs possuem seção transversal circular e atualmente são feitas de aço inoxidável, revestidas com material isolante térmico. Embora originalmente fossem abertas, atualmente são cobertas para evitar perda de calor e espalhamento do vapor de água pelo ambiente da brassagem. O fundo da MT é coberto por um fundo falso, que fica a alguns centímetros acima do fundo original e cuja função é atuar como filtro, em conjunto com a cama de grãos. Este fundo falso consiste de uma ou mais chapas de metal com rasgos da ordem de 0,7-1,0mm, que representam uma área livre para a drenagem de cerca de 12% da área total, ou uma trama com fios de metal cuja área livre chega a 22% [10].

O descarte dos grãos é feito através de um tubo, com a ajuda de uma pá que varre o fundo da panela ou um jato de ar comprimido. Métodos de remoção dos grãos descontinuados são a remoção manual (que ainda existe em pequenas instalações) e o enxágue dos grãos com bombeamento para um tanque anexo – este não mais usado em função da necessidade de mais água e posterior tratamento desta, que resulta em custos adicionais, além da perda do valor comercial dos grãos a serem descartados. Com relação à limpeza, as MTs são construídas com suporte à limpeza CIP (limpeza no local), inclusive na região entre o fundo da panela e o fundo falso [10].

A água da lavagem dos grãos, ou *sparging*, é borrifada por um ou mais canos suspensos acima da cama de grãos, conforme ilustrado na figura 2.3. Estes canos são conhecidos como braços de *sparging* e geralmente giram no eixo em função da força da água, o que só é possível devido aos furos no tubo serem feitos na vertical, especialmente para este propósito. Outro aspecto da construção dos braços de *sparging* é que, à medida que se aproxima do

centro da panela, os furos são feitos a uma distância maior entre si, possibilitando que a água seja igualmente distribuída sobre a cama de grãos [10]. O extrato do mosto é coletado por tubos no fundo da panela.

No caso da brassagem feita pelo processo de decocção, brassagem dupla ou infusão por temperatura controlada, diferentes recipientes de brassagem são utilizados. A figura 2.4 é um exemplo de tina de mistura (não confundir com mostura, embora a panela seja utilizada no processo de mostura) usada para brassagem de temperatura controlada. Nestes casos, a moagem dos maltes é mais fina e estes são constantemente misturados por uma pá no fundo da panela. Mesmo dentre estes sistemas os equipamentos diferem entre si e, diferente da MT, nestes sistemas é preciso utilizar outro recipiente para separar o extrato dos grãos. O separador pode ser uma tina de lavagem, conhecida também como LT (*lauter tun*), ou pode ser um filtro de mosto. Embora a LT e o filtro de mosto sejam amplamente utilizados na indústria, não serão detalhados neste trabalho, já que a abordagem prática adotada não inclui seu emprego.

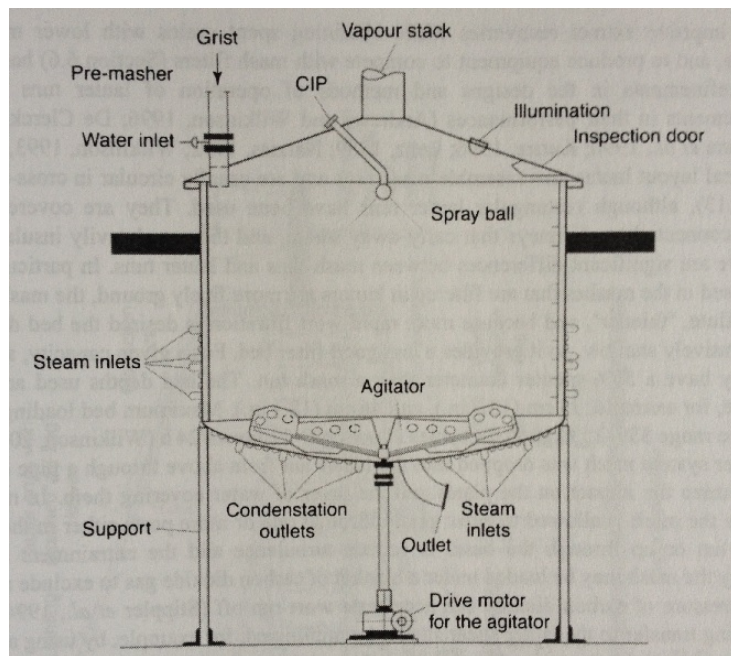


Figura 2.4: Esquema de panela de mistura do mosto.

Fonte: BRIGGS (2011)

2.2.2 Caldeirão de fervura

A fervura é o processo no qual o extrato do mosto é fervido com a adição de lúpulos em um caldeirão de fervura. Em inglês o termo utilizado para este caldeirão (*copper*, que significa cobre) lembra o fato de que inicialmente era comum o emprego de tinas de cobre, dada a

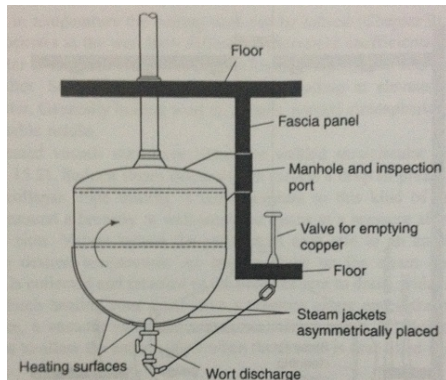
facilidade de moldagem que este metal permite, a alta condutividade térmica e a aparência atrativa dos caldeirões [10]. Este também é usualmente referido como BK, ou *brewing kettle* (caldeirão de fervura). Por muito tempo o estudo do processo de fervura foi negligenciado por ser considerado simples, mas à medida que a questão da economia de energia veio à pauta, estudos oriundos desta necessidade mostraram que o processo é mais complexo do que foi inicialmente considerado [10].

Como existe uma lista de objetivos que devem ser cumpridos durante a fervura, o projeto do equipamento é essencial para que estes sejam atingidos e, em um grau mais avançado, a maior economia de energia possa ser obtida. O primeiro objetivo – que não está necessariamente em ordem de importância – é a evaporação de água e consequente concentração do mosto, com taxas de evaporação inicialmente na faixa de 10% do volume por hora e que foram reduzidas com o desenvolvimento tecnológico das grandes indústrias, já que o custo de evaporação da água é caro em termos de demanda energética. O segundo objetivo importante da fervura é a esterilização do mosto, ou pelo menos a erradicação de formas vegetativas de micróbios – ainda que esporos possam sobreviver ao processo. A terceira função do processo é a evaporação de compostos voláteis indesejados, o que resultou em um desafio tecnológico para diminuir os tempos de fervura e quantidade de água evaporada sem que os compostos voláteis deixassem de ser eliminados efetivamente [10].

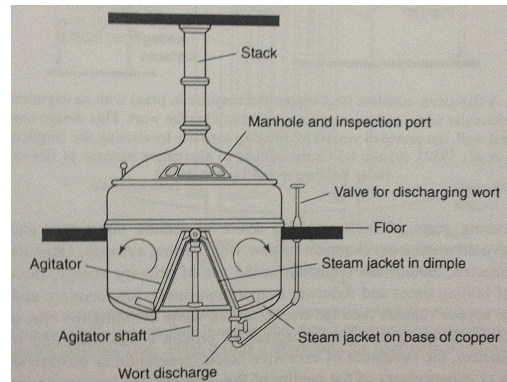
Dentre as mudanças que ocorrem no mosto durante a fervura, podem ser notadas criações, adições e transformações de substâncias químicas, como a dispersão de resinas e óleos do lúpulo no mosto e a isomerização de ácidos- α (transformação dos ácidos- α presentes no lúpulo em isômeros que conferem características de amargor à bebida), além da desnaturação e formação de coágulos de proteínas – processo que é favorecido por uma fervura rigorosa e prolongada – que virão a formar o chamado *trub*, resultado da decantação destas proteínas. Este processo de decantação pode ser acelerado por meio da adição de substâncias como gel de sílica ou musgo irlandês, conhecido como *irish moss* [10].

Historicamente o aquecimento dos BKs era feito de forma direta, com a queima de combustíveis sólidos. Embora estes não sejam empregados atualmente, ainda existem BKs que são aquecidos diretamente, por meio da queima de óleos ou gases. Ainda assim, atualmente o maior elemento de aquecimento utilizado é o vapor d'água. Embora estes sistemas sejam mecanicamente mais complexos, o aquecimento a vapor reduz a quantidade de calor aplicada por unidade de área, o que evita a caramelização do mosto [10]. Na figura 2.5 são apresentadas três configurações de BKs, sendo (a) e (b) por meio de aplicação direta de vapor à

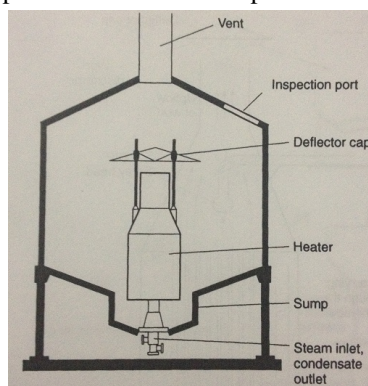
superfície do recipiente e (c) utilizando um aquecedor interno, também a vapor.



(a) Caldeirão com base arredondada e revestimen-
tos de vapor assimetricamente dispostos



(b) Caldeirão de alta eficiência, com revestimen-
tos de vapor na base e no cone central



(c) Caldeirão com aquecimento interno e mais profundo no centro, per-
mitindo um aquecedor maior

Figura 2.5: Diferentes configurações de caldeirões de fervura.
Fonte: BRIGGS (2011)

Os projetos destes sistemas mecânicos são feitos com o objetivo de evitar que o mosto seja caramelizado ou descaracterizado de alguma forma e de modo a economizar energia. Com isso surgiram em função do tempo sistemas pressurizados e de aquecimento externo do líquido, dentre outras configurações diversas. Todos os sistemas modernos e eficientes de fervura são fechados e se aproveitam da pressurização de algum modo para reduzir o custo energético do processo de fervura, que se dá pela redução do tempo de fervura possibilitada pela elevação da temperatura do mosto. Contudo é preciso atentar-se ao fato de que temperaturas muito altas podem afetar negativamente a produção da cerveja e, portanto, valores típicos de temperatura empregados pela indústria chegam a até 104°C, com exceções¹[10].

¹O sistema de alta temperatura / alta pressão (140°C) é pouco utilizado e testes práticos mostram que os resultados em termos de qualidade da cerveja são questionáveis [10]

A tabela 2.1 apresenta alguns sistemas de fervura utilizados na indústria e suas características com relação a temperatura, tempo de fervura e evaporação do mosto. Mesmo para um tipo específico de fervura, diversas configurações de equipamento podem ser adotadas.

Tabela 2.1: Características de diferentes sistemas de fervura.

Fonte: adaptado de BRIGGS(2011)

Sistema de aquecimento	Temperatura (°C)	Tempo de fervura (min.)	Evaporação (%)
Panela de "alta performance"	100	120-150	12-16
Aquecedores internos/externos, com contrapressão	102-103	60-80	8
Fervura de baixa pressão	103-104	55-65	6-7
Fervura dinâmica de baixa pressão	103-104	45-50	4,5-5
Fervura de alta temperatura / alta pressão	130-140	2,5-3	6-8
Aquecimento de película fina	100	35-40	4-4,7

Embora o objetivo principal deste trabalho não tenha sido a eficiência energética do sistema, neste parágrafo são apresentadas algumas considerações acerca do tema. Uma vez que o aquecimento de água une todas as partes do processo de produção de cerveja, não é realista acreditar que a economia de energia pode ser aplicada exclusivamente ao processo de fervura, embora este seja o mais custoso em termos energéticos, portanto automação de controles, equipe bem capacitada, boa conservação do edifício, *designs* eficientes, dentre outros fatores, são importantes para a economia de energia. No tocante à fervura em específico, geralmente são utilizados sistemas que recuperam energia de vapor e/ou água quente para reuso nas diversas etapas do processo de produção de cerveja [10]. Um exemplo é o sistema da figura 2.6, que utiliza energia do vapor de aquecimento utilizado na fervura para posterior aquecimento do mosto e pré-aquecimento de outra fervura. Para que isto seja possível, é essencial que a cervejaria realize consecutivas produções, uma vez que a energia é transferida para a produção seguinte.

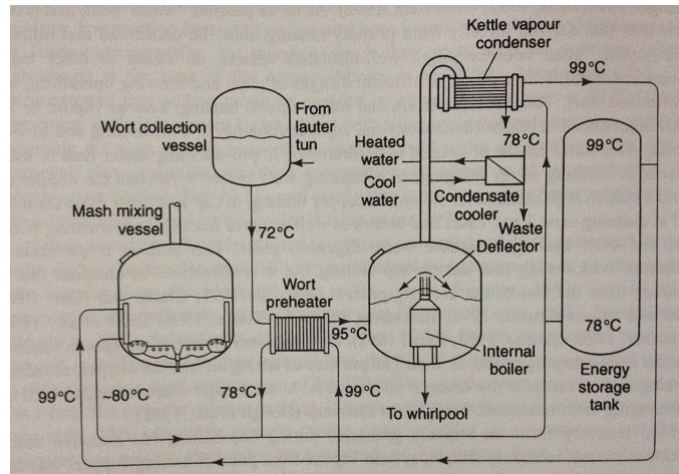


Figura 2.6: Arranjo no qual vapor do caldeirão de fervura é condensado e calor é recuperado e armazenado como água quente em um tanque de gradiente de temperatura.

Fonte: BRIGGS (2011)

2.2.3 Adição de lúpulos

É comum realizar a adição de lúpulos manualmente em pequenas cervejarias, porém deve-se observar que esta pode ser uma tarefa perigosa, pois o mosto pode subitamente vazar. Também, em adições tardias de lúpulo, ocorre a entrada de ar no BK, o que faz com que sistemas pressurizados não possam ser utilizados sem as devidas considerações e/ou modificações no equipamento [10].

A adição de lúpulos geralmente não é satisfatória quando são utilizadas flores, por isso pastilhas ou extratos são geralmente empregados. Em grandes cervejarias a maior parte do desafio de automação está no fato de que os lúpulos devem ser armazenados em ambientes com temperatura controlada, que geralmente ficam longe do BK, além de serem armazenados em caixas ou tanques. Além do sistema automático de transporte destes pacotes, em caso de BKs com pressurização, é preciso utilizar sistemas de câmaras de compressão para adicionar os lúpulos à panela [10].

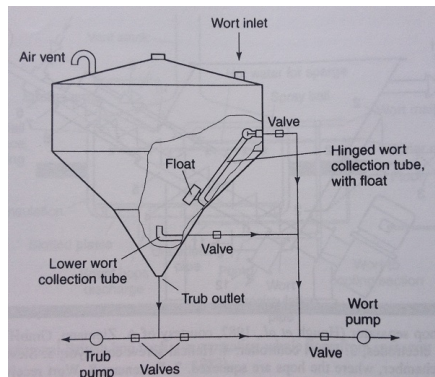
2.2.4 Clarificação e resfriamento do mosto

Quando o processo de fervura é finalizado, o mosto deverá estar claro, ou seja, com aparência brilhante. Ainda assim, é preciso remover o *trub*² e os restos de lúpulos utilizados no processo, já que o *trub* contribui com compostos sulfurosos e alcoóis indesejados, além de tornar a cerveja turva – o que pode ou não ser um problema [13]. Diversos equipamentos foram cri-

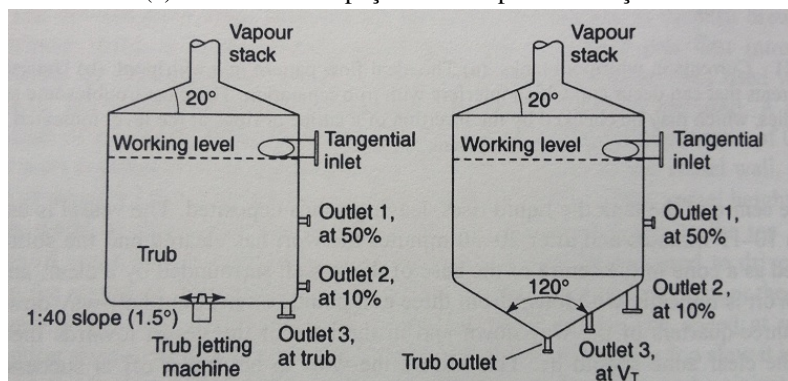
²O *trub* descrito neste capítulo é referente ao *hot break*, ou processo de fervura. Neste trabalho não será abordado o *trub* decorrente do *cold break*, ou resfriamento do mosto, que começa a ser formado em temperaturas próximas a 70°C

ados com este propósito, seja para mostos com adição de lúpulos em flores, que facilitam a extração dos compostos indesejáveis, quanto para mostos feitos com pastilhas e extratos de lúpulo. Há sistemas chamados *hop back* que são empregados na filtragem de mostos com lúpulos em flor e que lembram MTs, nos quais o mosto é filtrado por um fundo falso, com elemento filtrador sendo a cama de lúpulos que decanta para o fundo da panela – inclusive há pequenas cervejarias que utilizam a MT para realizar este método de clarificação [10].

Embora existam outros sistemas de clarificação, o mais amplamente difundido na indústria atual é a técnica de *whirlpool* (redemoinho, em tradução livre) na qual mosto quente é injetado tangencialmente em um recipiente cilíndrico, a uma velocidade fixa, sendo a altura de injeção do mosto variável em função de diferentes projetos. Sistemas de gravidade geralmente não são suficientes e bombas ou sistemas projetados para utilizar o efeito de termossifão são utilizadas. As correntes de circulação do mosto decorrentes desta injeção tangencial fazem com que o material particulado fique concentrado no fundo e no centro do recipiente, possibilitando o escoamento controlado do líquido e a consequente separação do *trub* [10]. Na figura 2.7 são ilustrados sistemas de separação por decantação (a) e por *whirlpool* (b).



(a) Sistema de separação do *trub* por decantação



(b) Sistemas de separação do *trub* por *whirlpool*, com fundo plano e arredondado

Figura 2.7: Sistemas de clarificação.

Fonte: BRIGGS (2011)

Após o processo de clarificação deve começar a fermentação e, para que as leveduras possam ser inoculadas no mosto, este deve ser resfriado até a temperatura ideal de operação destes microorganismos, que está tipicamente na faixa 15-22°C para leveduras do tipo *ale* e 6-12°C para leveduras do tipo *lager*. O resfriamento rápido do mosto deve ocorrer, pois assim reações químicas decorrentes da fervura são interrompidas e a chance de contaminação do mosto é reduzida [10].

Para isto, um *cooler* (resfriador ou trocador de calor) é utilizado. Dentre os modelos mais largamente empregados encontra-se o *cooler* vertical, no qual o mosto passa por dentro de um arranjo de tubos finos, enquanto na parte externa destes água fria é circulada em contra-fluxo. Ainda assim, o modelo de *cooler* mais popular é do trocador de calor de placas, devido ao seu tamanho compacto, versatilidade e eficiência. As placas possuem padrões de desenho de tal forma que, quando são compactadas, elas formam canais pelos quais o mosto é passado em contra-fluxo a um agente resfriador (água fria, por exemplo). Estes trocadores de calor são projetados para que o escoamento seja turbulento e, consequentemente, a troca de calor seja mais eficiente. Quando um agente resfriador diferente da água é utilizado, a manutenção do sistema deve ser reforçada, já que vazamentos implicam na contaminação do mosto [10].

A figura 2.8 apresenta um esquema de funcionamento do *cooler* de placas.

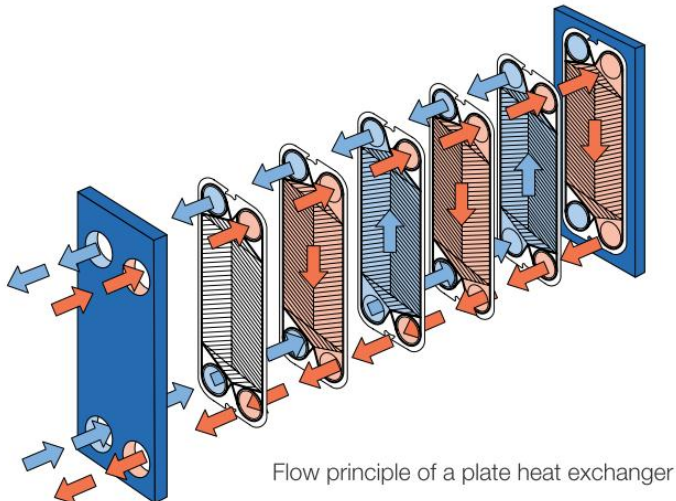


Figura 2.8: Esquema de funcionamento do trocador de calor de placas.

Fonte: Site da Offshore Energy Today³

³Disponível em <http://www.offshoreenergytoday.com/wp-content/uploads/2012/03/Alfa-Laval-to-Supply-Plate-Heat-Exchangers-for-Brazilian-Offshore-Platforms.jpg>

Por fim, antes de inocular a levedura, é importante que o mosto seja suficientemente aerado ou oxigenado. Sem isso, a levedura não terá um ambiente adequado à sua reprodução e a atenuação do mosto – transformação de açúcares e oxigênio em álcool e gás carbônico – não será completada. Diferenças de solubilidade do mosto e dos tipos de levedura podem influenciar na quantidade de oxigênio necessária para um bom andamento da fermentação, sendo que para obter os níveis adequados, em escala industrial a oxigenação geralmente é forçada [10, 1]. Na produção de cerveja artesanal, a aeração geralmente é feita agitando o mosto resfriado ou com a ajuda de um sistema de aeração de aquário [1].

2.3 BeagleBone Black

BBB é uma placa de sistema embarcado desenvolvida para a comunidade de código aberto (*open-source*), iniciantes e quaisquer pessoas interessadas em um sistema equipado com um processador ARM Cortex-A8 32-bits de baixo custo, seja para teste de conceito ou mesmo uso pessoal e profissional, embora o último não seja o mais adequado. Embora o sistema tenha sido desenvolvido com um número reduzido de funcionalidades, de modo a proporcionar uma experiência de uso simples, este SBC não é uma plataforma completa de desenvolvimento nem é voltada para o desenvolvimento de um produto específico, mas sim para a experimentação e aprendizado nas áreas de *software* e *hardware* [14]. A figura 2.9 apresenta a placa e seus principais componentes, em conjunto com a tabela 2.2, onde estão contidas as especificações gerais de hardware e a figura 2.10, na qual está contido um diagrama de blocos do sistema, de alto nível de abstração. O diagrama esquemático do sistema pode ser obtido no Anexo I.

É imprescindível atentar para o fato de que a BBB possui diversas revisões de *hardware*, sendo que a versão utilizada neste trabalho é a **revisão C**.

A combinação do processador ARM Cortex-A8 com o projeto de *hardware* da placa possibilita o uso de um sistema operacional embarcado – geralmente uma distribuição Linux – que fornece facilidades de programação, a exemplo de uma IDE acessada pelo navegador da internet chamada Cloud9 em combinação com uma biblioteca de acesso ao hardware em *server-side* Javascript (Node.js), possibilitando a prototipagem rápida de soluções embarcadas de produtos voltados ao mundo real. À medida que o desenvolvedor do sistema se torna mais experiente, é possível desenvolver soluções mais complicadas em diversas linguagens de programação, utilizando-se para isto do sistema operacional Linux embarcado na placa.

[15]. Além disso, projetos como o do carro de controle remoto via web, desenvolvido por [15] com o intuito de confirmar as capacidades deste SBC e seu potencial uso no ensino de sistemas embarcados, reforçam a escolha da BBB como plataforma para este projeto. É importante notar que alguns dos pontos fortes deste SBC, ou computador de placa única, estão implícitos em sua classificação: por ser um computador, ele apresenta os benefícios de uma plataforma que suporta um universo de múltiplas aplicações — embora restrito pelo reduzido poder de processamento se comparado a um computador tradicional — e, no caso da escolha do Linux como sistema operacional, traz os benefícios de um *kernel* amplamente estável.

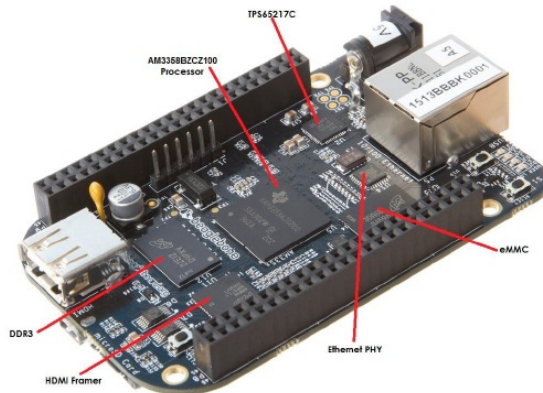


Figura 2.9: BeagleBone Black e principais componentes.
Fonte: COLEY (2014)

- **Sitara AM3358BZCZ100** - SoC (*system on chip*)
- **Micron 512MB DDR3L ou Kingston 512MB DDR3** - memória RAM
- **TPS65217C PMIC** - controlador de alimentação dos diferentes componentes do sistema
- **SMSC Ethernet PHY** - interface física à rede Ethernet
- **Micron eMMC** - memória não volátil MMC de 4GB
- **HDMI Framer** - controlador para uso com display HDMI ou DVI-D

Tabela 2.2: Especificações Gerais da BeagleBone Black.

Fonte: adaptado de COLEY(2014)

	Especificação
Processador	Sitara AM3358BZCZ100, 1GHz, 2000 MIPS
Motor Gráfico	SGX530 3D, 20M polígonos/s
Memória SDRAM	512MB DDR3L 800MHz
Memória Flash	4GB, 8bit eMMC
CI Gerenciador de Alimentação	TPS65217C + regulador adicional (linear)
Suporte a debug	Interface serial, Conector CTI JTAG opcional de 20 pinos
Fonte de Alimentação	mini USB, conector DC ou 5VDC na barra de pinos
PCB	8,64cm x 5,33cm (3,4"x 2,1") - 6 layers
Leds Indicadores	1 para alimentação; 2 para Ethernet; 4 acessíveis ao usuário
USB 2.0 Client	Acesso à USB0 via miniUSB
USB 2.0 Host	Acesso à USB1, soquete tipo A, 500mA LS/FS/HS
Serial	Acesso à UART0 via header de 6 pinos, TTL 3.3V
Ethernet	10/100 RJ45
SD/MMC	Conector microSD, 3,3V
Chaves	Botões push de reset, boot e alimentação
Saída de vídeo	16b HDMI, 1280x1024 (MAX), 1024x768, 1280x720, 1440x900, 1920x1080@24Hz
Audio	Via interface HDMI, estéreo
Conectores de expansão	Alimentação 5V, 3,3V e VDD_ADC(1,8V) 3,3V para todos os sinais de E/S McASP0, SPI, I2C, até 69 pinos de GPIO, LCD, GPMC, MMC1, MMC2, 7 entradas para conversor A/D (1,8V MAX), 4 timers, 4 UART, CAN, PWM via hardware, interrupção XDMA
Peso	39,68g (1,4oz)
Consumo@5VDC	Ocioso - 280mA Carregando página web - 430mA O consumo varia conforme o desempenho

Cada pino de GPIO digital da BBB possui até 7 modos diferentes de operação, que são configurados utilizando uma ferramenta do Linux chamada *Device Tree*. A figura 2.11 apresenta a configuração padrão dos pinos, ou seja, quando é usada a distribuição Debian do Linux, pré-compilada e que é fornecida com a placa. Com relação aos pinos de GPIO, é importante notar que sua lógica opera com níveis de tensão de 0V e 3,3V para os níveis baixo e alto, respectivamente e portanto aplicar uma tensão negativa ou superior a 3,3V pode danificar permanentemente a placa [16].

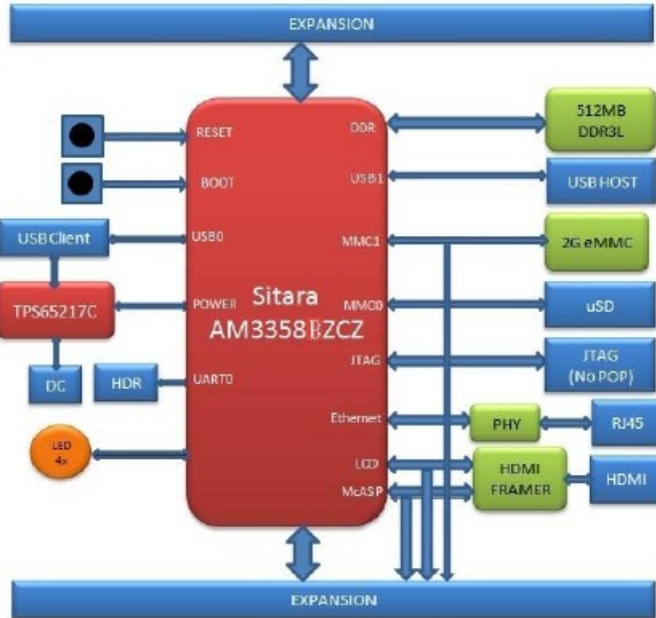


Figura 2.10: Diagrama de blocos de alto nível da BeagleBone Black.

Fonte: COLEY (2014)

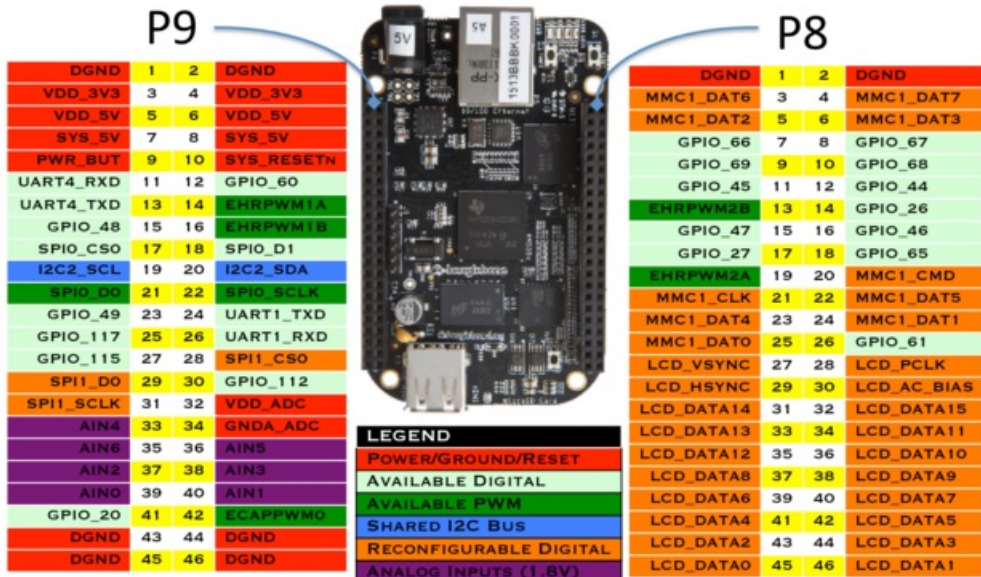


Figura 2.11: Configuração padrão dos pinos da BeagleBone Black.

Fonte: Site oficial da Fundação BeagleBoard.org⁴

2.3.1 Programmable Real-time Unit – PRU-ICSS

A PRU-ICSS – *Programmable Real-Time Unit Subsystem and Industrial Communications Subsystem* (Unidade Programável de Tempo-Real e Subsistema de Comunicação Industrial,

⁴Disponível em <http://beagleboard.org/Support/bone101>

em tradução livre) é um subsistema do processador AM3358 que equipa a BBB, fabricado pela *Texas Instruments*, embora não possua suporte oficial da mesma [14]. Esta unidade consiste de dois núcleos RISC de 32 bits, uma memória compartilhada de 12kB, uma memória de dados e uma memória de programa para cada núcleo, ambas com 8kB de capacidade, e periféricos internos – além da possibilidade de acessar todos os eventos, pinos e recursos do SoC AM3358 por meio de uma interface OCP, que confere a este subsistema grande flexibilidade. Cada núcleo da PRU pode operar independentemente ou de maneira sincronizada, dependendo de como o *firmware* para eles é escrito [17]. Na figura é ilustrado o diagrama de blocos deste sistema.

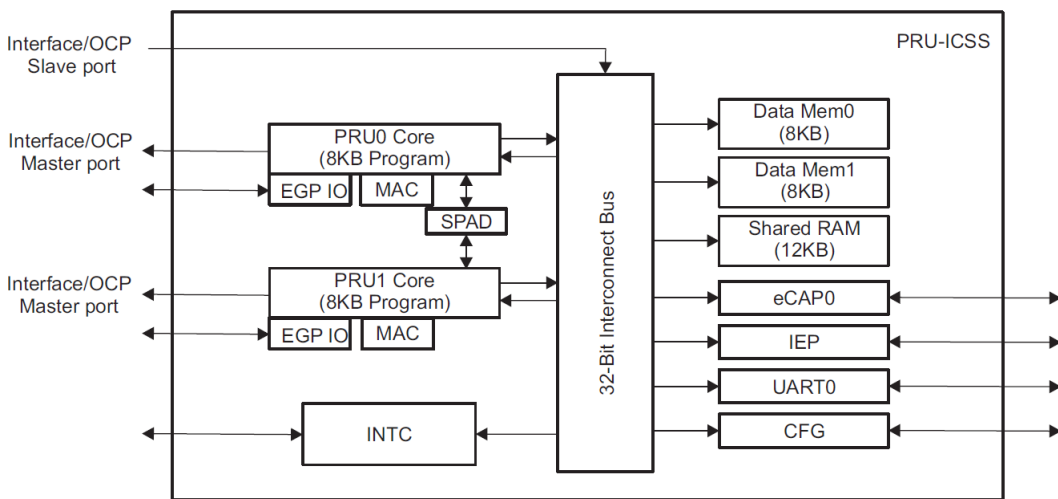


Figura 2.12: Diagrama de blocos do subsistema PRU-ICSS.

Fonte: TEXAS INSTRUMENTS (2015)

Os núcleos da PRU foram otimizados para realizar tarefas com requisitos severos de tempo-real e, portanto, tem um *clock* de 200MHz e um sistema de instruções RISC no qual todas elas são executadas em um ciclo de *clock*, propositalmente sem suporte a *pipelining*. Cada núcleo tem 31 registradores, cuja utilização vai de propósito geral a indexação e controle de GPIO, acessíveis a nível de bit, byte, *halfword* (16 bits), *word* (32 bits) ou por ponteiro [17]. Uma vez que cada instrução pode ser executada em 5ns e o acesso a GPIO é feito por meio de uma única instrução de acesso a registradores, isto significa que é possível obter uma resolução de chaveamento determinística de no máximo 5ns, com dados obtidos na prática, por [18], de *jitter RMS* de 290ps e estabilidade de frequência na ordem de 10 ppm.

Uma vez que as diversas funcionalidades do módulo PRU são acessadas por meio de mapeamento da memória de dados, é preciso saber a faixa de endereço destas. Aqui deve ser feita a distinção entre acesso à memória local da PRU, que compreende os endereços de

0x0000_0000 a 0x0007_FFFF, e o acesso à memória global, cujos endereços começam em 0x0008_0000. Também é importante notar que as memórias internas dos módulos podem ser acessados com o endereço global de memória, mas isso reduz significativamente o tempo de acesso, já que o sinal é roteado para fora da PRU (por meio do OCP) antes de ser recebido [17]. Na tabela 2.3 é apresentado o mapa de memória local e na tabela 2.4 é apresentado o mapa de memória global. Também há uma tabela de constantes gravada em hardware, com valores de uso recorrente, para economizar instruções de programação e registradores, nos quais estes endereços precisariam ser carregados se não estivessem disponíveis em hardware [17].

Embora cada PRU suporte 30 canais de entrada e 32 canais de saída no modo direto [17], a BBB roteia somente 25 pinos do SoC ao conector de expansão. Destes, 10 pinos são exclusivos da PRU0 (8 saídas ou 9 entradas) e 15 pinos para a PRU1 (13 saídas ou 14 entradas). Eventualmente, alguns pinos pré-configurados para outras funções devem ser reconfigurados na *device tree* antes que possam ser utilizados [14]. Os pinos da BBB acessíveis pela PRU podem ser obtidos na figura 2.13.

P9			P8		
DGND	1	2	DGND	1	2
VDD_3V3	3	4	VDD_3V3	3	4
VDD_5V	5	6	VDD_5V	5	6
SYS_5V	7	8	SYS_5V	7	8
PWR_BUT	9	10	SYS_RESETN	9	10
GPIO_30	11	12	GPIO_60	11	12
GPIO_31	13	14	GPIO_50	13	14
GPIO_48	15	16	GPIO_51	15	16
GPIO_5	17	18	GPIO_4	17	18
I2C2_SCL	19	20	I2C2_SDA	19	20
GPIO_3	21	22	GPIO_2	21	22
GPIO_49	23	24	GPIO_15	23	24
PRUO_7	25	26	PRU1_16_IN	25	26
PRUO_5	27	28	PRUO_3	27	28
PRUO_1	29	30	PRUO_2	29	30
PRUO_0	31	32	VDD_ADC	31	32
AIN4	33	34	GNDA_ADC	33	34
AIN6	35	36	AINS	35	36
AIN2	37	38	AIN3	37	38
AIN0	39	40	AIN1	39	40
PRUO_6	41	42	PRUO_4	41	42
DGND	43	44	DGND	43	44
DGND	45	46	DGND	45	46

Figura 2.13: Pinos da BeagleBone Black acessíveis pela PRU-ICSS.

Fonte: Site oficial da Fundação BeagleBoard.org⁵

⁵Disponível em <http://beagleboard.org/Support/bone101>

Tabela 2.3: Mapa de Memória Local da PRU.
Fonte: adaptado de TEXAS INSTRUMENTS(2014)

Endereço Inicial	PRU0	PRU1
0x0000_0000	Mem. dados da PRU0	Mem. dados da PRU1
0x0000_2000	Mem. dados da PRU1	Mem. dados da PRU0
0x0001_0000	Mem. dados compartilhada	Mem. dados compartilhada
0x0002_0000	INTC	INTC
0x0002_2000	Controle da PRU0	Controle da PRU0
0x0002_2400	Reservado	Reservado
0x0002_4000	Controle da PRU1	Controle da PRU1
0x0002_4400	Reservado	Reservado
0x0002_6000	CFG	CFG
0x0002_8000	UART0	UART0
0x0002_A000	Reservado	Reservado
0x0002_C000	Reservado	Reservado
0x0002_E000	IEP	IEP
0x0003_0000	eCAP0	eCAP0
0x0003_2000	Reservado	Reservado
0x0003_2400	Reservado	Reservado
0x0003_4000	Reservado	Reservado
0x0003_8000	Reservado	Reservado
0x0004_0000	Reservado	Reservado
0x0008_0000	System OCP_HP0	System OCP_HP1

As interfaces de interrupção e de GPIO estão contidas nos registradores R30 e R31: o registrador R31 é utilizado tanto para interface dos pinos configurados como entrada quanto para leitura e/ou geração de eventos de interrupção, enquanto o registrador R30 retorna status ou muda o valor dos pinos configurados como saída, para leitura e escrita, respectivamente. Embora a entrada possa ser configurada nos modos de captura paralela de 16 bits e trem de pulsos de 28 bits, estes modos de operação não serão detalhados, já que seu uso não está previsto no escopo deste projeto. O mesmo é válido para a saída, que além do modo direto, pode ser configurada para transmitir um trem de pulsos [17].

Outra característica da PRU é a existência de um IEP - *Industrial Ethernet Peripheral* (Periférico Ethernet Industrial, em tradução livre), composto de um *timer* para Ethernet industrial com 8 eventos de comparação e uma porta digital de E/S. O *timer* Ethernet industrial é simplesmente um temporizador de 32 bits e, portanto, pode ser utilizado para uso geral. É um contador positivo, cujo valor dos incrementos pode ser programado na faixa de 1-16, com compensador de uso opcional. Os 8 registradores comparadores permitem a criação de eventos cada vez que o valor do comparador corresponde ao do temporizador [17].

Tabela 2.4: Mapa de Memória Global da PRU.
 Fonte: adaptado de TEXAS INSTRUMENTS(2014)

Endereço de Offset	PRU-ICSS
0x0000_0000	Mem. dados da PRU0
0x0000_2000	Mem. dados da PRU1
0x0001_0000	Mem. dados compartilhada
0x0002_0000	INTC
0x0002_2000	Controle da PRU0
0x0002_2400	Debug da PRU0
0x0002_4000	Controle da PRU1
0x0002_4400	Debug da PRU1
0x0002_6000	CFG
0x0002_8000	UART0
0x0002_A000	Reservado
0x0002_C000	Reservado
0x0002_E000	IEP
0x0003_0000	eCAP0
0x0003_2000	Reservado
0x0003_2400	Reservado
0x0003_4000	IRAM da PRU0
0x0003_8000	IRAM da PRU1
0x0004_0000	Reservado

No que diz respeito ao desenvolvimento de *firmware* para a PRU, há um conjunto de instruções RISC em assembly, suportado por um conjunto de ferramentas que ajudam a gerar o arquivo binário a ser carregado na memória de programa. Alguns exemplos são o *assembler*, *archiver* e o *linker* [19]. Outra ferramenta de desenvolvimento proporcionada pela Texas Instruments é um compilador C/C++, que facilita a programação em níveis de abstração elevados [20]. A figura 2.14 apresenta um diagrama de blocos que ilustra os passos a serem executados desde compilar o código C/C++ até carregar o arquivo executável na memória de programa da PRU.

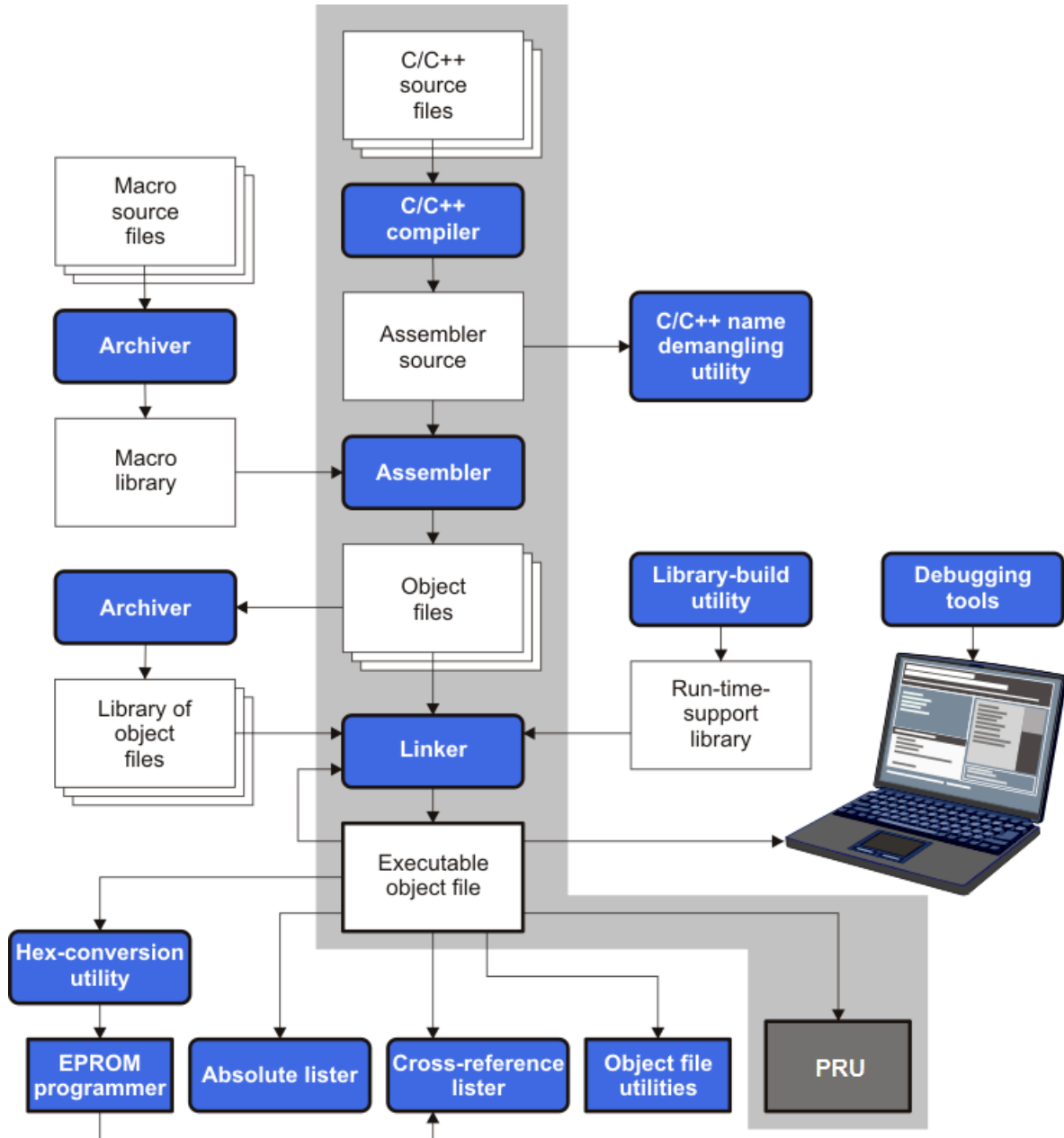


Figura 2.14: Fluxo de desenvolvimento de software da PRU.

Fonte: TEXAS INSTRUMENTS

2.3.2 Device Tree

A *Device Tree* ou *DT* é basicamente uma estrutura de dados utilizada para descrever *hardware*, cujo objetivo é possibilitar que as características de *hardware* de um sistema específico sejam passadas para o SO durante o *boot*, ao invés de estas informações ficarem gravadas no SO [21], o que possibilita que um *driver* do Kernel seja usado em configurações diferentes de *hardware* sem a necessidade de modificações em seu código-fonte. Com relação

aos sistemas equipados com processadores ARM, a necessidade de uso da DT surgiu devido ao grande número de novas placas, que tornou muito difícil manter uma versão do Kernel para cada sistema. Seu objetivo não é modificar o sistema em tempo de execução, porém no caso da BBB, foi criada uma solução chamada *Device Tree Overlay* (ou sobreposição) para executar esta função, facilitando a configuração de GPIO, dentre outras funções, e uso da DT pelo usuário final [22], fatores que são do interesse de aprendizes da área.

Uma DT é uma estrutura em árvore, composta de nós e propriedades. Uma abordagem para entender o seu funcionamento é por meio de um exemplo de sobreposição específico para a BBB. Na caixa de código-fonte 2.1 é apresentado um exemplo de sobreposição de DT específico da BBB que apresenta os principais conceitos para o uso desta ferramenta.

Neste código, na linha 14 é definida a plataforma à qual esta DT se refere. Com isso, ficam declaradas as funcionalidades de *hardware* do sistema. Na sequência, a identificação mostra quais sobreposições de DT estão carregadas e o nome do arquivo compilado deve ser igual ao nome nela atribuído; a versão deve ser 00A0 para a BBB. Entre as linhas 20 e 26 são listados os recursos de *hardware* utilizados por esta sobreposição, que impedem que outras sobreposições que usem os mesmos recursos sejam carregadas; no caso deste exemplo, os pinos referentes à UART1, assim como o próprio dispositivo UART1 são utilizados. A seguir, os fragmentos descrevem qual dispositivo terá suas configurações sobrepostas. No fragmento 0, é o multiplexador dos pinos da BBB, compatível com o *driver pinctrl-single* - os dois valores hexadecimais utilizados para cada pino são o *offset* do pino com relação ao seu registrador e a configuração do pino. Já no fragmento 1 é configurada a interface UART1. Por enquanto, serão introduzidas somente as questões referentes à configuração do multiplexador, uma vez que seu conhecimento foi necessário para o uso dos pinos no modo GPIO.

Para determinar o valor hexadecimal de *offset* do pino ao qual se deseja aplicar uma configuração, primeiro é preciso obter seu nome a partir do seu número na barra de pinos, conforme ilustrado na figura 2.11, consultando as tabelas 2.6 e 2.7, nas quais o nome do pino é referente ao **modo 0**, que também é o nome do pino no manual do SoC [14, 17]. A seguir, obtém-se o valor hexadecimal do registrador referente ao pino, na tabela II.1 presente no anexo II, adaptada do manual do SoC, e subtrai-se 0x800 de seu valor original.

```

1  /* Copyright (C) 2013 CircuitCo */
2  /dts-v1/;
3  /plugin/;
4
5  {
6      compatible = "ti,beaglebone", "ti,beaglebone-black";
7
8      /* identification */
9      part-number = "BB-UART1";
10     version = "00A0";
11
12     /* state the resources this cape uses */
13     exclusive-use =
14         /* the pin header uses */
15         "P9.24",           /* uart1_txd */
16         "P9.26",           /* uart1_rxd */
17         /* the hardware ip uses */
18         "uart1";
19
20     fragment@0 {
21         target = <&am33xx_pinmux>;
22         __overlay__ {
23             bb_uart1_pins: pinmux_bb_uart1_pins {
24                 pinctrl-single,pins = <
25                     /* P9.24 uart1_txd.uart1_txd MODE0 OUTPUT (TX) */
26                     0x184 0x20
27                     /* P9.26 uart1_rxd.uart1_rxd MODE0 INPUT (RX) */
28                     0x180 0x20
29                 >;
30             };
31         };
32     };
33
34     fragment@1 {
35         target = <&uart2>; /* really uart1 */
36         __overlay__ {
37             status = "okay";
38             pinctrl-names = "default";
39             pinctrl-0 = <&bb_uart1_pins>;
40         };
41     };
42 }

```

Código-fonte 2.1: Sobreposição de *device tree*

Com relação à configuração do pino, este aceita os parâmetros de ajuste de *slew-rate*, ativação do *buffer* de entrada, ajuste e ativação do *pull-up/pull-down* interno e seleção do modo de operação do pino. Note-se que, com relação ao buffer de entrada, ao menos um blog da internet refere-se a este bit como sendo um bit de seleção para entrada **ou** saída [23], porém o manual indica que quando o bit está setado, o pino pode ser usado tanto como entrada quanto saída [17]. A tabela 2.5 apresenta os campos do registrador de controle de E/S, assim como a descrição de cada campo e os valores aceitos.

Tabela 2.5: Descrição dos campos do registrador de controle de pads.

Fonte: adaptado de TEXAS INSTRUMENTS(2014)

Bit	Campo	Valor	Descrição
31-7	Reservado		Reservado. Leitura retorna 0
6	SLEWCTRL	0 1	Seleciona entre <i>slew-rate</i> rápido ou lento 0 - rápido 1 - lento
5	RXACTIVE	0 1	Ativa modo de entrada para o pino 0 - somente saída 1 - Receptor ativado. Entrada ou saída.
4	PULLTYPESEL	0 1	Seleção de pull-up/pull-down 0 - pull-down 1 - pull-up
3	PULLUDEN	0 1	Habilita pull-up/pull-down 0 - habilitado 1 - desabilitado
2-0	MUXMODE	0-7	Seleção de funcionalidade do pino multiplexado

Tabela 2.6: Lista de pinos do *header P8* e seus respectivos modos de funcionamento

Fonte: COLEY (2014)

REF: BBONEBLK_SRM BeagleBone Black System Reference Manual Rev C.1										
Table 12. Expansion Header P8 Pinout										
PIN	PROC	NAME	MODE0	MODE1	MODE2	MODE3 GND	MODE4	MODE5	MODE6	MODE7
1,2										
3	R9	GPIO1_6	gpmc.ad6	mmc1.dat6						gpio1[6]
4	T9	GPIO1_7	gpmc.ad7	mmc1.dat7						gpio1[7]
5	R8	GPIO1_2	gpmc.ad2	mmc1.dat2						gpio1[2]
6	T8	GPIO1_3	gpmc.ad3	mmc1.dat3						gpio1[3]
7	R7	TIMER4	gpmc.advn.ale	timer4						gpio2[7]
8	T7	TIMER7	gpmc.oen.ren	timer7						gpio2[3]
9	T6	TIMER5	gpmc.beon.cle	timer5						gpio2[4]
10	U6	IM2R6	gpmc.beon.cmd	timer6						gpio2[1]
11	R12	GPIO1_13	gpmc.ad13	lcd_data18	mmc1.dat5	mmc2.dat1	eQEP2B.in	pr1.pru0.pru.r30..15	gpio1[13]	
12	T12	GPIO1_12	gpmc.ad12	lcd_data19	mmc1.dat4	Mmc2.dat0	Egpe2a.in	pr1.pru0.pru.r30..14	gpio1[12]	
13	T10	FHRPWM2B	gpmc.ad9	lcd_data22	mmc1.dat2	mmc2.dat5	ehrpwm2PB		gpio0[23]	
14	T11	GPIO0_26	gpmc.ad10	lcd_data21	mmc1.dat2	mmc2.dat6	ehrpwm2_trijzone.in		gpio0[26]	
15	U13	GPIO1_15	gpmc.ad15	lcd_data16	mmc1.dat7	mmc2.dat3	eQEP2_strobe	pr1.pru0.pru.r31..15	gpio1[15]	
16	V13	GPIO1_14	gpmc.ad14	lcd_data17	mmc1.dat6	mmc2.dat2	eQEP2_index	pr1.pru0.pru.r31..14	gpio1[14]	
17	U12	GPIO1_27	gpmc.ad11	lcd_data20	mmc1.dat3	mmc2.dat7	ehrpwm0.sync		gpio0[27]	
18	V12	GPIO1_0	gpmc.clk.mux0	lcd_memory.clk	gpmc.wait1	mmc2.clk			mcasp0.fsr	gpio211
19	U10	EHRPWM2A	gpmc.ad8	lcd_data23	mmc1.dat0	mmc2.dat4	ehrpwm2A			gpio0[22]
20	V9	GPIO1_31	gpmc.csn2	gpmc.be1n	mmc1.cmd			pr1.pru1.pru.r30..13	pr1.pru1.pru.r31..13	gpio131
21	U9	GPIO1_30	gpmc.cs1	gpmc.clk	mmc1.clk			pr1.pru1.pru.r30..12	pr1.pru1.pru.r31..12	gpio130
22	V8	GPIO1_5	gpmc.ads	mmc1.dat5						gpio1[5]
23	U9	GPIO1_4	gpmc.ad4	mmc1.dat4						gpio1[4]
24	V7	GPIO1_1	gpmc.ad1	mmc1.dat1						gpio1[11]
25	U7	GPIO1_0	gpmc.ad0	mmc1.dat0						gpio1[0]
26	V6		gpmc.csn0							gpio129
27	U5	GPIO2_22	lcd_vsync	gpmc.a8				pr1.pru1.pru.r30..8	pr1.pru1.pru.r31..8	gpio222
28	V5	GPIO2_24	lcd_pdk	gpmc.a10				pr1.pru1.pru.r30..10	pr1.pru1.pru.r31..10	gpio224
29	R5	GPIO1_23	lcd_hsync	gpmc.a9				pr1.pru1.pru.r30..9	pr1.pru1.pru.r31..9	gpio223
30	R6	GPIO1_25	lcd_ac_bias_en	gpmc.a11						gpio225
31	V4	UART5_CTSN	lcd_data14	gpmc.a18	eQEP1_index	mcasp0_axr1	uart5_rx		uart5_ctsn	gpio0[10]
32	T5	UART5_RTSN	lcd_data15	gpmc.a19	eQEP1_strobe	mcasp0_axhdk	mcasp0_axr3		uart5_rtsn	gpio0[11]
33	V3	UART4_RTSN	lcd_data13	gpmc.a17	eQEP1B_in	mcasp0_fsr	mcasp0_axr3		uart4_rtsn	gpio0[9]
34	U4	UART3_RTSN	lcd_data11	gpmc.a15	ehrpwm1B	mcasp0_axhdk	mcasp0_axr2		uart3_rtsn	gpio2171
35	W4	UART3_CTSN	lcd_data12	gpmc.a16	eQEP1A_in	mcasp0_axr1	mcasp0_axr0		uart4_ctsn	gpio2160
36	U5	UART3_CTSN	lcd_data10	gpmc.a14	ehrpwm1A	mcasp0_axr0			uart2_ctsn	gpio2141
37	U1	UART5_RXD	lcd_data8	gpmc.a12	ehrpwm1_trijzone.in	mcasp0_axdk	uart5_tx		uart2_rtsn	gpio2155
38	U2	UART5_RXD	lcd_data9	gpmc.a13	ehrpwm0.sync	mcasp0_fsr	uart5_rx			gpio2156
39	T3	GPIO1_12	lcd_data6	gpmc.a6	eQEP2_index			pr1.pru1.pru.r30..6	pr1.pru1.pru.r31..6	gpio2121
40	T4	GPIO2_13	lcd_data7	gpmc.a7	eQEP2_strobe	prt_edio_data_out7	pr1.pru1.pru.r30..7	pr1.pru1.pru.r31..7		gpio2131
41	T1	GPIO2_10	lcd_data4	gpmc.a4	eQEP2A_in			pr1.pru1.pru.r30..4	pr1.pru1.pru.r31..4	gpio210
42	T2	GPIO2_11	lcd_data5	gpmc.a5	eQEP2B_in			pr1.pru1.pru.r30..5	pr1.pru1.pru.r31..5	gpio2111
43	R3	GPIO2_8	lcd_data2	gpmc.a2	ehrpwm2_trijzone.in			pr1.pru1.pru.r30..2	pr1.pru1.pru.r31..2	gpio28
44	R4	GPIO2_9	lcd_data3	gpmc.a3	ehrpwm0.sync			pr1.pru1.pru.r30..3	pr1.pru1.pru.r31..3	gpio29
45	R1	GPIO2_6	lcd_data0	gpmc.a0	ehrpwm2A			pr1.pru1.pru.r30..0	pr1.pru1.pru.r31..0	gpio26
46	R2	GPIO2_7	lcd_data1	gpmc.a1	ehrpwm2B			pr1.pru1.pru.r30..1	pr1.pru1.pru.r31..1	gpio27

REF: BBONEBLK_SRM

BeagleBone Black System
Reference Manual

Rev C.1

Table 13. Expansion Header P9 Pinout

PIN	PROC	NAME	MODE0	MODE1	MODE2	MODE3	MODE4	MODE5	MODE6	MODE7	
1.2						GND					
3.4						DC_3.3V					
5.6						VDD_5V					
7.8						SYS_5V					
9						PWR_BUT					
10	A10					SYS_RESETn					
11	T17	UART4_RXD	gpmc_wai0	mlm2_crs	gpmc_csn4	mlm2_crs_dy	mmc1_sdcl	pr1_wai0_nx2	gpio[30]		
12	U18	GPIO1_28	gpmc_be1n	mlm2_col	gpmc_csn6	mlm2_daf3	gpmc_dlr	pr1_wai0_nx2	gpio[28]		
13	U17	UART4_TXD	gpmc_wpn	mlm2_txerr	gpmc_csn5	mlm2_txerr	mmc2_sdcl	pr1_wai0_nx2	gpio[31]		
14	U14	EHRPWM1A	gpmc_a2	mlm2_tdx3	rgmii2_tdi3	mlm2_daf1	gpmc_a1B	ehrmwi1a_max1	gpio[118]		
15	R13	GPIO1_16	gpmc_a0	mlm2_txen	rgmii2_tcl1	mlm2_beon	gpmc_a16	ehrmwi1_lepoze_input	gpio[116]		
16	T14	EHRPWM1B	gpmc_a3	mlm2_tdx2	rgmii2_tdi2	mlm2_daf2	gpmc_a19	ehrmwi1B_max1	gpio[119]		
17	A16	I2C1_SCL	sp1_sd0	mmc1_sdwp	I2C1_SCL	ehrmwi0_sync1	pr1_wai0_tdx		gpio[5]		
18	B16	I2C1_SDA	sp1_d1	mmc1_sdwp	I2C1_SDA	ehrmwi0_trigzone	pr1_wai0_ned		gpio[6]		
19	D17	I2C2_SCL	wai1_tsn	timer5	I2C2_SCL	sp1_csl	pr1_wai0_ns_n		gpio[13]		
20	D18	I2C2_SDA	wai1_tsn	timer6	I2C2_SDA	sp1_csd	pr1_wai0_csl_n		gpio[12]		
21	B17	UART2_RXD	sp1_csd	uart1_sd0	I2C2_SDA	ehrmwi0_t			gpio[15]		
22	A17	UART2_RXD	sp1_csd	uart1_sd1	I2C2_SDA	ehrmwi0_A	pr1_wai0_csl_n		EMU2_max1		
23	V14	GPIO1_20	gpmc_a1	rgmii2_rxvif	rgmii2_rxvif	mmci2_mmci	gpmc_a17		gpio[117]		
24	D15	UART1_RXD	wai1_txd	mmc2_sdwp	I2C1_SCL		pr1_wai0_hed	pr1_pru0_pru_r31_16	gpio[15]		
25	A14	GPIO1_21	mcasp0_ahdtx	eOEP0_strobe	mcasp1_axr3	mcasp1_t1	EMU4_mmux2	pr1_pru0_pru_r31_7	gpio[321]		
26	D11	UART1_RXD	wai1_txd	mmc1_sdwp	I2C1_SD		pr1_wai0_ned	pr1_pru0_pru_r31_16	gpio[14]		
27	C13	GPIO3_19	mcasp0_jsr	eOEP0_in	mcasp1_axr3	mcasp1_jsx	EMU2_mmux2	pr1_pru0_pru_r30_5	pr1_pru0_pru_r31_5	gpio[319]	
28	C12	SP1_CSO	mcasp0_ahdrk	ehrmwi0_sync1	mcasp0_axr2	sp1_csl	eCAP2_in_PWM2_out	pr1_pru0_pru_r30_3	pr1_pru0_pru_r31_3	gpio[317]	
29	B13	SP1_D0	mcasp0_jsr	ehrmwi0		sp1_d0	mmci1_sdcl_mx1	pr1_pru0_pru_r31_1	pr1_pru0_pru_r31_2	gpio[315]	
30	D12	SP1_D1	mcasp0_axr0	ehrmwi0_trigzone		sp1_d1	mmci2_sdcl_mx1	pr1_pru0_pru_r30_2	pr1_pru0_pru_r31_1	gpio[316]	
31	A13	SP1_SCLK	mcasp0_actrx	ehrmwi0A		sp1_sclk	mmci0_sdcl_mx1	pr1_pru0_pru_r30_0	pr1_pru0_pru_r31_0	gpio[314]	
32						VADC					
33	C8					AIN4					
34						AGND					
35						AIN5					
36	B8					AIN6					
37	B7					AIN2					
38	A7					AIN3					
39	B6					AIN0					
40	C7					AIN1					
41#	D14	CLKOUT2	xdma_event_intr		tclk1n	clkout2	timer7_mx1	pr1_pru0_pru_r31_16	EMU3_mxu0	gpio[20]	
D13	GPIO1_20		mcasp0_axr1	eOEP0_index		Mcasp1_axr0	emu3	pr1_pru0_pru_r30_6	pr1_pru0_pru_r31_6	gpio[320]	
C18	GPIO0_7		eCAP0_in_PWM0_out	uart3_tdx	sp1_csl	pr1_ecap0_capn_gpmi_o	sp1_sclk	mmci0_sdwp	xdma_event_intr2	gpio[7]	
B22	GPIO3_18		Mcasp0_actrx	eOEP0_in	Mcasp1_axr2	Mcasp1_actrx		pr1_pru0_pru_r30_4	pr1_pru0_pru_r31_4	gpio[318]	
43-46						GND					

*GPIO3_21 is also the 24.576MHZ clock input to the processor to enable HDMI audio. To use this pin the oscillator must be disabled.



Page 86 of 126



2.4 Programação em Node.js (Javascript)

Node.js é um ambiente em tempo de execução recente, criado em 2009 [24], que permite a execução no servidor — neste caso, a BBB — de programas escritos em Javascript. Para tal, este ambiente utiliza um motor implementado pelo Google para seu navegador Chrome — o V8, que compila o Javascript em código de máquina e não *bytecode* ou interpretação *on-the-fly*, o que torna a sua execução extremamente rápida [25], embora seja importante lembrar que o *overhead* inerente de linguagens de tipagem dinâmica custa o tempo de processamento de resolução do tipo de variável utilizada [26].

Node, devido à natureza assíncrona de I/O do Javascript, implementa um suporte nativo à programação orientada a eventos, ainda que seja executado em uma única *thread*, ou seja, diversas porções de código são multiplexadas no tempo. Isto o torna um diferencial com relação às outras linguagens de programação mais populares, que exigem do desenvolvedor a implementação de processos de *multithreading* para atingir paralelismo de processamento [27]. Ainda, o estilo de programação em Node é orientado a *callbacks*, que nada mais é do que passar como argumento uma função que será executada assim que um evento acabar.

Historicamente, o desenvolvimento de *multithreading* surgiu da necessidade de serviços de rede que possibilitassem múltiplas comunicações em paralelo, o que é conhecido como múltiplas fontes de I/O e assim será referenciado neste trabalho. Como linguagens tradicionais de programação, mais antigas, focam na implementação de aplicações operadas por um único ser humano, com o desenvolvimento da internet esta realidade mudou drasticamente, exigindo processamento de I/O massivo [28]. Em processadores com diversos núcleos, isso significa processamento em paralelo, enquanto em processadores com um único núcleo é implementada uma multiplexação temporal que permite tal técnica. O fato mais notável das implementações de *multithreading* é a complexidade do código, que não é trivial e geralmente dá origem a códigos mal estruturados e repletos de variáveis globais, difíceis de manter e muitas vezes referenciados como código espaguete [27, 28].

Javascript, que nasceu como uma linguagem para execução no cliente, tornou-se a espinha dorsal de aplicações HTML modernas e, recentemente, ficou muito popular dentre aplicações no servidor. Especificamente em Node, o comportamento assíncrono é a regra geral, devido à orientação a eventos. Isto leva programadores acostumados a linguagens síncronas como C a terem dificuldades iniciais de programação: o uso de *callbacks* de evento é fundamental para estruturar a ordem com que certas tarefas são executadas, sempre após o final do evento pai [28]. É importante salientar que este tipo de implementação ocorre de forma transparente ao desenvolvedor mas, na verdade, nada mais é do que um *loop* principal cujo objetivo é cuidar de todas as chamadas a funções. Outro ponto notável relacionado ao Node é que, para executar aplicações em múltiplos núcleos, é preciso executar múltiplas instâncias, o que pode ser gerenciado com bibliotecas de suporte [27, 28]. Note-se também que os termos *orientado a eventos* e *assíncrono* são equivalentes [28].

Para ilustrar o comportamento assíncrono do Node, no código da caixa 2.2 não há garantia alguma de que a função executada na segunda linha receba um parâmetro diferente de nulo (Null) [28]:

```
1 var botaostatus = leBotao();
2 imprimeValorBotao(botaostatus); //não ha garantia de que
    leBotao ja acabou de ser executada
```

Código-fonte 2.2: Implementação incorreta de código em Node.js

A maneira correta para executar este tipo de código seria usando uma função de *callback*, como descrito no trecho de código da caixa 2.3, embora esta não seja a única maneira de fazê-lo. Observe-se que a função é declarada como um parâmetro de *leBotao* e não tem nome — é uma função anônima. Embora isto seja prático, do ponto de vista de manutenção de código

e *debug* é uma prática que deve ser evitada, uma vez que pode originar uma situação de dificuldade de manutenção de código conhecida como *callback hell*, ou *inferno de callbacks* [29, 30].

```
1 leBotao(function(botaoStatus) {
2     imprimeValorBotao(botaoStatus); // so acontece depois que o
3     // botao eh lido
}) ;
```

Código-fonte 2.3: Implementação de código em Node.js orientada a callback

2.4.1 Node Package Manager - NPM

O *Node Package Manager*, ou simplesmente NPM, é não somente um gerenciador de pacotes como também é um repositório de pacotes de terceiros e um padrão para definição de dependências. Seu uso não é obrigatório, mas à medida que aplicações mais complexas são desenvolvidas se torna quase mandatório, pois assim é possível usar módulos prontos para executar diversas tarefas com facilidade. Uma vantagem do NPM é que os módulos podem ser instalados localmente, restringindo-os ao diretório do projeto e, portanto, garantindo certo nível de segurança. [28]. Na caixa 2.4 é apresentado um exemplo no qual o pacote fictício *meuPacote* é instalado para a versão mais recente adicionada ao repositório do NPM:

```
1 npm install meuPacote@latest
```

Código-fonte 2.4: Instalação de pacote usando o NPM

Outro exemplo de uso do NPM é a definição de dependências de um projeto e posterior possibilidade de instalação de todas elas de uma só vez. Para isto, um arquivo no formato JSON descreve estas dependências e outras informações do projeto, conforme ilustrado no exemplo da caixa 2.5:

```
1 {
2     "name" : "meuPacote",
3     "version" : "1.0.0",
4     "dependencies" : {
5         "debug" : "0.3.x",
6         "nano" : "*",
7         "request" : ">0.2.0"
8     }
9 }
```

Código-fonte 2.5: Descrição e dependências de um projeto usando NPM

E a instalação das dependências é executada conforme descrito na caixa 2.6, assumindo que o presente diretório de trabalho é o mesmo do projeto:

```
1 npm install
```

Código-fonte 2.6: Instalação de dependências usando o NPM

2.4.2 MEAN Stack

MEAN é uma pilha de desenvolvimento (similar à amplamente difundida pilha LAMP) de código aberto, voltada para o desenvolvimento de aplicações web e que provê um conjunto de quatro ferramentas. Juntas, estas são a base necessária para a criação de aplicações tanto de servidor quanto do cliente. Cada uma das 4 letras deste acrônimo representa uma das ferramentas [31]:

- **MongoDB** - banco de dados orientado a objetos
- **Express.js** - framework para criação de servidor web e roteamento
- **Angular.js** - framework para aplicações web
- **Node.js** - base da aplicação do servidor

Note-se que toda a pilha é baseada na linguagem Javascript, o que permite ao desenvolvedor de uma solução completa uma curva de aprendizado mais rápida, pois menos tempo é empregado aprendendo a sintaxe e o paradigma de programação e mais tempo dedicado à funcionalidade da aplicação em si [31]. Dois casos de aplicações web desenvolvidas em Node são o serviço de streaming de vídeo Netflix, que inclusive encontrou alguns problemas relacionados ao uso do framework Express [32], e a empresa de transporte Uber [33].

2.4.3 Servidor Express.js

Express é um framework de *middleware* para implementação de aplicações web no servidor, incluindo mas não limitado a roteamento e operações HTTP, a exemplo dos métodos GET e POST. Embora o Node apresente um módulo dedicado a HTTP, a proposta do Express é simplificar seu uso e evitar que o mesmo trabalho seja realizado múltiplas vezes e por várias pessoas diferentes [31].

Dentre as facilidades proporcionadas pelo Node está a fácil implementação de diferentes respostas para diferentes tipos de requisições baseadas no método HTTP e a renderização dinâmica de documentos HTML [28]. O tratamento de requisições baseadas no método HTTP, possibilitado pelo Express, também é conhecido como RESTful API, que é uma API baseada no REST (*Representational State Transfer*). Este por sua vez é um modelo para serviços web que implementa as operações HTTP POST, GET, PUT e DELETE, que são mapeadas como operações básicas de banco de dados: criar, ler, atualizar e deletar [31].

2.5 Circuitos de Interface

No âmbito deste trabalho, circuitos de interface são circuitos eletrônicos que possibilitaram a interação entre a plataforma BeagleBone Black e os sensores e atuadores do sistema mecânico. O projeto adequado destes circuitos foi essencial não somente para que o projeto funcionasse corretamente, mas também para evitar que componentes do sistema, a exemplo da BBB, fossem danificados. Nesta seção, será abordada a teoria essencial para o projeto destes, desde conceitos relacionados à teoria de sinais, passando por alguns elementos básicos da eletrônica e finalizando com as características dos sensores e atuadores empregados.

2.5.1 Sinais

Sinais são funções matemáticas que guardam informações acerca de fenômenos físicos, a exemplo da temperatura de um elemento em função do tempo ou a representação do som de um instrumento musical. Na figura 2.15 é apresentado um período de um sinal senoidal puro. Uma vez que, para obter informações a partir de um sinal, é preciso processá-lo, as mais diversas grandezas físicas devem ser convertidas para grandezas manipuláveis pelo sistema de processamento — que no caso de circuitos eletrônicos é comumente a tensão elétrica, embora outras grandezas também sejam utilizadas [34]. Para que a conversão de diferentes grandezas físicas em sinais elétricos seja possível, são empregados dispositivos sensores e transdutores.

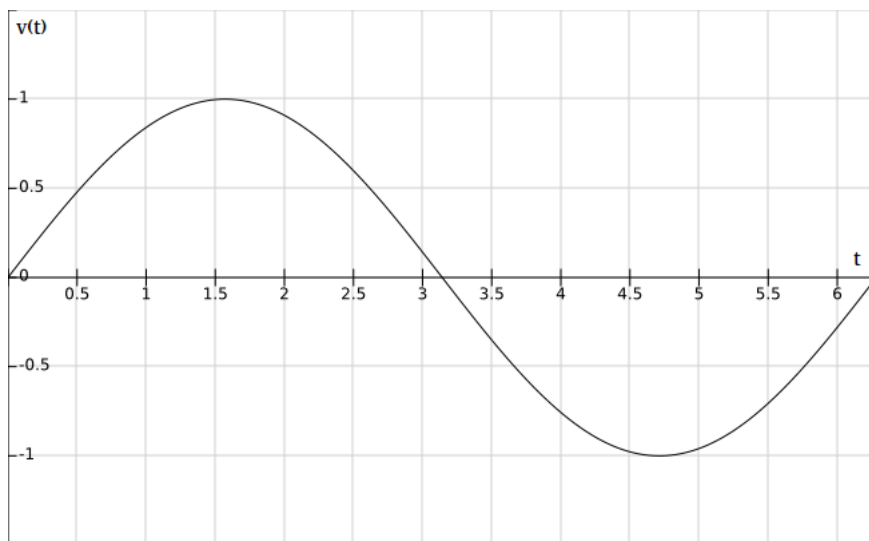


Figura 2.15: Sinal senoidal em função do tempo

2.5.2 Dispositivos Semicondutores

Diodos são os elementos eletrônicos mais simples, constituídos de dois terminais que estão conectados a uma junção PN, ou seja, a uma junção formada pelo contato entre dois cristais semicondutores dopados com impurezas de polaridades opostas [35]. O efeito prático desta junção é a capacidade de retificação: quando uma DDP positiva é aplicada aos terminais do diodo conforme exposto na figura 2.16, a corrente elétrica flui pelos terminais do dispositivo e diz-se que o diodo está polarizado diretamente; caso a DDP aplicada seja invertida, a corrente elétrica deixa de fluir pelo dispositivo [34]. Este é considerado o diodo ideal, que é o modelo mais simplificado deste elemento e não leva em consideração nenhuma característica real do mesmo.

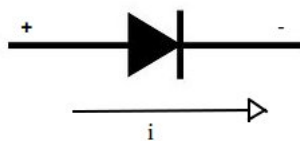


Figura 2.16: Representação esquemática do diodo polarizado diretamente

O diodo ideal é descrito pela equação 2.1, na qual I_s é a corrente de saturação reversa, $k = 11600/\eta$, com η igual a 1 para o germânio e 2 para o silício e T_k é a temperatura em kelvin. Muitas vezes, esta curva é aproximada por um modelo conhecido como *circuito equivalente linear*, composto de um diodo em série com uma fonte de tensão e um resistor, que definem o limiar de condução e o nível de resistência do dispositivo quando está conduzindo [36]. A figura 2.17 ilustra um exemplo de curva do circuito equivalente a partir da representação real. Outra modelagem é conhecida como *modelo para pequenos sinais*, no qual é fixado um ponto de operação em torno do qual a excursão do sinal aplicado ao circuito é pequena, conhecido como ponto de polarização ou **ponto quiescente**. Neste modelo, a região exponencial é aproximada linearmente por um resistor cujo valor é o inverso da inclinação da reta tangente ao ponto de polarização [34]. Cabe salientar que o avanço das ferramentas de computação tornaram possível o cálculo dos mais diversos circuitos eletrônicos de forma rápida e exata, relegando portanto os modelos simplificados a ferramentas de ensino ou para esboço de circuitos simples [36], desde que os modelos empregados nas simulações sejam fiéis ao comportamento real dos componentes [34].

$$I_d = I_s \varepsilon^{kV_d/T_k} - I_s \quad (2.1)$$

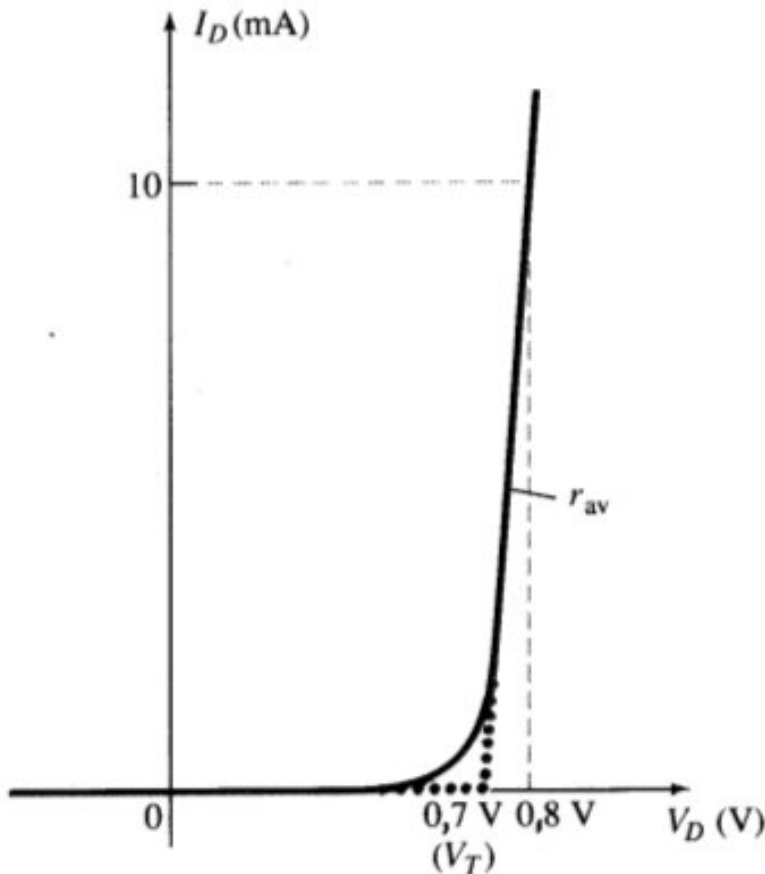


Figura 2.17: Definição do circuito equivalente linear, usando-se segmentos de reta para aproximar a curva característica

Fonte: BOYLESTAD (2011)

A partir do conhecimento obtido com a introdução ao diodo e sua junção PN, será agora abordado o transistor bipolar de junção, também conhecido com BJT. De forma análoga ao diodo, este dispositivo é constituído da junção de três cristais semicondutores dopados, podendo ser uma junção do tipo NPN ou PNP: ambos funcionam de forma complementar, sendo que o tipo NPN conduz majoritariamente elétrons, enquanto o tipo PNP conduz majoritariamente lacunas. Na figura 2.18 são apresentados os sentidos de corrente e os símbolos dos transistores PNP e NPN e, aplicando a lei das correntes de Kirchhoff, obtém-se a relação entre as correntes de emissor, coletor e base do transistor, descritas pela equação 2.2 [36]. Note-se que é usado o sentido real da corrente e não o convencional, comumente adotado em cálculos.

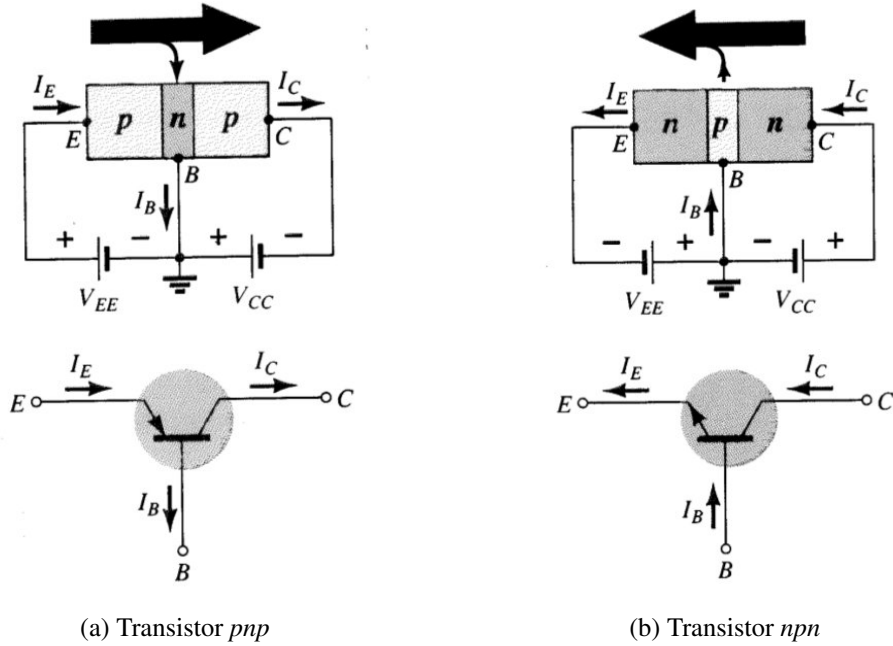


Figura 2.18: Notações e símbolos utilizados para a configuração base-comum.
Fonte: BOYLESTAD (2011)

$$I_e = I_c + I_b \quad (2.2)$$

Para finalizar a introdução ao transistor bipolar, é apresentada uma relação simplificada entre as correntes de coletor I_c e de base I_b na equação 2.3, uma vez que esta é uma relação que permite a realização de cálculos rápidos para esboçar circuitos com transistores BJT. Cabe salientar que a validade desta relação se dá somente quando o transistor está corretamente polarizado e na região de amplificação. Outro fato que deve ser levado em conta é que o valor de β depende das características de construção de cada BJT e é um valor cujo desvio padrão é elevado mesmo se comparados dois transistores reais do mesmo modelo [36]. Ainda que o conteúdo relativo a transistores BJT seja muito mais extenso e detalhado, cabe ao leitor consultar as referências bilbiográficas [36] e [34] para mais detalhes acerca do tema.

$$I_c = \beta \cdot I_b \quad (2.3)$$

Existe outro tipo de transistor conhecido como transistor de efeito de campo ou FET. Embora este seja um dispositivo semelhante ao BJT no que diz respeito à aplicação, ainda assim existem inúmeras diferenças entre eles, dentre as quais a mais notável é o fato de que o BJT é controlado a corrente, enquanto o FET é controlado a tensão. Outra diferença importante é o fato de que transistores FET podem ser de canal *n* ou canal *p*, ou seja, são transistores

unipolares — que conduzem somente elétrons ou somente lacunas, respectivamente. Sendo um dispositivo controlado a tensão, a impedância de entrada é altíssima, muitas vezes considerada infinita em casos práticos [36]. Uma subclasse destes dispositivos muito popular é o MOSFET - popularmente empregado como chave eletrônica na área de circuitos integrados, mas também adotado para chaveamento de dispositivos de alta potência em função da sua baixa impedância quando ligado [34]. O símbolo dos transistores JFET e MOSFET são apresentados na figura 2.19. Os terminais do dispositivo são nomeados *fonte* (*source*), *dreno* (*drain*) e *porta* (*gate*).

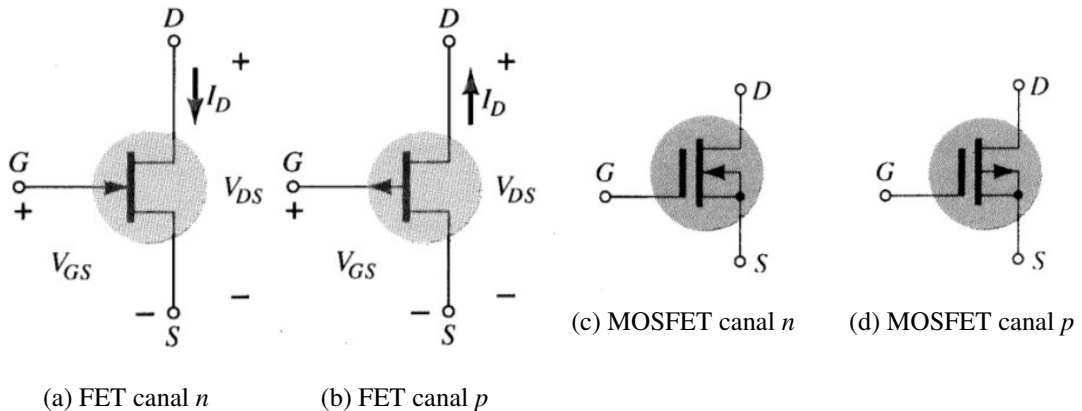


Figura 2.19: Símbolos do JFET e do MOSFET.

Fonte: BOYLESTAD (2011)

Os transistores do tipo FET/MOSFET são também conhecidos como resistores controlados por tensão, o que ajuda a entender seu funcionamento: assumindo que há uma DDP entre os terminais de *dreno* e *fonte* V_{ds} , a resistência à passagem de corrente por estes terminais é controlada pela tensão aplicada à *porta* com relação à *fonte* V_{gs} do dispositivo. Quanto mais próximo de zero é a tensão, maior é o valor da resistência, para os dispositivos FET e MOSFET intensificação [36]. Este comportamento é ilustrado na figura 2.20 e a equação simplificada 2.4 rege o comportamento de I_d em função de V_{gs} , na qual I_{dss} e V_p são os pontos notáveis no gráfico da figura 2.20 [36].

De maneira análoga ao BJT, tanto o FET quanto suas variações, aperfeiçoamentos e aplicações possuem uma teoria vasta, que não cabe a este trabalho detalhar. Para o aprofundamento no tema, recomenda-se a leitura da bilbiografia — em especial de [36] e [34].

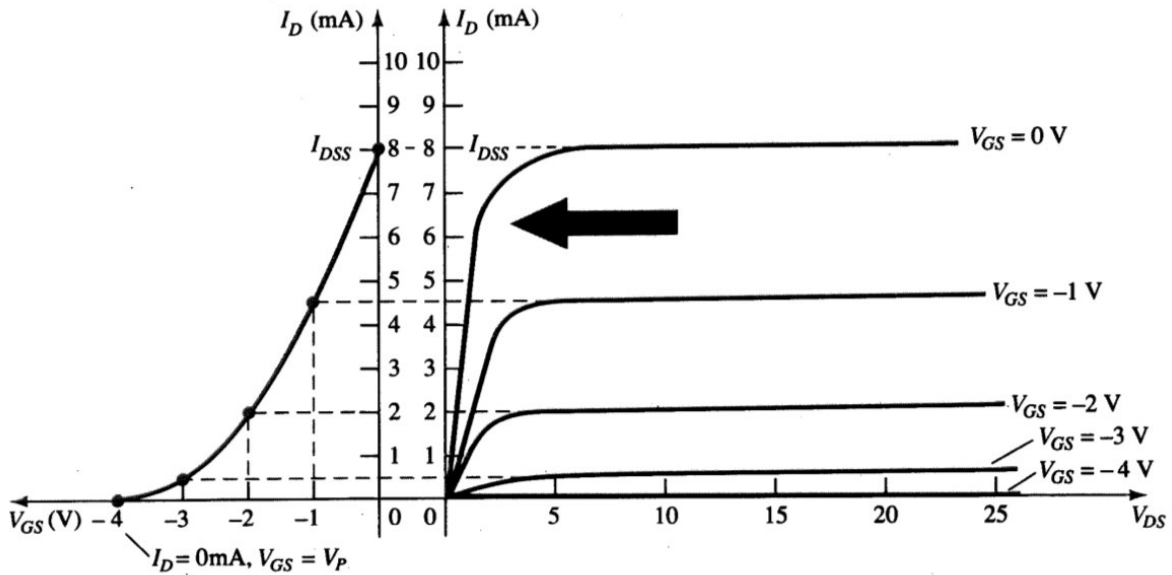


Figura 2.20: Obtendo a curva de transferência das curvas de dreno
Fonte: BOYLESTAD (2011)

$$I_d = I_{dss} \left(1 - \frac{V_{gs}}{V_p} \right)^2 \quad (2.4)$$

2.5.3 Sensor de temperatura DS18B20

O sensor de temperatura DS18B20, projetado pela Maxim, é um sensor digital que utiliza somente um pino de dados para comunicação com o dispositivo *master*, cujas regras são estabelecidas pelo protocolo proprietário de comunicação *I-Wire*® [37].

I-Wire é um protocolo de comunicação serial *half-duplex* que utiliza uma linha para transmissão de dados, além da referência. Ele é do tipo *master/slave*, ou seja, um dispositivo *master* inicia a comunicação e os dispositivos *slave* somente respondem aos seus comandos. No caso deste protocolo específico, todo dispositivo possui um identificador de 64 bits único, dentro do qual um byte indica o tipo do dispositivo. Devido ao seu modo de funcionamento, quando a linha de dados é desconectada, os dispositivos *slave* entram em estado de *reset*, o que favorece seu uso em aplicações de contato. Enquanto a maioria destes dispositivos tem uma faixa de alimentação de 2,80-5,25V e não possui pino para alimentação [38] – utilizando um sistema de alimentação parasita – o sensor DS18B20 tem a possibilidade de alimentação parasita ou não e sua faixa tolerada para funcionamento é de 3-5,5V [37].

Uma vez que este protocolo de comunicação foi concebido para operações nas quais os dispositivos *master* e *slave* estão fisicamente muito próximos, alguns cuidados devem ser

observados ao utilizar linhas de transmissão de longas distâncias para manter a boa performance do sistema [39]. Como o estudo da Maxim acerca das implicações do uso de linhas de longa distância negligencia este aspecto para redes com poucos dispositivos e cabeamento curto (menor que 10m), os cuidados de projeto das redes *1-wire* não serão aqui especificados, deixando um aviso para trabalhos futuros que visem aplicações de longas distâncias ou com número elevado de dispositivos, a exemplo de uma microcervejaria de porte industrial.

Com relação a aspectos específicos do sensor de temperatura, este apresenta precisão de 0,5°C para a faixa de temperaturas de -10°C a +85°C, e de 2,0°C para a faixa completa de operação, de -55°C a +125°C. Quanto à resolução, esta pode ser programada de 9 a 12 bits, sendo 8 bits para a parte inteira e 1 a 4 bits decimais. O custo da melhor resolução é o aumento no tempo de conversão de uma leitura para valor digital, variando de 93,75ms a 750ms para os casos extremos [37].

A arquitetura interna do CI é apresentada na figura 2.21. Nota-se que o dispositivo, por utilizar o protocolo *1-Wire*, tem uma ROM de 64 bits para identificação [38], além de uma região de memória de rascunho, que consiste de uma memória SRAM de 64 bits, dividida em 8 regiões de 1 byte, para promover a interface com as funcionalidades do CI: sensor de temperatura, alarmes programáveis para estouro de valores mínimo e máximo das medições, registrador de configuração da resolução e gerador de código CRC de 8 bits [37]. A figura 2.22 apresenta o mapa de memória do DS18B20 – nota-se que os registradores de configuração e alarme são copiados para uma memória não volátil (EEPROM) após configurados pelo *master*, retendo seus valores mesmo em caso de corte na alimentação. Outra informação útil obtida a partir da figura 2.22 é o valor da temperatura lido após uma queda de alimentação, que é de +85°C até que o dispositivo esteja pronto para uso [37].

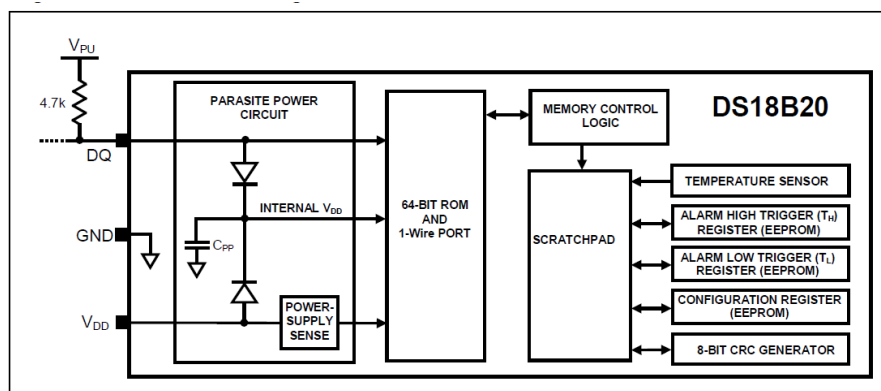


Figura 2.21: Arquitetura interna do DS18B20

Fonte: MAXIM INTEGRATED

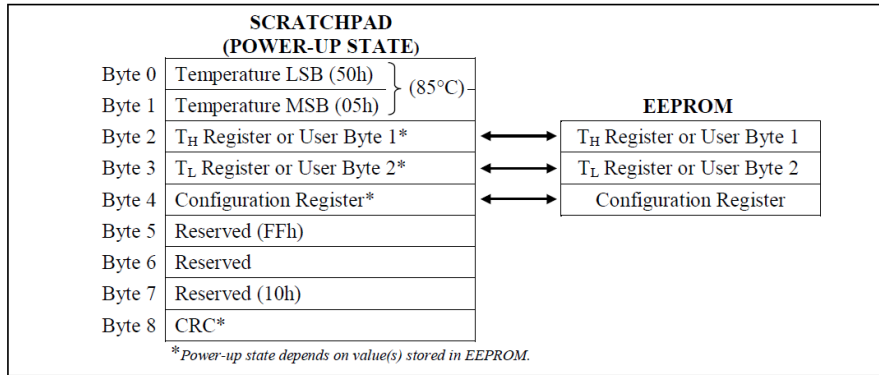


Figura 2.22: Mapa de memória do DS18B20.

Fonte: MAXIM INTEGRATED

As leituras de temperatura são feitas em dois bytes, LSB e MSB, representados na figura 2.23, e que juntos são uma representação em complemento de dois, sendo que os 5 bits mais significativos são redundantes e, para resoluções menores do que 12 bits, o valor dos bits menos significativos é indefinido (1 bit indefinido para 11 bits de resolução; 2 bits indefinidos para 10 bits de resolução, etc).

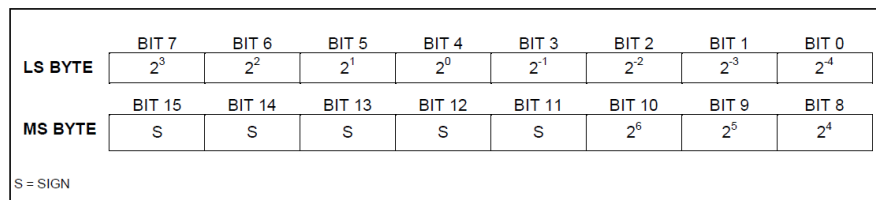


Figura 2.23: Registradores de temperatura do DS18B20.

Fonte: MAXIM INTEGRATED

O Kernel do Linux possui *device drivers* que suportam parcialmente o uso do sensor DS18B20, portanto não há a necessidade de descrever em detalhes o protocolo *I-Wire*. O *device driver* *w1-gpio* controla o barramento (*master*) *I-wire* utilizando a API GPIO para controlar a linha, sendo que a porta utilizada é especificada na descrição de hardware do sistema embarcado (*device tree*) abordada na seção 2.3.2. O *device driver* *w1-therm* suporta algumas famílias de sensores de temperatura da Maxim (*slave*), dentre elas a DS18*20, fazendo conversões básicas de temperatura e fornecendo-as ao sistema por meio do FS (*File System* ou Sistema de Arquivos). O resultado da abertura e leitura do arquivo correspondente a um sensor, é a conversão de temperatura pelo *driver* e posterior fornecimento dos dados recebidos do sensor — status da checagem do CRC e temperatura em °C/1000. Este driver não suporta conversão de temperatura simultânea de múltiplos sensores nem redução da precisão de conversão, portanto só são possíveis leituras de 12 bits, o que leva o acesso pelo FS

a demorar cerca de 750ms. Em caso de alimentação parasita, somente um sensor pode estar conectado à linha por vez e, caso o sistema embarcado ofereça suporte a *pull-up* interno, o driver é capaz de usá-lo [40].

2.6 Sistema de controle de temperatura

2.6.1 Controlador PID

2.6.2 Interface com sensores e atuadores

Capítulo 3

Materiais

Este capítulo lista os materiais empregados no desenvolvimento deste projeto.

3.1 Núcleo do projeto

Os materiais utilizados no núcleo do mesmo estão contidos na tabela 3.1:

Tabela 3.1: Lista de materiais que compõem o núcleo do projeto

Descrição	Quantidade
BeagleBone Black Rev. C	1
Fonte de tensão 5V/2A	1
Cartão µSD 4GB	1
Adaptador Wi-Fi USB Ralink RT5370	1
Sonda de aço inoxidável à prova d'água com sensor DS18B20	1

3.2 Sistema mecânico

Os materiais utilizados na construção da parte mecânica do sistema estão listados na tabela 3.2:

Tabela 3.2: Lista de materiais utilizados na confecção do subsistema mecânico

Descrição	Quantidade
Itens diversos	
Caldeirão de alumínio n.º36 (32 litros)	2
Resistor helicoidal com duas voltas, 110V/2200W	2
Fundo falso de aço inoxidável circular $\phi=36\text{cm}$	1
Bomba centrífuga magnética 12VDC Topsflo TL-B08H-12-1006	2
Trocador de calor de contra-fluxo, tubo de alumínio de 7m	1
Tecido mussalina x 1,5m (centímetros)	30
Tubulação	
Mangueira silicone 3/8"(metros)	1
Mangueira cristal 3/8"(metros)	2
Mangueira cristal 1/2"(metros)	7
Tubo schedule S40 1/2" aço inoxidável (metros)	3
Valvulas e acessorios	
Válvulas e acessórios	
Válvula de retenção portinhola 1/2" aço inoxidável	2
Válvula esfera latão, passagem plena 1/2"	2
Válvula solenóide 1/2"12V plástico uso geral	1
Válvula solenóide Danfoss 1/2"EV210BD 032U3620	3
Bobina Danfoss 15W 12VDC 042N7550	3
Conexões e acessórios	
Espigão de latão com redução 1/2- 3/8"	3
Bico de engate rápido de plástico 1/2"	1
Engate rápido de plástico 1/2"	1
Abraçadeira 3/8"	4
Abraçadeira 1/2"	2
Luva sextavada 1/2"latão	1
Arruela aço inoxidável 1/2"	4
Anel de vedação de silicone 1/2"	4
Contra porca aço inoxidável 1/2"	2
Cotovelo fêmea 90° 1/2" aço inoxidável	1
Cotovelo M/F 90° 1/2" aço inoxidável	1
Tee fêmea 90° 1/2" aço inoxidável	4
Niple duplo sextavado 1/2" aço inoxidável	9
Espigão sextavado 1/2" aço inoxidável	4

3.3 Componentes eletrônicos

Os componentes eletrônicos utilizados para confecção dos circuitos de interface com a BBB, acionamentos de potência e circuitos diversos estão listados na tabela 3.3:

Tabela 3.3: Lista de componentes eletrônicos diversos empregados na confecção de PCBs e cabeamento do sistema

Componente	Modelo/valor/descrição	Quantidade
Placa de acionamentos de potência		
Capacitor cerâmico	100nF	1
Capacitor poliéster	330nF	1
Resistor	2,2kΩ 1/4W 5%	10
Resistor	22kΩ 1/4W 5%	10
Optoacoplador	4N25 DIP	7
Regulador de tensão	LM7805 TO220	1
Transistor MOSFET	IRF540N TO220	7
Díodo retificador	1N4007	6
Conecotor para alimentação	J4	2
Conecotor header	10 vias	1
Borne KRE	2 vias	6
Porta fusível	25mm 6A(MAX)	1
Fusível de vidro	20AG 5A 20mm	1
Cabeamento		
Conecotor latch	10 vias	1
Cabo flat (metros)	10 vias	2
Componentes diversos		
Fonte de tensão	12V/5A	1
Relé de estado sólido	Fotek SSR-25 DA (25A)	2
Cabo de cobre (metros)	4mm seção transversal	6
Tomada	20A	1
Adaptador T	padrão NEMA	1
Terminal anel	pré-isolado M6	4
Plug tomada	20A padrão NBR 14136	1
Servo Motor	TowerPro MG995	1

3.4 Equipamentos, instrumentos, softwares e miscelânea

Os equipamentos, instrumentos de medição e demais objetos e/ou softwares de suporte ao desenvolvimento do projeto estão listados na tabela 3.4.

Tabela 3.4: Lista de equipamentos, instrumentos e *softwares* de suporte ao desenvolvimento do projeto

Descrição	Detalhes
Instrumentos de medição	
Osciloscópio Agilent DSO-X 2002A	70MHz - 2 canais
Multímetro Minipa ET-2110	
Softwares	
MATLAB	versão
FreeCAD	v. 0.15
MatterControl	v. 1.3.0 + plugin CNCBrasil
Cura	v. 15.06.03
Putty	
Diversos	
Impressora 3D	CNCBrasil Standard
Filamento para impressão 3D	ABS 1,75mm
Controle de versão	
GitHub	https://github.com/leograbafinal_paper_tcc
Filamento para impressão 3D	ABS 1,75mm

3.5 Insumos cervejeiros

A descrição dos insumos cervejeiros utilizados para confecção da receita e posterior teste do sistema pode ser encontrada na tabela 3.5.

Tabela 3.5: Lista insumos cervejeiros para produção de cerveja do tipo *Blond Ale*

Descrição	Quantidade
Malte Pilsen (kg)	4,5
Malte Munich (kg)	0,5
Lúpulo Hallertauer Tradition (g)	50
Levedura desidratada Safale S-04 (Tipo Ale inglesa) sachê	1
Sanitizante Iodophor diluído em água (ml/l)	0,8

Capítulo 4

Métodos

Este capítulo descreve todos os procedimentos de projeto e testes, dentre outros, empregados visando a obtenção do resultado final deste trabalho. Os procedimentos aqui empregados são embasados na teoria apresentada no capítulo 2. Cabe salientar que, embora este seja um projeto de integração entre *mecânica*, *hardware* e *software*, os esforços foram concentrados na área de desenvolvimento de *softwares*, desde o *firmware* da PRU-ICSS integrado ao servidor Apache posteriormente migrado para Node.js, até a aplicação de usuário, escrita em diversas linguagens, de programação ou não — a exemplo de HTML e CSS.

4.1 Estrutura mecânica

Para o projeto da parte mecânica, em primeiro lugar foi concebida uma configuração de sistema baseada tanto na literatura disponível quanto em projetos de sistemas disponíveis para aquisição no mercado: um sistema de duas panelas análogas à MT e ao BK, sendo que durante o processo de cozimento do mosto, o BK pudesse ser utilizado como HLT e, portanto, fez-se necessário o projeto de um sistema de recirculação entre as duas panelas. Observava-se que esta proposta representa um híbrido entre um sistema de 3 panelas tradicional - que consiste de uma panela para mosturação, uma para lavagem dos grãos, ou sparging, e uma para fervura; e o sistema popularizado pela Braumeister, composto de 1 panela, com recirculação. Esta abordagem permite a economia financeira e simplificação mecânica do sistema de três panelas com o benefício do *sparging* inexistente no sistema de uma panela.

4.1.1 Funcionamento da estrutura

Na figura 4.1 é apresentada uma representação esquemática da parte funcional.

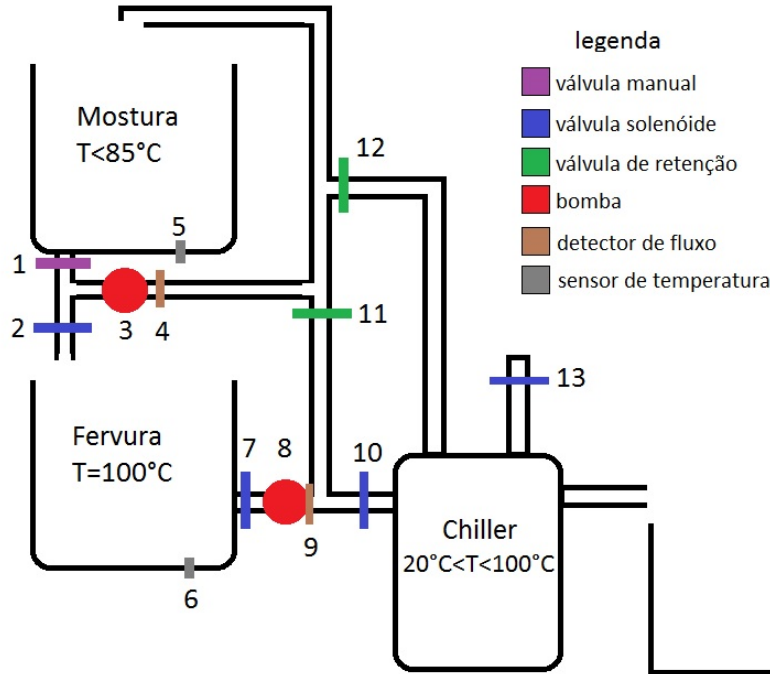


Figura 4.1: Representação esquemática da estrutura mecânica

Na panela superior ou MT, rotulada como *Mostura*, os grãos são adicionados após o aquecimento inicial da água:

- A válvula 1 é uma válvula manual do tipo esfera, com passagem plena. Durante a operação do equipamento ela deve ficar sempre aberta, portanto seu uso é realizado somente em caso de emergências.
- Após a adição dos grãos, a bomba 3 é ligada para que o líquido da panela seja recirculado. As válvulas de retenção 11 e 12 não permitem que o líquido passe por elas, portanto sobra somente um caminho possível para este, que é ascender na tubulação até entrar novamente na MT. Note-se que não há válvula automatizada na saída da MT, uma vez que o mosto fica em recirculação constante ao longo do processo de cozimento.
- Após a mostura a bomba 3 é desligada e a válvula solenóide 2 é aberta, escoando o líquido para a panela de fervura BK. Simultaneamente, a válvula solenóide 7 e a bomba 8 são ativadas, fazendo com que a água de lavagem presente na BK/HLT flua pela tubulação até a MT, iniciando o processo de *sparging*. Durante um tempo predefinido, o mosto e a água de lavagem recirculam pelas duas panelas e se misturam.
- Durante a fervura, as válvulas 2 e 7 são fechadas. Neste período a MT deve ser esvaziada, já que ela será usada posteriormente para armazenamento da água de esfriamento do mosto — água usada para limpeza do sistema e que reduz a produção de efluentes

do mesmo.

- Após a fervura, as válvulas solenóides 7 e 10 são ativadas, permitindo o escoamento do líquido para o trocador de calor. Simultaneamente a válvula solenóide 13 é aberta e água fria circula em contra-fluxo para resfriar o mosto. Esta água sai quente do trocador de calor e passa pela válvula de retenção 12, preenchendo a parte superior da tubulação e sendo armazenada na MT para posterior limpeza do sistema.
- O mosto que sai resfriado do *chiller* cai no balde de fermentação. Neste processo o líquido entra em contato com o ar, o que é não somente desejável como essencial para o sucesso da fermentação, portanto esta é a última parte do processo automatizada. Uma solução futura e que permite automação é o uso de um aerador em conjunto com um tanque de fermentação selado.

Para o bom funcionamento do sistema proposto, algumas condições devem ser atendidas:

- Se o volume total de líquido nas duas panelas ao final da mostura exceder o volume da BK, ela transbordará. Por este motivo é importante que exista um sistema de detecção de transbordo. Ainda assim, deve-se requisitar que o usuário do sistema calcule corretamente as proporções da receita, pois apesar do sistema automático anti-transbordo, ocorrerá perda de insumos devido ao acúmulo de mosto inutilizável na MT em caso de erro.
- São necessários filtros de material particulado para o bom funcionamento das válvulas e bombas [41].
- Os dispositivos mecânicos (válvulas, bombas, tubulação, dentre outros) e eletrônicos (sensores e atuadores) em contato com o sistema mecânico devem ser apropriados às altas temperaturas impostas pela natureza do processo [41, 42].
- As panelas, tendo como referência seu fundo, não devem ser alinhadas concêntricas, já que isto torna a adição de lúpulos e o processo de manutenção do equipamento desajeitados.
- A automação da técnica de *whirlpool* não é contemplada nesta configuração de sistema. Se o usuário a considera necessária, ele deve se encarregar de executá-la manualmente.
- A única válvula com pressão suficiente para ser servo-operada é a 13, assumindo-se que a pressão incidente sobre ela seja maior do que 0,5bar, portanto as outras devem ser de operação direta [41, 42].
- A limpeza automatizada, ou CIP, não é contemplada nesta configuração do sistema, devido à alta complexidade [43], conforme indica a figura 4.2, e ao custo de implemen-

tação proibitivo para este trabalho. Não obstante, é recomendado ao usuário do sistema que faça a limpeza do mesmo tão rápido quanto possível após o final da produção.

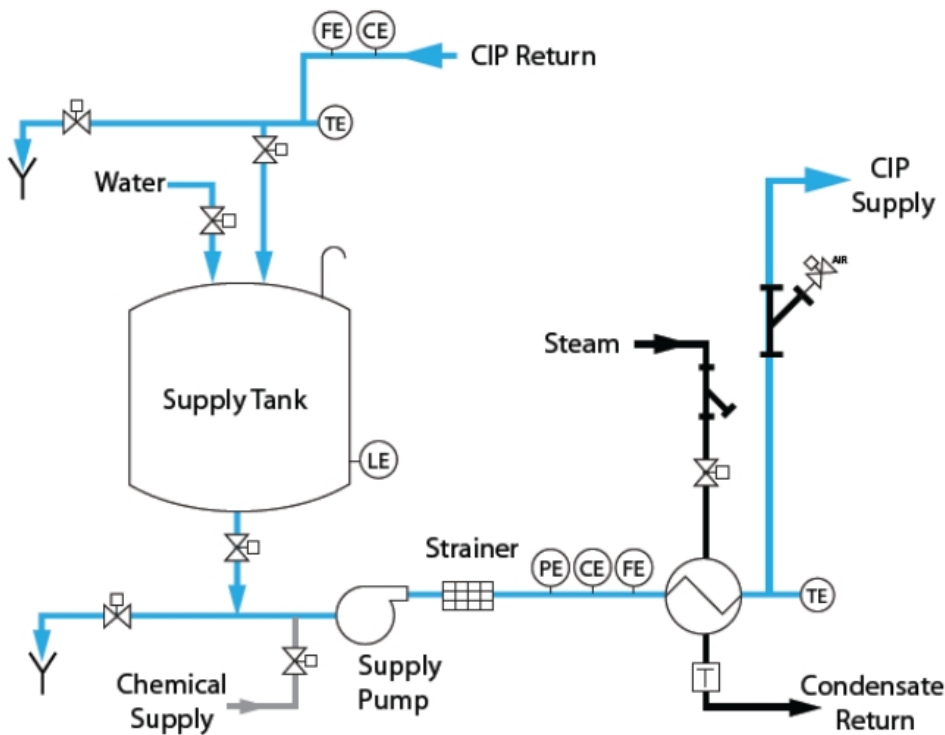


Figura 4.2: Sistema CIP básico.
Fonte: ROSE e MONTGOMERY (2010)

4.1.2 Dimensionamento da parte funcional

Com a filosofia de operação do sistema mecânico definida, é possível realizar o dimensionamento deste sistema. A primeira consideração a ser feita é que os materiais e métodos aqui empregados não seguem nenhuma norma que permita o uso deste equipamento para fabricação de cerveja para venda — tal escolha é feita em função do alto custo de um sistema completamente dentro das normas e também pelo fato de este ser um trabalho cujo foco é a automação e o acesso remoto.

Não obstante, o material da tubulação escolhido foi o aço inoxidável AISI304. Já que o volume de líquido a ser trabalhado é pequeno, menor do que 40 litros, e a pressão de trabalho não é maior do que a pressão das bombas escolhidas posteriormente, foi decidido o uso de tubulação de diâmetro de 1/2" (21,34mm de diâmetro externo) e espessura da parede no padrão Schedule 40 (2,77mm de espessura). Embora esta espessura seja superdimensionada para a presente aplicação, o mecânico responsável pela montagem do sistema a requisitou

para que fosse possível fazer rosca sem danificar a integridade dos tubos. As conexões, seguindo a escolha dos tubos, também são de aço inoxidável de 1/2".

As ligações entre tubos, conexões e outros componentes do sistema são ligações rosqueadas. Este é um meio de ligação antigo, porém de baixo custo, fácil execução e usualmente empregadas em tubulações de diâmetro nominal pequeno, menor do que 4"[44]. Para vedação foi escolhido o Teflon, uma vez que é um material de baixo custo e alta disponibilidade e o padrão de rosca adotado neste projeto é o BSP, baseado na norma ISO. Cabe salientar que, embora as ligações rosqueadas sejam permitidas sob certas circunstâncias na prática, elas são relegadas a instalações de baixa responsabilidade [44].

As panelas foram escolhidas no material de alumínio, em função do custo proibitivo do aço inoxidável. São caldeirões padrão utilizados no ramo de hotelaria e restaurantes e disponíveis em vários volumes. As duas panelas utilizadas neste trabalho tem capacidade para 32 litros e diâmetro do fundo de 36cm, portanto sua especificação no mercado é *caldeirão de alumínio n. 36*. Tal volume, 60% superior ao da produção máxima aconselhada, é necessário devido ao volume dos grãos, à quantidade da água de lavagem e às perdas por evaporação que exigem uso de um volume de água inicial superior ao nominal.

O parâmetro inicial escolhido para seleção das válvulas solenóide foi a temperatura máxima de operação, cuja fonte de dados de operação é fornecida pelos fabricantes. Em seguida, foi escolhida uma vedação adequada: os dois tipos mais comuns de vedação com suporte a temperatura de pelo menos 100°C são o EPDM e FKM (etileno-propileno-dieno e fluoreto de vinilideno, respectivamente) [41]. Estes materiais possuem uma tabela de compatibilidade de fluidos cuja classificação pode ser satisfatória, boa, duvidosa, insatisfatória e desconhecida — tanto para cerveja quanto para o mosto, ambas as vedações são classificadas como satisfatórias, embora para água a classificação do FKM seja somente boa [45]. Por fim, um parâmetro que foi verificado antes da escolha final das válvulas é a posição de operação, que varia conforme os modelos do fabricante [41]. Com base nos parâmetros supracitados, foi decidido usar:

- Válvula solenóide 1/2"12V plástico uso geral para água de resfriamento do trocador de calor.
- Válvula solenóide Danfoss 1/2"EV210BD 032U3620 para demais válvulas.
- Bobina Danfoss 15W 12VDC 042N7550 para acionamento das solenóides Danfoss.

Informações técnicas sobre a válvula EV210BD 032U3620 estão no anexo III e sobre a bobina 042N7550 no anexo IV.

As bombas de recirculação foram escolhidas com base na temperatura de operação e grau alimentício. Posteriormente, tanto a vazão quanto a perda de carga do sistema foram estimadas para verificar se a bomba escolhida seria adequada: o modelo Topsflo B08H-12-1006 tem capacidade máxima de vazão de 10l/min e carga expressa em coluna de água de 6m. Como a capacidade máxima do sistema é de 20l e idealmente a temperatura deve subir à taxa de 1°C/min, além de que a altura do sistema é menor do que 2m e as perdas de carga foram consideradas desprezíveis para este caso, foi decidido que a bomba escolhida é adequada ao projeto. No V encontra-se a folha de dados técnicos do dispositivo.

Quanto às conexões, a figura 4.3 apresenta um diagrama conceitual do sistema, contendo todas as peças necessárias para a montagem do mesmo:

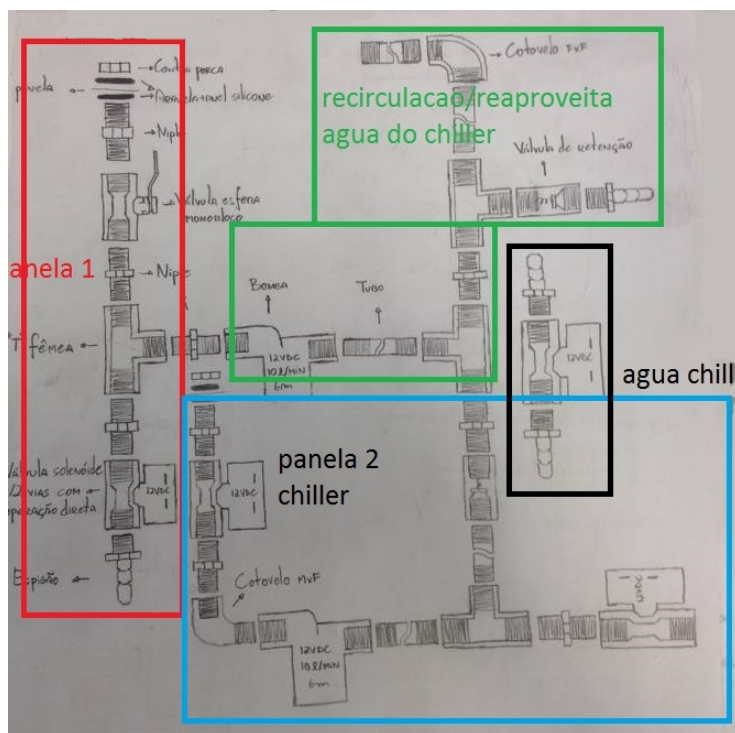


Figura 4.3: Diagrama conceitual das conexões mecânicas

Na figura 4.4 é apresentado um diagrama da MT construído no software FreeCAD, à qual estão conectados o resistor de potência e um niple com vedação. Também estão presentes na figura a válvula esfera manual, um *tee* fêmea, uma válvula Danfoss EV210B e três niples de conexão entre estes componentes. O modelo da válvula foi obtido a partir do website da Danfoss e importado, enquanto a modelagem dos outros componentes foi desenvolvida na plataforma FreeCAD. Na figura 4.5 são apresentadas em detalhe as conexões do resistor e do niple à panela e, por isto, a estrutura da mesma foi omitida. Os itens em amarelo são contra-porcas, em azul arruelas e, em vermelho anéis de vedação (*o-rings*).

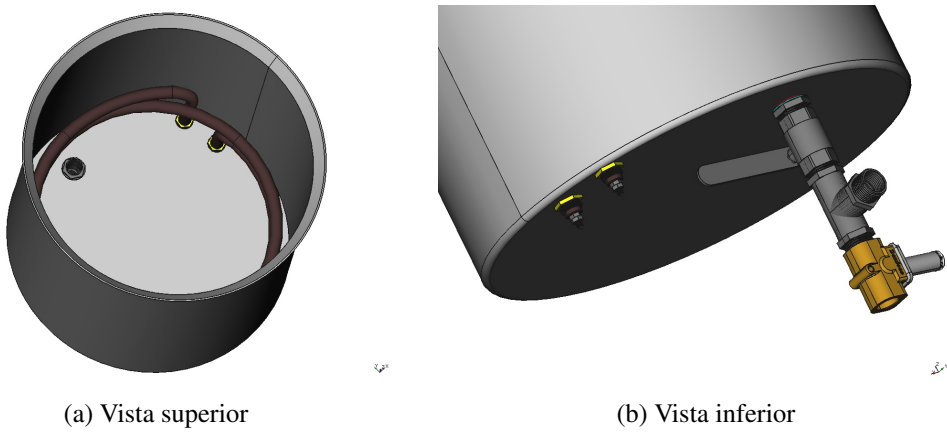


Figura 4.4: Diagrama da panela de mostura e conexões

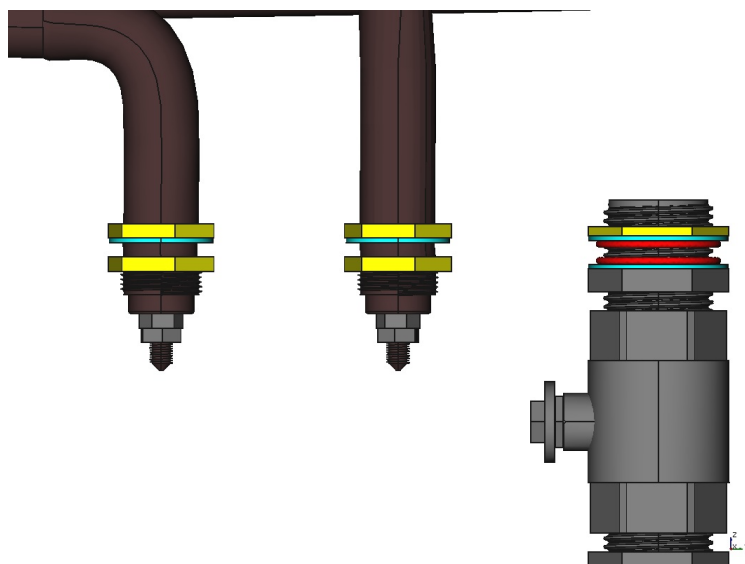


Figura 4.5: Detalhes da vedação da panela de mostura

4.1.3 Estrutura metálica de suporte

Parte importante do projeto é o dimensionamento da estrutura metálica de suporte às panelas, já que esta é responsável não somente pelo alojamento do sistema mecânico como também pela facilidade de manutenção. Para definição da altura das panelas, foram observadas primeiramente as alturas das panelas, da estrutura de adição de lúpulos (que será detalhada à parte na seção 5.2) e do *chiller*. Na sequência, foi estimado um espaço de manobra entre as duas panelas e uma altura mínima do chão, com base na figura 4.1. Todas as medidas citadas estão dispostas na tabela 4.1.

Tabela 4.1: Dimensões elementos mecânicos relevantes para o projeto da altura da estrutura metálica

Descrição	Altura (cm)
Panela BK	30,0
Panela MT	30,0
<i>Chiller</i>	30,0
Estrutura dos lúpulos aberta	20,0
Vão livre entre panelas	20,0
Vão do <i>chiller</i> ao BK	10,0
Espaço entre MT e topo	10,0

Somando as alturas medidas e estimadas, obteve-se que a estrutura metálica deve ter 1,5m de altura. A largura deve ser de 36,5cm para acomodar as panelas somente com uma pequena folga e o comprimento escolhido é de 70cm, o que permite alinhar as panelas de maneira não concêntrica, conforme abordado na seção 4.1 — este valor é suficiente, já que o diâmetro somado das duas panelas é de 72cm e deve haver ao menos uma intersecção para permitir o escoamento por gravidade da MT ao BK. Na figura 4.6 é apresentado o projeto da estrutura já com as prateleiras para acomodar as panelas. Note-se que foram escolhidas cantoneiras de 2"x 1/8"para a construção deste equipamento.

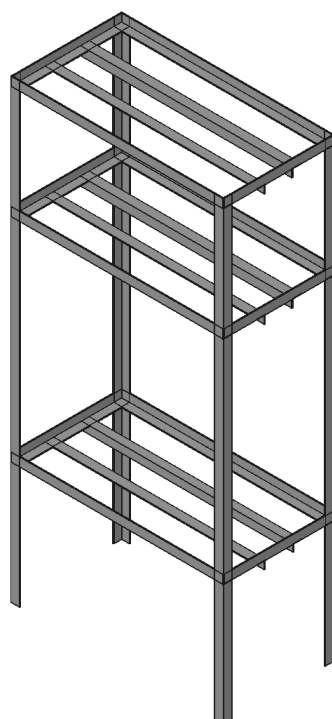


Figura 4.6: Projeto da estrutura metálica

4.2 Estrutura de adição de lúpulos

Devido à necessidade de adicionar lúpulos à receita em proporções e tempos predefinidos, foi necessário o projeto de uma estrutura automática de adição de lúpulos. Em função das inúmeras possibilidades de combinações de lúpulos e temporizações, a escolha natural do projeto foi uma estrutura que permita esta flexibilidade — uma caixa com oito compartimentos separados para adição sequencial destes insumos. Com base em um pacote de lúpulos em *pellets* de 50g, estimou-se que seu volume é de 160cm^3 e, sabendo-se que uma receita de 20l dificilmente utiliza uma quantidade maior do que 400g de lúpulos, a decisão tomada foi a de que cada um dos 8 compartimentos deveria ter os 160cm^3 necessários para acomodar 50g. Para confirmar que 400g é uma quantidade razoável, foi seguido o cálculo de IBU de [1], detalhado no apêndice G.

Fixando a altura do compartimento em 10,0cm foram escolhidos valores de comprimento e largura de 16,0cm e 8,0cm respectivamente, assumindo inicialmente que as paredes das divisórias tem espessura desprezível. A equação para volume de um prisma e a escolha das dimensões são demonstradas em 4.1:

$$V = l \cdot w \cdot h = V_{50g} \cdot 8 \quad (4.1a)$$

$$= l \cdot w \cdot 10 = 160 \cdot 8$$

$$l \cdot w \cdot 10 = 160 \cdot 8, \text{ fixando } l = 16\text{cm} \quad \therefore$$

$$w = 160 / 16 = 10\text{cm} \quad e \quad (4.1b)$$

$$w_{compartimento} = l / 8 = 16 / 8 = 2\text{cm} \quad (4.1c)$$

Posteriormente aos cálculos de 4.1, durante o projeto no software FreeCAD, observou-se que a assumpção de espessura desprezível é falsa e um retrabalho nas medidas do compartimento levou às dimensões externas finais de 18,0cm x 8,4cm x 10,0cm; as paredes externas tendo espessura de 3,0mm e as internas de 2,0mm. A figura 4.7 esboça as dimensões externas da caixa e a figura 4.8 apresenta o corpo da estrutura.

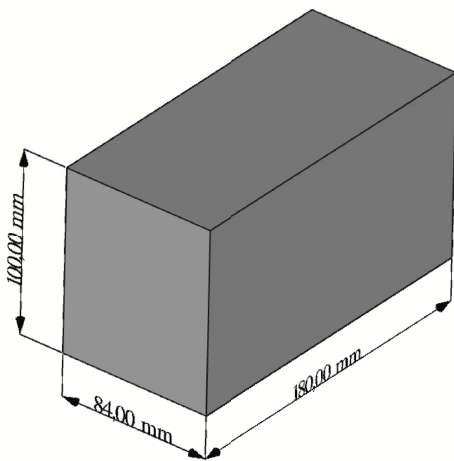
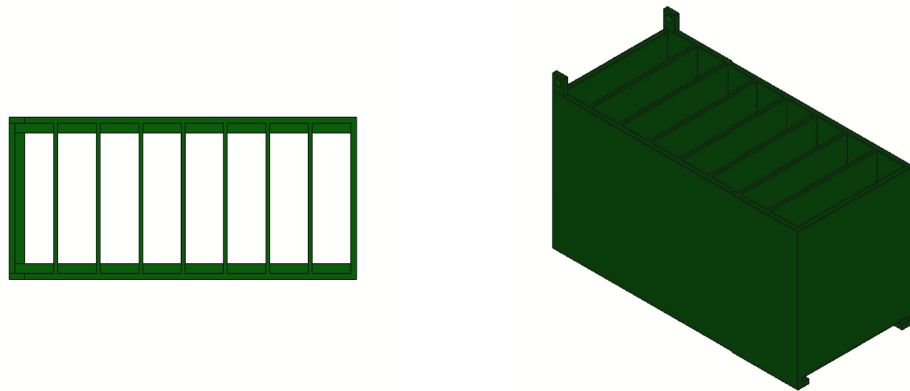


Figura 4.7: Dimensões da estrutura de adição de lúpulos

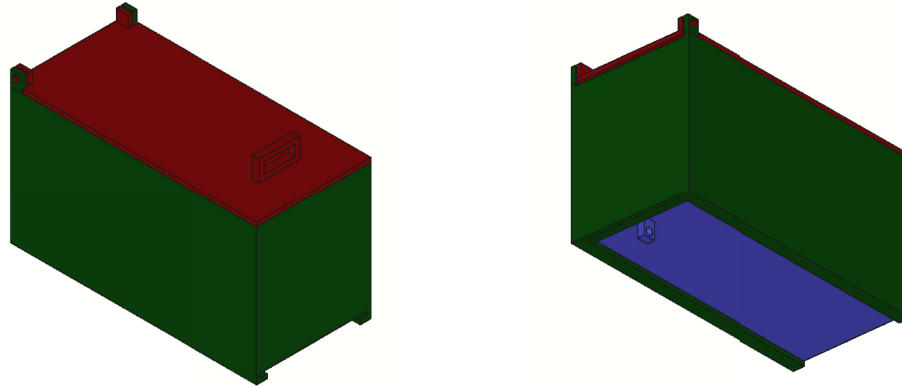


(a) Vista superior

(b) Vista axiométrica

Figura 4.8: Corpo da estrutura de adição de lúpulos

Foram projetadas duas portinholas: uma na face superior da caixa, para reabastecimento manual dos lúpulos, com uma alça e fixada na caixa por dois pinos, de modo que a abertura desta tampa é um movimento de rotação e; uma na face inferior, para adição automática, de correr, de modo que a abertura é um movimento de translação; ambas estão ilustradas na figura 4.9.



(a) Tampa manual para reabastecimento (b) Tampa para adição automática dos lúpulos

Figura 4.9: Tampas da estrutura de adição de lúpulos

Duas varetas de comprimento l_1 e l_2 são ligadas ao encaixa da tampa de correr, representada em azul na figura 4.9b, e a elas é acoplado um servo-motor cujo ângulo de operação θ define a abertura — ou deslocamento — da tampa, definido por d . A figura 4.10 esquematiza as ligações.

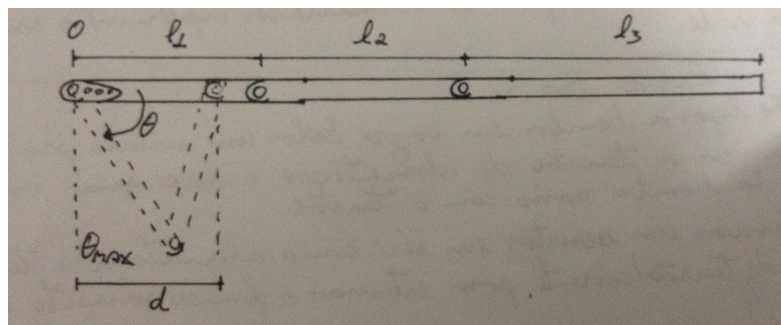


Figura 4.10: Esquema de ligação das varetas à tampa de correr

Sendo o comprimento da tampa igual a l_3 , a condição em F.1 deve ser satisfeita para que a excursão máxima de abertura da caixa possa ser atingida. É possível demonstrar com o auxílio da Lei dos Cossenos, em 4.3 que $l_1 = l_2 = l$ para que a mínima abertura da caixa possa ser atingida.

$$l_1 + l_2 \geq l_3 \quad (4.2)$$

$$l_2^2 = d^2 + l_1^2 - 2dl_1 \cdot \cos(\theta) \quad (4.3)$$

$$\text{se } \theta = 90^\circ \rightarrow d = 0 \therefore$$

$$l_2^2 = l_1^2 \rightarrow l_2 = l_1 = l \quad (4.4)$$

A taxa máxima de deslocamento em função do ângulo do servo motor é expressa em 4.5:

$$\frac{dl_3}{d\theta} = \frac{2l}{90^\circ} \quad (4.5)$$

Entretanto, quanto maior o valor desta taxa, menor é a resolução de abertura da caixa, portanto obtem-se que o menor valor possível de l , a partir de F.1 é $l = l_3/2$. Assim sendo, a taxa de deslocamento calculada a partir de 4.5 é de $2\text{mm}/^\circ$.

Embora o valor teórico de θ seja 90° , na prática, devido ao encaixe entre tampa e vareta não ser na extremidade, este valor é reduzido. Tal fato não deve ser negligenciado, uma vez que isto pode forçar a operação do servo-motor. Sabe-se pelo projeto executado no FreeCAD que a distância da borda ao encaixe da tampa é de 2,3cm portanto, com o auxílio da Lei dos Cossenos, obtém-se que $\theta_{max} = 82^\circ$. Quanto ao valor mínimo não há preocupação, já que a abertura da caixa terá uma excursão reduzida em 2,3cm com relação ao seu comprimento. As varetas não foram calculadas novamente pois julgou-se uma boa prática essa redução, que evita que a tampa caia da caixa quando em máxima excursão. A figura 4.11 apresenta o esquema completo de construção da estrutura de adição de lúpulos.

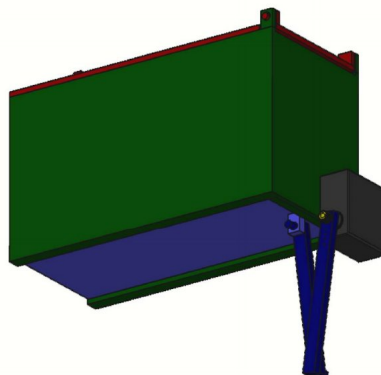


Figura 4.11: Estrutura de adição de lúpulos

4.2.1 Controle do servo-motor

Servomotor é um dispositivo de conversão eletromecânica que surgiu da necessidade de controle de posição angular de um motor de corrente contínua — tanto é que um servomotor é um motor DC com controle e realimentação, ou seja, um dispositivo de malha fechada. Além da tensão de alimentação, o servomotor recebe um sinal de controle proporcional à posição desejada do eixo e atua no motor DC até que, através do ramo de realimentação, atinja-se a posição angular de entrada. A Figura 4.12 apresenta um servomotor desmontado e a identificação de suas partes principais.

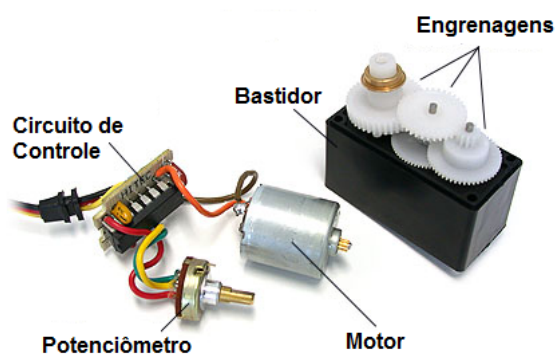


Figura 4.12: Servo-motor desmontado

Observa-se que o circuito de controle é um circuito integrado, porém não há ampla documentação acerca de sua arquitetura interna — ele é o elemento do sistema de controle que atua no motor; já o potenciômetro é o elemento sensor do conjunto, cujo objetivo é fornecer a posição angular do eixo através da variação de sua resistência. O motor é a planta do sistema de controle, convertendo energia elétrica em rotação do eixo. O conjunto de engrenagens é responsável por aumentar o torque do mesmo, com a diminuição da velocidade de rotação.

A caracterização do servomotor foi realizada em 4 partes: elaboração do código de controle para 8051; simulação no software Proteus ISIS; ensaio para determinar os valores práticos de operação do servomotor e; nova simulação no software Proteus ISIS. O código para AT89S52 — compatível com 8051 — é apresentado na caixa F.1 do apêndice F e o diagrama esquemático do circuito de teste e simulação na figura 4.13. O uso do AT89S52 se deve ao fato de que o uso do PWM com a BBB ainda não estivesse desenvolvido neste ponto do projeto, porém posteriormente a interface entre servo-motor e BBB foi realizada — e os resultados estão descritos na seção 5.9.1.

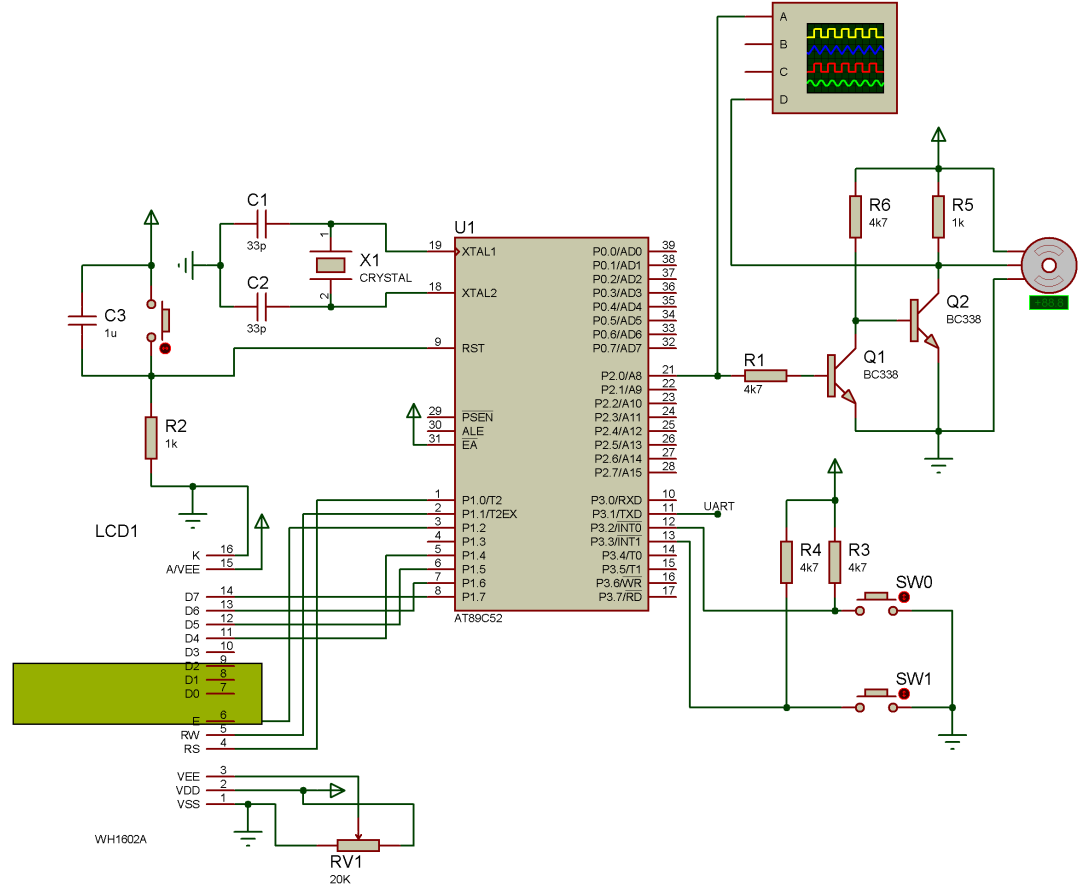


Figura 4.13: Circuito de caracterização do servo-motor

Observa-se a necessidade de um buffer entre o microcontrolador AT89S52 e o servomotor, pois a corrente requisitada pelo pino de controle do servo é maior que a corrente máxima fornecida pelo μ C.

Os resultados da caracterização do funcionamento do servo-motor estão documentados no apêndice F.

4.3 Configuração da BeagleBone Black

O primeiro passo para o desenvolvimento do projeto foi a configuração da BeagleBone Black, que é o coração deste sistema. Para tal, foi escolhido o procedimento de gravar a distribuição Debian pré-compilada do sistema operacional Linux na memória de armazenamento eMMC de 4GB da placa. Esta distribuição foi escolhida em função da facilidade de obtenção de suporte em fóruns da internet, artigos e livros, dentre outros, além de ser o SO oficial da BBB [46].

NOTA: Na ocasião da realização deste procedimento, havia uma diferenciação entre a imagem fornecida para uso diretamente a partir do cartão µSD e a imagem para gravação no eMMC, porém agora o procedimento adotado pela fundação BeagleBoard.org é fornecer somente uma imagem pronta para uso diretamente do cartão µSD e, no caso de o usuário decidir gravar a distribuição no eMMC, o arquivo uEnv.txt na partição de *boot* do cartão µSD deve ser editado conforme instruções antes de ser inserido na BBB.

Tanto a última versão estável do Debian para BBB (v. 7.9), conhecida como *Wheezy* e a última versão em desenvolvimento (v. 8.2), conhecida como *Jessie*, quanto a versão utilizada neste projeto (v. 7.5) podem ser obtidas a partir do site oficial da BBB [47], conforme ilustrado na figura 4.14. A instalação da versão 7.5 se resume a:

1. Baixar a imagem Debian 7.5 para eMMC do site beagleboard.org/latest-images
2. Descomprimir a imagem
3. Gravar a imagem em um cartão µSD formatado (não basta copiar, é preciso utilizar um software que grave a imagem corretamente. Neste caso foi utilizado o *Win32 Disk Imager*)
4. Inserir o cartão µSD na BBB desligada
5. Pressionar o botão de boot e energizar a placa com ele ainda pressionado
6. Esperar um dos leds de status acender antes de largar o botão
7. Esperar os 4 leds de status ficarem continuamente acesos (durante o processo de gravação eles trabalharão de maneira intermitente)
8. Desenergizar a BBB e retirar o cartão µSD

BeagleBoard.org Latest Firmware Images

Download the latest firmware for your BeagleBoard, BeagleBoard-xM, BeagleBone, BeagleBone Black, Seeed BeagleBone Green or Arrow BeagleBone Black Industrial

See the [Getting Started guide](#) and the [official wiki page](#) for hints on loading these images.

Recommended Debian Images

Wheezy for BeagleBone, BeagleBone Black and Seeed BeagleBone Green via microSD card

- [Debian 7.9 \(BeagleBone, BeagleBone Black, Seeed BeagleBone Green - 4GB SD\) 2015-11-12 - more info - sha256sum: f6e67ba01f159d202c655f5e429c3a6c2398123bc3d38d54846c597275d277](#)

Jessie for BeagleBone, BeagleBone Black, Seeed BeagleBone Green and Arrow BeagleBone Black Industrial via microSD card

- [Debian 8.2 \(BeagleBone, BeagleBone Black, Seeed BeagleBone Green, Arrow BeagleBone Black Industrial - 4GB SD\) 2015-11-12 - more info - sha256sum: 47142693655004c733fb00abe7820f0daab7dc027db5e5f3a5d099ebc79bcb](#)

To turn these images into eMMC flasher images, edit the `/boot/uEnv.txt` file on the Linux partition on the microSD card and remove the '#' on the line with `'cmdline=init=/opt/scripts/tools/eMMC/init-eMMC-flasher-v3.sh'`. Enabling this will cause booting the microSD card to flash the eMMC. Images are no longer provided here for this to avoid people accidentally overwriting their eMMC flash.

For testing, flasher and other Debian images, see http://elinux.org/Beagleboard:BeagleBoneBlack_Debian

Older Debian images

BeagleBone and BeagleBone Black via microSD card (without flashing the eMMC)

- [Debian 7.8 \(BeagleBone, BeagleBone Black - 4GB SD\) 2015-03-01 - more info - bittorrent - md5: c848627722b7a5f7bc89791cc8949e3b](#)
- [Debian 7.5 \(BeagleBone, BeagleBone Black - 2GB SD\) 2014-05-14 - more info - bittorrent - md5: 35877ce21e8ed0eb1bdcc6819ad71c317](#)
- [BeagleBone Black \(eMMC flasher\)](#)
- [Debian 7.5 \(BeagleBone Black - 2GB eMMC\) 2014-05-14 - more info - bittorrent - md5: 74615fb680afbf252c034d3807c9b4ae](#)



Figura 4.14: Últimas imagens pré-compiladas disponíveis para a BBB.

Fonte: Adaptado do site oficial da Fundação BeagleBoard.org¹

Após este procedimento, a BBB estará pronta para uso a partir da memória interna eMMC. A verificação do funcionamento do sistema foi feita conectando a placa a um computador instalado com Windows 7 e conectado à internet, via interface USB e posterior acesso através do software de código aberto para acesso via SSH *Putty*, disponível para *download* no site oficial putty.org [48] (qualquer software similar que possibilite o acesso via SSH pode ser utilizado para este fim). Para isso, é preciso também instalar no computador o driver que dá acesso à BBB via USB, disponível em beagleboard.org/getting-started. O acesso via SSH se dá utilizando o endereço de IP **192.168.7.2**, usuário: **debian** e senha: **debian** [16]. A figura 4.15 mostra o ambiente de configuração do *Putty* e a figura 4.16 apresenta a tela após uma tentativa de login bem sucedida.

¹Disponível em <http://beagleboard.org/latest-images>

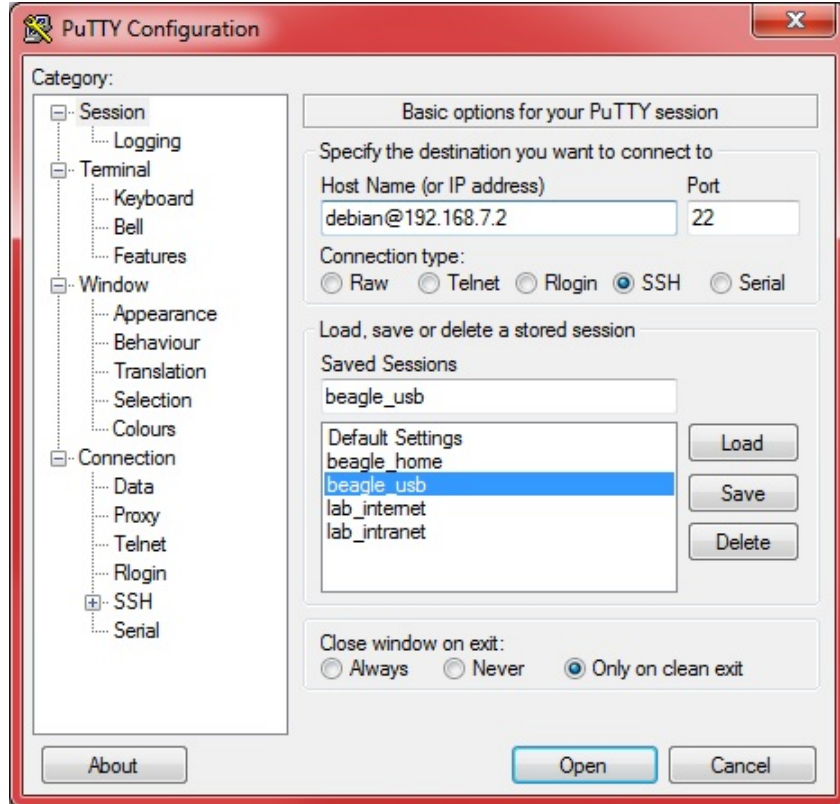


Figura 4.15: Configuração do *Putty* para acesso SSH via USB

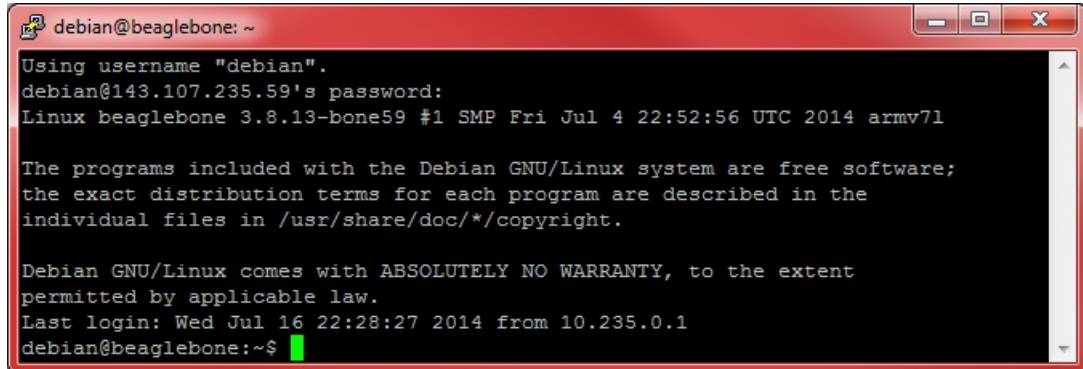


Figura 4.16: Tentativa de login bem sucedida pelo *Putty*

4.3.1 Ajustes de rede para uso do adaptador Wi-Fi/USB

Para utilizar o adaptador Wi-Fi USB, em primeiro lugar este foi conectado à BBB. Em seguida, no terminal, o dispositivo foi listado para confirmar que o sistema estava identificando-o corretamente e ativado, permitindo assim obter a lista de redes Wi-Fi próximas. Com isso, foi possível obter os dados da rede Wi-Fi de interesse, para posterior edição do arquivo */etc/network/interfaces*, responsável pelas configurações de rede do sistema – este pode ser obtido no apêndice E. O código 4.1 ilustra a sequência de comandos executados:

```

1 lsusb # verifica se o dispositivo USB foi detectado
2 sudo ifconfig wlan up # ativa a interface de rede USB
3 sudo iwlist scan # lista as redes Wi-Fi disponíveis
4
5 # Identificar os valores da rede de interesse, e.g.
6 # ESSID:"Nome_da_rede" -> nome da rede
7 # IE: IEEE 802.11i/WPA2 Version 1 -> encriptação
8 # E então é modificado o arquivo de configuração
9
10 # abre o arquivo para edição
11 sudo nano /etc/network/interfaces
12 # Após modificar o arquivo e salvá-lo:
13
14 sudo ifup wlan0 # ativa a interface de rede Wi-Fi
15 sudo ifdown eth0 # desativa a interface Ethernet

```

Código-fonte 4.1: Passos para configuração do Wi-Fi

No arquivo */etc/network/interfaces*, as configurações utilizadas entre as linhas 19 e 35 do código são referentes à configuração do Wi-Fi para configuração da BBB com endereço de IP estático 192.168.1.155, permitindo o acesso à plataforma remotamente pela internet e não somente dentro da intranet. Observe-se que o acesso a este IP da intranet se dá pelo IP externo 143.107.xxx.xxx, que é o endereço do departamento da engenharia elétrica da USP de São Carlos. Por motivos de segurança este será omitido no presente trabalho.

Depois de todo este procedimento, o dispositivo ainda não estava funcionando após a operação de *reboot*, portanto foi utilizado um *script* de reset do Wi-Fi executado durante o *boot*, cujas instruções de uso, obtidas em <https://learn.adafruit.com/setting-up-wifi-with-beaglebone-configuration>, estão descritas no código-fonte 4.2. A figura 4.17 indica sucesso de conexão via SSH usando uma máquina com sistema operacional Linux Ubuntu 14.04 LTS.

```

1 git clone https://github.com/adafruit/wifi-reset.git #
  download do script
2 cd wifi-reset/ #entra no diretório do script
3 chmod +x install.sh #permissão de execução para o script
4 sudo ./install.sh #executa o script

```

Código-fonte 4.2: Configuração para reset do Wi-Fi após o boot

```

leonardo@grabaDev:~/final_paper_tcc$ ssh debian@143.107.235.59 -p 8585
debian@143.107.235.59's password:
Linux beaglebone 3.8.13-bone59 #1 SMP Fri Jul 4 22:52:56 UTC 2014 armv7l

The programs included with the Debian GNU/Linux system are free software;
the exact distribution terms for each program are described in the
individual files in /usr/share/doc/*copyright.

Debian GNU/Linux comes with ABSOLUTELY NO WARRANTY, to the extent
permitted by applicable law.
Last login: Sat Apr 23 22:51:13 2016 from 191.189.99.112
debian@beaglebone:~$ 

```

Figura 4.17: Acesso à BBB via SSH

4.3.2 Data/hora

Para a configuração automática de data e hora da BBB, foi escolhido o uso do protocolo NTP – *Network Time Protocol* ou Protocolo de Tempo para Redes – cujo objetivo é sincronizar os relógios de dispositivos conectados a uma rede a partir de fontes precisas [49]. No Brasil, a confiabilidade deste protocolo é responsabilidade do Observatório Nacional (ON), responsável legal por garantir a Hora Legal Brasileira, em conjunto com o Núcleo de Informação e Coordenação do Ponto BR, administrador e operador do domínio ".br"[50, 51].

Primeiramente foi realizada a instalação do protocolo, seguida da configuração do arquivo */etc/ntp.conf* e da modificação do arquivo que indica a *timezone*, sendo este um link simbólico para o verdadeiro arquivo. Os comandos executados estão descritos no código-fonte 4.3:

```

1 sudo apt-get install ntp #instala o NTP
2 sudo nano /etc/ntp.conf #abre o arquivo de configuração para
   edição
3 sudo mv /etc/localtime /etc/localtime-old #backup do arquivo
   antigo da timezone
4 sudo ln -s /usr/share/zoneinfo/America/Sao_Paulo /etc/
   localtime #cria link simbólico para arquivo da nova
   timezone

```

Código-fonte 4.3: Instalação e configuração do NTP

Na edição do arquivo */etc/ntp.conf*, a única modificação feita é a substituição dos servidores de hora padrão para os servidores brasileiros, listados no endereço <http://www.pool.ntp.org/zone/br> – no final de cada endereço foi adicionada a instrução *iburst*, conforme descrito no website oficial do protocolo (<http://support.ntp.org/bin/view/Support/ConfiguringNTP>) e que, embora não esteja claro seu funcionamento, é essencial para que o horário seja corretamente configurado a cada *reboot*. O trecho de código-fonte 4.4 indica as modificações no arquivo */etc/ntp.conf* adequando aos servidores brasileiros:

```

1 # You do need to talk to an NTP server or two (or three).
2 #server ntp.your-provider.example
3
4 # pool.ntp.org maps to about 1000 low-stratum NTP servers.
   Your server will
5 # pick a different set every time it starts up. Please
   consider joining the
6 # pool: <http://www.pool.ntp.org/join.html>
7 server 0.br.pool.ntp.org iburst
8 server 1.br.pool.ntp.org iburst
9 server 2.br.pool.ntp.org iburst
10 server 3.br.pool.ntp.org iburst

```

Código-fonte 4.4: Servidores brasileiros do NTP

4.3.3 Sensor DS18B20

Uma vez que o sensor de temperatura DS18B20 já é suportado pelo Kernel e incluído como *driver* na distribuição padrão da BBB, somente foi necessário criar uma sobreposição de *device tree* indicando em que pino o sensor está ligado. Tanto o mux quanto o OCP do SoC precisaram ser configurados e, para a compilação do arquivo texto em binário, foi necessária a instalação do DTC, descrita no código-fonte 4.5:

```
1 sudo wget -c https://raw.githubusercontent.com/RobertCNelson/tools/
    master/pkgs/dtc.sh
2 sudo chmod +x dtc.sh
3 ./dtc.sh
```

Código-fonte 4.5: Instalação do DTC

O arquivo com a sobreposição da *device tree* é descrito na seção E.2, porém o código-fonte 4.6 apresenta um trecho relevante deste, no qual observa-se a configuração do multiplexador do SoC. Note-se que esta configuração significa que o *pull-up* interno de 10kda BBB está ativado, eliminando a necessidade de um resistor externo. O valor mínimo de *pull-up* segundo a folha de dados do sensor é de 4,7k, mas não foi observada perda de desempenho do mesmo na presente configuração.

```
1 bb_wl_pins: pinmux_bb_wl_pins {
2     pinctrl-single,pins = <0x70 0x37>;
3 }
```

Código-fonte 4.6: Fragmento de device tree para o DS18B20

A compilação da sobreposição é executada com o comando presente no trecho de código 4.7. Adicionar -00A0"ao nome do arquivo de saída DTBO é fundamental. Note-se também que o arquivo DTBO é copiado para o diretório no qual ficam todas as sobreposições de *device tree*. Para carregar a sobreposição no boot, é preciso adicionar a linha *echo wl > /sys/devices/bone_capemgr.*/slots* ao arquivo */etc/rc.local*.

```
1 sudo dtc -O dtb -o wl-00A0.dtbo -b 0 -@ wl.dts
2 sudo cp wl-00A0.dtbo /lib/firmware
```

Código-fonte 4.7: Compilação de *device tree*

Após o reboot e com o sensor conectado à BBB, é possível obter o valor da temperatura realizando a leitura do arquivo */sys/devices/wl_bus_master1/28-*wl_slave*, conforme ilustrado na figura 4.18. Observe-se que na figura ao invés do asterisco foi utilizado o identificador único deste sensor específico — quando é utilizado um asterisco, ele é substituído por todos os possíveis nomes de sensores, portanto é útil para leitura de diversos sensores de uma vez. Para saber quantos dispositivos com o protocolo *1-wire* estão conectados à

mesma linha e assim descobrir os números referentes a eles, é possível ler o arquivo `/sys/devices/w1_bus_master1/w1_master_slaves` ou então verificar o conteúdo do diretório `/sys/devices/w1_bus_master1/`.

```
debian@beaglebone:~$ cat /sys/devices/w1_bus_master1/28-000004ee8ded/w1_slave
c1 01 4b 46 7f ff 0f 10 38 : crc=38 YES
c1 01 4b 46 7f ff 0f 10 38 t=28062
```

Figura 4.18: Leitura do sensor DS18B20 pelo terminal

4.3.4 Webserver Apache

Embora o Apache venha instalado na distribuição padrão da imagem do Debian para a BBB, é preciso configurar a porta que ele usa para conexões, predefinida pelas configurações de rede do departamento de engenharia elétrica. A porta será omitida por segurança, mas na descrição do processo de configuração aqui proposta será usado o valor 8080, padrão para diversos protocolos de internet, inclusive o HTTP.

Há dois arquivos que devem ser editados para modificar as configurações do Apache. No arquivo `/etc/apache2/sites-enabled/000-default` a primeira linha do arquivo deve ser modificada para `<VirtualHost *:8080>` e no arquivo `/etc/apache2/ports.conf` as linhas `NameVirtualHost *:8080` e `Listen 8080` devem ser adicionadas ou modificadas, caso já existam. Para que as configurações tenham efeito, o servidor deve ser reiniciado com o comando descrito na caixa de código-fonte 4.8:

```
1 sudo service apache2 restart
```

Código-fonte 4.8: Reinicialização do servidor web Apache

4.4 Organização do diretório da aplicação

Dado o nível de complexidade a que chegou o desenvolvimento da aplicação de controle do sistema, foi necessário adotar um sistema de divisão de arquivos por função. Dentre os tipos de arquivos há principalmente códigos-fonte, imagens e registros. O objetivo desta seção é explicar a organização adotada.

Cabe primeiramente observar que há duas grandes frentes de projeto com relação a software: a aplicação do servidor e a aplicação do cliente. Uma vez que há momentos em que ambas estão entrelaçadas, foi decidido por não separar os arquivos em pastas *cliente* e *servidor*, mas somente classificar cada arquivo como pertencente principalmente a uma destas duas frentes.

A figura 4.19 apresenta a estrutura reduzida de diretórios do projeto, contendo somente os diretórios cujos arquivos foram desenvolvidos neste projeto, enquanto a tabela 4.2 lista todos os diretórios e arquivos relevantes ao projeto, assim como os descreve brevemente e os distingue entre *cliente* ou *servidor*.

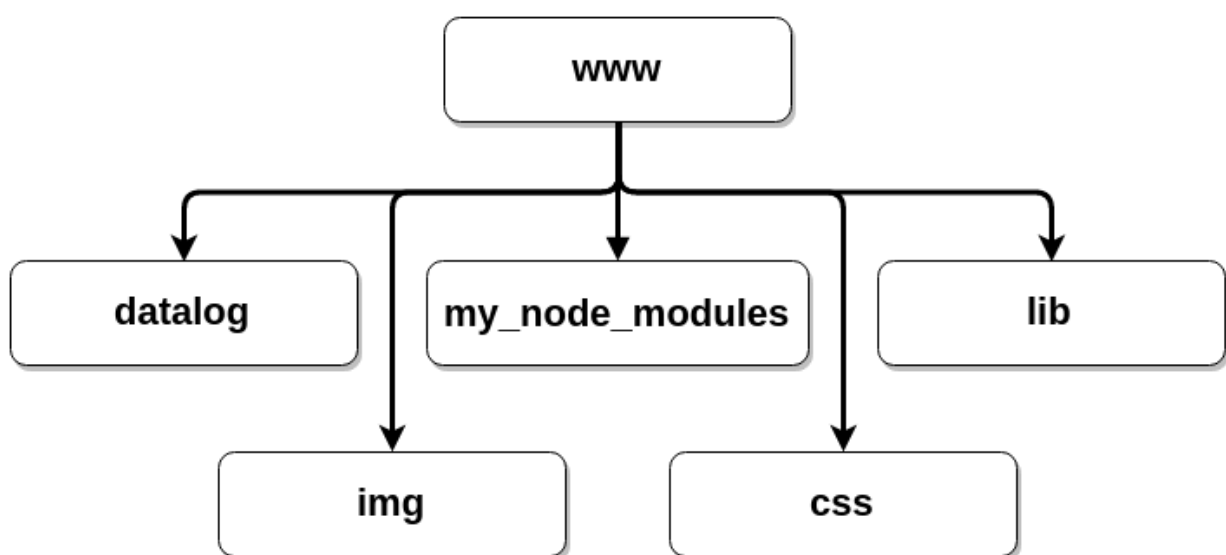


Figura 4.19: Estrutura de diretórios da aplicação da BBB

Tabela 4.2: Lista de diretórios e arquivos da aplicação da BBB

Diretório/arquivo	Descrição	Frente
www	diretório raiz	
about.php	página de descrição do projeto	cliente
control.php	GUI de controle do sistema	cliente
controle.js	arquivo raiz da aplicação do servidor	servidor
dyn_graph2.html	gráfico dinâmico de linha/área	cliente
index.html	página inicial - contém somente uma imagem clicável	cliente
listrecipe.php	gerenciador de receitas - permite criar, editar e excluir	cliente
newrecipe.php	GUI de edição de receitas	cliente
settings.php	GUI de configurações não referentes à brassagem	cliente
startrecipe.php	escolha da receita e início da brassagem	cliente
stats.php	estatísticas diversas de produções anteriores	cliente
www/css	configurações de estilo da GUI	
buttons.css	estiliza alguns botões da GUI	cliente
config.css	configurações gerais de estilo da GUI	cliente
form.css	estilo do formulário de edição de receitas	cliente
www/datalog	registros e backup de dados em memória não volátil	
backup.log	registro detalhado da última brassagem	servidor
default.csv	registro de temperaturas e tempos do DS18B20	servidor
instant.csv	última leitura do DS18B20 da MT	servidor
instant_bk.csv	última leitura do DS18B20 do BK	servidor
lockfile	arquivo que define se há uma brassagem em execução	servidor
www/img	imagens geradas para a GUI	
beer2.png	favicon	cliente
beer_compiler.png	imagem da página inicial da GUI	cliente
tplot.png	gráfico estático da temperatura em função do tempo	cliente
www/my_node_modules	módulos em Node.js desenvolvidos neste projeto	
ctrl.js	implementação do algoritmo de controle da brassagem	servidor
gpio_cfg.js	configuração e controle de GPIO e PWM	servidor
log_check_misc.js	verificação de integridade de receita. Leitura e registros de informações referentes à brassagem	servidor
routes.js	rotas do servidor Express.js	servidor
www/lib	módulos requisitados por códigos-fonte do cliente	
deletereceipt.php	deleta uma receita do servidor	servidor
header.js	auxiliar de criação do cabeçalho da GUI	cliente
header.php	criação do cabeçalho da GUI	cliente
listreceipt.php	lê conteúdo ou deleta receita do servidor	servidor
newreceipt.php	organiza e salva automaticamente a GUI de edição de receitas	cliente / servidor
newreceipt.php	salva ou carrega receita para a GUI de edição de receitas	servidor
previewreceipt.php	lê conteúdo essencial da receita e devolve para a GUI	cliente / servidor
log	registros de erros de aplicações da BBB	
recipes	receitas de cerveja	
node_modules	módulos do Node.js instalados por meio do NPM	
d3-3.4.10	biblioteca Javascript de visualização de dados	
rickshaw	API de geração de gráficos baseada na biblioteca D3.js	
tmp	diretório para testes e arquivos temporários	

4.5 IDE e sistema de controle de versão

Para facilitar o desenvolvimento e a documentação de *softwares*, duas ferramentas foram adotadas além do acesso ao terminal via SSH: *Cloud9*, cujo uso é descrito na seção 4.5.1 e *Git/GitHub*, na seção 4.5.2.

4.5.1 *Cloud9*

Cloud9 é um IDE do tipo SaaS, ou seja, um software que está na nuvem e cujo acesso é feito por meio de um navegador de internet. Embora o serviço padrão seja hospedado nos próprios servidores da *Cloud9 IDE Inc.*, uma SDK é disponibilizada, na qual está incluso o núcleo do projeto como código-aberto, livre para uso não comercial e desenvolvido em Node.js, possibilitando portanto a hospedagem um serviço do *Cloud9* localmente, que é o objetivo aqui proposto [52]. Esta é uma nítida vantagem para uma plataforma *headless* — sem periféricos do tipo HID — e com acesso à rede, a exemplo da BBB neste projeto, pois permite a programação direta no dispositivo por meio de uma interface gráfica via web.

Tanto o núcleo quanto as informações para instalação podem ser encontradas no repositório do projeto do *GitHub* (<https://github.com/c9/core>). A primeira tentativa de instalação realizado na BBB é apresentado na caixa de código-fonte 4.9:

```
1 cd ~/
2 git clone git://github.com/c9/core.git c9sdk
3 cd c9sdk
4 scripts/install-sdk.sh
```

Código-fonte 4.9: Primeira tentativa de instalação do *Cloud9 IDE core* na BBB

Ao tentar rodar a aplicação apontando para o diretório */var/www* como diretório de projeto, ou seja, o diretório raiz ao qual o *Cloud9* tem acesso, não foi possível acessar os arquivos uma vez que o diretório em si pertence ao usuário *www-data* e os arquivos pertencem a *root*.

Ao rodar a aplicação como administrador, outros erros ocorreram, o que levou à tentativa de instalar outro script presente no endereço <https://github.com/c9/install> do repositório do *Cloud9*, que permite a conexão da IDE a um servidor SSH. Ainda assim, os erros persistiram, o que levou à abertura de uma questão em <https://github.com/c9/core/issues/143>, na qual está descrito o processo adotado para solucionar o problema. Na caixa de código-fonte 4.10 é apresentado o processo de instalação executado com sucesso:

```

1 cd ~/
2 wget --no-check-certificate https://raw.githubusercontent.com
   /c9/install/master/install.sh
3 sudo bash install.sh

```

Código-fonte 4.10: Instalação bem sucedida do *Cloud9 IDE core* na BBB

Note-se que muitas tentativas foram executadas para obter o resultado final esperado, por isso em caso de tentativa de reprodução do processo de instalação aqui descrito é recomendado tentar usar somente o processo da caixa de código 4.10 e, em caso de falha, partir para a etapa descrita anteriormente. Ainda assim, outro processo de instalação mais direto e que deve ser tentado prioritariamente ao aqui descrito, mas que não foi testado, está descrito em <https://cloud9-sdk.readme.io/docs/running-the-sdk>.

Para rodar a aplicação no background e continuar rodando mesmo após desconectar da sessão SSH, é preciso executar o servidor do *Cloud9* como root usando o comando descrito na caixa 4.11. O parâmetro *-l* indica o endereço de IP do servidor, *-p* a porta, *-a* usuário e senha e *-w* o diretório de trabalho. Também são feitas redireções das saídas *stdout* e *stderr* para os arquivos */var/www/log/cl9.out* e */var/www/log/cl9.err*, respectivamente.

```

1 sudo su #precisa ser root
2 cd /home/debian #pasta na qual esta instalado o Cloud9
3 nohup node c9sdk/server.js -l 143.107.xxx.xxx -p xxxx -a
   usuario:senha -w /var/www/ > /var/www/log/cl9.out 2> /var/
   www/log/cl9.err < /dev/null &

```

Código-fonte 4.11: Execução do *Cloud9*

Ao realizar o acesso pelo browser usando o IP e porta selecionados, ou seja, digitando *IP:porta* na URL do navegador, o resultado é apresentado na figura 4.20. Note-se que o ambiente apresentado é um *preset* de IDE completa, mas que é completamente personalizável, além de existirem outros *presets*, dentre os quais um modo minimalista no qual somente o editor de texto ocupa a tela, bom para momentos de desenvolvimento intensivo de um arquivo específico.

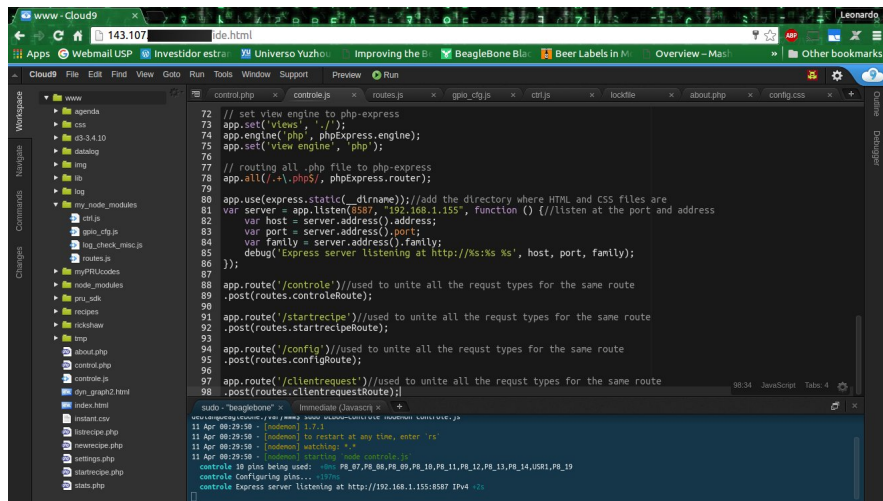


Figura 4.20: Ambiente completo do IDE *Cloud9*

4.5.2 *Git/GitHub*

Git é um DVCS (sistema de controle de versão distribuído) ou SCM (gerenciador de códigos-fonte), ou seja, uma ferramenta cuja finalidade é gerenciar o desenvolvimento de *software*. Um dos principais objetivos de um sistema como este é a documentação das mudanças feitas nos arquivos do projeto ao longo do seu desenvolvimento, o que permite facilmente reverter arquivos ou mesmo o projeto inteiro para um estado anterior, comparar mudanças em função do tempo, verificar quem foi a última pessoa a modificar um arquivo e possivelmente introduzir um bug, dentre outros recursos. E o mais importante, executar todas estas funções de maneira leve e fácil [53].

Esta ferramenta foi escolhida dentre muitas outras DVCS disponíveis por ser de código-aberto e extremamente popular, não somente pelas suas qualidades mas também pelo fato de ser a DCVS usada para o controle de versão do Kernel do Linux, sendo que o *Git* foi criado pela própria comunidade de manutenção do Kernel, incluindo Linus Torvalds [53]. Embora a referência bibliográfica consultada sobre este assunto possua mais de 500 páginas, demonstrando o nível de complexidade que a ferramenta pode atingir, neste projeto somente o essencial será abordado — o que significa compreender o uso de alguns comandos básicos.

Com relação ao *GitHub*, este nada mais é do que um serviço de hospedagem de repositórios *Git*. Uma de suas grandes vantagens é a popularidade, o que o faz ser uma fonte repleta de recursos de código-aberto. No que diz respeito a este trabalho, dentre suas vantagens estão o fato de o serviço facilitar o processo de *backup* de todo o trabalho realizado no âmbito de *software*, prover uma estrutura que permite a replicação do projeto com poucos coman-

dos e também o uso deste serviço para a redação da presente monografia sem a preocupação de ter que levar os arquivos fisicamente a diversas localidades ou depender de serviços de armazenamento de propósito geral, que não apresentam as vantagens de um DVCS.

Para configurar uma conta no github, o primeiro passo foi a realização do cadastro em <https://github.com>, seguida da criação de um repositório online, conforme ilustrado na figura 4.21. Após isto, o repositório foi clonado na BBB e os arquivos relevantes do sistema foram copiados para ele. Observe-se que esta abordagem foi improvisada devido ao fato de arquivos de configuração, dentre outros, encontrarem-se em repositórios específicos do sistema, já que o mais adequado seria que todos os arquivos do projeto fossem criados na pasta do *Git*. Para instalar, configurar o *Git* e clonar o repositório recém criado do *GitHub* para a BBB, foram executados os comandos descritos na caixa de código-fonte 4.12.

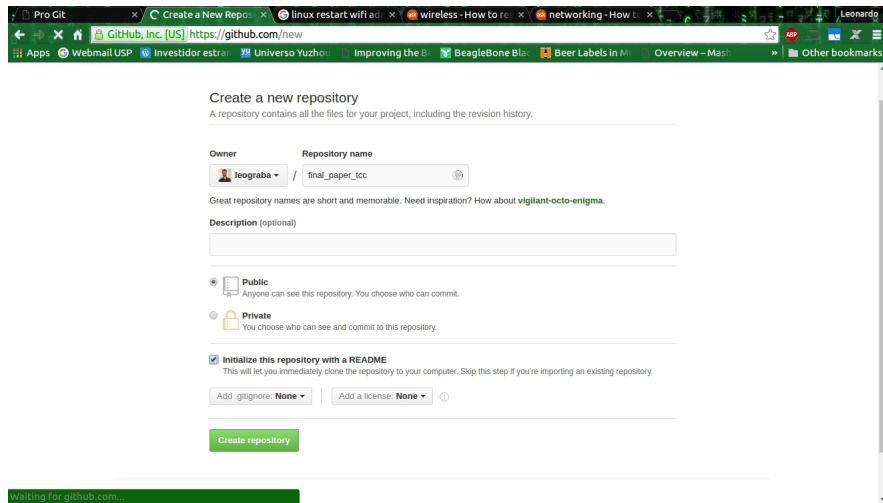


Figura 4.21: Criação de repositório no *GitHub*

```

1 sudo apt-get install git
2 git configure --global user.name "Nome"
3 git configure --global user.email email@exemplo.com
4 cd ~
5 git clone https://github.com/leograb/final_paper_tcc.git

```

Código-fonte 4.12: Instalação do *Git* e cópia do repositório do *GitHub* para a BBB

Após isto o diretório *final_paper_tcc* do *GitHub* foi clonado. Todos os arquivos relevantes ao projeto foram copiados para ele e, subsequentemente, adicionados ao *Git*: sempre que um arquivo é adicionado ou modificado em um repositório *Git*, ele é ignorado a menos que seja executado o comando *git add arquivo* — isto permite flexibilidade, principalmente com relação a arquivos que não devem ser adicionados ao repositório, como arquivos auxiliares gerados por compiladores, por exemplo. Após cada mudança, para torná-la efetiva é preciso executar o comando *git commit -m "mensagem para registro"*, que além da data e hora da

modificação, permite adicionar uma mensagem para identificar o que foi modificado desde o último commit. Por fim, foi preciso enviar as mudanças do repositório local para o *GitHub*. O processo de adicionar arquivos novos/modificados, fazer *commit* nas mudanças e atualizar a origem remota está descrito no código-fonte 4.13 e foi usado sempre que mudanças foram feitas ao projeto, desde implementações de funcionalidades a correções de bugs. Um exemplo de *commit* após mudanças incrementais é apresentado na figura 4.22.

```
1 git add .
2 git commit "Primeiro commit"
3 git push origin master
```

Código-fonte 4.13: Primeiro *git commit*

```
debian@beaglebone:~/final_paper_tcc$ git status
# On branch develop
# Changes not staged for commit:
#   (use "git add <file>..." to update what will be committed)
#   (use "git checkout -- <file>..." to discard changes in working directory)
#
#       modified:   www/controle.js
#
no changes added to commit (use "git add" and/or "git commit -a")
debian@beaglebone:~/final_paper_tcc$ git add www/controle.js
debian@beaglebone:~/final_paper_tcc$ git commit -m "Melhorias incrementais ao controle da brassagem"
[develop d149273] Melhorias incrementais ao controle da brassagem
 1 file changed, 2 insertions(+), 2 deletions(-)
debian@beaglebone:~/final_paper_tcc$ git push origin develop
Username for 'https://github.com': leogveiga@gmail.com
Password for 'https://leogveiga@gmail.com@github.com':
Counting objects: 7, done.
Compressing objects: 100% (4/4), done.
Writing objects: 100% (4/4), 397 bytes, done.
Total 4 (delta 3), reused 0 (delta 0)
To https://github.com/leogveiga/final_paper_tcc.git
  deae892..d149273  develop -> develop
debian@beaglebone:~/final_paper_tcc$
```

Figura 4.22: Fazendo *git commit* após mudanças incrementais

4.6 Geração de gráfico e registro de temperatura em Python

Para o armazenamento da temperatura do sensor em função do tempo, assim como a geração de um gráfico com o histórico de temperaturas para o usuário do sistema, foram escritos dois *scripts* em Python, sendo a saída do *script* de *log* a entrada do *script* de geração do gráfico — embora ambos possam ser executados independentemente, a geração do gráfico precisa de um arquivo contendo o histórico de temperaturas.

4.6.1 Registro de temperatura

Para o arquivo do *log*, foram primeiramente escritas algumas funções:

- **tread()** — lê o arquivo referente ao sensor de temperatura e retorna deste somente a temperatura formatada em graus celsius.

- **tprint_all(tcelsius)** — recebe temperatura em °C e imprime com formatação HTML em °C, °F, K e °R; pode ser usada em conjunto com a função tread()
- **tprint_all_terminal(tcelsius)** — idêntica à função tprint_all(), porém imprime com formatação para o terminal do Linux
- **tlog(file = "/var/www/default.csv")** — cria/adiciona a um arquivo de log no formato CSV a temperatura medida e a data/hora correspondente no formato *Unix epoch* — que é definido como o número de segundos passados desde 1 de janeiro de 1970 não considerando segundos bissextos — em intervalo de amostragem definido na função, até que o script seja interrompido de alguma maneira. Em função de erros de leitura esporádicos do sensor, se a temperatura lida for menor ou igual a zero, esta é descartada. Imprime a temperatura lida a cada amostragem. O tempo de amostragem é definido pela soma do tempo de leitura do arquivo (inerente ao sistema) com o tempo ocioso definido nesta função: para que o tempo de amostragem seja o mais próximo possível de 1s, foi realizado um estudo de caso, descrito no apêndice H, e com isso obteve-se o valor de 0,2202s ocioso definido nesta função. Além disto, nesta função é chamada *tlog_instant* que registra em um arquivo separado a última leitura válida de temperatura e tempo.
- **tlog_instant(temperature, epoch, file = "/var/www/datalog/instant.csv")** — registra a última leitura válida de temperatura e tempo em um arquivo, criando ou sobreescrivendo o mesmo.
- **tlog_test(file = "/var/www/datalog/default.csv")** — função que gera um arquivo de *log* com rampas e degraus de temperatura, para uso em simulações posteriores do funcionamento do sistema, descritas na seção 4.7.5.

Sendo a função *tlog* a mais relevante, esta pode ser obtida na caixa de código-fonte 4.14. O script completo está registrado no código-fonte B.1 do apêndice B. Ainda assim, as funções por si só não são executadas sozinhas, portanto foi criado um script auxiliar em Python que chama a função *tlog*, descrito no código-fonte 4.15.

```

1 def tlog(file = "/var/www/datalog/default.csv"):
2     """salva temperatura e Unix Time em .csv"""
3     tsample = 0.2202 #amostra a cada ~1 segundo
4     buff_temp = tread()#guarda o último valor lido
5     exist = os.path.isfile(file)
6     with open(file, 'a', 1) as log:
7         if exist is False:#se vai criar o arquivo agora
8             log.write("temperatura,data\n")
9         while True: #loop infinito
10            temp_celsius = tread()
11            epoch = time.time()#lê a data/hora do sistema
12            if temp_celsius >= 0:#evita leitura errada

```

```

13     log.write("%f,%f\n" % (temp_celsius, epoch))
14     tlog_instant(temp_celsius, epoch)
15     time.sleep(tsample) #espera n segundos
16     print "registrando temperatura!", temp_celsius

```

Código-fonte 4.14: Função de *log* da temperatura em Python

```

1 import temp
2 temp.tlog()
3 # para executar no terminal, basta executar:
4 # sudo python log.py

```

Código-fonte 4.15: Script para gravação das leituras de temperatura em Python

Na figura 4.23 é apresentada uma amostra de arquivo CSV gerado pelo script 4.15, e que valida o funcionamento da aplicação.

```

debian@beaglebone: /var/www/datalog
debian@beaglebone: /var/www/datalog      x  leonardo@grabaDev: ~/final_paper_tcc  x
tail -n 10 default.csv
temperatura,data
20.200000,1404790916.416406
20.400000,1404790917.429680
20.600000,1404790918.437585
20.800000,1404790919.444913
21.000000,1404790920.452805
21.200000,1404790921.456841
"default.csv" [readonly] 12921 lines, 361934 characters

```

Figura 4.23: Arquivo CSV com registro de temperaturas gerado em Python

4.6.2 Gráfico de temperatura

Com o script que gera um registro da temperatura medida pelo sensor DS18B20 em função do tempo, o próximo passo é a análise dos dados coletados. Uma forma fazê-lo é plotando um gráfico. Para fazê-lo em Python, foi decidido usar as bibliotecas *Matplotlib* e *NumPy*, integrantes do ecossistema *SciPy*.

Matplotlib é uma biblioteca desenvolvida especificamente para a plotagem 2D de figuras estáticas em scripts Python, no Python shell (similar ao ambiente interpretador de softwares proprietários como MATLAB e Mathematica), em aplicações de servidores e *toolkits* com GUI [54]. Para instalar esta biblioteca, basta executar o comando descrito na caixa de código-fonte 4.16.

```

1 sudo apt-get install python-matplotlib

```

Código-fonte 4.16: Instalação da biblioteca Matplotlib

NumPy é um pacote em Python que fornece suporte a arranjos e matrizes multidimensionais, além de diversas funções matemáticas de suporte a estes formatos de dados. É amplamente empregado nas áreas de computação científica, engenharia e matemática [55]. Este

pacote é parte integrante do ecossistema *SciPy*, cuja instalação é apresentada na caixa de código-fonte 4.17.

```
1 sudo apt-get install python-scipy
```

Código-fonte 4.17: Instalação do ecossistema SciPy

Desenvolvimento do gráfico

Com todas as ferramentas necessárias instaladas, pôde ser iniciado o desenvolvimento do script que gera o gráfico da temperatura em função do tempo. A abordagem inicial foi criar um script que gera um arquivo PDF do gráfico a partir do exemplo encontrado na página http://matplotlib.org/examples/pylab_examples/multipage_pdf.html, modificando este script para as necessidades do projeto.

Como o desenvolvimento foi realizado sem uma interface gráfica, referida como *backend*, foi preciso explicitar a saída como um renderizador no lugar deste, conforme indicado no código-fonte 4.18, que documenta a importação das bibliotecas/funções utilizadas no script. Note-se que a mudança da saída deve ocorrer antes da importação da biblioteca *numpy* para que não ocorra erro.

```
1 import time
2 import matplotlib
3 matplotlib.use('AGG') #muda a output para um renderer ao inves
        de backend
4 import numpy as np
5 import matplotlib.pyplot as plt
6 from scipy import interpolate
```

Código-fonte 4.18: Importação das bibliotecas para geração de gráfico em Python

Na única função do script, *graph_gen(file = '/var/www/default.csv', graph = '/var/www/t-plot.png')*, é explicitado que a entrada é um arquivo CSV e a saída um arquivo PNG. Nesta função o arquivo CSV é lido linha por linha em um *loop*, sendo a primeira linha do arquivo ignorada em função de ela não conter dados, conforme ilustrado na figura 4.23. Ao longo das iterações deste *loop*, a data/hora do primeiro e último registro de temperatura são usadas para gerar um título para o gráfico e, a cada iteração os dados são decodificados, o que se resume basicamente a separar o que há antes e depois da vírgula presente na linha lida do arquivo CSV.

Na parte da função referente à plotagem do gráfico, além de configurações triviais como cor de fundo, tamanho de fontes e legendas, dentre outros, é notável o ajuste da escala do tempo, para o qual foi pensado um registro de temperatura contínuo e não somente o registro

de uma produção de cerveja: para até duas horas de registro a escala é impressa em minutos; entre duas horas e um dia e meio de registros, em horas; entre um dia e meio e três meses de registros, em dias; e acima disto em meses. Após isto, o gráfico é plotado, salvo no formato PNG com densidade de pontos por polegada de 150dpi, e fechado para liberar a memória do sistema.

O script que chama a função *graph_gen* é descrito no código-fonte ??, presente no mesmo arquivo em que está a função. Note-se que o gráfico é gerado periodicamente a cada 300 segundos e o tempo necessário para executar tal tarefa é computado e impresso na saída padrão do Python. O arquivo completo que contém a função *graph_gen* está documentado no código-fonte B.2 do apêndice B.

Na figura 4.24 é apresentado um gráfico gerado na BBB a partir de 7200 pontos amostrados, ou seja, 120 minutos. Este tempo foi escolhido uma vez que dificilmente o cozimento do mosto ou a fervura dura mais do que isso, portanto provando que a implementação é factível para o uso a que se destina. A tabela 4.3 apresenta informações estatísticas sobre o tempo de computação necessário para a geração do gráfico. A figura 4.25 apresenta o processo de verificação do número de pontos registrados e o posterior processo de coleta dos dados que deram origem à tabela 4.3.

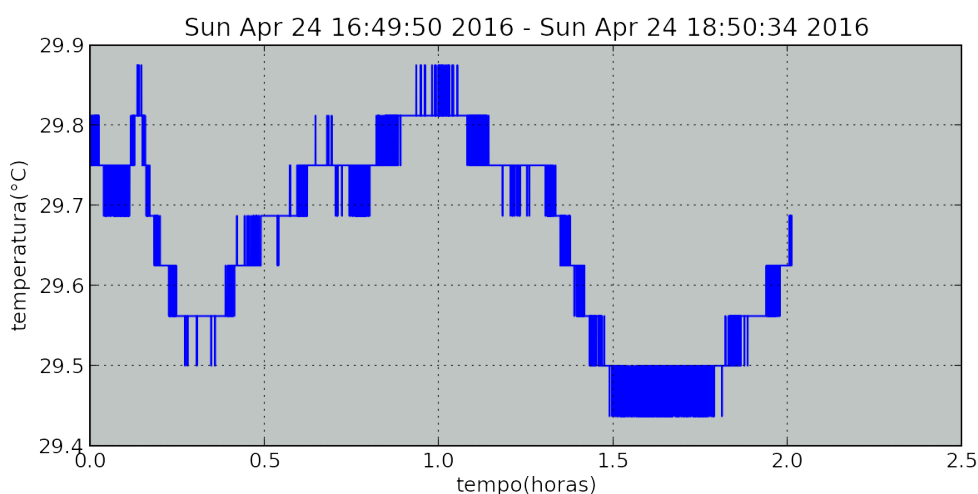


Figura 4.24: Gráfico com 7200 pontos gerado em Python

Tabela 4.3: Estatísticas referentes ao tempo de geração de gráfico na BBB, para 7200 pontos em Python

Descrição	Valor
N.º de amostras	30
Média (s)	2,106
Máximo (s)	2,068
Mínimo (s)	2,149
Desvio padrão (s)	0,023

```
debian@beaglebone:~/brewing$ wc -l /var/www/datalog/default.csv
7201 /var/www/datalog/default.csv
debian@beaglebone:~/brewing$ sudo python grafico.py
tempo para gerar grafico (s) = 2.127
tempo para gerar grafico (s) = 2.068
tempo para gerar grafico (s) = 2.136
tempo para gerar grafico (s) = 2.077
tempo para gerar grafico (s) = 2.116
tempo para gerar grafico (s) = 2.083
tempo para gerar grafico (s) = 2.085
tempo para gerar grafico (s) = 2.126
tempo para gerar grafico (s) = 2.118
tempo para gerar grafico (s) = 2.117
tempo para gerar grafico (s) = 2.085
tempo para gerar grafico (s) = 2.099
tempo para gerar grafico (s) = 2.113
tempo para gerar grafico (s) = 2.087
tempo para gerar grafico (s) = 2.115
tempo para gerar grafico (s) = 2.090
tempo para gerar grafico (s) = 2.138
tempo para gerar grafico (s) = 2.091
tempo para gerar grafico (s) = 2.094
tempo para gerar grafico (s) = 2.126
tempo para gerar grafico (s) = 2.095
tempo para gerar grafico (s) = 2.139
tempo para gerar grafico (s) = 2.080
tempo para gerar grafico (s) = 2.149
tempo para gerar grafico (s) = 2.089
tempo para gerar grafico (s) = 2.093
tempo para gerar grafico (s) = 2.145
tempo para gerar grafico (s) = 2.095
tempo para gerar grafico (s) = 2.120
tempo para gerar grafico (s) = 2.082
```

Figura 4.25: Geração de gráfico em Python múltiplas vezes para obter o tempo médio

4.7 Aplicação *server-side* em Node.js

Nesta seção será detalhado o uso da linguagem de programação Javascript no ambiente de interpretação Node.js. O escopo da aplicação desta linguagem no projeto se aplica, mas não é limitado a: acesso ao *hardware*, incluindo barramentos de propósito geral (GPIO) e periféricos como PWM; criação de um servidor web minimalista; e controle do processo de produção de cerveja. Node.js já vem instalado na distribuição padrão do Debian utilizada neste projeto, porém é possível instalar ou atualizar o ambiente por meio do gerenciador de pacotes *apt-get*, conforme descrito na caixa de código-fonte 4.19:

```
1 | sudo apt-get install nodejs
```

Código-fonte 4.19: Instalação e/ou atualização do Node.js

Com isto, o gerenciador de pacotes do Node chamado NPM (Node Package Manager) também é instalado no sistema. Neste projeto, o desenvolvimento em Node foi legado do desenvolvimento prévio em PHP e, por isto, tudo foi realizado no diretório `/var/www`, cujo dono é o usuário `www-data`. Em função disto, foi criada manualmente a pasta `/var/www/node_modules` e o dono foi trocado para o usuário `debian` (enquanto sob condições normais este processo seria automático). Isto foi feito por questões de segurança, uma vez que os módulos do Node são autocontidos no diretório do projeto, o que desencoraja a instalação global na maioria dos casos. O processo de criação do diretório é descrito no trecho de código 4.20:

```
1 cd /var/www
2 sudo mkdir node_modules
3 sudo chown debian:debian node_modules
```

Código-fonte 4.20: Criação do diretório `/var/www/node_modules`

Além disto, foi instalado o módulo `Debug` do Node, que ajuda no desenvolvimento da aplicação da seguinte maneira: ele encapsula a função `console.log`, análoga ao `printf` da linguagem C, de tal maneira que as mensagens só são impressas na tela se uma variável do terminal estiver configurada durante a execução do código. Além disto, diferentes grupos de mensagens de `debug` podem ser configurados, permitindo flexibilidade e também é adotado um esquema de cores que facilita a compreensão das mensagens de `debug`. Para ilustrar o uso deste módulo, na caixa 4.21 é descrita a instalação do módulo; o trecho de código-fonte 4.22 descreve como usar o módulo em uma aplicação de Node e a figura 4.26 apresenta o resultado do uso do módulo no exemplo, para as seguintes situações: não imprime mensagens de `debug`; imprime grupos de mensagens de `debug` e; imprime todas as mensagens de `debug` disponíveis.

```
1 npm install debug
```

Código-fonte 4.21: Instalação do módulo `Debug`

```
1 "use strict";
2
3 var dbg_gpio = require('debug')('gpio');
4 var dbg_pwm = require('debug')('pwm');
5
6 console.log("Inicio exemplo:");
7 for(var i = 0; i < 3; i++) {
8     switch(i) {
9         case 0:
10             dbg_gpio("Debug situacao gpio");
11             break;
```

```

12   case 1:
13     dbg_pwm("Debug situacao pwm");
14     break;
15   case 2:
16     dbg_gpio("Debug ambos gpio");
17     dbg_pwm("Debug ambos pwm");
18     break;
19   }
20 }
```

Código-fonte 4.22: Exemplo de uso do módulo *Debug*

```

leonardo@grabaDev:~/final_paper_tcc/tmp$ node testenode.js
Inicio exemplo:
leonardo@grabaDev:~/final_paper_tcc/tmp$ DEBUG=gpio node testenode.js
Inicio exemplo:
  gpio Debug situacao gpio +0ms
  gpio Debug ambos gpio +2ms
leonardo@grabaDev:~/final_paper_tcc/tmp$ DEBUG=pwm node testenode.js
Inicio exemplo:
  pwm Debug situacao pwm +0ms
  pwm Debug ambos pwm +2ms
leonardo@grabaDev:~/final_paper_tcc/tmp$ DEBUG=gpio,pwm node testenode.js
Inicio exemplo:
  gpio Debug situacao gpio +0ms
  pwm Debug situacao pwm +3ms
  gpio Debug ambos gpio +1ms
  pwm Debug ambos pwm +0ms
leonardo@grabaDev:~/final_paper_tcc/tmp$ DEBUG=* node testenode.js
Inicio exemplo:
  gpio Debug situacao gpio +0ms
  pwm Debug situacao pwm +3ms
  gpio Debug ambos gpio +2ms
  pwm Debug ambos pwm +0ms
```

Figura 4.26: Exemplo de uso do módulo *Debug*

Neste capítulo deve-se assumir que todas as operações foram realizadas no diretório */var/www*, salvo indicações em contrário. Note-se também que, no início de todos os códigos-fonte completos, presentes no apêndice C, é usada a declaração "**use-strict**", que evita o uso de potenciais armadilhas do Javascript, como usar inadvertidamente uma variável global sem declará-la, dentre outras armadilhas.

4.7.1 Acesso a GPIO e PWM

O acesso às características de *hardware* da BBB necessárias para o controle das válvulas, bombas, resistores de potência e servo-motor do sistema é feito por meio do módulo de código-aberto *Octalbonescript*, que consiste de um *fork* (ou derivação) do módulo oficial da BBB de acesso a hardware *Bonescript*. Sua escolha se deve ao fato de que esta biblioteca

era mais completa e estável durante o desenvolvimento deste projeto. A instalação desta biblioteca está descrita na caixa 4.23. A documentação da API deste módulo foi obtida em <https://github.com/theoctal/octalbonescript/wiki>.

```
1 npm install octalbonescript
```

Código-fonte 4.23: Instalação do Octalbonescript

Uma vez que este módulo compila uma sobreposição de *device tree* a partir de um template fornecido junto com a instalação, foi necessário modificá-lo para acomodar a descrição de hardware do sensor DS18B20. Para tal, foi investigado que o comportamento da biblioteca *Octalbonescript* com relação à *device tree* é o seguinte: se a sobreposição já está carregada não é feita nova compilação do fragmento nem tentativa de carregar a sobreposição, portanto foi necessário resetar a BBB toda vez que novos testes eram realizados. O template fica no diretório *node_modules/octalbonescript/dts/* e o nome do arquivo modificado é *OBS_UNIV_template.dts*. As modificações realizadas, assim como as linhas do código modificadas estão descritas na caixa de código-fonte 4.24. Linhas que começam com "X" foram apagadas, as outras foram adicionadas.

```
1 [389]          /* P9_11 (THE ONE-WIRE DS18B20) */
2 [390]          bb_w1_pins: pinmux_bb_w1_pins {
3 [391]              pinctrl-single,pins = <0x070 0x37>; };
4 X[392]          /* Mode 7, Pull-Up, RxActive */
5 X[393]          P9_11_gpio_pin: pinmux_P9_11_gpio_pin {
6 X[394]              pinctrl-single,pins = <0x070 0x2F>; };
7 X[395]          /* Mode 7, RxActive */
8 X[396]          P9_11_gpio_pu_pin: pinmux_P9_11_gpio_pu_pin {
9 X[397]              pinctrl-single,pins = <0x070 0x37>; };
10 X[398]          /* Mode 7, Pull-Up, RxActive */
11 X[399]          P9_11_gpio_pd_pin: pinmux_P9_11_gpio_pd_pin {
12 X[400]              pinctrl-single,pins = <0x070 0x27>; };
13 X[401]          /* Mode 7, Pull-Down, RxActive */
14 X[402]          P9_11_uart_pin: pinmux_P9_11_uart_pin {
15 X[403]              pinctrl-single,pins = <0x070 0x36>; };
16 X[404]          /* Mode 6, Pull-Up, RxActive */
17 X[405]          onewire@0 {
18 X[406]              compatible = "w1-gpio";
19 X[407]              status = "okay";
20 X[408]              pinctrl-names = "default";
21 X[409]              pinctrl-0 = <&bb_w1_pins>;
22 X[410]              pinctrl-1 = <&P9_11_gpio_pin>;    gpios = <&
23 X[411]                  gpio1 30 0>;
24 X[412]              pinctrl-2 = <&P9_11_gpio_pu_pin>;
25 X[413]              pinctrl-3 = <&P9_11_gpio_pd_pin>;
26 X[414]              pinctrl-4 = <&P9_11_uart_pin>;
27 X[415]          };
28 X[416]          P9_11 {
29 X[417]              gpio-name = "P9_11";
30 X[418]              gpio = <&gpio1 30 0>;
31 X[419]              input;
32 X[420]              dir-changeable;
```

```
27 | X [1237]           };
```

Código-fonte 4.24: Modificações feitas ao template de *device tree* do Octalbonescript

Com esta configuração da *device tree*, foi preciso parar de carregar o fragmento descrito na seção 4.3.3, pois ao tentar usar o *Octalbonescript* passou a ocorrer um erro do tipo **EEXIST: file already exists**, que indica em um âmbito geral que um arquivo que deveria ser criado já existe.

A partir deste ponto, foi desenvolvido um módulo nomeado *gpio_config* responsável pelo gerenciamento de GPIO e PWM, baseado no Octalbonescript. Foram criados objetos para cada elemento do sistema, usados para guardar a identificação do pino de GPIO de cada objeto, o estado e a configuração de cada pino. Para isto, uma função auxiliar foi criada. Também foi criado um objeto que reúne todos os objetos dos pinos, para facilitar a configuração inicial e também manter controle sobre o status do sistema durante seu funcionamento. Uma vez que em Node.js as variáveis são todas ponteiros, ao atribuir uma variável a outra o que se está fazendo é apontar as duas variáveis para o mesmo endereço de memória. Na caixa de código-fonte 4.25 é apresentada a função de criação dos objetos, a declaração dos elementos aquecedores e a união destes elementos, a título de exemplo. A descrição completa das declarações de objetos pode ser encontrada no código-fonte C.2 no apêndice C.

```
1  var mash_heat = module.exports.mash_heat = new PinObjectIO("P8_13");
2  var boil_heat = module.exports.boil_heat = new PinObjectIO("P8_14");
3  var heaters = module.exports.heaters = collect(mash_heat,
4                                              boil_heat);
5
6  // I/O pins
7  function PinObjectIO(pinId){ //function to create pin object,
8      should recieve pin ID
9      if(pinId){ //if the variable is passed to function or not
10         empty
11         this.id = pinId; this.state = b.LOW; this.cfg = b.OUTPUT;
12     }
13
14
15  function collect(){ //function concat objects
16      var ret = {};//the new object
17      var len = arguments.length;//the total number of objects
18          passed to collect
19      for (var i=0; i<len; i++) { //do it for every object passed
20          for (var p in arguments[i]) { //iterate the i-eth object
21              passed
22              if (arguments[i].hasOwnProperty(p)) { //whenever there
23                  is a property
```

```

21         ret[p] = arguments[i][p]; //add the property to the
22         new object
23     }
24 }
25 return ret;
26 }
```

Código-fonte 4.25: Criação de objetos para os elementos do sistema em Node

Além disto, foi criado um objeto que guarda o status do sistema: o número total de pinos a serem configurados, o número de pinos configurados corretamente, o número de pinos como GPIO, PWM, analógicos e interrupções. Quanto às funções do módulo, estas são:

- **changeStatusIO(pin, val)** — recebe o nome do pino, e.g. *mash_heat*, e o valor (*true* ou *false* para GPIO e numérico para PWM). Ajusta o valor do pino conforme passado para a função, assim como trata de atualizar as variáveis de controle dos pinos.
- **getSystemStatus()** — retorna o valor/estado de todos os pinos do sistema, sendo 0 ou 1 para GPIO e numérico para PWM.
- **pinsConfiguration()** — configura todos os pinos declarados como entrada, saída ou PWM. Em caso de erro de configuração de algum pino é impressa uma mensagem com o auxílio do módulo *debug*, portanto cabe ao administrador do sistema testar se a configuração está funcionando no momento da instalação do equipamento ou quando julgar necessário.
- **ioTest()** — função de teste. Implementa um algoritmo que seta os pinos de GPIO do sistema de tal forma sequencial, ou seja, chamando esta função em um *loop* faz com que um efeito cascata seja produzido, caso os pinos estejam ligados a LEDs.

Na função *pinsConfiguration*, é preciso notar que dentro do laço de repetição *for* é chamada uma função anônima para a configuração de cada pino. Isto é necessário pois, se todas as operações fossem realizadas diretamente dentro do laço, o comportamento assíncrono do Node geraria inconsistências na execução do código. Assim sendo, o objetivo da função anônima é criar um escopo que permite a execução assíncrona do código sem que a referência passada para esta função anônima se degenerasse. Uma vez que esta função precisa receber o valor e não o ponteiro da variável de iteração do laço, tanto o pino a ser configurado quanto o seu índice (variável de iteração) no laço de repetição são passados com o auxílio do método *call()*, que neste caso copia o pino como o elemento *this* e o índice como o primeiro argumento da função, criando um novo escopo por meio de uma clausura. Sem isso, antes

que a primeira invocação da função anônima acabasse, o valor de `i`, por exemplo, já seria `all_io_objects.length` e não zero, que seria o valor esperado.

Para tornar a compreensão desta necessidade mais clara, a caixa de código-fonte 4.26 apresenta um exemplo no qual duas funções com um laço `for` são chamadas: a primeira delas imprime o valor da variável de iteração para todas as chamadas do laço imediatamente e com um atraso de 100ms, mas sem precauções com relação ao comportamento assíncrono do Node; já a segunda função utiliza o método descrito no parágrafo anterior. Observa-se na figura 4.27 que sem tomar precauções, na chamada com atraso, é impresso o último valor da variável de iteração do laço em todas as iterações. Isto deixa claro a necessidade de criar um novo escopo, assim como demonstra que esta é uma fonte de erros para programadores inexperientes e/ou descuidados.

```

1  'use-strict';
2  var debug1 = require('debug')('debug1');
3  var debug2 = require('debug')('debug2');
4
5  function pinConfiguration() {
6      for(var i = 0; i < 3; i++) {
7          setTimeout(function() { debug1('atraso: ' + i
8              ); }, 100);
9          debug1('imediato: ' + i);
10     }
11 }
12
13 function pinConfiguration2() {
14     for(var i = 0; i < 3; i++) {
15         (function () {
16             var i2 = this;
17             setTimeout(function() { debug2('
18                 atraso: ' + i2); }, 100);
19         }).call(i);
20         debug2('imediato: ' + i);
21     }
22 }
23 pinConfiguration2();
24 pinConfiguration();
```

Código-fonte 4.26: Uso de clausura para criação de escopo

```
leonardo@grabaDev:~/final_paper_tcc/tmp$ DEBUG=* node testeclosure.js
debug2 imediato: 0 +0ms
debug2 imediato: 1 +3ms
debug2 imediato: 2 +2ms
debug1 imediato: 0 +0ms
debug1 imediato: 1 +1ms
debug1 imediato: 2 +0ms
debug2 atraso: 0 +96ms
debug2 atraso: 1 +2ms
debug2 atraso: 2 +0ms
debug1 atraso: 3 +2ms
debug1 atraso: 3 +0ms
debug1 atraso: 3 +0ms
```

Figura 4.27: Resultado de chamada de função sem criação de escopo x com criação de escopo

4.7.2 Servidor Express.js

Mesmo com o servidor Apache já configurado na BBB, quando foi decidido o uso de Node.js como linguagem do servidor o Apache foi substituído pelo *Framework* Express, dados os benefícios apontados na seção 2.4. Para isto, a consulta à documentação da API deste framework (<http://expressjs.com/pt-br/4x/api.html>) foi a base de desenvolvimento do servidor.

Outros dois módulos auxiliares foram empregados em conjunto com o Express: o módulo *Body-parser*, cuja função é a interpretação de dados codificados em JSON pelo cliente; e o módulo *PHP-express*, que permite a interpretação de arquivos PHP pelo servidor. Este último módulo foi empregado devido a algumas funcionalidades desenvolvidas em PHP em uma fase inicial do projeto, portanto suportando a aplicação legada. Reescrever os códigos PHP é uma opção, porém em função do tempo necessário para tal tarefa, esta foi a solução adotada. Na caixa 4.27 é documentada a instalação dos módulos.

```
1 npm install express
2 npm install body-parser
3 npm install php-express
```

Código-fonte 4.27: Instalação dos módulos necessários para implementar o servidor web em Node.js

O código-fonte no qual é configurado o servidor é o */var/www/controle.js*, que é também o arquivo raiz da aplicação em Node, e está disponível no apêndice C.1. É interessante observar a configuração do PHP-express, descrita no trecho de código-fonte 4.28, no qual observa-se que logo ao adicionar o módulo ao código é passado o caminho do PHP, que deve ser previamente instalado no sistema. Também é notável o fato de que os arquivos PHP são identificados por meio de uma expressão regular, cuja função à qual ela é aplicada direciona estes arquivos para o *engine* do PHP.

```

1 var phpExpress = require('php-express')({ // assumes php is
2   in your PATH
3   binPath: 'php'
4 });
5 // set view engine to php-express
6 app.set('views', './');
7 app.engine('php', phpExpress.engine);
8 app.set('view engine', 'php');
9
10 // routing all .php file to php-express
11 app.all(/.+\.php$/, phpExpress.router);

```

Código-fonte 4.28: Configuração do PHP-express

Com relação à configuração do Express, três pontos devem ser notados: o diretório no qual é executada a aplicação é configurado como o diretório raiz do servidor, seja para servir arquivos HTML e CSS ou arquivos de mídia e apoio da aplicação; o endereço de IP e porta são especificados de modo a permitir acesso à BBB pela internet e; são configuradas rotas para diferentes categorias de requisições do cliente. O fragmento de código-fonte 4.29 apresenta os três pontos discutidos neste parágrafo. Note-se que é adicionado o módulo *routes*, que foi escrito separadamente somente para facilitar a compreensão do código. Ele define o comportamento das rotas.

```

1 var express = require("express");
2 var app = express();
3 var routes = require('./my_node_modules/routes.js');
4
5 app.use(express.static(__dirname)); //add the directory where
6 // HTML and CSS files are
7 var server = app.listen(8587, "192.168.1.155", function () {
8   //listen at the port and address
9   var host = server.address().address;
10  var port = server.address().port;
11  var family = server.address().family;
12  debug('Express server listening at http://%s:%s %s', host,
13    port, family);
14});
15
16 app.route('/controle') //used to unite all the request types
17 // for the same route
18 .post(routes.controleRoute);
19
20 app.route('/startrecipe') //used to unite all the request types
21 // for the same route
22 .post(routes.startrecipeRoute);
23
24 app.route('/config') //used to unite all the request types for
25 // the same route
26 .post(routes.configRoute);
27
28 app.route('/clientrequest') //used to unite all the request
29 // types for the same route

```

23 | .post(routes.clientrequestRoute);

Código-fonte 4.29: Configuração do servidor web com o framework Express.js

Quanto ao módulo que define o comportamento das rotas do servidor, seu código-fonte é apresentado na caixa de código-fonte do apêndice C.3. Ele consiste de quatro funções — uma para cada rota:

- **controleRoute(req, res)** — realiza o controle direto de GPIO e PWM. Faz uso do módulo *gpio_cfg*, descrito na seção 4.7.1.
 - Muda o valor de um terminal, conforme especificado pelo cliente.
 - Retorna para o cliente o status de todos os pinos da aplicação, independente da sua configuração.
- **startRecipeRoute(req, res)** — executa diversas funções relacionadas à produção de cerveja, inclusive iniciar o processo de controle da mesma, conforme a requisição enviada pelo cliente.
 - Retorna a lista de receitas cadastradas no servidor.
 - Verifica integridade da receita, ou seja, se ela contém informações suficientes para que uma produção seja iniciada.
 - Realiza uma série de verificações e começa uma brassagem, se aprovado.
 - Verifica se já existe alguma receita em andamento.
 - Retorna erro para o cliente se nenhuma requisição é válida.
- **configRoute(req, res)** — ajusta ou responde com a data e hora da BBB, conforme a solicitação do cliente.
- **clientrequestRoute(req, res)** — função auxiliar do processo de mostura, usada para sinalizar que um novo degrau de temperatura deve começar.

Dentre as particularidades de implementação deste módulo, observa-se o uso dos argumentos *req* e *res* em todas as funções, uma vez que estes são padronizado pela API do Express para requisições do tipo POST feitas pelo cliente. O argumento *req* contém todos os dados enviados pelo cliente no padrão HTTP POST, que é parte da transferência de estado representacional, conhecida como REST. Uma vez que o módulo Express está em conformidade com as restrições REST, ele é considerado um serviço *RESTful*. Quanto ao argumento *res*, este contém o objeto responsável por enviar a resposta do servidor para o cliente após o processamento da requisição, que é conseguida por meio método *send*. É importante observar

que, neste projeto, todas as requisições do cliente e respostas do servidor são feitas usando a codificação de dados JSON.

O exemplo expresso na caixa de código-fonte 4.30 demonstra o uso dos argumentos *req* e *res* descritos nesta seção. Foi assumido que são recebidos os dados *comando* e *valor*. Se o comando for "inverter", é chamada a função que inverte um botão, cuja resposta pode ser *erro1* ou *sucesso*. Ainda, se o comando for diferente de "inverter", a resposta é *erro2*.

```

1 function processaRequisicaoPost(req, res) {
2   var comando = req.body.comando;
3   var botao = req.body.valor;
4
5   if(comando == "inverter") {
6     inverteBotao(botao, function(err) {
7       if (err) res.send('{"resposta":"erro1"}'); return;
8       res.send('{"resposta":"sucesso"}');
9     });
10  }
11  else res.send({ "resposta": "erro2" });
12}

```

Código-fonte 4.30: Exemplo de uso dos argumentos *req* e *res* definidos pelo Express.js

Também é importante entender o uso dos módulos *fs* e *child_process* incluídos por padrão no Node.js e cuja documentação da API pode ser obtida no site do Node.js (<https://nodejs.org/dist/latest-v4.x/docs/api/>). O módulo *fs* implementa o acesso ao sistema de arquivos, com funções de leitura e escrita a arquivos, mudança de dono ou modo de execução, criação e leitura de diretórios, dentre outras. Quanto à leitura e escrita de arquivos, esta pode ser realizada de forma assíncrona ou síncrona — usuários que ainda estão no processo de aprendizado de orientação a eventos tendem a usar a versão síncrona, porém isto deve ser evitado, uma vez que faz o bloqueio da execução da aplicação enquanto o arquivo não acabar de ser acessado.

Já o módulo *child_process* permite a criação de processos filhos do Node, que são executados independentemente deste: basicamente é possível executar uma linha de comando ou script do *shell* independente do Node. Neste módulo, foi utilizada a função *exec* para ajustar a data e hora da BBB após receber uma requisição do cliente, por meio dos comandos **date -s** e **hwclock -w**, que ajusta a data e hora do sistema e sincroniza com o RTC do sistema, respectivamente. A implementação desta funcionalidade pode ser verificada na função *configRoute* do código-fonte C.3, encontrado no apêndice C.

4.7.3 Registros e verificações em geral

Para as funções de registro, ou *log*, e de verificações, além de eventuais funções de miscelânea, foi escrito um módulo separado, cujo código-fonte está documentado na caixa C.4 do apêndice C. AS funções e suas respectivas descrições são apresentadas:

- **startTemperatureLogging()** — inicia o script Python descrito na seção 4.6.1, por meio de um processo filho do Node.
 - Tenta deletar o arquivo que contém a última leitura de temperatura (*/var/www/datalog/instant.csv*) antes de iniciar o script em Python.
 - Define o comportamento caso o script pare de ser executado: imprime uma mensagem de debug.
- **stopTemperatureLogging()** — aborta a execução do script Python iniciado por *startTemperatureLogging*.
- **getTemperatureReading(logFilePath, logReadHandler, callback)** — lê a mais recente amostragem de temperatura, que está salva no arquivo especificado pelo argumento *logFilePath*. Além da descrição aqui apresentada, o funcionamento desta função está descrito no algoritmo da figura 4.28
 - Recebe como argumento uma função de callback padrão, ou seja, cujo primeiro argumento é o possível erro e o segundo argumento é o valor de temperatura obtido em caso de sucesso.
 - O argumento *logReadHandler* é um objeto externo à função e que deve guardar o valor da última leitura de temperatura, as últimas 5 *timestamps* (registros de data/hora) e a contagem de erros de leitura de temperatura referentes a um sensor específico.
 - Se há algum problema na leitura do arquivo que deve conter o registro da última temperatura lida, a variável de erro é incrementada e, se a contagem exceder 180 erros, a mensagem de erro da função de *callback* indica que muitos erros foram detectados. Note-se que 180 é um valor quase que arbitrário que pode representar 3 minutos de leituras consecutivas erradas ou 180 erros esporádicos de leitura do arquivo e cuja escolha foi realizada pois representa 5% das amostras contidas em uma hora e que, por sua vez, é aceito como o tempo mínimo de uma brassagem ou fervura. Os testes não foram levados à exaustão, mas há espaço para a realização de ensaios para determinação de um valor mais adequado.

- Em caso de leitura do arquivo com sucesso, se a formatação do valor lido estiver errada, imprime erro, incrementa a variável de erro e, no caso de a contagem exceder 180, seta a mensagem de erro da função de *callback* indicando que muitos erros foram detectados.
 - Se o valor lido for consistente, atualiza o objeto *logReadHandler*. Compara as últimas 5 *timestamps* obtidas e incrementa a variável de erro se todas elas forem coincidentes — isto indica primariamente que o sensor de temperatura está mal conectado, ou mesmo desconectado em caso de erros consecutivos. Por isto a mensagem de erro da *callback* retorna a possibilidade de problemas com o sensor. No caso de a contagem de erros exceder 180, a mensagem de erro da função de *callback* indica que muitos erros foram detectados ao invés de avisar sobre o sensor.
 - Por fim, se a leitura do registro de temperatura passar por todas as checagens, é retornado nulo na mensagem de erro e o valor de temperatura como segundo argumento.
- **checkRecipeIntegrity(recipe, path, res)** — Verifica a integridade da receita selecionada pelo usuário antes de permitir o início de uma brassagem. Os argumentos recebidos pela função são o nome da receita, o diretório de receitas a ser verificado e o objeto que contém a resposta da requisição AJAX feita pelo cliente, respectivamente.
 - Se não consegue ler o arquivo da receita, responde com erro ao cliente.
 - Caso contrário, lê o arquivo *lockfile* para verificar se já existe uma brassagem em andamento. Se não consegue ler o *lockfile* ou ele indica que há uma brassagem em andamento, também responde com erro.
 - Verifica a consistência da receita com o seguinte critério: há campos estritamente necessários para a produção e que impedem o início da receita se estiverem em branco, campos que geram avisos mas permitem o início de uma receita após o usuário se declarar ciente e campos indiferentes para o sistema. São os campos estritamente necessários: água de brassagem, tempo da fervura, temperatura inicial de brassagem, primeiro degrau de temperatura, tempo do primeiro degrau, malte 1, quantidade do malte 1, lúpulo 1, quantidade do lúpulo 1 e tempo de adição do lúpulo 1. Os campos que geram avisos são: nome da receita, estilo, levedura, água de sparging e temperatura de sparging. Todos os outros campos são indiferentes à verificação de consistência da receita.

- Se tudo deu certo, uma variável global é setada para registro e uso posterior.

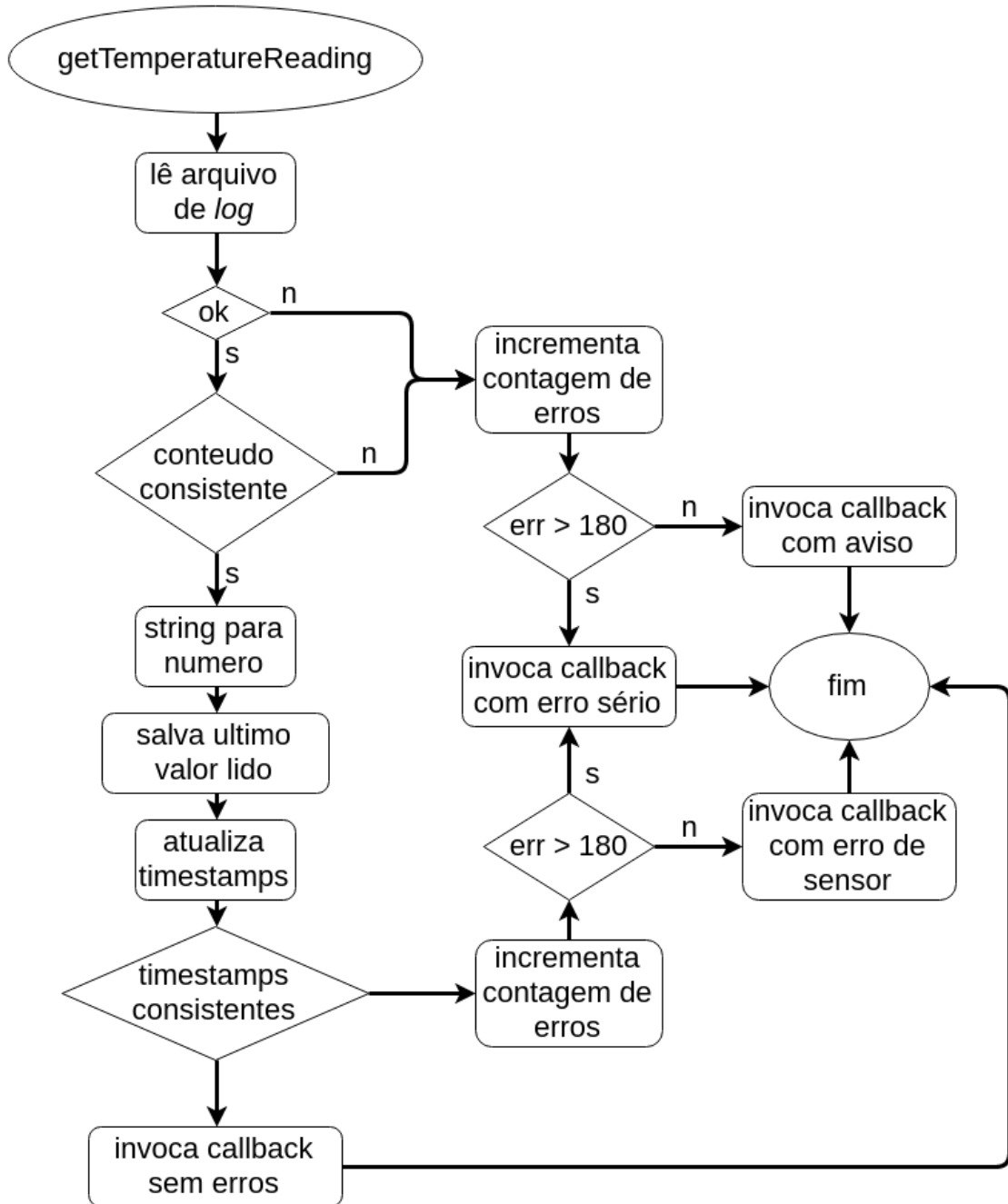


Figura 4.28: Representação em fluxograma do algoritmo de implementação da função `getTemperatureReading`

- `logToFile(message, code, notableTimestamp)` — função que realiza registro do status da brassagem sempre que invocada. Basicamente, ela salva a variável global `environmentVariables` em um arquivo de texto.
 - O argumento `message` pode conter uma string com uma mensagem explicativa com, por exemplo, a situação ou estágio da brassagem em que ocorreu o registro,

mas pode também ser deixado em branco. O argumento *code* tem basicamente o mesmo propósito, mas é um número predefinido para cada situação possível da brassagem, que permite que o arquivo de registro possa ser interpretado com maior facilidade; por este motivo, recomenda-se veementemente que não seja deixado em branco. A tabela 4.4 apresenta a correspondência entre os valores do argumento *code* e seus significados.

- O argumento *notableTimestamp* é usado para indicar quando uma situação notável ocorreu, como por exemplo o início da brassagem, o final de uma rampa ou degrau de temperatura, o início da fervura, etc. Para todas as outras situações deve ser deixado em branco, sendo que as situações notáveis são predefinidas.
 - O objeto *environmentVariables*, declarado no código-fonte raiz da aplicação em Node, que foi abordado na seção 4.7.2 e pode ser obtido no apêndice C, também é descrito na caixa 4.31. Ele é salvo no arquivo de *log* no formato JSON e para isto é empregada a função *JSON.stringify* conforme descrito na linha de código-fonte exibida na caixa 4.32.
- **sendRecipeNames(path, res)** — responde para o cliente usando o objeto *res* com todas as receitas disponíveis no diretório passado como argumento *path* para a função.
 - É preciso notar que, quando uma receita é deletada, a única modificação realizada é que a extensão do arquivo *.recipe* é modificada para *.recipe.del*, assim é fácil recuperar a receita caso o usuário a tenha deletado por engano. Por isso nesta função, além de ler os nomes dos arquivos presentes no diretório e excluir a extensão, foi preciso excluir os arquivos deletados.

```

1 //global variables that should also be saved to a backup file
2 //periodically
3 global.environmentVariables = {
4   warn: "", //if not empty holds some warning message
5   code: "", //tells the same as msg, but as an index, easier
6   //to check programatically
7   tmpMT: "", //mash tun temperature
8   tmpMTsetp: "", //mash tun current setpoint
9   tmpBK: "", //brewing kettle temperature, also the "hot
10  //liquor tank" for sparging
11  tmpBKsetp: "", //brewing kettle/hot liquor tank current
12  //setpoint
13  timeLeft: "", //helping variable to tell the client the time
14  //left for the step rests or the boil, etc
15  readyForNextStep: false, //set whenever the system is ready
16  //for the next step
17  auto: true, //whether the process control is running
18  //automatically or there is human intervention

```

```

12     processFail: false, //flag is set if the process fails
13         irreversibly
14     msg: "", //holds some explanatory message
15     timestamps:{ //notable timestamps
16         start: "", //epoch time of the first request to start a
17             recipe
18         startHeating: "", //epoch time of the start to heat the
19             mash water
20         finishHeating: "", //epoch for the finish of the heating
21             of mash water
22         //start of the ramps
23         sRamp0: "", sRamp1: "", sRamp2: "", sRamp3: "", sRamp4: ""
24             , sRamp5: "", sRamp6: "", sRamp7: "",
25         //finish of the ramps
26         fRamp0: "", fRamp1: "", fRamp2: "", fRamp3: "", fRamp4: ""
27             , fRamp5: "", fRamp6: "", fRamp7: "",
28         startDrain: "", //start of the sparging process, when the
29             mash is parcially drained to the BK
30         startSparge: "", //here the recirculation pump starts
31             working
32         heatingBoil: "", //started to heat the wort after sparging
33         boilStart: "", //time when temperature is near enough
34             boiling (>96°C)
35         boilFinishScheduled: "", //time when the boil is scheduled
36             to finish
37         curr: "", //epoch time of the current variables state
38     },
39     ioStatus: gpioCfg.all_io, //also records the IO status
40     okToStart: false, //true if a recipe is ok enough to start
41         a production
42     recipe: "" //recipe name
43 };

```

Código-fonte 4.31: Declaração do objeto *environmentVariables*

```

1 dataToSave = JSON.stringify(global.environmentVariables) + "\n";

```

Código-fonte 4.32: Uso da função *JSON.stringify* para codificar um objeto em string JSON

Tabela 4.4: Correspondência entre o valor numérico e o significado dos códigos usados para registro da brassagem

Valor	Significado
0	requisição para início da brassagem
1	produção iniciada
2	esquentando água da mostura
3	esperando adição dos grãos
4	rampa da mostura em execução
5	degrau da mostura em execução
6	<i>sparging</i> em execução
7	transbordamento da MT
8	esquentando mosto para a fervura
9	fervendo o mosto
10	lúpulo adicionado
11	
11	
11	
11	
11	

4.7.4 Controle do processo de brassagem

O módulo responsável pelo controle do processo de brassagem é o *ctrl.js*, cujo código-fonte está disponível no apêndice C, na caixa de código-fonte C.5. É importante ressaltar que, embora o comportamento do Node.js seja assíncrono o processo de brassagem é sequencial, o que implica no uso de diversas funções de *callback* aninhadas. No intuito de evitar o *inferno de callbacks*, apresentado na seção 2.4, este processo sequencial foi quebrado em algumas funções que implementam a funcionalidade do módulo e outras auxiliares. Seu funcionamento e aspectos chave são discutidos na presente seção.

Início do processo

A primeira função do processo de controle é a *startMashingProcess(recipe, res, lockFile, recipesPath, callback)*, invocada a partir de uma requisição do cliente e, portanto, sua chamada está presente no módulo referente às rotas do Express, discutido na seção 4.7.2. Ela recebe como parâmetros o nome da receita iniciada, o objeto de resposta da requisição AJAX, o caminho para o arquivo *lockfile*, o caminho para o diretório das receitas e uma função de *callback*. Em primeiro lugar é verificada a flag global *global.environmentVariables.okToStart*

que indica se a receita está pronta para ser executada — esta flag é setada previamente pela função *checkRecipeIntegrity*, descrita na seção 4.7.3 e chamada durante o processo de interação pré-brassagem do usuário com o sistema. Depois disto, também é verificado se o nome da receita passado como argumento é idêntico ao da variável global de controle *global.environmentVariables.recipe*.

Caso as verificações iniciais sejam positivas, é escrito o valor "1" no arquivo *lockfile*, indicando daqui para a frente que há uma brassagem em andamento. O conteúdo da receita é lido em uma variável e o *log* de temperatura é iniciado, ou seja, o script Python é invocado como um processo filho do Node. Também é feito o *log* inicial do processo de brassagem. Se tudo ocorreu sem erros, o servidor envia uma resposta para o cliente indicando sucesso, chama a função de *callback* com a variável erro nula e invoca a função *heatMashWater*, que dá prosseguimento ao controle do processo. Em caso de erro em alguma das situações descritas, é enviada uma resposta de erro para o cliente e a função de *callback* é invocada com a variável erro indicando o erro ocorrido. Note-se que a função de *callback* não tem importância no que diz respeito ao controle, mas serve somente para retornar o status da tentativa de início da produção.

Aquecimento da água da mostura

A função *heatMashWater(recipeContents)* recém chamada, dá prosseguimento ao controle da brassagem. Como o seu nome sugere, ela é responsável pelo aquecimento da água da brassagem até que seja atingida a temperatura inicial, mantendo este *setpoint* até que o usuário adicione os maltes à MT. O único argumento que a função recebe é o conteúdo da receita, a partir do qual é obtido o *setpoint*. Inicialmente a bomba de recirculação é ligada e é feito um *log* da brassagem que anota a timestamp notável de inicio de aquecimento.

São iniciados dois laços de repetição: um que faz um *log* da situação da brassagem a cada 5 segundos e outro que é repetido a cada 1 segundo e que lê a temperatura da água e chama a função auxiliar *updateHeatingConditions* para controlar o elemento aquecedor da MT. No *callback* da *updateHeatingConditions* fica definido que, se esta é a primeira vez que a temperatura desejada é atingida, o laço de repetição do *log* é atualizado para refletir a mudança de situação de "esquentando água da brassagem" para "esperando adição dos maltes". Se não é a primeira vez que é atingido o *setpoint*, a *callback* não faz nada. Em resumo, após a temperatura atingir o valor desejado, ela é mantida até que o usuário adicione os maltes.

Concomitantemente, o laço de controle de temperatura da função *heatMashWater* verifica

a flag global `global.environmentVariables.readyForNextStep` que só é setada após o usuário indicar, por meio da GUI, que ele adicionou os maltes. Quando isto acontece, a flag é zerada e os laços de `log` e de controle são interrompidos. Por fim é chamada a função de controle de rampas e degraus de temperatura, mas antes de entrar nos seus detalhes de funcionamento, será explicada a função auxiliar `updateHeatingConditions(vessel, setp, temperature, callback)`, uma vez que já foi feito uso dela.

Função de controle de temperatura

Os argumentos que ela recebe possuem uma interpretação bem direta: `vessel` é o recipiente a ser controlado, ou seja, pode ser a MT ou o BK; `setp` e `temperature` são respectivamente a temperatura desejada e a atual e; `callback` é a função executada sempre que a temperatura é maior ou igual ao valor do setpoint, e cujo argumento passado para ela é nulo. O controle do elemento aquecedor é implementado da seguinte forma: quando a temperatura está abaixo de 70% do `setpoint`, o aquecimento fica ligado 100% do tempo; quando a temperatura está entre 70% e 90% do `setpoint`, o aquecimento fica ligado 66% do tempo; quando a temperatura está entre 90% e 100% do `setpoint`, o aquecimento fica ligado 33% do tempo e; acima disto o aquecimento fica desligado. Cabe ressaltar que a vantagem desta função auxiliar não é o sistema de controle de aquecimento, mas sim o fato de que este é auto-contido, ou seja, para quaisquer implementações de controle de temperatura (PID, histerese, direto), basta modificar esta função, sem alteração do resto do código. Outra condição que deve ser atendida é que esta função precisa ser chamada periodicamente dentro de um laço de repetição, uma vez que ela somente atualiza o valor da saída (elemento aquecedor) baseada nas entradas (temperatura e `setpoint`).

Controle de rampas e degraus de temperatura

De volta ao fluxo de controle da produção, após o usuário adicionar os maltes, a função `rampControl(recipeContents)` é chamada. Ela recebe somente o conteúdo da receita, a partir do qual são obtidas as temperaturas e tempos dos degraus de repouso da mostura, assim como a temperatura da água de *sparging*. Se a temperatura de *sparging* não estiver definida, é assumido que esta parte do processo deve ser omitida. Depois desta verificação é feito um `log` indicando início de rampa de temperatura e é iniciado um *loop* no qual é registrada a situação da brassagem a cada 5 segundos.

Em paralelo, outro laço de repetição implementa a parte relativa ao controle: se ainda há

a possibilidade de mais degraus de temperatura, esta é verificada:

- Em caso positivo, os valores do degrau e temperatura são obtidos, o loop de registro é atualizado e o controle do próximo degrau é iniciado
- Em caso negativo isto significa que esta parte do processo acabou e é sinalizado que a fervura/sparging deve começar.

Se o processo de fervura/sparging deve começar, os resistores de aquecimento da MT e do BK são desligados, assim como a bomba de recirculação da MT. Os laços de registro e controle são interrompidos e a fervura ou a lavagem é iniciada, dependendo da verificação feita anteriormente quanto ao *setpoint* da variável de sparging.

Se a etapa de rampas e degraus ainda não acabou, a temperatura da MT é lida e o laço de controle de temperatura é executado, usando a função *updateHeatingConditions*. Ainda, caso haja água de lavagem para esquentar, o resistor de aquecimento do BK é ligado sempre que o resistor de aquecimento da MT estiver desligado. Ambos os resistores de aquecimento são impedidos de ligar ao mesmo tempo pois o sistema elétrico foi dimensionado para operar com corrente máxima referente a um resistor em operação.

Lavagem dos grãos

A função de controle da lavagem dos grãos é fortemente baseada em temporização: o fluxo de vazão da MT para o BK e o fluxo de bombeamento de líquido do BK para a MT devem ser iguais para que não ocorra transbordamento de nenhum dos recipientes, mas como na prática estes fluxos são muito diferentes e variam conforme a receita, foram projetados dispositivos de verificação de transbordamento da panela.

É iniciado um laço de registro da situação da brassagem a cada 5 segundos e, em paralelo, outro laço executado a cada 0,5 segundos verifica se há transbordamento da MT. Em caso afirmativo, a bomba do BK é desligada e um tempo predefinido é esperado até que o bombeamento seja retomado. Em paralelo aos dois laços de repetição, a válvula de drenagem da MT é inicialmente aberta por um tempo determinado em função do volume inicial da água de brassagem, definido como $0,5\text{segundos} \cdot \text{volume}(l)$. Somente quando este tempo acaba é que a válvula de drenagem e a bomba de recirculação do BK são ativadas, para iniciar a lavagem dos grãos; também é neste momento que é iniciado um terceiro *loop*.

Neste, executado a cada 0,5 segundos, nada acontece em caso de transbordamento. Se tudo estiver ocorrendo conforme planejado, este laço espera um tempo baseado no volume

da água de lavagem, definido como $3\text{segundos} \cdot volume(l)$. Depois que este tempo acaba, é feita a drenagem completa da MT, todos os laços de repetição são interrompidos e é dado início ao processo de fervura.

Fervura

A função *theBoil(recipeContents)* recebe somente o conteúdo da receita. É iniciado um laço de registro da brassagem a cada 5 segundos e em paralelo, após ligar o resistor de aquecimento do BK, é iniciado um laço supervisor da fervura executado a cada 1 segundo e no qual são controladas as adições de lúpulos. Neste laço, só é iniciada a contagem do tempo de fervura depois que a temperatura do mosto passa de 96°C, momento no qual também é atualizado o laço de registro e são agendadas para execução as adições dos lúpulos por meio da função *setTimeout*. Quando a fervura acaba, é desligado o resistor de aquecimento do BK, fechado o compartimento de adição de lúpulos e interrompidos os laços de registro e supervisão da fervura.

4.7.5 Simulação do controle do processo de brassagem

Para testar o código de controle, foi utilizada a função *tlog_test* do script Python de log de temperaturas, apresentada na seção 4.6.1. Com isto, foi possível usar a interface web para executar o processo de controle de brassagem como operador do sistema, usando uma receita de cerveja especificamente criada para o propósito de *debug*, já que uma receita de verdade tem duração de mais de duas horas, tempo elevado para teste de código. As características da receita são apresentadas na tabela 4.5. Parâmetros porventura omitidos significam que estes foram deixados em branco ao preencher a receita na interface web.

Tabela 4.5: Parâmetros de receita de cerveja utilizados para *debug*

Parâmetro	Valor
Nome	Quick Response Debug
Estilo	no style
Água mosturação	30 litros
Água <i>sparging</i>	20 litros
Temperatura <i>sparging</i>	50°C
Fervura do mosto	5 minutos
Malte 1	no malts
Quantidade malte 1	1 kg
Lúpulo 1	hop 1
Quantidade lúpulo 1	1 g
Tempo de adição 1	1 minuto
Lúpulo 2	hop 2
Quantidade lúpulo 2	1 g
Tempo de adição 1	4 minutos
Lúpulo 3	hop 3
Quantidade lúpulo 3	1 g
Tempo de adição 3	2 minutos
Temperatura inicial	30
Temperatura 1	35°C
Tempo 1	1 minuto
Temperatura 2	40°C
Tempo 2	0 minutos

4.8 Interface de usuário

A interface de usuário foi desenvolvida para acesso via navegador da internet. As linguagens utilizadas para a implementação da aplicação foram: a linguagem de marcação HTML, a linguagem de folhas de estilo CSS, a linguagem de programação *client-side* interpretada Javascript em conjunto com a biblioteca *crossbrowser* jQuery e o método AJAX, a linguagem de programação *server-side* interpretada PHP e, a linguagem de programação *server-side* Javascript interpretada pela aplicação *Node.js*.

4.8.1 Aspectos gerais da GUI

A estrutura da aplicação foi desenvolvida de forma que o operador do sistema conseguisse tanto gerenciar suas receitas de cerveja e analisar dados estatísticos de maneira fácil, quanto

para promover a comunicação eficiente entre o cliente e o servidor, implementado em Node.js e discutido na seção 4.7. A estrutura da aplicação do cliente é apresentada:

- Página inicial
- Sobre
- Configurações
- Estatísticas
- Iniciar brassagem
 - Controle de brassagem
- Gerenciador de receitas
 - Editor de receitas

Um ponto em comum para esta estrutura foi o desenvolvimento de uma barra de navegação em PHP, cujo código-fonte está documentado na caixa D.1 do apêndice D, de tal modo que o mesmo código-fonte pudesse ser incluído em todas as páginas web sem a necessidade de repetição. A implementação consiste na criação de uma estrutura de *divs* e *links* em HTML, sendo que a função detecta a página atual e realça este link, para dar ao usuário um efeito visual de que certo botão da barra de navegação está pressionado.

É usada uma função em javascript, descrita na caixa de código-fonte 4.33 e também no apêndice D, que faz a ponte entre PHP e javascript, já que o servidor Express não foi configurado para suportar as variáveis *http_host* e *request_uri* — assim sendo, a função faz um POST HTTP em AJAX para o PHP, passando para este a URL da página atual.

```

1 function headerPHP(pathToHeader){ //create the header of the
2   page
3   $.post(pathToHeader, {url:document.URL} , function(data,
4     status){ //send the page URL to PHP
5     if(status == "success"){ //if POST is successfull
6       $('body').prepend($('body').html()); //add the received
7       header to the top of the page
8       $('body').show(); //and displays the hidden page
9       afterwards
10    }
11  });
12}

```

Código-fonte 4.33: Função que passa a URL da página atual para um módulo em PHP

Com relação ao estilo do template desenvolvido, este é documentado nos códigos-fonte CSS D.14, D.15 e D.16 do apêndice D. O processo de criação do template foi iterativo e dependente das funcionalidades a serem implementadas, mas não seguiu uma lista de tarefas

ou algo similar; do contrário, seu desenvolvimento foi realizado em conjunto com o resto da interface web.

4.8.2 Boas vindas e informações do projeto

A página *inicial* contém somente uma mensagem de boas vindas clicável, que leva para a página *sobre*. Esta por sua vez, contém informações sobre o projeto: objetivo, local, autor, professor orientador e contato. Ambos os códigos-fonte estão inclusos respectivamente nas caixas D.3 e D.4 do apêndice D.

4.8.3 Configurações gerais da BBB

A página *configurações* apresenta a data/hora da BBB com taxa de atualização de 1 segundo e permite o seu ajuste, para que o usuário tenha uma alternativa caso a configuração de data/hora automática falhe ou não exista acesso à internet naquele momento. A obtenção de data/hora utiliza o campo de formulário *datetime-local* do padrão HTML5, que implementa automaticamente um calendário para escolha da data e devolve a entrada do usuário de acordo com o padrão ISO 8601, cujo formato é apresentado na tabela 4.6. A letra T da string delimita a separação entre data e hora e a letra Z indica que o fuso horário é o UTC 0, também conhecido como GMT.

Tabela 4.6: Parâmetros de receita de cerveja utilizados para *debug*

2016-05-07T18:31:53Z

Tanto a obtenção da data da BBB quanto a requisição para sua mudança são feitas por meio de requisições AJAX para a rota *config* do servidor.

4.8.4 Estatísticas e gráfico dinâmico

A página *estatísticas* apresenta a temperatura instantânea da MT, um gráfico dinâmico da temperatura da MT e do BK que é atualizado automaticamente e um gráfico do histórico de temperatura, plotado usando o script Python desenvolvido na seção 4.6.2. O gráfico dinâmico foi desenvolvido em uma página separada e posteriormente adicionado como um *iframe*, ou seja, uma página HTML dentro de outra página HTML. Seu código-fonte está disponível na caixa D.5 do anexo D.

O gráfico dinâmico foi baseado na biblioteca D3.js, escrita em Javascript e voltada para a manipulação de documentos baseados em dados, em conjunto com o framework Rickshaw para plotagem de gráficos. A instalação da biblioteca D3.js consiste no download do arquivo compactado e posterior extração, enquanto para o Rickshaw basta clonar o repositório do Github. Os passos executados estão descritos na caixa 4.34.

```

1 cd /var/www
2 https://github.com/mbostock/d3/archive/v3.5.10.zip
3 sudo tar -zxf v3.5.10.tar.gz
4 sudo rm v3.5.10.tar.gz
5 sudo git clone https://github.com/shutterstock/rickshaw.git

```

Código-fonte 4.34: Instalação da biblioteca D3.js e do framework Rickshaw

O gráfico implementado é baseado em um exemplo disponível em <https://github.com/shutterstock/rickshaw/blob/master/examples/extensions.html> e o código-fonte empregado neste projeto está disponível na caixa D.6 do anexo D. Suas configurações consistem em possibilitar a seleção de quais conjuntos de dados plotar; as opções de plotagem em área empilhada/sobreposta ou em linha; a ligação dos pontos de maneira interpolada, que suaviza transições bruscas e descontinuidades, linear, que liga os pontos e em degrau, que traça uma linha horizontal e outra vertical entre dois pontos; a possibilidade de aplicar um filtro de suavização; a escolha do número máximo de pontos plotados na tela e uma barra de zoom. As características de plotagem dos gráficos consistem na escala e numeração automática dos eixos, incluindo escala baseada no tempo Epoch, e na possibilidade de obter informações detalhadas sobre um ponto do gráfico ao posicionar o *mouse* sobre ele, como o valor do ponto e sua data/hora.

Exceptuando-se o controle do número máximo de pontos, que foi implementado para limitar a 300, 1800 e 3600 pontos, e a atualização constante do gráfico, implementados separadamente para este projeto, todas as outras funcionalidades são baseadas nas funções do Rickshaw. Um ponto importante da implementação do gráfico é que, ao carregar a página web, é feita a leitura do arquivo CSV com o registro do histórico de temperatura, porém quando é feita a atualização deste, é lido o arquivo CSV que contém somente a última leitura de temperatura. Com relação à temperatura instantânea, é este gráfico dinâmico que fornece para a página mãe *estatísticas* a cada 1 segundo, que por sua vez repassa para o elemento HTML correspondente.

4.8.5 Gerenciador de receitas

A interface do gerenciador de receitas apresenta as seguintes opções e funcionalidades: criar uma nova receita, editar ou apagar uma receita já cadastrada, além de obter uma prévia de determinada receita ao repousar o mouse sobre seu nome.

Para listar as receitas do diretório *www/recipes* é usada uma função em PHP escrita diretamente no código-fonte da página web, que está disponível na caixa D.7 do apêndice D. Deve-se notar que esta função, além de excluir a extensão *.recipe* do nome, substitui todos os caracteres *underline* por espaços, uma vez que ao salvar a receita o processo inverso é realizado. Ela adiciona as receitas à lista no formato de link, o que redireciona o usuário para a página de edição quando o nome é clicado. Ao lado de cada link, também é criado um botão para deletar a receita correspondente.

Em javascript, são implementadas as funcionalidades de prévia de determinada receita a partir das funções *mouseover* e *mouseout* da biblioteca jQuery. Além disto, também são implementadas as funções para deletar e criar receitas. Note-se que as funções que deletam receitas e geram prévia foram implementadas em um arquivo separado do HTML, presente na caixa de código-fonte D.8 do apêndice D, e o arquivo adicionado com a tag HTML *script*.

Ambas as funções do módulo adicional usam o método HTTP POST para comunicação com o servidor. Especificamente para a função que deleta receitas, sua implementação possibilita ao usuário desfazer, assim como não deleta realmente a receita da BBB, mas somente adiciona a extensão *.del* ao nome do arquivo.

4.8.6 Editor de receitas

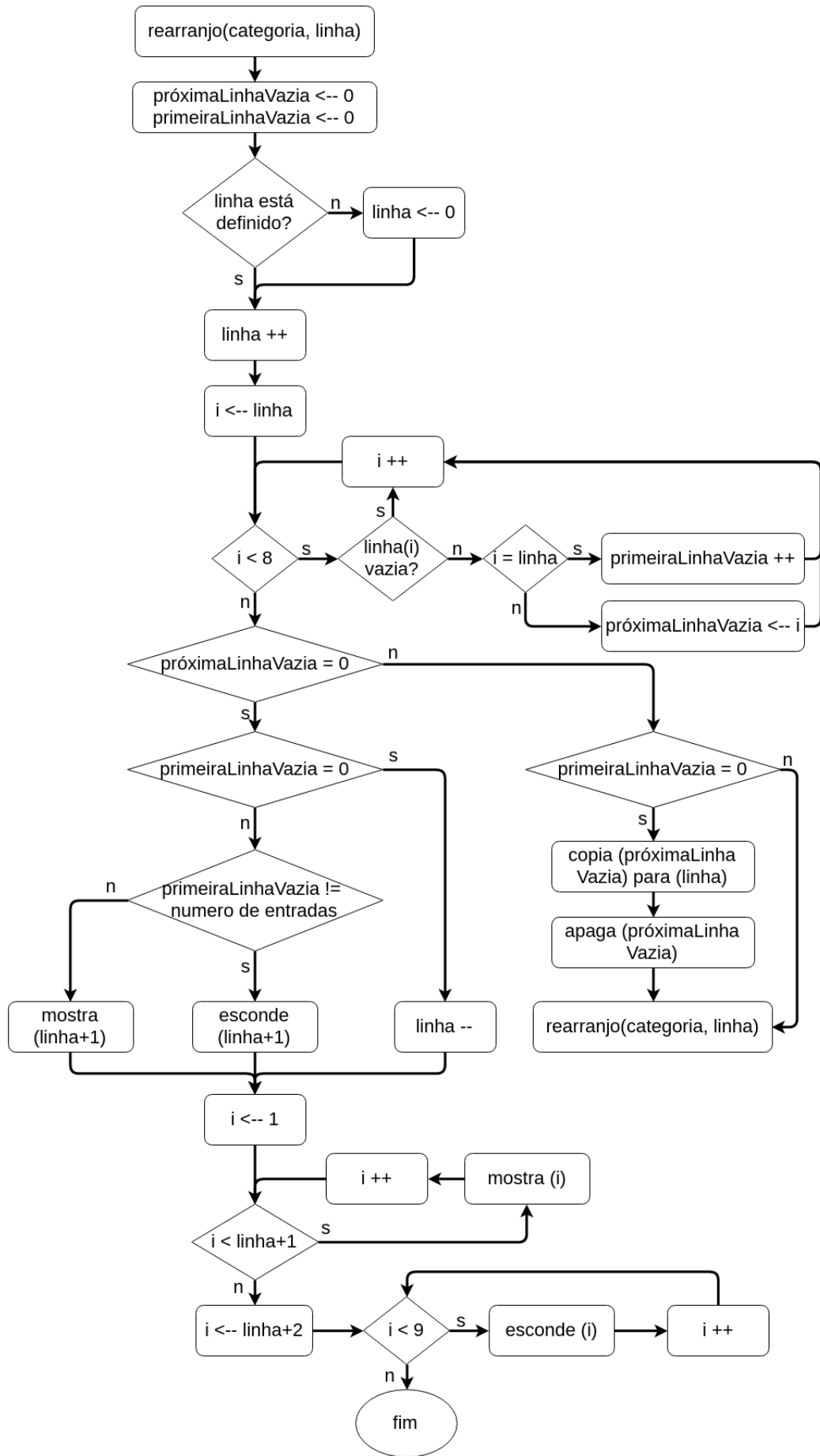
O editor de receitas foi uma das primeiras páginas acrescentadas à GUI, portanto grande parte do gerenciamento do formulário HTML é realizado em PHP. Dentre as funcionalidades, estão a adição de novos campos de maltes, lúpulos e temperaturas à medida que o usuário preenche a receita; a verificação dos dados inseridos para que o usuário não adicione entradas erradas; a verificação e aviso ao usuário de que há campos importantes não preenchidos; a ordenação dos campos quando o usuário apaga um malte, lúpulo ou temperatura e; o salvamento automático da receita na BBB.

O editor de receitas está dividido em três códigos-fonte disponíveis no apêndice D: o código HTML, que só implementa o esqueleto da página e chama as funções dos outros arquivos, apresentado na caixa D.9; um módulo com funções implementadas em javascript,

apresentado na caixa D.11; e um módulo com funções implementadas em PHP, apresentado na caixa D.10.

No código HTML, ao carregar a página web, é incluído o módulo PHP e é chamada uma função que verifica se foi recebida uma receita pela URL, por meio do método GET. Somente em caso afirmativo é que uma função lê o conteúdo da receita em um arranjo e a retorna para a página HTML, que por sua vez carrega os dados no formulário. Após isto, é implementado código javascript que organiza os campos da receita caso existam buracos, por exemplo: o malte 1 e o malte 3 estão cadastrados mas não há malte 2. Em seguida é obtido o nome da receita a partir da URL, e por fim é chamada uma função toda vez que algum campo do formulário perde o foco, que implementa o rearranjo dos campos da receita se necessário e o *autosave*.

No módulo escrito em javascript, é interessante o funcionamento da função que reorganiza os campos cuja assinatura é *rearrange(catg, line)*, sendo o argumento *catg* o indicador de quais campos devem ser reorganizados (maltes, lúpulos ou degraus de temperatura) e *line* o argumento que indica a partir de qual linha deve ser feita a ordenação. O parâmetro *line* deve ser zero ou omitido na primeira vez que a função é invocada, já que ela atribui o valor zero no caso de este parâmetro ser indefinido. O algoritmo de implementação está descrito no fluxograma da figura 4.29.

Figura 4.29: Representação em fluxograma do algoritmo de implementação da função *rearrange*

4.8.7 Gerenciador de brassagem

A interface que controla o andamento de uma produção, cujo código-fonte está descrito na caixa D.12 do anexo D apresenta uma interface inicial que permite ao usuário do sistema selecionar a receita alvo da produção e iniciá-la. É preciso notar, porém, que a primeira função executada faz uma requisição para o servidor perguntando se há uma receita já em andamento: em caso positivo, a página é redirecionada para o painel de controle das receitas, descrito na seção 4.8.8.

Ao carregar a página, é feita uma requisição das receitas disponíveis para o servidor e, quando uma receita é selecionada para produção, é gerada uma prévia desta usando os mesmos recursos descritos na seção 4.8.5. Quando o usuário clica no botão de iniciar uma produção, é feita uma requisição para o servidor para que a receita possa ser iniciada e, após a resposta, se tudo estiver certo a produção é iniciada. Se existirem pontos de atenção para o usuário, ele deverá responder a uma mensagem indicando estar ciente das possíveis situações de risco e, se algo estiver errado, o usuário é avisado que correções na receita devem ser realizadas antes que esta possa ser iniciada. O fluxograma da função de checagem de erros é apresentado na figura 4.30.

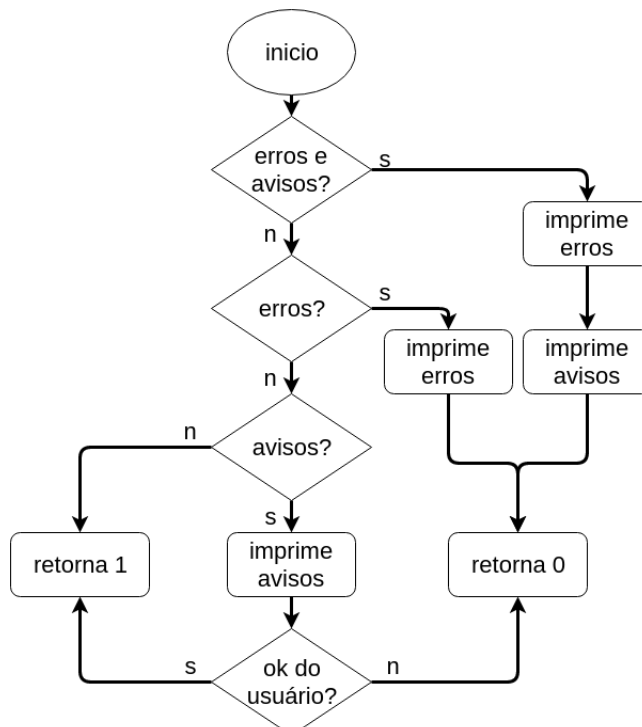


Figura 4.30: Representação em fluxograma do algoritmo de implementação da função *errorWarningHandler*

4.8.8 Painel de controle de brassagem

O painel de controle de brassagem é uma interface composta de botões para o controle de válvulas, bombas e aquecedores e uma barra deslizante para o controle do servo-motor da estrutura de adição de lúpulos. Além destes, há um botão que indica se o modo automático está ativado, o que impede o usuário de fazer modificações. Também é impressa uma mensagem que indica o status atual do sistema tanto quando ele está ocioso quanto durante as várias fases do processo de brassagem. O código-fonte está disponível na caixa D.13 do anexo D.

Esta página específica da GUI está intrinsecamente relacionada com o código do servidor, abordado na seção 4.7. A função *refreshSystemStatus*, cujo objetivo é requisitar ao servidor o status de GPIO e PWM, atualiza a página web a cada 0,5 segundos. Já a função *updateSystemMessage*, baseada na resposta do servidor, atualiza a mensagem de status conforme a etapa da produção de cerveja:

- Se o sistema está ocioso, é impressa a mensagem "Sistema parado".
- Se foi detectado um erro irreversível, é impresso "Erro no sistema. Algo impediu que esta receita continue".
- No caso da brassagem, há diversas mensagens para cada situação. As mensagens estão disponíveis no código-fonte D.13.

4.9 Circuitos de interface entre a BBB e sensores/atuadores

A presente seção discorre acerca do projeto dos circuitos de interface entre a BBB, que representa o núcleo do sistema proposto, e as interações com o sistema mecânico, por meio de sensores e atuadores, dentre outros circuitos auxiliares.

4.9.1 Acionamentos de potência

O circuito de acionamentos de potência foi projetado com o objetivo de controlar os atuadores do sistema: bombas de recirculação de líquido, solenóides das válvulas eletromecânicas, resistores de aquecimento e servo-motor. Com exceção do acionamento do servo-motor, os outros foram projetados de tal maneira que qualquer unidade de acionamento pode ser aplicada a qualquer atuador, já que os requisitos de potência atendem a todas as especificações.

As bombas de recirculação escolhidas para este projeto possuem tensão nominal de 12Vdc e corrente nominal de 1,6A, enquanto as válvulas solenóides da Danfoss consomem 12Vdc e

1,25A e a válvula solenóide genérica é especificada para 12Vdc e 300mA. O relé de estado sólido consome 7,5mA para uma alimentação de 12Vdc. Tendo em vista estes parâmetros, foi projetado o circuito da figura 4.31, que representa um módulo de acionamento de potência. $v2\text{-ctr}$ representa o ponto de ligação com a BBB; GND_S é a referência da BBB; e os pinos Vcc e $v2$ são a saída do circuito, à qual deve ser ligado o elemento atuador.

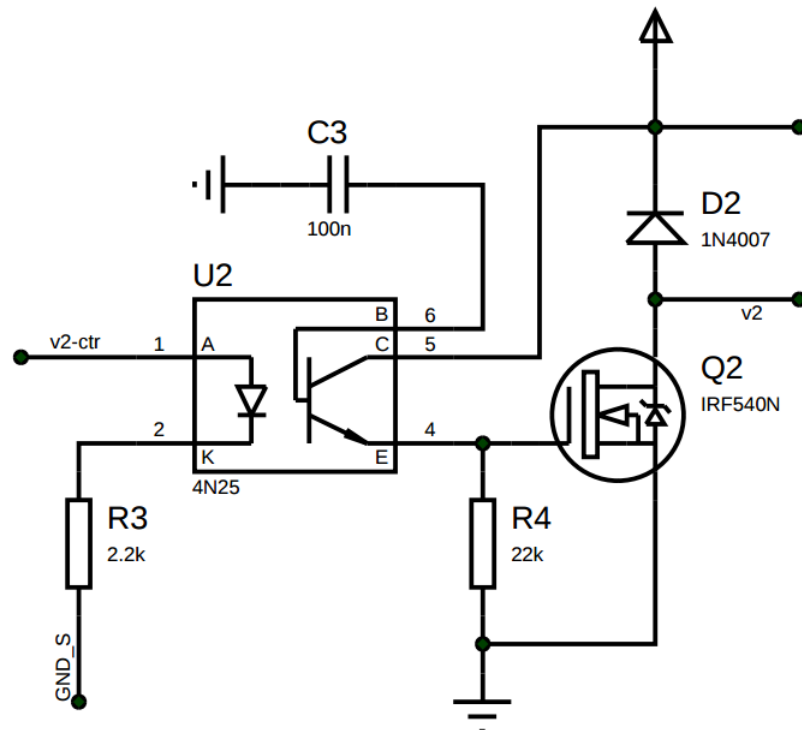


Figura 4.31: Módulo do circuito de acionamentos de potência

Note-se que no módulo é empregado um transistor IRF540N do tipo MOSFET, cujas especificações podem ser consultadas no anexo VI. A escolha deste transistor foi motivada pelo seu baixo custo e alta disponibilidade, mas devido às suas especificações este não pôde ser acionado diretamente com 3,3V a partir de um pino da BBB, por isto o emprego da fonte de alimentação de +12V. Ainda assim, isto não foi um prejuízo ao projeto, tendo em vista que, para proteger a BBB de transientes que a pudessem danificar, foi empregado um optoacoplador como elemento isolador entre o hardware de controle e o hardware de potência.

O valor do resistor R3 foi escolhido de modo que a corrente máxima no terminal da BBB seja de 1,5mA. O diodo D2 foi colocado em caráter de proteção do circuito, uma vez que o chaveamento de cargas indutivas gera uma tensão reversa que pode danificar os componentes — com o diodo presente, a corrente reversa tem um caminho de dissipação. O acionamento

dos atuadores é realizado em nível alto, já que este faz com que o transistor do optoacoplador conduza, ativando o MOSFET.

Com relação ao circuito de acionamento do servo-motor, há duas diferenças que devem ser levadas em consideração. Primeiramente, este dispositivo atuador tem faixa de alimentação de 4,8Vdc a 6Vdc, portanto se faz necessário o uso de um regulador de tensão. A segunda diferença é o fato de que há um terminal para controle de posição do dispositivo e, portanto, este não pode ser ligado em série com o MOSFET, portanto foi utilizado um resistor de *pull-down* em série com o MOSFET para compor a saída do circuito. O diagrama esquemático do módulo de acionamento do servo-motor é apresentado na figura 4.32.

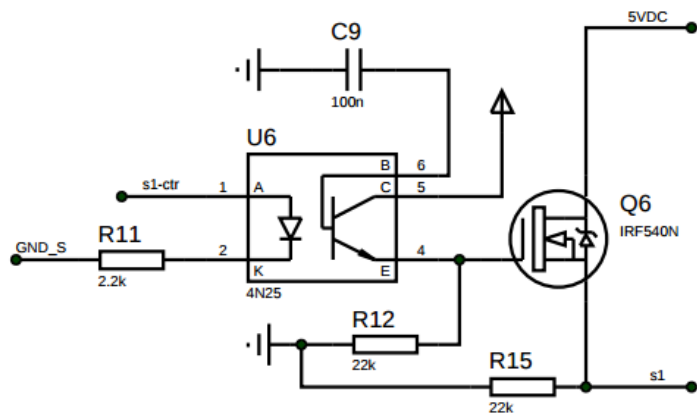


Figura 4.32: Módulo do circuito de acionamento do servo-motor

O diagrama esquemático completo do circuito de acionamentos de potência está disponível no apêndice I. Os resultados das simulações e ensaios em bancada são apresentados e discutidos nas seções 5.9.1 e 5.9.2 do capítulo 5, para o módulo de acionamentos gerais e o módulo de acionamento do PWM, respectivamente.

4.9.2 Detector de zero-crossing

O circuito detector de *zero-crossing*, ou seja, detector do momento em que o valor da tensão da senóide da rede passa por zero, foi projetado após a constatação de que a instabilidade da frequência da rede faz com que a fase entre ela e o sinal de PWM usado para o controle dos SSR variem, impossibilitando que seja controlada a quantidade de semi-ciclos que o SSR conduz.

Com este detector, que gera um pulso sempre que a senóide passa por zero, é possível sincronizar a ativação do SSR com o pulso e, portanto, realizar o controle da potência dos resistores de aquecimento do sistema com maior exatidão. Para a detecção, foi projetado um

circuito que retifica e atenua a senóide da rede. Este sinal é usado para controlar um transistor que atua como chave: quando a senóide retificada em onda completa e atenuada tem valor menor do que aproximadamente 0,7V, o transistor para de conduzir, gerando então o pulso que indica a passagem por zero. Na figura 4.33 é apresentado o diagrama esquemático do circuito.

Os resultados das simulações e ensaios em bancada são apresentados e discutidos na seção 5.9.3 do capítulo 5.

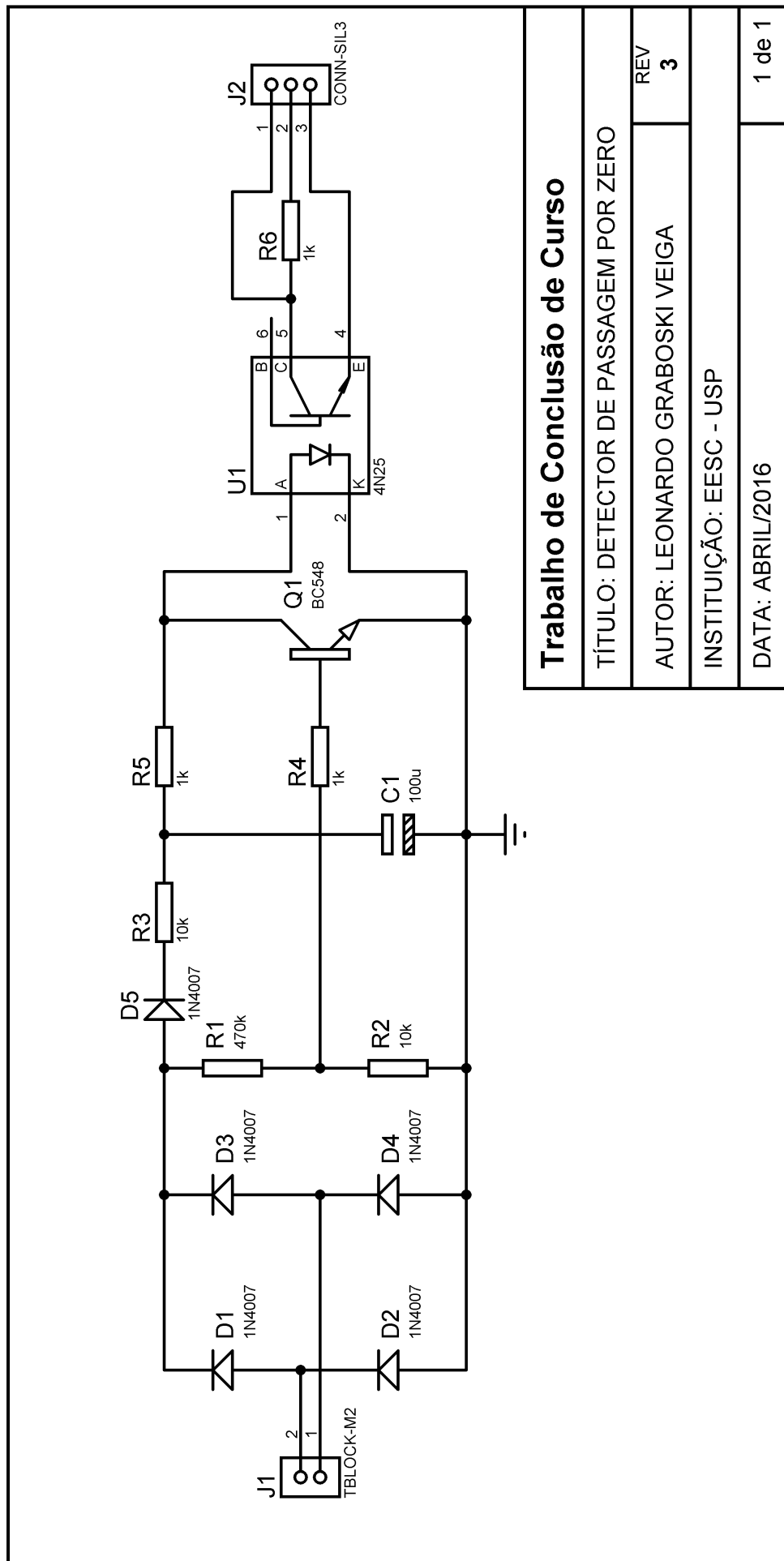


Figura 4.33: Circuito detector de passagem por zero da senóide da rede

Capítulo 5

Resultados e Discussões

Neste capítulo são apresentados e discutidos os resultados obtidos a partir dos métodos descritos na seção 4.

5.1 Estrutura mecânica

5.2 Estrutura de adição de lúpulos

5.3 Configuração da BeagleBone Black

5.4 Organização do diretório da aplicação

5.5 IDE e sistema de controle de versão

5.6 Geração de gráfico e registro de temperatura em Python

5.7 Aplicação *server-side* em Node.js

5.8 Interface de usuário

5.9 Circuitos de interface entre a BBB e sensores/atuadores

Esta seção apresenta os resultados de simulação e de testes de bancada referentes aos circuitos de acionamento, assim como considerações acerca destes resultados.

5.9.1 Acionamentos de potência

O módulo de acionamentos de potência foi simulado no software LTSpice. Para simular uma bomba como carga, foi utilizado um resistor de $7,5\Omega$ em série com um indutor de $30mH$. O valor do resistor foi calculado com base nos parâmetros de tensão e corrente do atuador e o valor do indutor foi escolhido para que a carga não fosse puramente resistiva — a impossibilidade de determinar a indutância na prática se deve ao fato de que a bomba já possui algum circuito de controle, o que significa que o modelo de simulação empregado foi genérico. O sinal de entrada foi uma onda quadrada de período $100ms$, valor alto o suficiente para excluir transitórios e válido uma vez que o chaveamento na prática é esporádico. A figura 5.1 apresenta o resultado da simulação.

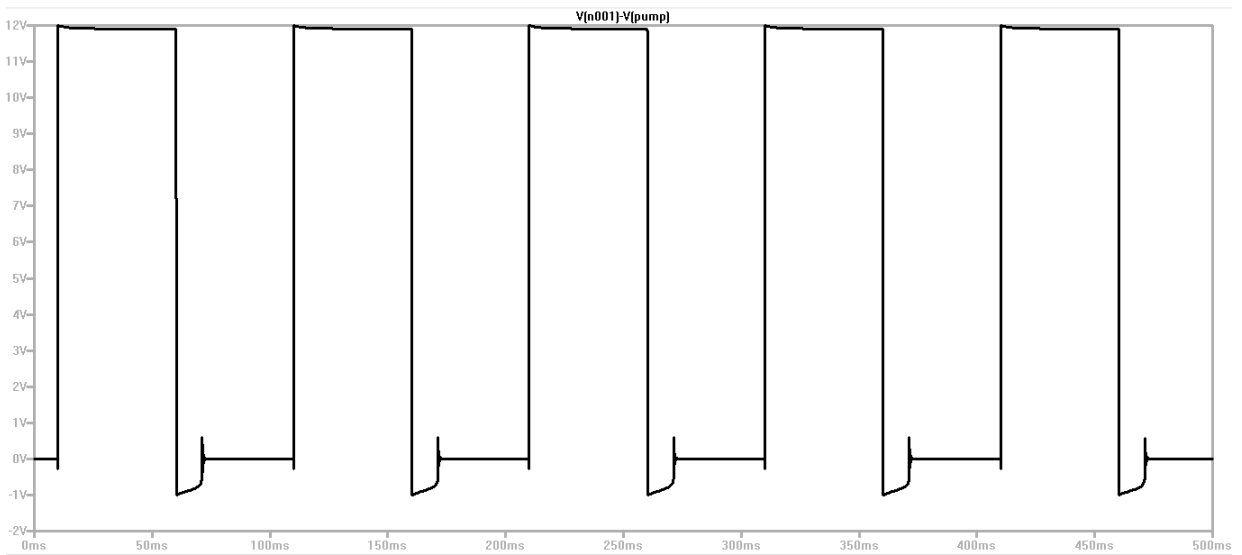


Figura 5.1: Resultado da simulação do módulo de acionamentos de potência com carga simulando a bomba de recirculação

A simulação da válvula utilizou o valor calculado de $9,6\Omega$ para o resistor e $300mH$ para o indutor. Neste caso, o valor do indutor também foi assumido para que a carga simulada não fosse puramente resistiva. O sinal de entrada foi uma onda quadrada de período $100ms$, valor alto o suficiente para excluir transitórios e válido uma vez que o chaveamento na prática terá um período muito mais alto. A figura 5.2 apresenta o resultado da simulação.

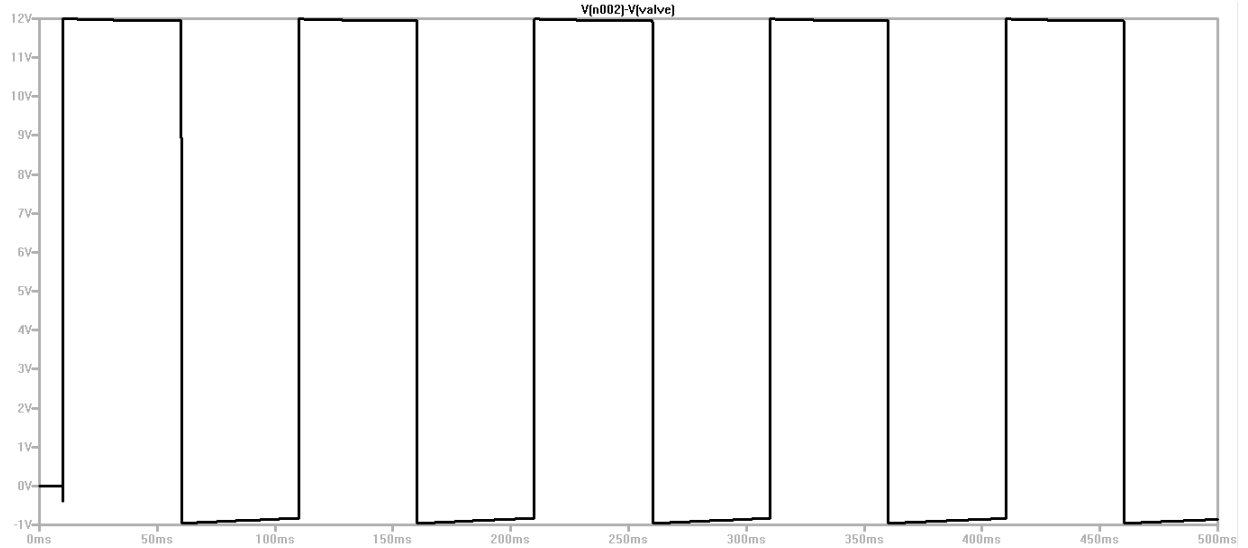


Figura 5.2: Resultado da simulação do módulo de acionamentos de potência com carga simulando uma válvula solenóide

O SSR foi simulado como uma carga puramente resistiva de 1600Ω e o sinal de entrada foi uma onda quadrada de 20ms de período, suficiente para excluir transientes de chaveamento. A figura 5.3 apresenta o resultado da simulação.

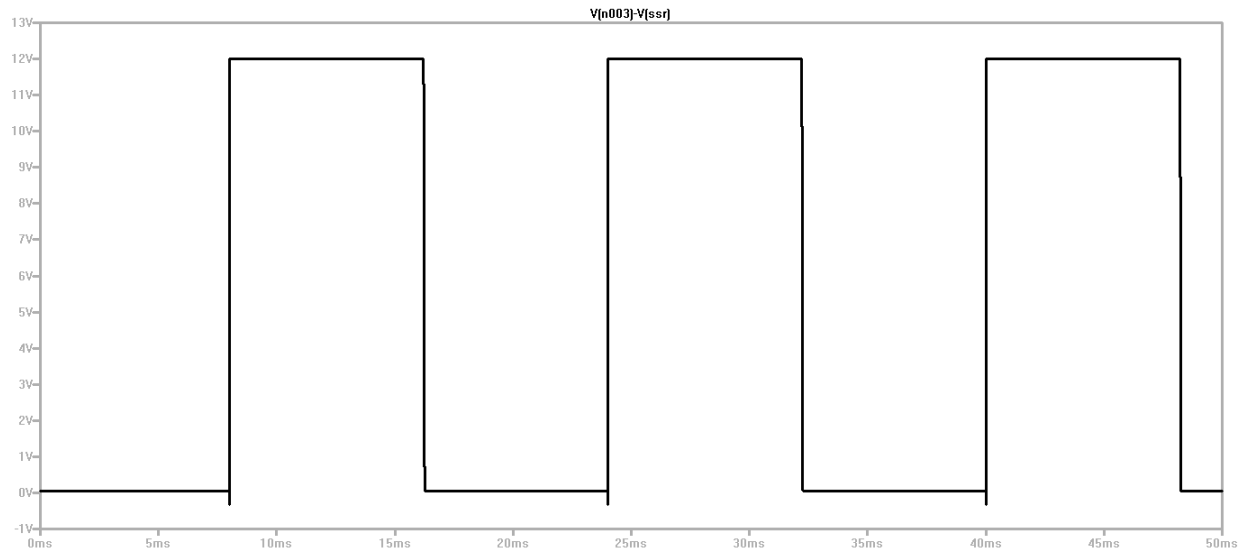


Figura 5.3: Resultado da simulação do módulo de acionamentos de potência com carga simulando o SSR

Com relação aos ensaios de bancada do módulo de acionamento das bombas, SSR e válvulas, o primeiro ensaio foi realizado com a saída em aberto e para valores de resistor de porta do MOSFET de $10k\Omega$, cujo resultado é apresentado na figura 5.4, e $22k\Omega$, cujo resultado é apresentado na figura 5.5. Foram registradas com o osciloscópio as formas de onda no pino da BBB, em verde, e na porta do MOSFET, em amarelo.

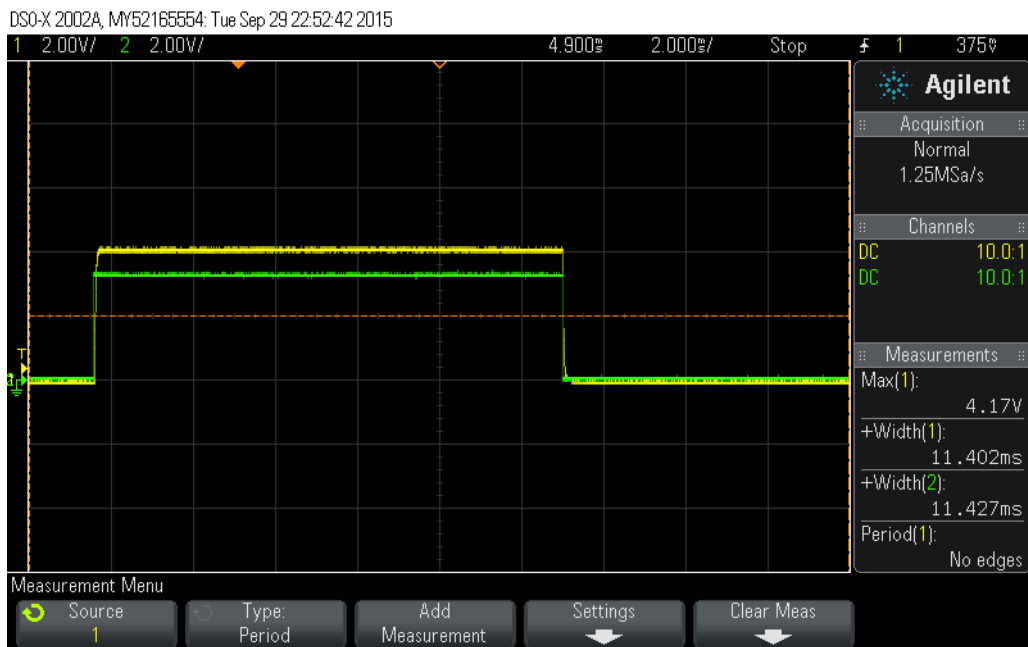


Figura 5.4: Ensaio do módulo de acionamentos de potência com Rporta = 10kΩ

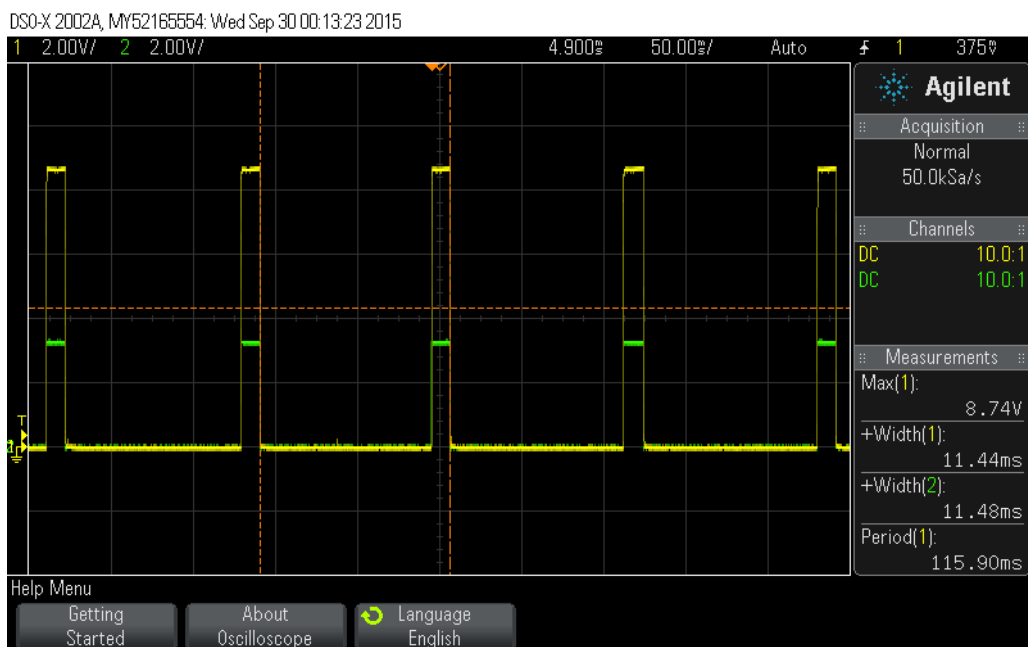


Figura 5.5: Ensaio do módulo de acionamentos de potência com Rporta = 22kΩ

Em seguida, foram ligados como carga o SSR e posteriormente a válvula solenóide, cujos resultados estão descritos nas figuras 5.6 e 5.7. Foram registradas as formas de onda na porta (em verde) e no dreno (em amarelo) do MOSFET.

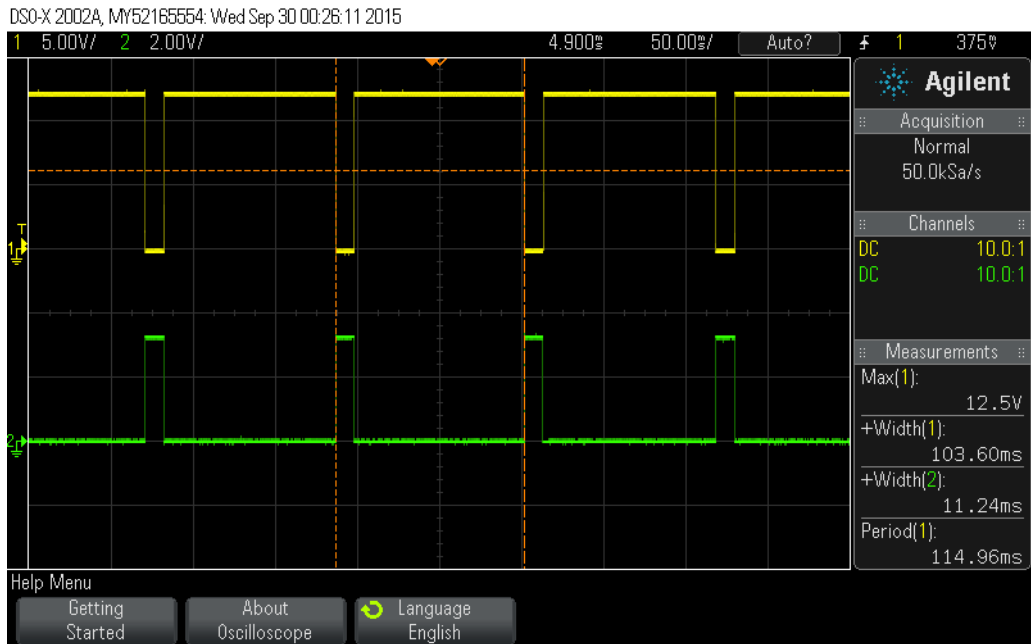


Figura 5.6: Ensaio do módulo de acionamentos de potência com SSR ligado à saída

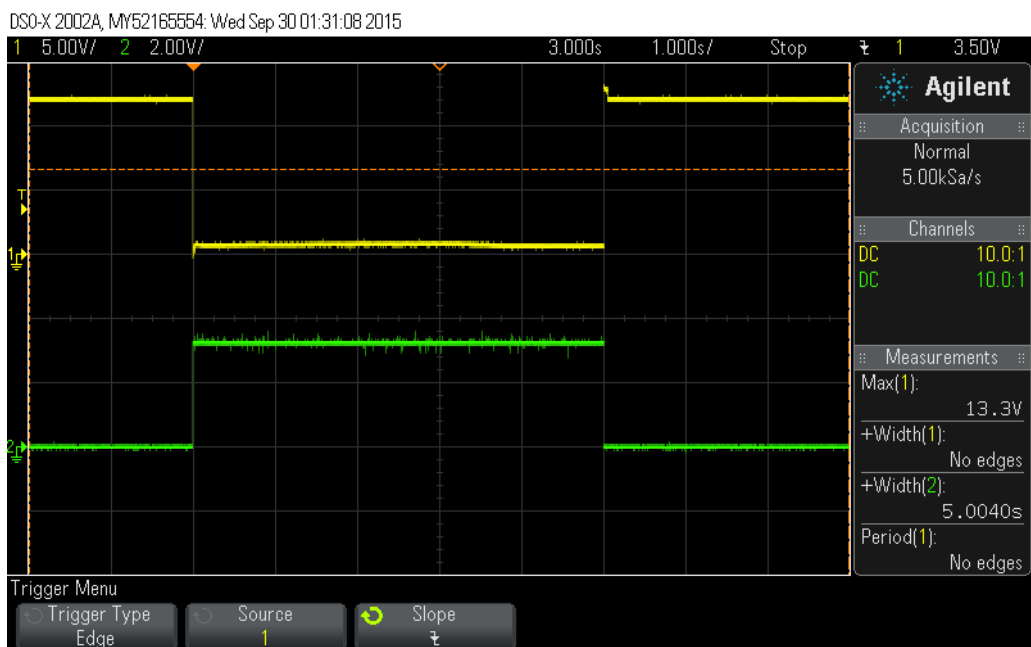


Figura 5.7: Ensaio do módulo de acionamentos de potência com válvula solenoíde ligada à saída

Com relação ao solenoíde, ao variar a tensão aplicada sobre os seus terminais foram determinados os valores de tensão mínima de acionamento e máxima antes do desligamento da válvula, apresentados na tabela 5.1.

Tabela 5.1: Tensões de operação da válvula solenóide

Acionamento (V)	Desligamento (V)
$\geq 7,0$	$\leq 1,5$

Outra medição realizada foi a resposta de tensão da válvula ao ser energizada, descrita nas figuras 5.10 e 5.9. Para realizar tais medições, foi colocado um resistor de $1,17\Omega$ em série com a válvula e medida a tensão sobre esta (em verde) e também foi monitorada a tensão da fonte de alimentação (em amarelo). O circuito montado em placa de protótipo está ilustrado na figura 5.8.

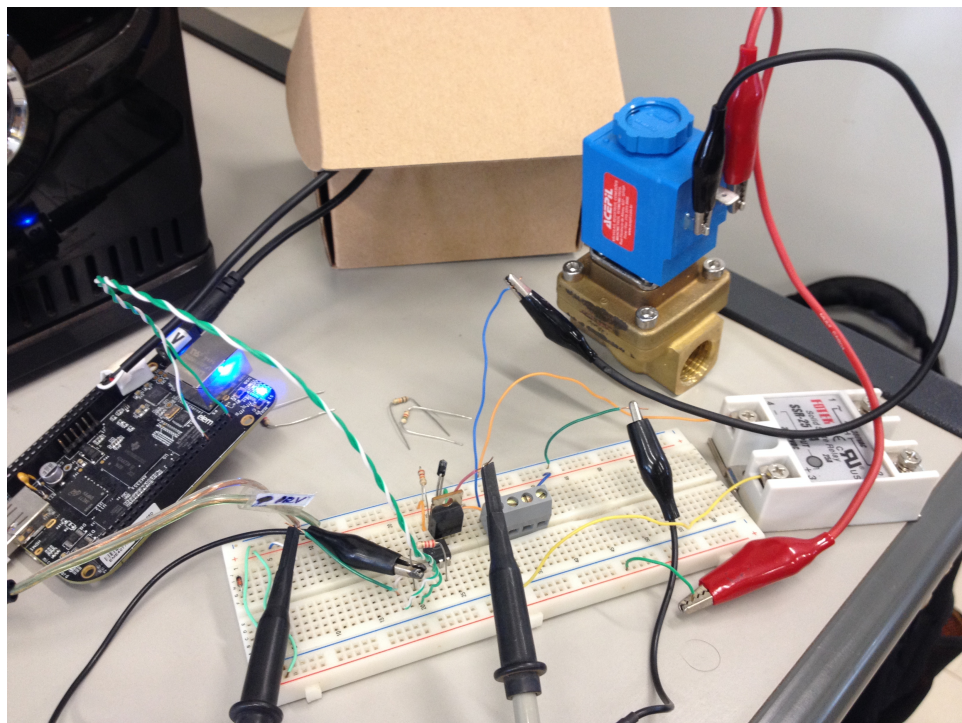


Figura 5.8: Implementação do módulo de acionamentos de potência em placa de protótipo

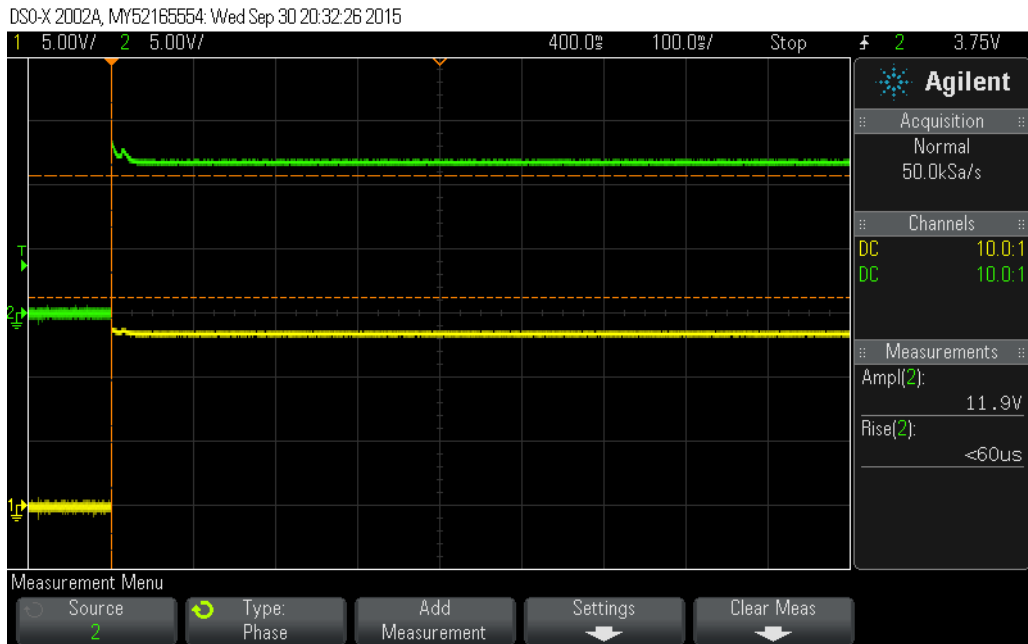


Figura 5.9: Resposta ao degrau do acionamento da válvula solenóide

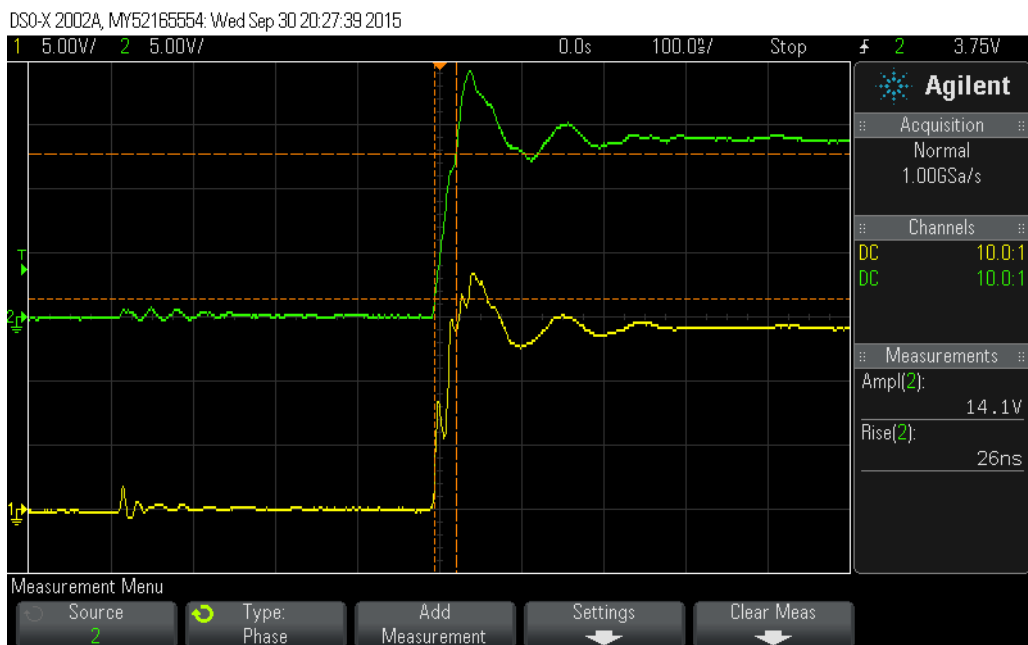


Figura 5.10: Resposta ao degrau do acionamento da válvula solenóide, em close

No que diz respeito ao funcionamento do SSR, foi adicionada uma carga puramente resistiva de $470\text{k}\Omega$ à sua saída e ligado um sinal gerado pelo PWM da BBB, com frequência de 60Hz e período em alta de 1ms. Observando as forma de onda do PWM e da senóide da rede aplicada sobre o SSR em série com o resistor em função do tempo, foi constatado que a frequência da rede não é estável em 60Hz, uma vez que seu valor varia com o tempo. Este comportamento está ilustrado na figura 5.11, na qual a forma de onda amarela representa o

PWM e a verde é a senóide da rede; observa-se que em instantes de tempo distintos, a fase entre o PWM e a senóide é diferente.

Observa-se que no estudo da estabilidade da frequência da rede, em nenhum momento a saída do SSR esteve ligada, apesar dos pulsos gerados pelo PWM na entrada. Isto se deve ao fato de este modelo específico de SSR possuir um controle interno que permite somente o acionamento durante a passagem da senóide por zero, também conhecido como *zero-crossing*. Isto fez com que a deriva da frequência da rede se tornasse um problema para o acionamento do SSR. A figura 5.12 ilustra o acionamento do SSR em diversos instantes da senóide da rede.

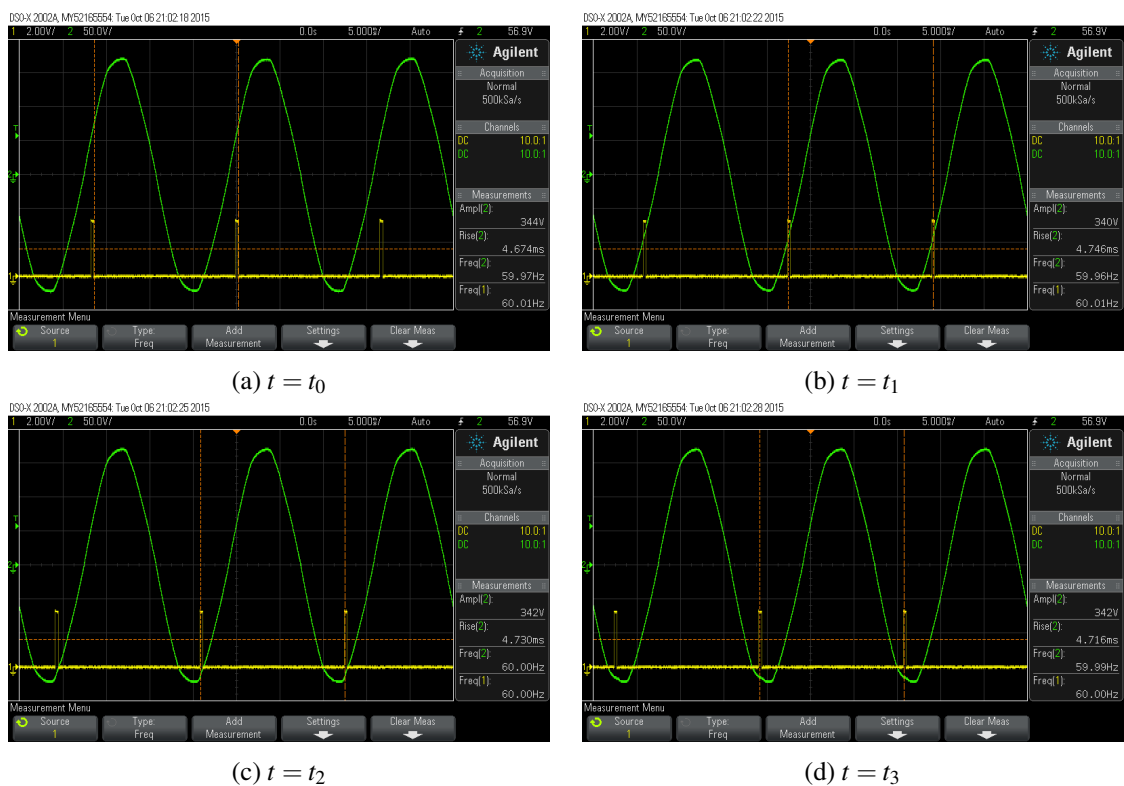


Figura 5.11: Instabilidade da frequência da rede em função do tempo

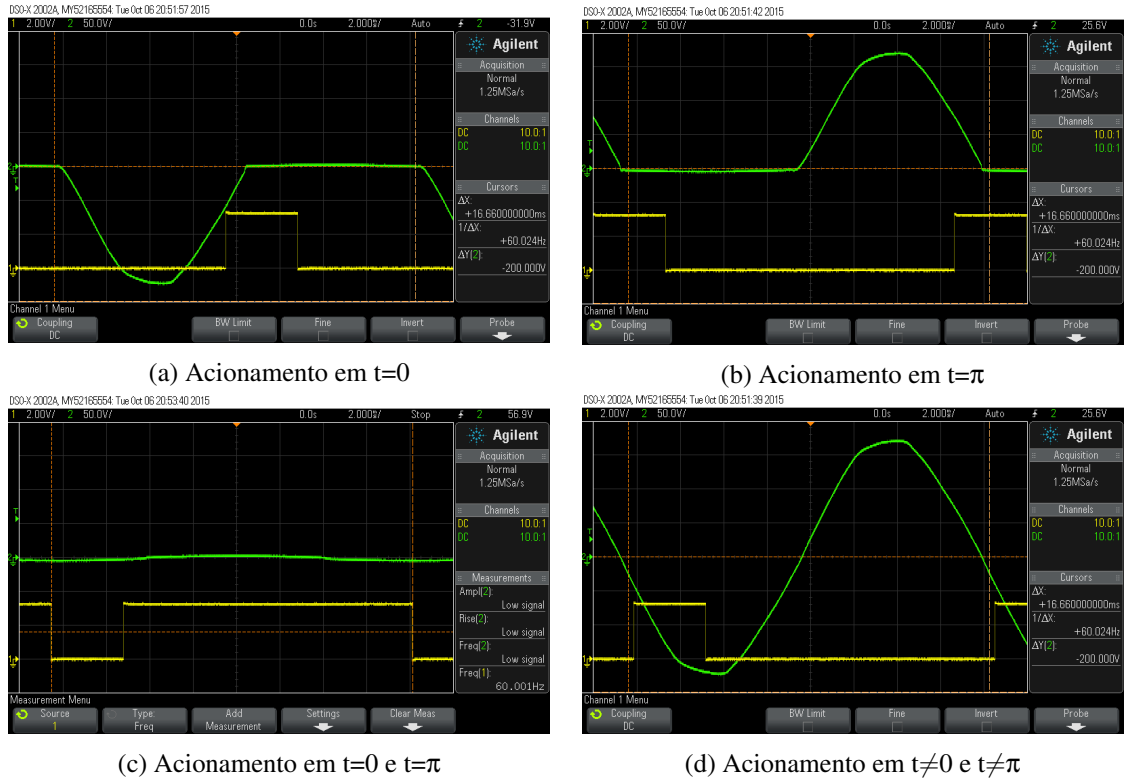


Figura 5.12: Acionamento do SSR em diferentes instantes da senóide da rede

5.9.2 Servo-motor

A simulação do circuito de acionamento do servo-motor foi realizada com a saída em aberto ou seja, sem carga, tendo em vista que na prática foi ligado somente o terminal de controle do atuador, que deve apresentar alta impedância. O sinal de entrada empregado foi uma onda retangular com período de 20ms e *duty-cycle* de 10%. A figura 5.13 apresenta o resultado da simulação.

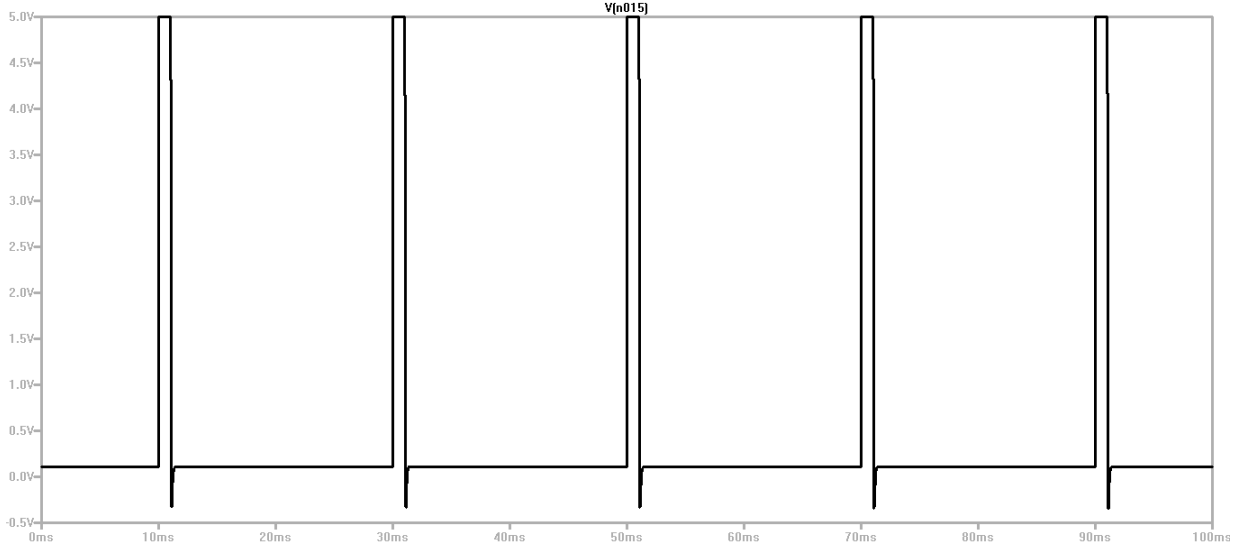


Figura 5.13: Resultado da simulação do módulo de acionamentos de potência com carga simulando o servo-motor

Quanto aos ensaios de bancada, foi ligado um resistor de $1,17\Omega$ em série com a alimentação do servo-motor e foi observado indiretamente o comportamento da corrente de alimentação deste por meio do uso de um osciloscópio, medindo a tensão sobre o resistor. Em todas as medições, foi registrado o comportamento do servo no período de transição em que o ângulo deste era variado de 90° . Na figura 5.14 é apresentado o resultado sem carga e na figura 5.15 é apresentado o comportamento com uma carga. O esquema para ensaios com carga está ilustrado na figura 5.16.

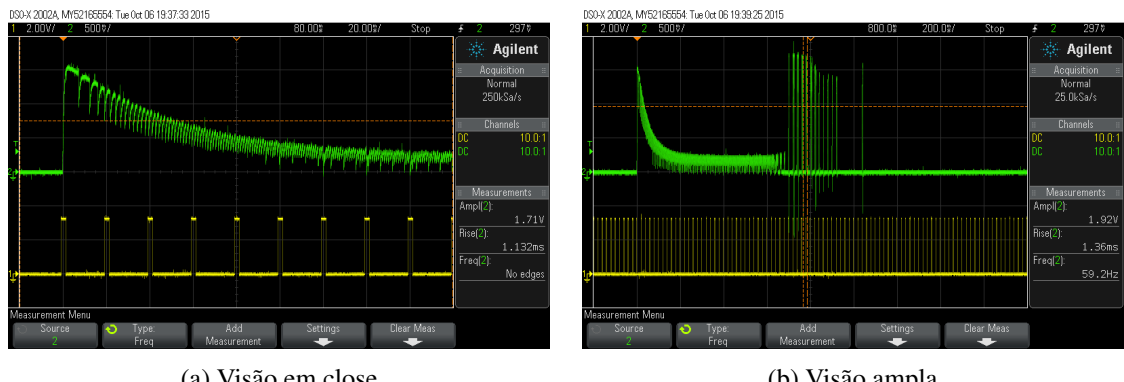


Figura 5.14: Comportamento da corrente de alimentação do servo-motor durante operação sem carga

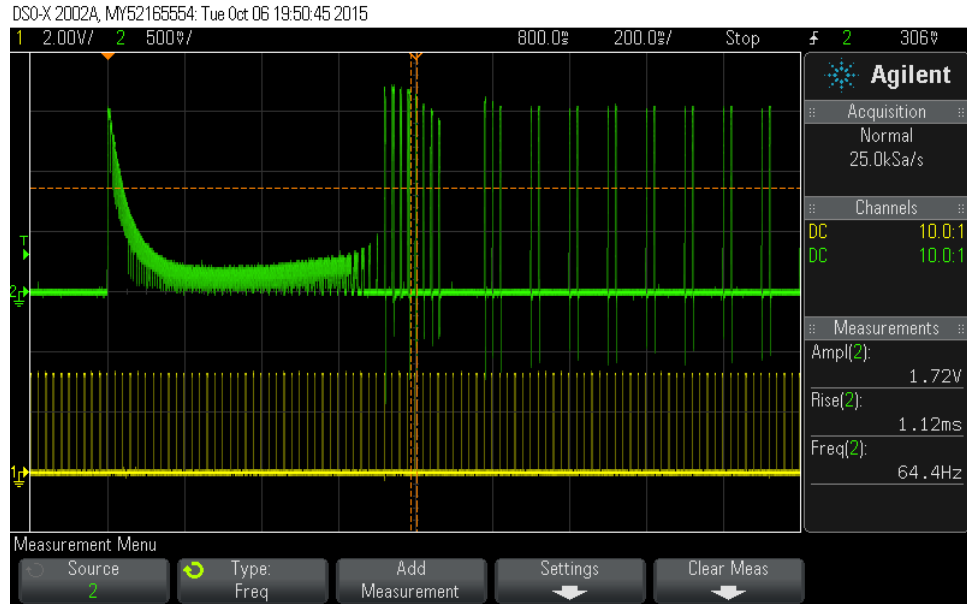


Figura 5.15: Comportamento da corrente de alimentação do servo-motor durante operação com carga

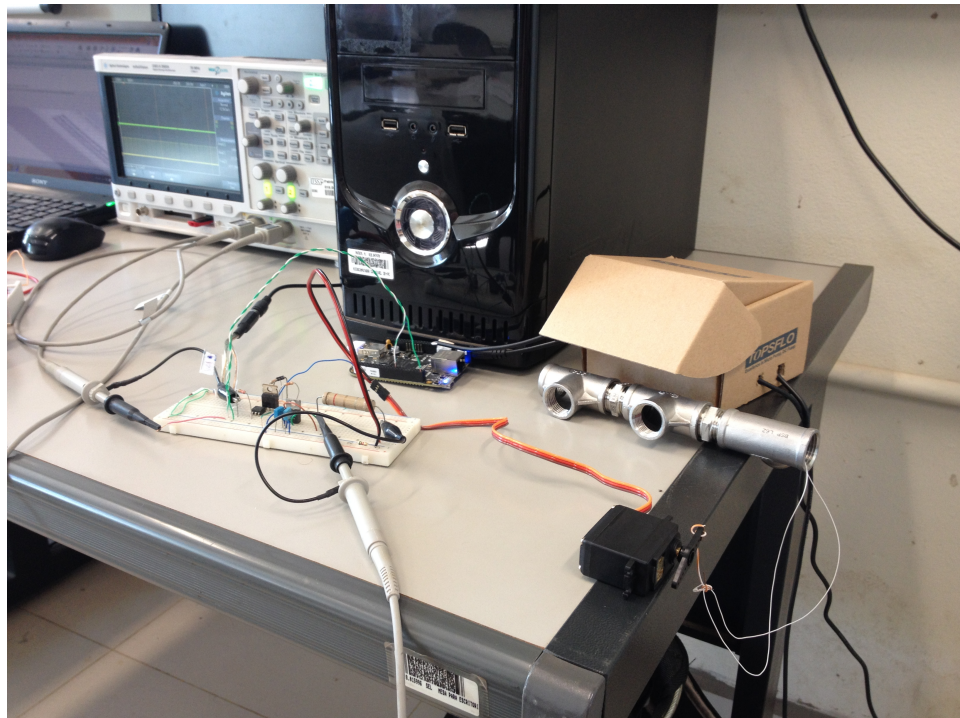


Figura 5.16: Teste do servo-motor com carga

Também foi testado o comportamento da alimentação do servo quando ele está fixo em uma posição e é aplicado um torque mecânico ao seu eixo, conforme o esquema ilustrado na figura 5.16. O resultado é apresentado na figura 5.17.

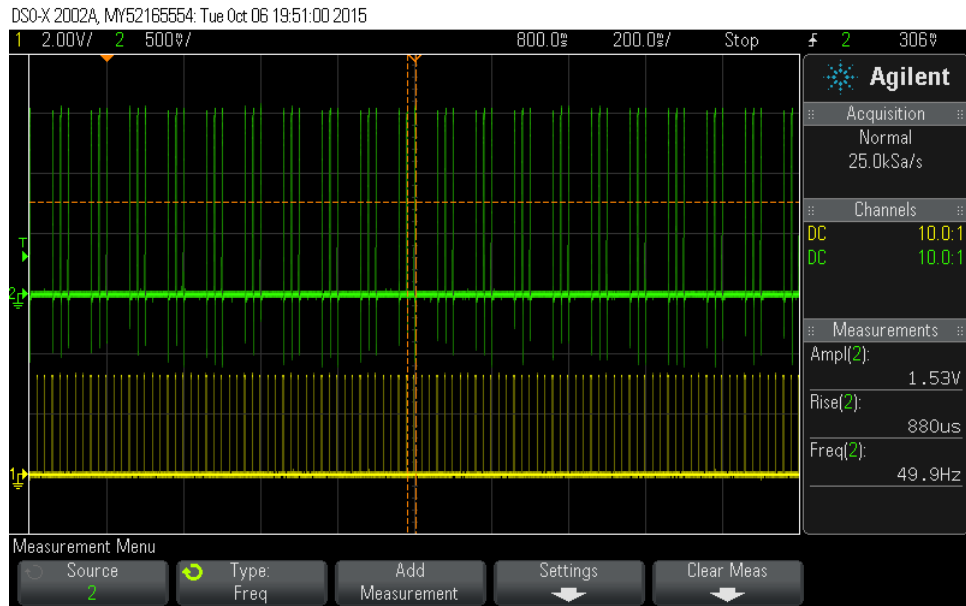


Figura 5.17: Comportamento da corrente de alimentação do servo-motor ao aplicar um torque ao seu eixo

Com base nos resultados encontrados, enfatiza-se o uso de uma fonte de tensão separada para a fonte do servo-motor, no lugar da fonte da BBB. Isto se deve aos pulsos de corrente do servo, que podem exigir mais corrente do que a fonte da BBB pode fornecer e, consequentemente, reiniciar a BBB durante seu funcionamento.

5.9.3 Detector de zero-crossing

A primeira simulação do circuito da figura 4.33 foi realizada com o objetivo de comprovar o seu funcionamento para dois valores de R₂: 10kΩ e 22kΩ. O circuito simulado é descrito na figura 5.18 e o resultado está expresso na figura 5.19, na qual a forma de onda em preto representa a saída do circuito; em vermelho a forma de onda sobre o coletor do transistor e; em azul a forma de onda aplicada à base do transistor.

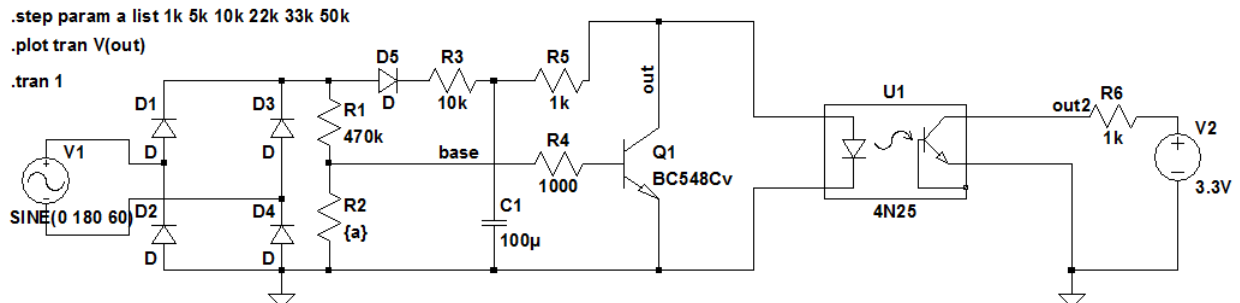


Figura 5.18: Descrição da simulação do circuito detector de zero-crossing

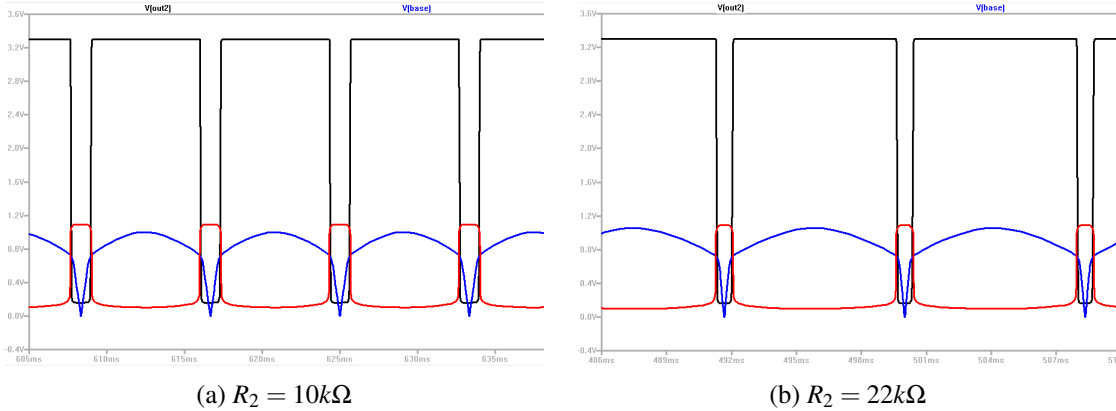


Figura 5.19: Comportamento do circuito detector de *zero-crossing* para diferentes valores de atenuação da senóide retificada

Para ambos os valores do resistor, foi comprovado o funcionamento do circuito, porém observou-se que à medida que seu valor aumenta, a largura do pulso de saída se estreita. Isto se deve ao fato de que, quanto mais atenuado o sinal retificado, maior a sua porção que fica abaixo de 0,7V e, por conseguinte, maior o tempo que o transistor permanece em corte. Este comportamento observado foi comprovado com a simulação do circuito para diversos valores de R_2 , desde $1\text{k}\Omega$ até $50\text{k}\Omega$. O resultado da simulação está descrito nas figuras 5.20 (a) e (b), que mostra a forma de onda sobre o coletor e aplicada à base do transistor. A tabela 5.2 apresenta a largura do pulso que indica passagem por zero em função dos valores de R_2 simulados.

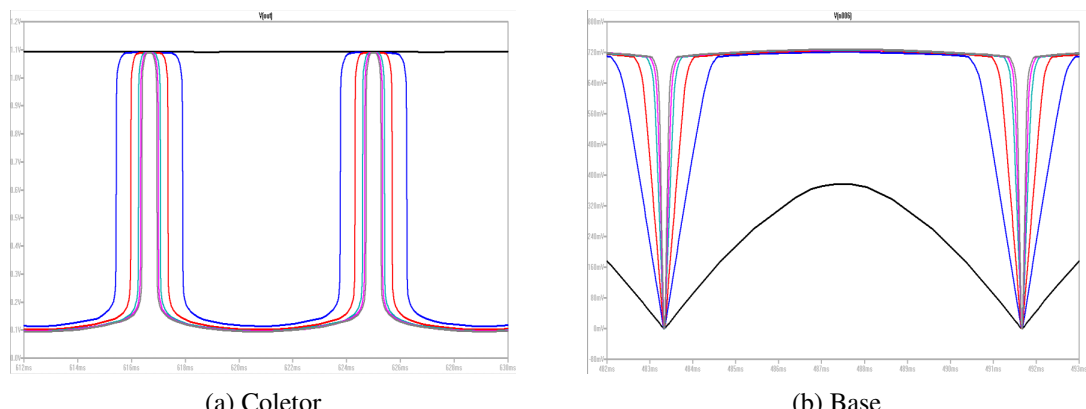


Figura 5.20: Verificação do comportamento do circuito detector de *zero-crossing* para diferentes valores de R_2

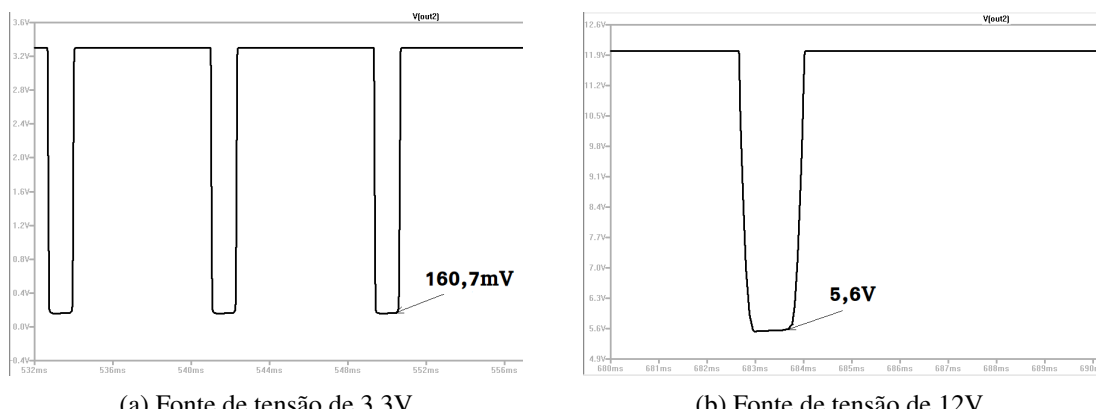
Tabela 5.2: Largura do pulso que indica passagem por zero em função do valor de R2

R2 (kΩ)	largura do pulso (ms)
1	-
5	2,47
10	1,38
22	0,81
33	0,66
50	0,56

É possível observar que o circuito não funciona corretamente para $R2=1\text{k}\Omega$ (forma de onda preta), uma vez que o potencial V_{be} não é suficiente para que o transistor passe a conduzir. Por outro lado, observa-se que quanto maior o valor de R2, menor é a largura do pulso que indica a passagem por zero. Também é interessante notar que a senóide da figura (b) é ceifada quando o transistor entra em condução, pois a junção base-emissor tem o comportamento de um diodo.

Foi decidido o uso de $R2=10\text{k}\Omega$ por ser um valor que traz uma largura de pulso suficiente para a aplicação proposta.

Quanto à saída do optoacoplador, foi notado que o circuito simulado não fornece corrente suficiente para que a incidência luminosa sobre a base do fototransistor seja suficientemente intensa para permitir a condução plena deste dispositivo, conforme indicado na figura 5.21. Isto não é um problema para a fonte de alimentação de 3,3V que será utilizada no projeto, conforme indicado em (a), já que a condução do circuito foi suficiente para fornecer um nível lógico baixo na saída, porém observou-se o comportamento mais acentuado quando a fonte foi substituída por uma de 12V, como ilustrado em (b).

Figura 5.21: Saída do circuito detector de *zero-crossing* para diferentes valores de tensão de alimentação

Outra preocupação com relação ao circuito foi o fato de que a queda de tensão sobre o resistor R3 é elevada e, portanto, a potência que este deve suportar não é desprezível. Seu valor é de 1,32W e foi obtido a partir da simulação realizada no LTSpice. A figura 5.22 apresenta os valores de tensão (em preto), corrente (em azul) e potência (em vermelho) sobre o resistor, em função do tempo.

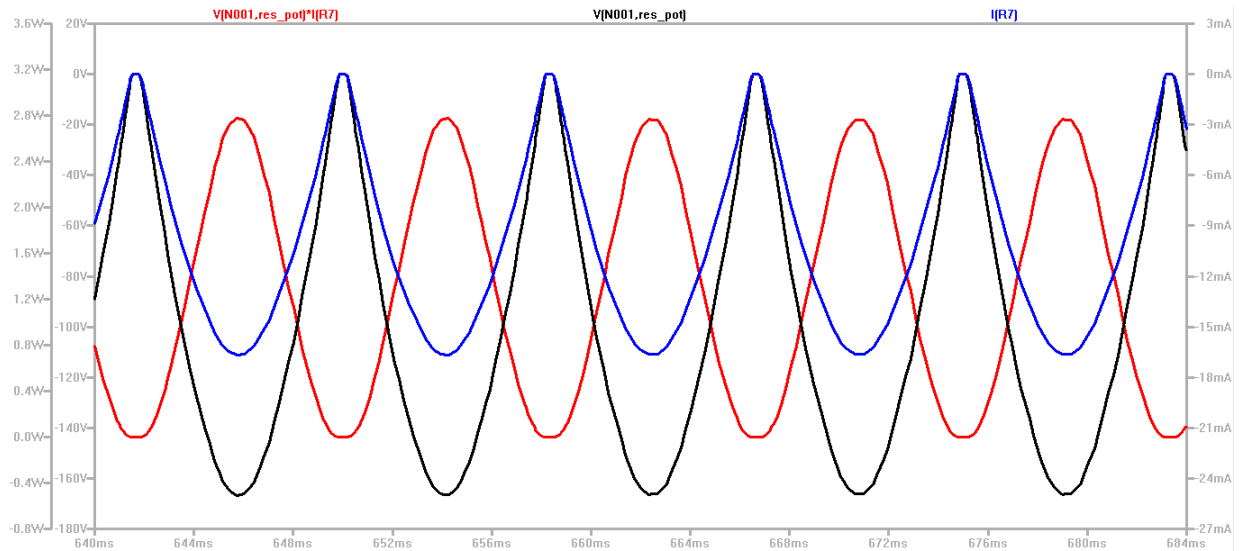


Figura 5.22: Curvas de tensão, corrente e potência sobre o resistor de potência do circuito detector de *zero-crossing*

5.10 Sistema de controle de temperatura

Capítulo 6

Conclusão ou Conclusões

A partir dos métodos descritos no capítulo ?? e resultados apresentados no capítulo 5, é possível notar que estes não são compatíveis com o cronograma previsto, introduzido na seção 1.2.1. Isto é função do planejamento do trabalho, documentado no próprio cronograma – a redação da monografia teve começo previsto para janeiro de 2016, por isso a presente monografia parcial está incompleta em função de adaptações realizadas no planejamento e que não conseguiram reservar tempo suficiente para documentar todas as tarefas realizadas ao longo do semestre. Na figura é apresentado um gráfico de pizza no qual todas as macrotarefas do semestre e a respectiva parcela de dedicação dada a cada tarefa podem ser examinadas.

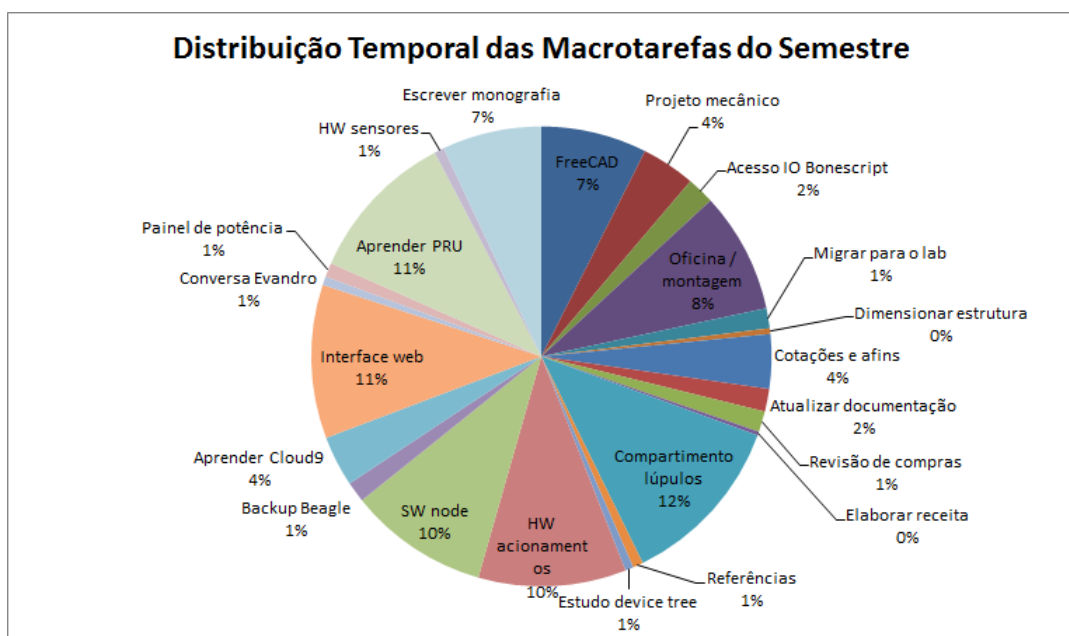


Figura 6.1: Distribuição temporal das macrotarefas do semestre

Com relação aos métodos e resultados documentados, quase que exclusivamente a respeito da interface de usuário, percebe-se que esta foi bem estruturada, com as evidências de que funcionalidades complexas e uma padronização visual foram implementadas. Ainda assim, é possível perceber que há espaço para melhorias e finalização de tarefas: a página com os gráficos de temperatura ainda é somente uma demonstração, mas não contribui como funcionalidade do sistema; a interface de início de brassagem não implementa funcionalidade que permita o início efetivo de uma brassagem e; a interface de estatísticas nem começou a ser planejada.

Em compensação, outros aspectos da UI foram bem sucedidos: as páginas introdutórias são funcionais; o menu de seleção de tarefas é bem organizado e auto-descritivo; a interface de gerenciamento e edição de receitas funciona perfeitamente dentro das especificações iniciais e é totalmente voltada ao usuário, utilizando conceitos de *desing thinking* e ações que podem ser desfeitas [56, 57] e; o controle manual do sistema é simples, intuitivo e funcional.

Trabalhos futuros

Isso é para o Relatório Final de defesa.....

Referências Bibliográficas

- [1] J.J. PALMER. *How to Brew*. Brewers Publications. Terceira edição, 2006.
- [2] BREWERS ASSOCIATION. *Number of Breweries*. Disponível em: <https://www.brewersassociation.org/statistics/number-of-breweries/>, Acesso em: 12 de novembro de 2015.
- [3] O. CERVIERI JÚNIOR et al. *O Setor de Bebidas no Brasil*. BNDES Setorial, Rio de Janeiro, n. 40, p. [93]-129, set. 2015.
- [4] REVISTA DA CERVEJA. n.1, mai. 2012.
- [5] REVISTA DA CERVEJA. n.2, jul. 2012.
- [6] ASSOCIAÇÃO BRASILEIRA DA INDÚSTRIA DA CERVEJA. *Anuário 2014*. Disponível em: <http://www.cervbrasil.org.br/arquivos/anuariofinal2014.pdf>, Acesso em: 13 de novembro de 2015.
- [7] ASSOCIAÇÃO BRASILEIRA DE BEBIDAS. *Categorias*. Disponível em: <http://www.abrabe.org.br/categorias/>, Acesso em: 18 de novembro de 2015.
- [8] PICOBREW INC. *Pico Brew*. Disponível em: <https://www.picobrew.com/>, Acesso em: 18 de novembro de 2015.
- [9] WILLIAMSWARN NZ LTD. *The WilliamsWarn Personal Brewery*. Disponível em: <http://www.williamswarn.com/The-WilliamsWarn#.VkyEqnarTIU>, Acesso em: 18 de novembro de 2015.
- [10] D.E. BRIGGS et al. *Brewing - Science and Practice*. Woodhead Publishing Limited. Terceira edição, 2011.
- [11] A. TIERNEY-JONES. *1001 Cervejas para Beber Antes de Morrer*. Sextante, 2011.

- [12] DOGFISH HEAD. *120 Minute IPA*. Disponível em: <http://www.dogfish.com/brews-spirits/the-brews/occassional-rarities/120-minute-ipa.htm>, Acesso em: 23 de novembro de 2015.
- [13] A. FODOR. *How to Remove Trub*. Brew Your Own, v. 3, n. 12, dez. 1997. Disponível em: <http://byo.com/stories/issue/item/890-how-to-remove-trub>, Acesso em: 14 de dezembro de 2015.
- [14] G. COLEY. *BeagleBone Black System Reference Manual*. Revision C1, mai. 2014. Disponível em: https://github.com/CircuitCo/BeagleBone-Black/blob/master/BBB_SRM.pdf?raw=true, Acesso em: 02 de dezembro de 2015.
- [15] H.W.; WOLTMAN B.D. HE, N.; HUANG. *The Use of BeagleBone Black Board in Engineering Design and Development*. The 2014 ASEE North Midwest Section Conference, Iowa City, IA, out. 2014.
- [16] J. LUMME. *BeagleBone Home Automation*. Packt Publishing, 2013.
- [17] TEXAS INSTRUMENTS. *AM335x SitaraTMProcessors Technical Reference Manual*. Revision fev. 2015. Disponível em: <http://www.ti.com/lit/ug/spruh731/spruh731.pdf>, Acesso em: 02 de dezembro de 2015.
- [18] J. FEDRIZZI, M.; SORIA. *Application of a single-board computer as a low cost pulse generator*. Measurement Science and Technology, v. 26, n. 9, set. 2015. Disponível em: <http://arxiv.org/abs/1504.07024>, Acesso em: 02 de dezembro de 2015.
- [19] TEXAS INSTRUMENTS. *PRU assembly language tools v2.1*. Disponível em: <http://www.ti.com/lit/ug/spruhv6a/spruhv6a.pdf>, Acesso em: 29 de março de 2016.
- [20] TEXAS INSTRUMENTS. *PRU optimizing C/C++ compiler v2.1*. Disponível em: <http://www.ti.com/lit/ug/spruhv7a/spruhv7a.pdf>, Acesso em: 29 de março de 2016.
- [21] Devicetree.org. *Device Tree Usage*. Disponível em: http://www.devicetree.org/Device_Tree_Usage, Acesso em: 21 de dezembro de 2015.
- [22] J. COOPER. *Introduction to the BeagleBone Black Device Tree*. Disponível em: <https://learn.adafruit.com/>

introduction-to-the-beaglebone-black-device-tree?view=all, Acesso em: 21 de dezembro de 2015.

- [23] D. MOLLOY. *Beaglebone: GPIO Programming on ARM Embedded Linux*. mai. 2012. Disponível em: https://www.youtube.com/watch?v=wui_wU1AeQc, Acesso em: 28 de dezembro de 2015.
- [24] S. TILKOV, S.; VINOSKI. *Node.js: Using JavaScript to Build High-Performance Network Programs*. 2015 30th IEEE/ACM International Conference on Automated Software Engineering Workshop (ASEW), Lincoln/NE, p. 86-89, nov. 2015. Disponível em: <http://ieeexplore.ieee.org/xpl/articleDetails.jsp?arnumber=7426643>, Acesso em: 19 de abril de 2016.
- [25] ZÁKOVÁ K. BOSÁK, T. *Node.js Based Remote Control of Thermo-optical Plant*. 2015 12th International Conference on Remote Engineering and Virtual Instrumentation (REV), Bangkok - Tailândia, p. 209-213, fev. 2015. Disponível em: <http://ieeexplore.ieee.org/xpl/articleDetails.jsp?arnumber=7087293>, Acesso em: 19 de abril de 2016.
- [26] T. OGASAWARA. *Workload Characterization of Server-Side JavaScript*. 2014 IEEE International Symposium on Workload Characterization (IISWC), Raleigh/NC, p. 13-21, out. 2014. Disponível em: <http://ieeexplore.ieee.org/xpl/articleDetails.jsp?arnumber=6983035>, Acesso em: 19 de abril de 2016.
- [27] S. TILKOV, S.; VINOSKI. *Node.js: Using JavaScript to Build High-Performance Network Programs*. IEEE Internet Computing, p. 80-83, nov. 2010. Disponível em: <http://ieeexplore.ieee.org/xpl/articleDetails.jsp?arnumber=5617064>, Acesso em: 19 de abril de 2016.
- [28] P. TEIXEIRA. *Professional Node.js - Building Javascript Based Scalable Software*. John Wiley Sons, Inc., 2013.
- [29] callbackhell.com. *Callback Hell - A Guide to Writing Asynchronous JavaScript Programs*. Disponível em: <http://callbackhell.com/>, Acesso em: 19 de abril de 2016.
- [30] S. ROBINSON. *Avoiding Callback Hell in Node.js*. Stack Abuse, jul. 2015. Disponível em: <http://stackabuse.com/avoiding-callback-hell-in-node-js/>, Acesso em: 19 de abril de 2016.

- [31] T. OGASAWARA. *Workload Characterization of Server-Side JavaScript*. 2015 IEEE 2nd World Forum on Internet of Things (WF-IoT), Milão - Itália, p. 280-285, dez. 2015. Disponível em: <http://ieeexplore.ieee.org/xpl/articleDetails.jsp?arnumber=7389066>, Acesso em: 20 de abril de 2016.
- [32] Y. XIAO. *Node.js in Flames*. The Netflix Tech Blog, nov. 2014. Disponível em: <http://techblog.netflix.com/2014/11/nodejs-in-flames.html>, Acesso em: 20 de maio de 2016.
- [33] Nodejs Foundation. *How Uber Uses Node.js to Scale Their Business*. Disponível em: <https://nodejs.org/static/documents/casestudies/Nodejs-at-Uber.pdf>, Acesso em: 20 de maio de 2016.
- [34] K.C. SEDRA, A.S; SMITH. *Microelectronic Circuits*. New York : Oxford University Press. Sétima edição, 2015.
- [35] P.R. VERONESE. *Junções*. SEL-EESC-USP, 2012.
- [36] L. BOYLESTAD, R.; NASHELSKY. *Dispositivos Eletrônicos e Teoria de Circuitos*. LTC - Livros Técnicos e Científicos Editora S.A. Oitava Edição, 2011.
- [37] MAXIM INTEGRATED. *DS18B20 Programmable Resolution 1-Wire Digital Thermometer*. 2008. Disponível em: <https://datasheets.maximintegrated.com/en/ds/DS18B20.pdf>, Acesso em: 02 de dezembro de 2015.
- [38] B. LINKE. *Overview of 1-Wire Technology and Its Use*. jun. 2008. Disponível em: <http://pdfserv.maximintegrated.com/en/an/AN1796.pdf>, Acesso em: 02 de dezembro de 2015.
- [39] MAXIM INTEGRATED. *Guidelines for Reliable Long Line 1-Wire Networks*. set. 2008. Disponível em: <http://pdfserv.maximintegrated.com/en/an/AN148.pdf>, Acesso em: 02 de dezembro de 2015.
- [40] THE LINUX KERNEL ARCHIVES. *Index of /doc/Documentation/wl*. Disponível em: <https://www.kernel.org/doc/Documentation/wl/>, Acesso em: 03 de dezembro de 2015.
- [41] DANFOSS. *How to Use Solenoid Valves*. Disponível em: http://www.danfoss.com/NR/rdonlyres/CDF180FA-4AFE-46AF-99A1-4E20A4FC1418/0/ICPS600A402_1_oms_solenoid_valves_how_to_use.pdf, Acesso em: 22 de abril de 2016.

- [42] JEFFERSON AUTOMAÇÃO. *Válvulas Solenóides - Informação de Engenharia.* Disponível em: <http://www.jefferson.ind.br/imagens/download/Valvula-solenoide.pdf>, Acesso em: 22 de abril de 2016.
- [43] E. ROSE, T.; MONTGOMERY. *Brewery CIP Automation Systems.* MBAA District NW Fall Meeting, Portland/OR, out. 2010. Disponível em: http://www.mbaa.com/districts/northwest/events/documents/2010_10_08brewerycipautomation.pdf, Acesso em: 22 de abril de 2016.
- [44] F. FERRAZ. *Meios de Ligação de Tubos - Conexões de Tubulação - Válvulas Industriais.* IFBA, abr. 2009. Disponível em: http://docente.ifb.edu.br/paulobaltazar/lib/exe/fetch.php?media=apostila_tubulacao_ifba.pdf, Acesso em: 22 de abril de 2016.
- [45] IPEX. *EPDM FKM Chemical Resistance Guide.* IPEX Incorporated Canadá. Primeira Edição, 2009.
- [46] THE BEAGLEBOARD.ORG FOUNDATION. *Debian.* Disponível em: <http://beagleboard.org/project/debian/>, Acesso em: 03 de dezembro de 2015.
- [47] THE BEAGLEBOARD.ORG FOUNDATION. *BeagleBoard.org Latest Firmware Images.* Disponível em: <http://beagleboard.org/latest-images>, Acesso em: 03 de dezembro de 2015.
- [48] putty.org. *Download Putty.* Disponível em: <http://www.putty.org>, Acesso em: 03 de dezembro de 2015.
- [49] NTP.BR. *Saiba mais sobre o NTP.* Disponível em: <http://ntp.br/>, Acesso em: 21 de dezembro de 2015.
- [50] NIC.BR. *Núcleo de Informação e Coordenação do Ponto BR.* Disponível em: <http://nic.br/>, Acesso em: 21 de dezembro de 2015.
- [51] Divisão Serviço da Hora. *Divisão Serviço da Hora - DSHO.* Disponível em: <http://pcdsh01.on.br/>, Acesso em: 21 de dezembro de 2015.
- [52] Cloud9 IDE Inc. *License for the SDK and Packages.* Disponível em: <https://cloud9-sdk.readme.io/docs/the-licenses-for-cloud9-sdk-and-packages>, Acesso em: 25 de abril de 2016.

- [53] STRAUB B. CHACON, S. *Pro Git - Everything You Need to Know About Git*. Apress Media LLC, Segunda Edição, 2014. Disponível em: <https://git-scm.com/book/en/v2>, Acesso em: 25 de abril de 2016.
- [54] J.D. HUNTER. *Matplotlib A 2D graphics environment*. Computing In Science Engineering, v. 9, n. 3, p. 90-95, IEEE COMPUTER SOC, 2007.
- [55] scipy.org. *NumPy*. Disponível em: <http://www.numpy.org/>, Acesso em: 24 de abril de 2016.
- [56] J. KOLKO. *Design Thinking Comes of Age*. Harvard Business Review, Boston, p. 66-71, set. 2015. Disponível em: <https://hbr.org/2015/09/design-thinking-comes-of-age>, Acesso em: 04 de dezembro de 2015.
- [57] A. RASKIN. *Never Use a Warning When You Mean Undo*. A List Apart, jul. 2007. Disponível em: <http://alistapart.com/article/neveruseawarning>, Acesso em: 04 de dezembro de 2015.
- [58] Brewer's Friend. *Beer Styles - IBU Chart Graph*. Disponível em: <http://www.brewersfriend.com/2009/01/24/beer-styles-ibu-chart-graph-bitterness-range/>, Acesso em: 23 de abril de 2016.

Apêndice A

Códigos-fonte da interface de usuário

Códigos em elaboração.

Apêndice B

Scripts Python

B.1 Módulo com as funções para *log* da temperatura

```

1 #!/usr/bin/env python
2 # -*- coding: utf-8 -*-
3
4 #importa os módulos que serão usados no script
5 import time
6 import os.path
7 #import graficos_png as graph
8 #import datetime
9 #import wiringpi2 as wpi
10
11 def tread():
12     """lê temperatura do DS18B20 e retorna em celsius"""
13     tfile = open("/sys/bus/w1/devices/28-000004ee8ded/w1_slave")
14     tfile.readline()
15     temp_raw = tfile.readline()
16     tfile.close()
17     temp_raw = temp_raw.split(" ")[9]
18     temp_raw = float(temp_raw[2:])
19     return temp_raw/1000
20
21 def tprint_all(tcelsius):
22     """imprime a temperatura em diversas escalas no formato
23         HTML"""
24     print "Temperatura:<br />",
25     print "%2f &degC<br />" % tcelsius, #celsius
26     print "%2f &degF<br />" % (tcelsius*1.8+32), #fahrenheit
27     print "%2f K<br />" % (tcelsius+273.15), #kelvin
28     print "%2f &degR<br />" % (tcelsius*1.8+32+459.67), #
29     rankine
30
31 def tprint_all_terminal(tcelsius):
32     """imprime a temperatura em diversas escalas
33         formatado para o terminal"""
34     print "Temperatura:"
35     print "%2f" % tcelsius, u"\u00B0C"#celsius

```

```

33     print "%.2f" % (tcelsius*1.8+32), u"\u00B0F"#
34         fahrenheit
35     print "%.2f K" % (tcelsius+273.15)#kelvin
36     print "%.2f" % (tcelsius*1.8+32+459.67), u"\u00B0R"#
37         rankine
38
39 def tlog(file = "/var/www/datalog/default.csv"):
40     """salva temperatura e Unix Time em .csv """
41     #arquivo padrão CSV com cabecalho
42
43     #file = raw_input("digite o nome do arquivo e.g. log-data\n")
44     #file += ".log"
45     #tsample = float(raw_input("digite tempo de amostragem em
46     #segundos: "))
47
48     #os comandos acima foram ignorados para poder usar o nohup
49     #que não recebe input)
50     tsample = 0.2202 #amostra a cada x segundos
51     #amostras = 5000#numero de amostras a serem coletadas
52     buff_temp = tread()#guarda o último valor lido
53     exist = os.path.isfile(file)
54     #buffer = open(file,"a")#mesma função da linha abaixo,
55     #porem menos recomendada
56     with open(file, 'a', 1) as log:#desse jeito, o arquivo será
57         fechado
58     #mesmo que haja uma excessao, diferente de usar file.close
59     #()
60     #o arg. 1 indica que o buffer antes de escrever no arquivo
61     #eh 1 linha
62     if exist is False:#se vai criar o arquivo agora
63         log.write("temperatura,data\n")
64     while True: #loop infinito
65         #while amostras > 0:#coleta o numero de amostras
66         #amostras = amostras - 1#decrementa variavel de
67             controle
68         temp_celsius = tread()
69         epoch = time.time()#lê a data/hora do sistema
70         #nowis = time.ctime(epoch)#converte para string
71         if temp_celsius >= 0:#evita leitura errada
72             #essa leitura errada é intermitente e causa
73                 desconhecida
74             log.write("%f,%f\n" % (temp_celsius, epoch))
75             tlog_instant(temp_celsius, epoch)#escreve arquivo com
76                 ultima leitura
77             #graph.graph_gen()# atualiza gráfico da temperatura
78             #escreve temperatura e data/hora no .txt
79             time.sleep(tsample)#espera n segundos
80             print "registrando temperatura!",temp_celsius
81
82
83
84 def tlog_instant(temperature, epoch, file = "/var/www/datalog
85 /instant.csv"):
86     """salva última temperatura e Unix Time em arquivo .csv"""
87     with open(file, 'w', 1) as log:#sobrescreve o arquivo toda
88         vez

```

```

77 #temperature = tread()#lê a temperatura
78 #epoch = int(time.time())#lê o Unix Time do sistema
79 log.write("temperatura,data\n")
80 log.write("%f,%f\n" % (temperature, epoch))
81
82 def tlog_test(file = "/var/www/datalog/default.csv"):
83     """salva temperatura e Unix Time em .csv"""
84     #arquivo padrão CSV com cabecalho
85     tsample = 1 #valor de amostragem para teste
86     exist = os.path.isfile(file)
87     with open(file, 'a', 1) as log:#desse jeito, o arquivo será
88         fechado
89     if exist is False:#se vai criar o arquivo agora
90         log.write("temperatura,data\n")
91     temp_celsius = 25.00#somente para teste
92     temp_sparge = 20.00#somente para teste
93     ramp_section = 0#sequencia de funcoes que gera as rampas/
94         degraus
95     while True: #loop infinito
96         if ramp_section == 0:#aquece medio ate 29 graus
97             temp_celsius += 0.2
98             if temp_celsius >= 29:
99                 ramp_section = 1
100            elif ramp_section == 1:#aquece devagar ate 30 graus
101                temp_celsius += 0.1
102                if temp_celsius >= 30:
103                    ramp_section = 2
104                elif ramp_section == 2:#espera usuario adicionar maltes
105                    time.sleep(15)#30 segundos
106                    ramp_section = 3
107                elif ramp_section == 3:#aquece medio ate 35 graus
108                    temp_celsius += 0.2
109                    if temp_celsius >= 35:
110                        ramp_section = 4
111                    elif ramp_section == 4:#retrai aquecimento ate 33 graus
112                        temp_celsius -= 0.2
113                        if temp_celsius <= 33:
114                            ramp_section = 5
115                        elif ramp_section == 5:#degrau 1,
116                            aquece sparge durante 1 minuto
117                            temp_sparge += 0.5
118                            if temp_sparge >= 50:
119                                ramp_section = 6
120                            elif ramp_section == 6:#aquece rapido ate 42 graus
121                                temp_celsius += 0.3
122                                if temp_celsius >= 42:
123                                    ramp_section = 7
124                                elif ramp_section == 7:#aquece medio ate 59 graus
125                                    temp_celsius += 0.2
126                                    if temp_celsius >= 59:
127                                        ramp_section = 8
128                                    elif ramp_section == 8:#aquece devagar ate 60 graus
129                                        temp_celsius += 0.1
130                                        if temp_celsius >= 60:
131                                            ramp_section = 9
132
133 else:#temperatura de fervura
134     temp_sparge += 0.3

```

```
132 epoch = time.time()#lê a data/hora do sistema
133 log.write("%f,%f\n" % (temp_celsius, epoch))
134 tlog_instant(temp_celsius, epoch)#escreve arquivo com
135         ultima leitura
136 tlog_instant(temp_spurge, epoch, "/var/www/datalog/
137         instant_bk.csv")#somente para teste por enquanto
138 #escreve temperatura e data/hora no .txt
139 time.sleep(tsample)#espera n segundos
140 print "registrando temperatura!",temp_celsius,
141         temp_spurge
```

Código-fonte B.1: Módulo com as funções para \log da temperatura

B.2 Script para plotagem de gráfico

```

35     title += time.ctime(float(last_line[1])) #pega a data/hora
36         da ultima linha
37     #nao da pra fazer slice do tipo [n:], porque nao exclui o
38         \n do fim da linha
39
40     #plota o grafico da temperatura
41     fig = plt.figure(figsize=(9, 4)), dpi=300)
42     ax = fig.add_subplot(111) #subplot p/ mudar cor de fundo
43     ax.set_axis_bgcolor('#BEC5C2') #muda cor do fundo do plot
44     plt.grid() #plota o grafico com grid ligado
45     #se tratando de salvar a figura, o dpi so faz diferenca no
46         savefig
47
48     #ajusta a escala do tempo baseado no tempo total de
49         amostragem dos dados
50     size_x = int(float(ttimes[len(ttimes)-1]))-float(ttimes[0])
51         #tempo final menos tempo inicial
52     if size_x < 7200:#ate duas horas, escala em minutos
53         for tms in ttimes:#itera pelo array do eixo-x
54             x_scale.append((float(tms)-float(ttimes[0]))/60) #
55                 transforma em minutos
56             plt.xlabel('tempo(minutos)')#imprime label indicando
57                 minutos
58     elif size_x < 129600:#ate um dia e meio, escala em horas
59         for tms in ttimes:#itera pelo array do eixo-x
60             x_scale.append((float(tms)-float(
61                 ttimes[0]))/(60*60))#transforma em
62                 horas
63             plt.xlabel('tempo(horas)')#imprime label indicando horas
64     elif size_x < 7776000:#ate tres meses, escala em dias
65         for tms in ttimes:#itera pelo array do eixo-x
66             x_scale.append((float(tms)-float(
67                 ttimes[0]))/(60*60*24))#transforma em
68                 horas
69             plt.xlabel(u'tempo(dias)')#imprime label indicando dias
70     else:#caso contrario, escala em meses
71         for tms in ttimes:#itera pelo array do eixo-x
72             x_scale.append((float(tms)-float(
73                 ttimes[0]))/(60*60*24*30))#
74                 transforma em horas
75             plt.xlabel(u'tempo(meses -> 30 dias por m\N{COMBINING ACUTE ACCENT}')#imprime label indicando meses
76
77     #gerando interpolacao
78     #tvalues = np.array(tvalues)
79     #x_smooth = np.linspace(x_scale.min(), x_scale.max(), 10)
80     #y_smooth = spline(x_scale, tvalues, x_smooth)
81     #tck = interpolate.splrep(x_scale, tvalues)
82     #print tck
83
84     #plotando os graficos
85     plt.plot(x_scale, tvalues, '-', color='b')
86     #plt.plot(ttimes, tvalues, '-', color='b')
87
88     #trabalha as legendas
89     # tiks = ax.get_xticks().tolist()#le o eixo das legendas
90     # size_tks = len(tiks)#ve quantas posicoes tem pra legenda

```

```

78 | # for lgd in tiks:#itera essas posicoes
79 | #     legenda.append(x_scale(size_tks))
80 | # tiks[:]=['bla','ble','bli','blo','blu','bal','bel','bil','
81 | # bol','bul']
82 | # print tiks[1]
83 | # ax.set_xticklabels(tiks)
84 | #ax.axis_date()
85 | #plt.tight_layout(pad=4.0, w_pad=0.5, h_pad=1.0)
86 | #plt.plot(x_smooth, y_smooth, '-', color='r')
87 | plt.title(title)
88 | plt.ylabel(u'temperatura (\u00B0C)')
89 | plt.savefig(graph, dpi=150, facecolor='none')#='#97D9CC')
90 | plt.close()
91
91 while True:
92     delta_t = time.time()#guarda tempo inicial
93     graph_gen()
94     delta_t = time.time() - delta_t#calcula tempo total
95     print 'tempo para gerar grafico (s) = %.3f' %delta_t
96     time.sleep(300)

```

Código-fonte B.2: Script para plotagem de gráfico

Apêndice C

Códigos-fonte Node.js

C.1 Código-fonte raiz da aplicação em Node.js

```

1 "use strict";
2 //load modules
3 var bodyParser = require('body-parser');
4 var express = require("express");
5 var app = express();
6 var debug = require('debug')('controle');
7 var pru = require("node-pru-extended");
8 var fs = require("fs");
9 var exec = require("child_process").exec;
10 var phpExpress = require('php-express')({ // assumes php is
    in your PATH
11 // must specify options hash even if no options provided!
12   binPath: 'php'
13 });
14 //load modules written for this application
15 var gpioCfg = require('./my_node_modules/gpio_cfg.js');
16 var ctrl = require('./my_node_modules/ctrl.js');
17 var log = require('./my_node_modules/log_check_misc.js');
18 var routes = require('./my_node_modules/routes.js');
19
20 //global variables that should also be saved to a backup file
21 //periodically
21 global.environmentVariables = {
22   warn: "", //if not empty holds some warning message
23   code: "", //tells the same as msg, but as an index, easier
24   // to check programatically
24   tmpMT: "", //mash tun temperature
25   tmpMTsetp: "", //mash tun current setpoint
26   tmpBK: "", //brewing kettle temperature, also the "hot
27   // liquor tank" for sparging
27   tmpBKsetp: "", //brewing kettle/hot liquor tank current
28   // setpoint
28   timeLeft: "", //helping variable to tell the client the time
29   // left for the step rests or the boil, etc
29   readyForNextStep: false, //set whenever the system is ready
29   // for the next step

```

```

30     auto: true, //whether the process is running automatically
31         or there is human intervention
32     processFail: false, //flag is set if the process fails
33         irreversibly
33     msg: "", //holds some explanatory message
34     timestamps:{ //notable timestamps
35         start: "", //epoch time of the first request to start a
36             recipe
35         startHeating: "", //epoch time of the start to heat the
36             mash water
36         finishHeating: "", //epoch for the finish of the heating
37             of mash water
37         //start of the ramps
38         sRamp0: "", sRamp1: "", sRamp2: "", sRamp3: "", sRamp4: ""
39             , sRamp5: "", sRamp6: "", sRamp7: "",
39         //finish of the ramps
40         fRamp0: "", fRamp1: "", fRamp2: "", fRamp3: "", fRamp4: ""
41             , fRamp5: "", fRamp6: "", fRamp7: "",
41         startDrain: "", //start of the sparging process, when the
42             mash is parcially drained to the BK
42         startSparge: "", //here the recirculation pump starts
43             working
43         heatingBoil: "", //started to heat the wort after sparging
44         boilStart: "", //time when temperature is near enough
44             boiling (>96°C)
45         boilFinishScheduled: "", //time when the boil is scheduled
46             to finish
46         curr: "", //epoch time of the current variables state
47     },
48     ioStatus: gpioCfg.all_io, //also records the IO status
49     okToStart: false, //true if a recipe is ok enough to start
49         a production
50     recipe: "" //recipe name
51 };
52 /*
53 //Trying to access and/or use the PRU
54 console.log(pru);
55 pru.init(); //initialize the communications
56 //pru.loadDatafile(0, "/var/www/myPRUcodes/data.bin");
57 pru.execute(0, "/var/www/myPRUcodes/pisca_text.bin", 0);
58 //console.log(pru.getSharedRAM());
59 pru.exit(0); //force the PRU code to terminate
*/
61
62 // Pin configuration
63 debug(gpioCfg.ioStatus.total + " pins being used: ", gpioCfg.
64     all_io_pins.toString());
64 debug("Configuring pins..."); 
65 gpioCfg.pinsConfiguration();
66
67 //Using Express to create a server
68 app.use(bodyParser.urlencoded({ //to support URL-encoded
69     bodies, MUST come before routing
70     extended: true
70 }));
71
72 // set view engine to php-express
73 app.set('views', './');

```

```

74 app.engine('php', phpExpress.engine);
75 app.set('view engine', 'php');
76
77 // routing all .php file to php-express
78 app.all(/.+\.php$/, phpExpress.router);
79
80 app.use(express.static(__dirname)); //add the directory where
81     // HTML and CSS files are
82 var server = app.listen(8587, "192.168.1.155", function () {
83     //listen at the port and address
84     var host = server.address().address;
85     var port = server.address().port;
86     var family = server.address().family;
87     debug('Express server listening at http://%s:%s %s', host,
88           port, family);
89 });
90
91 app.route('/controle') //used to unite all the request types
92     // for the same route
93     .post(routes.controlRoute);
94
95 app.route('/startrecipe') //used to unite all the request types
96     // for the same route
97     .post(routes.startrecipeRoute);
98
99 app.route('/config') //used to unite all the request types for
100    // the same route
101    .post(routes.configRoute);
102
103 app.route('/clientrequest') //used to unite all the request
104    // types for the same route
105    .post(routes.clientrequestRoute);

```

Código-fonte C.1: Código-fonte raiz da aplicação em Node.js

C.2 Módulo de gerenciamento de GPIO e PWM

```

1 "use strict";
2
3 //var m = require('../controle.js');//not sure it is needed
4 // to add the requester to share variables
4 var b = require('octalbonescript');
5 var debug = require('debug')('gpio');
6
7 //Variables
8 var led = module.exports.led = new PinObjectIO("USR1");
9 var mash_pump = module.exports.mash_pump = new PinObjectIO(
10     "P8_07");
11 var boil_pump = module.exports.boil_pump = new PinObjectIO(
12     "P8_08");
11 var pumps = module.exports.pumps = {mash_pump:mash_pump,
13     boil_pump:boil_pump};
12
13 var mash_valve = module.exports.mash_valve = new PinObjectIO(
14     "P8_09");

```

```

14 | var boil_valve = module.exports.boil_valve = new PinObjectIO(
15 |   "P8_10");
16 | var chill_valve = module.exports.chill_valve = new
17 |   PinObjectIO("P8_11");
18 | var water_valve = module.exports.water_valve = new
19 |   PinObjectIO("P8_12");
20 | var valves = module.exports.valves = { mash_valve:mash_valve,
21 |   boil_valve:boil_valve,
22 |   chill_valve:chill_valve, water_valve:water_valve};
23 |
24 | //for servo, use 0.0325 < duty < 0.11 to protect servo
25 | //integrity
26 | var servo_pwm = module.exports.servo_pwm = {id:"P8_19", state
27 |   :{duty:0.11, freq:50}, cfg:b.ANALOG_OUTPUT}; //state of PWM
28 | //is duty-cycle and frequency
29 | //var servo_pwm = {id:"P8_19", state:{duty:0.11, freq:60}};///
30 | //this is for the SSR test
31 |
32 | var all_io = module.exports.all_io = collect(pumps, valves,
33 |   heaters, {led:led}, {servo_pwm:servo_pwm});
34 | //debug(all_io);
35 | var all_io_objects = module.exports.all_io_objects = Object.
36 |   keys(all_io); //get all the keys, because cannot access
37 |   object by index, e.g all_io[2]
38 | var all_io_pins = module.exports.all_io_pins = [];//all the
39 |   pins used as an array
40 | for (var i = 0; i < all_io_objects.length; i++){//get the
41 |   pins one by one
42 |   all_io_pins[i] = all_io[all_io_objects[i]].id;//and add to
43 |   the array
44 | }
45 |
46 | var ioStatus = module.exports.ioStatus = {cfgok:0, gpio:0,
47 |   pwm:0, analog:0, interrupt:0, total:all_io_objects.length,
48 |   //helping object
49 |   //some functions just to exercise the use of methods
50 |   newGpio:    function(){ this.cfgok++; this.gpio++; },
51 |   newPwm:     function(){ this.cfgok++; this.pwm++; },
52 |   newAnalog:  function(){ this.cfgok++; this.analog
53 |     ++; },
54 |   newInterrupt: function(){ this.cfgok++; this.analog
55 |     ++; },
56 |   gpio2pwm:   function(){ this.gpio--; this.pwm++; },
57 |   gpio2interrupt: function(){ this.gpio--; this.
58 |     interrupt++; },
59 |   pwm2gpio:   function(){ this.pwm--; this.gpio++; },
60 |   pwm2interrupt: function(){ this.pwm--; this.
61 |     interrupt++; },
62 |   interrupt2gpio: function(){ this.interrupt--; this.
63 |     gpio++; },
64 | }
```

```

47         interrupt2pwm: function() { this.interrupt--; this.
48             pwm++;}
49     }
50
51 //functions
52 module.exports.changeStatusIO = function (pin, val){
53     if(val == "true"){//if button is checked
54         all_io[pin].state = b.HIGH;//turn corresponding pin HIGH
55         b.digitalWriteSync(all_io[pin].id, all_io[pin].state);
56         debug("Pin " + pin + " turned HIGH");
57     }
58     else if(val == "false"){//if button is unchecked
59         all_io[pin].state = b.LOW;//turn corresponding pin LOW
60         b.digitalWriteSync(all_io[pin].id, all_io[pin].state);
61         debug("Pin " + pin + " turned LOW");
62     }
63     else{//if it is not a button
64         if(pin == "servo_pwm"){//check if this is the PWM
65             servo_pwm.state.duty = 0.0325 + (0.0775/180)*val;//turn
66                 degree to duty-cycle
67             b.analogWrite(servo_pwm.id, servo_pwm.state.duty,
68                 servo_pwm.state.freq, function(err_wr){//set PWM
69                 if(err_wr){//if anything goes wrong
70                     debug(err_wr);//print the error
71                 }
72                 else{//otherwise
73                     debug("Servo angle set to: " + val);//print the
74                         angle the PWM was set to
75                 }
76             });
77         }
78     }
79 }
80
81 module.exports.getSystemStatus = function () {
82     var all_io_status = {};//object with all the pin pairs key:
83         value
84     for(var i = 0; i < all_io_objects.length; i++){//get the
85         pair key:value pin by pin
86         all_io_status[all_io_objects[i]] = all_io[all_io_objects[
87             i]].state;
88     }
89     return(all_io_status);
90 }
91
92 // I/O pins
93 function PinObjectIO(pinId){//function to create pin object,
94     should recieve pin ID
95     if(pinId){//if the variable is passed to function or not
96         empty
97         this.id = pinId; this.state = b.LOW; this.cfg = b.OUTPUT;
98     }
99     else{//if no variable is passed or passed empty
100        debug("No variable passed to create pin object");
101    }
102 }
103
104 module.exports.pinsConfiguration = function () {

```

```

96  for (var i = 0; i < all_io_objects.length; i++) { //set all
97    pins as outputs
98    (function (pinIndex) { //need to create a scope for the
99      current pin variable, because it is asynchronous
100     debug("      pin passed is " + this + "; pin index passed
101       is " + pinIndex); //this" is the first parameter
102       passed -> the current pin
103     b.pinMode(this, all_io[all_io_objects[pinIndex]].cfg,
104       function (err, pin) { //configure and callback function
105         if (err) //if by the end of executing pinMode function,
106           there is an error
107           console.error(err.message); //then the error is
108           printed
109         else { //initial state, everyone LOW because HIGH state
110           means ON
111           if (all_io[all_io_objects[pinIndex]].cfg == b.OUTPUT
112             ) { //if pin is configured as digital output
113               debug('      pin ' + pin + ' ready[OUTPUT], ' +
114                 ioStatus.cfgok+1) + "/" + ioStatus.total + "
115                 pins configured");
116               b.digitalWriteSync(pin, all_io[all_io_objects[
117                 pinIndex]].state); //state is LOW because of
118                 initial values
119               //ioStatus.cfgok++;
120               ioStatus.newGpio(); //indicates one more pin is
121                 configured as gpio
122               if (ioStatus.cfgok == ioStatus.total) { //if all
123                 pins are already configured
124                 //interval = setInterval(function () { ioTest () },
125                   5000); //then start the blinking test very
126                   slow
127                   debug(ioStatus.gpio + " pins as GPIO, " +
128                     ioStatus.pwm + " as PWM, " +
129                     ioStatus.analog + " as ANALOG, " + ioStatus.
130                     interrupt + " as INTERRUPT");
131                   }
132                 }
133               else if (all_io[all_io_objects[pinIndex]].cfg == b.
134                 ANALOG_OUTPUT) { //if pin is configured as PWM
135                 debug('      pin ' + pin + ' ready[PWM], ' +
136                   ioStatus.cfgok+1) + "/" + ioStatus.total + "
137                   pins configured");
138                 b.analogWrite(servo_pwm.id, servo_pwm.state.duty,
139                   servo_pwm.state.freq, function (err_wr) { //try
140                     to configure
141                     if (err_wr) { //if error
142                       debug(err_wr);
143                     }
144                   else { //if ok
145                     ioStatus.newPwm(); //indicates one more pin is
146                     configured as PWM
147                     if (ioStatus.cfgok == ioStatus.total) { //if all
148                       pins are already configured
149                       //interval = setInterval(function () { ioTest
150                         () }, 5000); //then start the blinking
151                         test very slow
152                         debug(ioStatus.gpio + " pins as GPIO, " +
153                           ioStatus.pwm + " as PWM, " +
154                           ioStatus.analog + " as ANALOG, " +
155                           ioStatus.interrupt + " as INTERRUPT");
156                         }
157                       }
158                     }
159                   }
160                 }
161               }
162             }
163           }
164         }
165       }
166     }
167   }
168 }
```

```

125             ioStatus.analog + " as ANALOG, " +
126             ioStatus.interrupt + " as INTERRUPT");
127         }
128     });
129 }
130 }
131
132 //everyone is output
133 //get all the object keys as vector and use it to access
134 //all the object keys
135 //).call(all_io[all_io_objects[i]].id,i); //passes pin as "
136 //this" and index as pinIndex, only works properly in
137 //strict mode
138 }
139 };
140
141 module.exports.ioTest = function () {
142     /*This function do some blinking thing, it should be called
143      inside setInterval(),like:
144      setInterval(ioTest, interval); //period = interval*IOpins =
145      500ms*9 = 4.5s*/
146     var on_count = 0; //number of io turned b.HIGH
147     var last_on; //number of last io b.HIGH
148
149     for(var i = 0; i < all_io_objects.length; i++){ //check all
150         if(all_io[all_io_objects[i]].state == b.HIGH){ //if HIGH
151             on_count++; //one more io HIGH
152             last_on = i; //this is the last io HIGH
153         }
154
155         if(on_count == 1){ //if only one IO HIGH
156             if(last_on == 8){ //if last pin is the one HIGH
157                 //debug('Activating pin 0');
158                 all_io[all_io_objects[last_on]].state = b.LOW; //turn it
159                 LOW
160                 all_io[all_io_objects[0]].state = b.HIGH; //and next one
161                 HIGH, which means the first
162                 b.digitalWriteSync(all_io[all_io_objects[last_on]].id,
163                     all_io[all_io_objects[last_on]].state);
164                 b.digitalWriteSync(all_io[all_io_objects[0]].id, all_io
165                     [all_io_objects[0]].state);
166             }
167             else{ //if any pin but the last is the one HIGH
168                 //debug('Activating pin ' + (last_on+1));
169                 all_io[all_io_objects[last_on]].state = b.LOW; //turn it
170                 LOW
171                 all_io[all_io_objects[last_on+1]].state = b.HIGH; //and
172                 next one HIGH
173                 b.digitalWriteSync(all_io[all_io_objects[last_on]].id,
174                     all_io[all_io_objects[last_on]].state);
175                 b.digitalWriteSync(all_io[all_io_objects[last_on+1]].id
176                     , all_io[all_io_objects[last_on+1]].state);
177             }
178         }
179     }
180     else{ //if there is more than one IO HIGH
181         for(i = 1; i < all_io_objects.length; i++) {

```

```

168     all_io[all_io_objects[i]].state = b.LOW; //turn all but
169     first LOW
170     b.digitalWriteSync(all_io[all_io_objects[i]].id, all_io
171         [all_io_objects[i]].state);
172     }
173     all_io[all_io_objects[0]].state = b.HIGH; //turn first
174     HIGH
175     b.digitalWriteSync(all_io[all_io_objects[0]].id, all_io[
176         all_io_objects[0]].state);
177     }
178     }
179     function collect() {//function concat objects
180         var ret = {};//the new object
181         var len = arguments.length;//the total number of objects
182             passed to collect
183         for (var i=0; i<len; i++) {//do it for every object passed
184             for (var p in arguments[i]) {//iterate the i-eth object
185                 passed
186                 if (arguments[i].hasOwnProperty(p)) {//whenever there
187                     is a property
188                     ret[p] = arguments[i][p];//add the property to the
189                         new object
190                 }
191             }
192         }
193         return ret;
194     }

```

Código-fonte C.2: Módulo de gerenciamento de GPIO e PWM

C.3 Módulo de roteamento do servidor web

```

1 'use strict';
2
3 var debug = require('debug')('routes');
4 var exec = require('child_process').exec;
5 var fs = require('fs');
6 var gpioCfg = require('./gpio_cfg.js');
7 var log = require('./log_check_misc.js');
8 var ctrl = require('./ctrl.js');
9
10 module.exports.controlRoute = function (req, res) {
11     var serverResponse = {command:req.body.command, btn:req.
12         body.btn, val:req.body.val};
13     var command = req.body.command, pin = req.body.btn, val =
14         req.body.val;
15
16     if(command == "pinSwitch"){//if command passed by client is
17         to switch a pin configuration
18         gpioCfg.changeStatusIO(pin, val);//change the IO status
19             according to the data received
20         res.send(serverResponse);//echo the received data to the
21             server
22     }

```

```

18  else if(command == "getStatus") {
19      global.environmentVariables.ioStatus = gpioCfg.all_io; // 
20          all of the pins status
21      res.send(global.environmentVariables);
22  }
23
24 module.exports.startrecipeRoute = function (req, res) {
25     var serverResponse = {resp:"success"};
26     var command = req.body.command;
27     debug("Command: " + command);
28     var recipesPath = "./recipes"; //path to the recipes
29         directory
30     var bkpFile = "./datalog/backup.log"; //path to the backup
31         logs file
32     var lockFile = "./datalog/lockfile"; //file that tells if
33         recipe is running
34     var recipeName ;
35     if(command == "getRecipes"){//if command passed by client
36         is to get the recipe names
37         log.sendRecipeNames(recipesPath, res); //get it and return
38             to the client
39     }
40     else if(command == "startRequest"){//if the client wants to
41         start a recipe
42         recipeName = req.body.recipe + ".recipe"; //get the recipe
43             name
44         log.checkRecipeIntegrity(recipeName, recipesPath, res);
45     }
46     else if(command == "startRecipe"){//start the recipe;
47         should only be requested after the "startRequest"
48         command
49         recipeName = req.body.recipe + ".recipe"; //recipe name
50             sent from the client
51         ctrl.startMashingProcess(recipeName, res, lockFile,
52             recipesPath, function(err, nextStep){
53             if(err){
54                 debug("Ops, something wrong. It's so annoying that
55                     the error isn't explained here, isn't it?");
56                 return;
57             }
58             debug(nextStep); //here the next step, i.e. controlling
59                 the mash steps, should be called
60         }); //start the production
61     }
62     else if(command == "inProgress"){//checks if there is a
63         recipe running
64         fs.readFile(lockFile, function(err, data){
65             if(err){
66                 serverResponse.resp = "false"; //assumes the error
67                     means no recipe is in progress
68                 res.send(serverResponse);
69             }
70             else{
71                 if(+data == 1){ //if there is a recipe in progress
72                     serverResponse.resp = "true";
73                     fs.readFile(bkpFile, "utf-8", function(err, data){
74

```

```

59         if(err){//if contents of log could not be
60             retrieved
61             serverResponse.recipe = "unknown";//not the
62             best thing to do
63             res.send(serverResponse);
64         }
65     else{
66         var lines = data.trim().split('\n');//separate
67             line by line
68             debug(lines.slice(-1)[0]);
69             var lastLine = lines.slice(-1)[0];//get the
70             last log line
71             var properties = JSON.parse(lastLine);//JSON to
72             object
73             properties.recipe = properties.recipe.replace(".
74                 .recipe", ""); //remove the file extension
75             properties.recipe = properties.recipe.replace(/_
76                 /g, " ");//replace underscores with spaces
77             serverResponse.recipe = properties.recipe;//
78                 send recipe name to the client
79             debug(serverResponse);
80             res.send(serverResponse);
81         }
82     }
83     else{
84         serverResponse.resp = "false";
85         res.send(serverResponse);
86     }
87 }
88 };
89 module.exports.configRoute = function (req, res) {
90     var request = req.body.request;
91     var nd = req.body.newdate;
92     var serverResponse = {datetime:""};
93     if(request == "datetime"){//send the system time/date to
94         the client
95         serverResponse.datetime = Date();
96         res.send(serverResponse);
97     }
98     else if(request == "setdatetime"){//change the system time/
99         date
100        exec('sudo date -s ' + nd + ' | hwclock -w',//execute
101            shell command
102        function(error, stdout, stderr) {
103            debug('stdout: ' + stdout);
104            debug('stderr: ' + stderr);
105            if (error !== null) {//if new date wasn't correctly set
106                debug('exec error: ' + error); //print error
107            }
108        }
109    }
110 }
111 
```

```

105     serverResponse.datetime = "error";//send fail to
106     client
107     res.send(serverResponse);
108 } //if date was correctly set, send ok to client
109 debug("date changed to: " + Date(nd)); //print
110 serverResponse.datetime = "ok";
111 res.send(serverResponse);
112 }
113 );
114 }
115 };
116
117 module.exports.clientrequestRoute = function(req, res) {
118     var command = req.body.command;
119     var serverResponse = {resp:"success"};
120     debug("Client request: " + command);
121     if(command == "startMashRamp"){//set flag to tell ctrl.
122         startMashingProcess() to go to the next step
123         global.environmentVariables.readyForNextStep = true;
124         res.send(serverResponse);
125     }
126     else{
127         serverResponse.resp = "fail";
128     }
129 };

```

Código-fonte C.3: Módulo de roteamento do servidor web

C.4 Módulo de registros e verificações em geral

```

1 'use strict';
2
3 var debug = require('debug')('log');
4 var fs = require('fs');
5 var spawn = require("child_process").spawn;
6
7 //variables
8 var temperatureLogHandler; //variable to handle the python "log.py" script
9
10 module.exports.startTemperatureLogging = function () {
11     //starts the python script that logs temperature to file
12     //sudo kill $(ps aux | grep log.py | grep -v grep | awk '{ print $2}') //to stop the process from terminal
13     fs.unlink("./datalog/instant.csv", function(err){ //try to
14         delete the old last saved value
15         if(err){ //this may happen if the old log was already
16             deleted
17             debug("file could not be deleted!"); //probably nothing
18             to worry about
19         }
20     //start the logging process anyway
21 };

```

```

18     temperatureLogHandler = spawn("python", ["/home/debian/
19         brewing/log_test.py"]); //starts to log
20     debug("Temperature logging started!");
21     temperatureLogHandler.on('close', function(code, signal) {
22         debug("Temperature logging stopped!");
23     });
24 };
25
26 module.exports.stopTemperatureLogging = function() {
27     debug("Stopping the temperature logging!");
28     temperatureLogHandler.kill('SIGHUP'); //kill the process
29         and stop logging
30 };
31 module.exports.getTemperatureReading = function (logFilePath,
32     logReadHandler, callback){
33 //    var logReadHandler = {
34 //        lastValidTemperature: 0,//the last valid temperature
35 //        reading (defaults to zero, not the better solution)
36 //        lastReadingsTimestamp: [0, 0, 0, 0, 0, 0],//last 5
37 //        timestamps, to check if readings are going ok
38 //        errorCount: 0//counts the file reading errors
39 //    };
40     fs.readFile(logFilePath, "utf-8", function(err, data){ ///
41         gets the most recent temperature reading
42         var parsedData ;//variable to hold the relevant data (
43             temperature and its timestamp)
44         var callbackError;
45         if(err){//could not read temperature
46             logReadHandler.errorCount++; //increment the errorCount
47                 variable
48             if(logReadHandler.errorCount >= 180){ //180 arbitrarily
49                 chosen - it is 5% of 1 hour logging readings
50                 //oh my god thigs are bad! User, you must take over
51                 from here
52                 callbackError = "Too many temperature reading errors,
53                     something may be going awry!";
54                 debug("Too many temperature reading errors, something
55                     may be going awry!");
56                 callback(err, null);
57             }
58         }
59         else{
60             callbackError = "Single wrong reading, nothing to
61                 worry yet.";
62             debug("Single wrong reading, nothing to worry yet.");
63             callback(err, null);
64         }
65     }
66     else{//if temperature reading from file was successful
67         parsedData = data.trim().split('\n').slice(-1)[0].split
68             (',');
69         if((parsedData[0] == "temperature") || (typeof
70             parsedData[0] != "string") || isNaN(+parsedData[0]))
71             {//wrong reading beacuse of wrong logging
72             debug("Wrong temperature reading: " + parsedData[0]);
73             parsedData[0] = logReadHandler.lastValidTemperature;
74                 //then use the last valid temperature reading
75         }
76     }
77 }
78

```

```

59     logReadHandler.errorCount++; //increment the
60         errorCount variable
61     if(logReadHandler.errorCount >= 180){ //180
62         arbitrarily chosen - it is 5% of 1 hour logging
63         readings
64         //oh my god thigs are bad! User, you must take over
65         from here
66         callbackError = "Too many temperature reading
67             errors, something may be going awry!";
68         debug("Too many temperature reading errors,
69             something may be going awry!");
70         callback(err, null);
71     }
72     else{
73         callbackError = "Single wrong reading, nothing to
74             worry yet.";
75         debug("Single wrong reading, nothing to worry yet.");
76         callback(err, null);
77     }
78 }
79 else{
80     parsedData[0] = +parsedData[0]; //string to number
81     logReadHandler.lastValidTemperature = +parsedData[0];
82         //save the last valid temperature reading
83 }
84 logReadHandler.lastReadingsTimestamp[4] = parsedData
85     [1]; //updates last temperature reading timestamp
86 for(var i = 0; i < 4; i++){ //updates the older
87     timestamps also
88     logReadHandler.lastReadingsTimestamp[i] =
89         logReadHandler.lastReadingsTimestamp[i+1];
90 }
91 if(logReadHandler.lastReadingsTimestamp[0] >=
92     logReadHandler.lastReadingsTimestamp[4]){ //if the
93     reading is the same within 4s
94     //hey user check this, because something may be going
95     awry!
96     callbackError = "Log not updating, check temperature
97         probe connection!";
98     debug("Log not updating, check temperature probe
99         connection!");
100    logReadHandler.errorCount++; //increment the
101        errorCount variable
102    if(logReadHandler.errorCount >= 180){ //180
103        arbitrarily chosen - it is 5% of 1 hour logging
104        readings
105        //oh my god thigs are bad! User, you must take over
106        from here
107        callbackError = "Too many temperature reading
108            errors, something may be going awry!";
109        debug("Too many temperature reading errors,
110            something may be going awry!");
111    }
112    callback(err, null);
113 }
114 else{ //then we can act in order to get to the
115     temperature setpoint

```

```

93     //callback second argument is the temperature
94     callback(null, parsedData[0]); //successfully got the
95         temperature reading
96     }
97   );
98 };
99
100 module.exports.checkRecipeIntegrity = function (recipe, path,
101   res) {
102   var serverResponse = {resp: "success", warn: "", err: ""};
103   //tells the client if everything is ok
104   var recipeContents ;
105   global.environmentVariables.recipe = recipe; //save the
106     recipe name
107   fs.readFile(path + "/" + recipe, function(err,
108     recipeFileContents){
109     var okToStartFlag = 1;
110     if(err){//if file contents could not be retrieved
111       serverResponse.resp = "couldntReadFile"; //tells the
112         client
113       res.send(serverResponse);
114     }
115     else{//if file was successfully read
116       fs.readFile("./datalog/lockfile", function(err,
117         lockFileContents){
118         if(err){//if lockfile could not be read for some
119           reason
120           serverResponse.resp = err;
121           //res.send(serverResponse);
122           okToStartFlag = 0; //unable to start the recipe
123           debug("couldn't read lockfile, unable to start
124             recipe.");
125           return;
126         }
127         if(+lockFileContents == 0){ //if there is no recipe in
128           progress
129           debug("ready to rock!");
130           recipeContents = recipeFileContents.toString("UTF8")
131             .split("\n"); //split contents to array
132           for(var i = 0; i < recipeContents.length; i++){ //
133             get only the relevant data
134             recipeContents[i] = recipeContents[i].split(' ')
135               [1];
136             if(!recipeContents[i]){//if some recipe line is
137               blank
138               switch(i){ //and this line is important, then:
139                 case 0://recipe name not set (warning)
140                   serverResponse.warn += "nome da receita; ";
141                   break;
142                 case 1://beer style not set (warning)
143                   serverResponse.warn += "estilo; ";
144                   break;
145                 case 2://beer yeast not set (warning)
146                   serverResponse.warn += "levedura; ";
147                   break;
148                 case 3://mash water not set (error)
149               }
150             }
151           }
152         }
153       }
154     }
155   }
156 }
```

```

136         serverResponse.err += "água de brassagem; "
137         ;
138         global.environmentVariables.okToStart =
139             false;
140         okToStartFlag = 0;
141         break;
142     case 4://sparging water not set (warning)
143         serverResponse.warn += "água de sparging; "
144         ;
145         break;
146     case 5://sparging water temperature not set (
147         warning)
148         serverResponse.warn += "temperatura de
149             sparging; ";
150         break;
151     case 6://boiling time not set (error)
152         serverResponse.err += "tempo da fervura; ";
153         global.environmentVariables.okToStart =
154             false;
155         okToStartFlag = 0;
156         break;
157     case 7://mash initial temperature not set (
158         error)
159         serverResponse.err += "temperatura inicial
160             de brassagem; ";
161         global.environmentVariables.okToStart =
162             false;
163         okToStartFlag = 0;
164         break;
165     case 8://mash first step not set (error)
166         serverResponse.err += "primeiro degrau de
167             temperatura; ";
168         global.environmentVariables.okToStart =
169             false;
170         okToStartFlag = 0;
171         break;
172     case 24://malt 1 not set (error)
173         serverResponse.err += "malte 1; ";
174         global.environmentVariables.okToStart =
175             false;
176         okToStartFlag = 0;
177         break;
178     case 25://malt 1 quantity not set (error)
179         serverResponse.err += "quantidade do malte
180             1; ";
181         global.environmentVariables.okToStart =
182             false;
183         okToStartFlag = 0;
184         break;
185     case 40://hop 1 not set (error)
186         serverResponse.err += "lúpulo 1; ";

```

```

178         global.environmentVariables.okToStart =
179             false;
180         okToStartFlag = 0;
181         break;
182     case 41://hop 1 quantity not set (error)
183         serverResponse.err += "quantidade do lúpulo
184             1; ";
185         global.environmentVariables.okToStart =
186             false;
187         okToStartFlag = 0;
188         break;
189     case 42://hop 1 adding time not set (error)
190         serverResponse.err += "tempo de adição do
191             lúpulo 1; ";
192         global.environmentVariables.okToStart =
193             false;
194         okToStartFlag = 0;
195         break;
196     }
197 }
198 if(okToStartFlag){//if recipe can be started
199     global.environmentVariables.okToStart = true;//
200         add this info to the global variables
201     }
202     logToFile("request to start production", 0, "start"
203         );
204     res.send(serverResponse); //answer to the client (
205         may have error msg or not)
206     debug(serverResponse);
207 }
208 else{//there is a recipe in progress, cannot start
209     //okToStartFlag = 0;
210     serverResponse.resp = "recipe in progress. Unable
211         to start mashing";
212     res.send(serverResponse); //answer error to the
213         client
214     }
215 }
216 }
217 }
218 }
219 
```

var logToFile = module.exports.logToFile = **function** (message,
code, notableTimestamp){
var d = **new** Date();
var logTime = d.getTime();
var dataToSave ;
var logFile = "./datalog/backup.log";//path to the backup
logs file
global.environmentVariables.msg = message;//explanatory
message to be logged
global.environmentVariables.code = code;//code referring to
the message
global.environmentVariables.timestamps.curr = logTime;//
logs the request to start recipe timestamp
if(notableTimestamp **in** global.environmentVariables.
timestamps){//checks if variable is declared

```

220     debug(notableTimestamp + " is declared. Logging notable
221         timestamp");
222     global.environmentVariables.timestamps[notableTimestamp]
223         = logTime;
224 }
225 //global.environmentVariables.ioStatus = gpioCfg.all_io;//
226 // all of the pins status
227 //the above commented line may not be needed since the main
228 // script attributes one variable to the other
229 //and so one variable points to the other, not needing to
230 // refresh it. *They are pointers, not values!
231 dataToSave = JSON.stringify(global.environmentVariables) +
232     "\n";
233 debug(global.environmentVariables.msg + " - code: " +
234     global.environmentVariables.code + " - auto: " + global.
235     environmentVariables.auto);
236 if(code == 0){//if it is the first line to be logged,
237     // overwrite log file
238     fs.writeFile(logFile, dataToSave, function(err){//
239         // overwrite previous backup
240         if(err){//if was unable to log to the file
241             debug("could not write to the backup file!");//well
242                 my friend, you're on your own!
243         }
244         else{
245             debug("backup log started!");
246         }
247     });
248 }
249
250 module.exports.sendRecipeNames = function (path, res){//try
251     // to read files in directory
252     fs.readdir(path, function(err, files){
253         var deletedIndexes = new Array();// variable that holds
254             the indexes of the deleted recipes
255         var serverResponse = {resp:"success"};
256         if(err){//if something is wrong
257             debug(err);//print the error
258             serverResponse.resp = "error";
259             serverResponse.recipes = err;
260         }
261         else{
262             for(var i = 0; i < files.length; i++){//iterate the
263                 array of names

```

```
261     if(files[i].indexOf(".del") > 0) { //if the server  
262         reads a deleted file  
263         deletedIndexes.push(i);  
264     }  
265     files[i] = files[i].replace(".recipe", ""); //remove  
266     the file extension  
267     files[i] = files[i].replace(/_/g, " "); //replace  
268     underlines with spaces  
269 }  
270 for(i = (deletedIndexes.length)-1; i >= 0; i--) { //  
271     iterate the array of deleted recipes  
272     //debug("index: " + deletedIndexes[i]);  
273     files.splice(deletedIndexes[i],1); //deletes the file  
274     name from the array  
275 }  
276 debug("deleted recipes indexes: " + deletedIndexes);  
serverResponse.recipes = files;  
res.send(serverResponse); //send the recipes if successful  
, otherwise sends the error  
}); //get it and return to the client
```

Código-fonte C.4: Módulo de registros e verificações em geral

C.5 Módulo de controle do processo de brassagem

```
1 'use strict';  
2  
3 var debug = require('debug')('ctrl');  
4 var fs = require('fs');  
5 var b = require('octalbonescript');  
6 var gpioCfg = require('./gpio_cfg.js');  
7 var log = require('./log_check_misc.js');  
8  
9 module.exports.startMashingProcess = function (recipe, res,  
10   lockFile, recipesPath, callback){  
/*Starts the mashing process, checking if everything is in  
11   order, starting  
the temperature logging and the heating of the mash water.  
12   The callback function is passed as callback to the  
   heatMashWater function*/  
13   var serverResponse = {resp:"success"};  
14   var recipeContents ;  
15   if(global.environmentVariables.okToStart){ //first check is  
     if the recipe is ok to start  
16     if(recipe == global.environmentVariables.recipe){ //recipe  
       name should match also  
17       fs.writeFile(lockFile, 1, function(err){ //write to  
         lockfile telling there is a recipe in progress  
18         if(err){  
           serverResponse.resp = "could not write to lockfile"  
           ;  
           res.send(serverResponse);  
           callback(serverResponse.resp,null);  
         }  
       });  
     }  
   }  
};
```

```

22     return;
23   }
24   log.logToFile("production starting", 1); //log to file
25   fs.readFile(recipesPath + "/" + global.
26   environmentVariables.recipe, function(err, data){
27     if(err){ //if file contents could not be retrieved
28       serverResponse.resp = "couldn't read recipe file"
29       ; //tells the client
30       res.send(serverResponse);
31       callback(serverResponse.resp,null);
32       return;
33     } //if file was successfully read
34     log.startTemperatureLogging();
35     recipeContents = data.toString("UTF8").split("\n");
36     //split contents to array
37     for(var i = 0; i < recipeContents.length; i++){ ///
38       //get only the relevant data
39       recipeContents[i] = recipeContents[i].split(' ')
40       [1];
41     }
42     serverResponse.resp = "success"; //tells the client
43     //everything went alright
44     res.send(serverResponse);
45     heatMashWater(recipeContents); //start to heat the
46     //mash water
47     //The callback is called when the heat starts, not
48     //after it finishes
49     callback(null,"Started to heat mash water");
50   });
51 });
52 }
53 else{ //if recipe name doesn't match the one from "
54   startRequest"
55   serverResponse.resp = "failed";
56   res.send(serverResponse);
57   callback(serverResponse.resp,null);
58 }
59
60 function heatMashWater(recipeContents){
61   //heats the mashing water to the starting setpoint
62   var mashSetpoint = recipeContents[7];
63   var instantPath = "./datalog/instant.csv";
64   var lockFile = "./datalog/lockfile"; //file that tells if
65   //recipe is running
66   var reachedSetpoint = false; //var set to true the first
   time the checkpoint is reached
   var logReadHandler = {
     lastValidTemperature: 0, //the last valid temperature
     reading (defaults to zero, not the better solution)
     lastReadingsTimestamp: [0, 0, 0, 0, 0], //last 5
     timestamps, to check if readings are going ok
   }
}

```

```

67     errorCount: 0 //counts the file reading errors
68   };
69   global.heatingPower = 2;
70   global.environmentVariables.tmpMTsetp = mashSetpoint; //  

    stores the setpoints
71   gpioCfg.changeStatusIO("mash_pump", "true"); //turn the  

    recirculation pump on
72   log.logToFile("heating mash water", 2, "startHeating"); //  

    log to file, first time get notable timestamp
73   var logTimer = setInterval(function() { //logs the heating  

    process every ~5s
74     log.logToFile("heating mash water", 2); //log to file
75   }, 5000);
76   var readTmpTimer = setInterval(function() { //read  

    temperature every second
77     debug("Executing temperature control loop[1]");
78     log.getTemperatureReading(instantPath, logReadHandler,
      function(err, temperature){
79       if(err){
80         debug("something went wrong");
81         return;
82     }
83     updateHeatingConditions("MT", mashSetpoint, temperature
      , function(){
84       if(!reachedSetpoint){ //if it is the first time the  

        setpoint is reached
85         debug('Heating of the mash water finished. Now the  

          user must add the grains.');
86         debug("Current temperature = " +
        temperature + "\n"
        + "Reading errors = " +
        logReadHandler.errorCount);
87         reachedSetpoint = true; //holds this information
88         clearInterval(logTimer); //stop the logging
89         log.logToFile("waiting for grains", 3, "  

          finishHeating"); //log to file at least once
90         logTimer = setInterval(function() { //logs that
          system is waiting for user input
91           log.logToFile("waiting for grains", 3); //log to
            file
92         }, 5000);
93       }
94       //while the temperature is above the setpoint, do
95       //nothing - just wait for the user
96     });
97   });
98   //this if must be outside the updateHeatingConditions()  

   call, otherwise recursive behavior mess it up
99   if(global.environmentVariables.readyForNextStep){ //wait
     for the temperature reach setpoint and user add grains
100   global.environmentVariables.readyForNextStep = false; //  

     prepare the flag for the next step request
101   clearInterval(logTimer); //stop the "waiting for grains"  

     logging
102   clearInterval(readTmpTimer); //stop the temperature
     adjusting loop
103   rampControl(recipeContents);
104 }

```

```

105     }, 1000);
106     //just do the next things after the user added the grains
107 }
108
109 function rampControl(recipeContents){
110     var lockFile = "./datalog/lockfile"; //file that tells if
111     // recipe is running
112     var instantPath = "./datalog/instant.csv";
113     var instantBK = "./datalog/instant_bk.csv";
114     var currentSetpointPointer = 1;
115     var finishedRamp = false;
116     var mashSetpoint = recipeContents[8]; //get the first
117     // setpoint
118     var spargeSetpoint = recipeContents[5];
119     var spargeSet = false; // only set this if the sparge
120     // temperature is set
121     var stepTime = 60*1000*recipeContents[9]; //get the first
122     // step rest time in ms
123     global.environmentVariables.tmpMTsetp = mashSetpoint; //
124     // stores the setpoints
125     global.environmentVariables.tmpBKsetp = spargeSetpoint;
126     var logReadHandler = {
127         lastValidTemperature: 0, //the last valid temperature
128         // reading (defaults to zero, not the better solution)
129         lastReadingsTimestamp: [0, 0, 0, 0, 0], //last 5
130         // timestamps, to check if readings are going ok
131         errorCount: 0 //counts the file reading errors
132     };
133     var logReadHandlerBK = {
134         lastValidTemperature: 0, //the last valid temperature
135         // reading (defaults to zero, not the better solution)
136         lastReadingsTimestamp: [0, 0, 0, 0, 0], //last 5
137         // timestamps, to check if readings are going ok
138         errorCount: 0 //counts the file reading errors
139     };
140     if(spargeSetpoint){ //if there is a sparge temperature
141         spargeSet = true; //then assumes there will be sparging
142         // water to heat
143     }
144     fs.writeFile(lockFile, 0, function(err){ //release system to
145         // start new production (for testing purpose only)
146         if(err) return;
147     });
148     debug("Ramp control started!");
149     log.logToFile("mash ramp in progress", 4, "sRamp0"); //log
150     // immediately and hold notable timestamp
151     var logTimer = setInterval(function(){//logs that the mash
152         // ramp is in progress
153         log.logToFile("mash ramp[" + currentSetpointPointer + "]"
154             // in progress", 4); //log to file
155     }, 5000);
156     var readTmpTimer = setInterval(function (){//read
157         // temperature every second
158         debug("Executing temperature control loop[2]");
159         if(global.environmentVariables.readyForNextStep &&
160             currentSetpointPointer < 8){ //if there are still
161             mashing steps

```

```

145     debug("setpoint pointer: " + currentSetpointPointer); //  

146     cannot enter here when currentSetpointPointer == 1  

147     global.environmentVariables.readyForNextStep = false; //  

148     wait for the step to finish before checking next  

149     step  

150     if(recipeContents[8 + 2*currentSetpointPointer]) { //and  

151         the value is not empty  

152         mashSetpoint = recipeContents[8 + 2*  

153             currentSetpointPointer]; //get the new setpoint  

154         stepTime = 60*1000*recipeContents[9 + 2*  

155             currentSetpointPointer]; //get the next step rest  

156             time in ms  

157         global.environmentVariables.tmpMTsetp = mashSetpoint;  

158         //stores the setpoints  

159         debug("Starting next ramp");  

160         clearInterval(logTimer); //stop logging step to log  

161         ramp  

162         log.logToFile("mash ramp in progress", 4, "sRamp" +  

163             currentSetpointPointer); //log immediately and hold  

164             notable timestamp  

165         logTimer = setInterval(function() { //logs that the  

166             mash ramp is in progress  

167             log.logToFile("mash ramp[" + currentSetpointPointer  

168                 + "] in progress", 4); //log to file  

169             }, 5000);  

170     }  

171     else{  

172         //gets here for all the lasting setpoints (br/>
173         currentSetpointPointer <= 7)  

174         global.environmentVariables.readyForNextStep = true;  

175         //ready for the sparging/boil  

176         debug("End of the mash ramps/steps process " +  

177             currentSetpointPointer);  

178     }  

179     currentSetpointPointer++; //increment to point to the  

180     next setpoint  

181 }  

182 else if(global.environmentVariables.readyForNextStep) { //  

183     start the next step, which is sparging or boil  

184     global.environmentVariables.readyForNextStep = false; //  

185     prepare for the next step  

186     gpioCfg.changeStatusIO("mash_heat", "false"); //just to  

187     make sure, turn off heating elements  

188     gpioCfg.changeStatusIO("boil_heat", "false"); //just to  

189     make sure, turn off heating elements  

190     gpioCfg.changeStatusIO("mash_pump", "false"); //also  

191     shutdown the recirculation pump  

192     clearInterval(readTmpTimer); //stop everything, for now  

193     at least  

194     clearInterval(logTimer);  

195     if(spargeSet){ //if there will be sparging, then start  

196         it  

197         spargingControl(recipeContents); //start the sparging  

198             process  

199     }  

200     else{ //goes straight to the boil, without sparging  

201         debug("No sparging: starting the boil process.");  

202         theBoil(recipeContents);  

203     }

```

```

178     }
179 }
180 else { //temperature control code, no need to execute when
181     it is getting the next setpoint
182     log.getTemperatureReading(instantPath, logReadHandler,
183         function(err, temperature) { //read current
184             temperature
185             if(err) {
186                 debug("something went wrong");
187                 return;
188             }
189             updateHeatingConditions("MT", mashSetpoint,
190                 temperature, function() { //control temperature for
191                     current setpoint
192                     if (!finishedRamp) { //if the ramp just reached its
193                         setpoint
194                         //log and save the notable timestamp fRamp
195                         finishedRamp = true;
196                         clearInterval(logTimer); //stop logging ramp to
197                         log step
198                         log.logToFile("mash step[" +
199                             currentSetpointPointer + "] in progress", 5, "
200                             fRamp" + currentSetpointPointer);
201                         logTimer = setInterval(function() { //logs that the
202                             mash ramp is in progress
203                             log.logToFile("mash step[" +
204                                 currentSetpointPointer + "] in progress", 5)
205                                 ; //log to file
206                             }, 5000);
207                         debug('Ramp finished, keeping temperature for the
208                             duration of the step.');
209                         debug("Current temperature = " +
210                             temperature + "\n"
211                             + "Reading errors = " +
212                             logReadHandler.errorCount);
213                     }
214                     if((global.environmentVariables.timestamps.curr -
215                         global.environmentVariables.timestamps["fRamp" +
216                             currentSetpointPointer]) > stepTime) {
217                         //if the step rest is finished
218                         finishedRamp = false;
219                         global.environmentVariables.readyForNextStep =
220                             true; //if setpoint is reached
221                         debug('Step finished, starting next ramp or going
222                             to sparging.');
223                         debug("Current temperature = " +
224                             temperature + "\n"
225                             + "Reading errors = " +
226                             logReadHandler.errorCount);
227                     }
228                     else { //if it is in the middle of a step, heat the
229                         sparging water and tell the user the step time
230                         left
231                         global.environmentVariables.timeLeft = //in
232                             minutes (not round) = total time - elapsed
233                             time
234                         (stepTime - (global.environmentVariables.
235                             timestamps.curr - global.environmentVariables.

```

```

        timestamps["fRamp" + currentSetpointPointer])) /60000;
210    if(spargeSet){//only heat sparging water if there
      is sparging water to heat
211    log.getTemperatureReading(instantBK,
      logReadHandlerBK, function(err, temperature)
      {//read current temperature
212    if(err){
      debug("something went wrong");
      return;
213    }
      updateHeatingConditions("BK", spargeSetpoint,
      temperature, function(){//heat the
      sparging water
214    });
      });
215    });
216  });
217  });
218  });
219  });
220  });
221  });
222  });
223  });
224  },1000);
225}
226
227function spargingControl(recipeContents){
228  //function heavily based in timing. The time it takes for
  the water to flow is pretty predictable.
229  //The time for the mash to drain depends on the recipe,
  hence the mash tun overflow watching device.
230  //Because the pump flow is higher then the drain flow, the
  pump must be controlled to adjust.
231  //The pump must start some time after the drain, so the
  grain bed is almost uncovered by the mash.
232  //Also, in case of overflow, there must be a predefined
  time or time function to wait until the recirculation
  restarts.
233  var logMsg = { notableTimestamp:"startDrain",//if there is
  the need to log a notable timestamp, put its name here
234  message:"sparging in progress",//log message must
  be put here
235  code:6//code identifier
236  };
237  var mashTunOverflow = false;
238  var finishedFirstDrain = false;//should modify to use
  setTimeout instead of setInterval
239  var finishedSpargeTime = false;//should modify to use
  setTimeout instead of setInterval
240  var justAnotherFlag = false;//terrible thing to name a flag
  like this! Hue Hue BR trolling myself from the future
241  //the time setpoints are based on the volume of water used
  in mashing and sparging
242  var drainTimeSetp = 500*recipeContents[3];//time in ms that
  should wait before showering with sparge water
243  var spargeTimeSetp = 3000*recipeContents[4];//time in ms
  that should wait before finishing the process
244  var overflowTimeSetp = 30000;//time to wait before pumping
  the sparge water again

```

```

245  var realSpargeTime = 0; //approximately the time that the
246    recirculation pump is working in ms
247
248  debug("Starting the sparging process");
249  log.logToFile(logMsg.message, logMsg.code, logMsg.
250    notableTimestamp); //log the startDrain notable timestamp
251  var logTimer = setInterval(function() { //log periodically
252    if(logMsg.notableTimestamp){ //if a notable timestamp is
253      set
254      log.logToFile(logMsg.message, logMsg.code, logMsg.
255        notableTimestamp); //log with notable timestamp
256      logMsg.notableTimestamp = ""; //clear the notable
257      timestamp so it doesn't overwrite
258    }
259  } ,5000); //every half second? really? it can be done every 5
260    s without major concerns!
261
262  var overflowTimer = setInterval(function() { //watch
263    periodically for MT overflow
264    if(!mashTunOverflow && global.environmentVariables.
265      ioStatus["led"].state == b.HIGH){ //if MT is about to
266      overflow
267      debug("Overflow detected, pumping on hold");
268      mashTunOverflow = true; //set overflow flag
269      gpioCfg.changeStatusIO("boil_pump", "false"); //stop
270      pumping
271      logMsg.message = "mash tun overflow"; logMsg.code = 7;
272      //log to file that the mash tun is almost
273      overflowing
274      setTimeout(function() { //wait some time before turning
275        the recirculation pump on again
276        mashTunOverflow = false;
277        //gpioCfg.changeStatusIO("boil_pump", "true"); //this
278        is risky since the pump could be already off
279        before overflow
280        debug("Fake overflow OFF for testing purposes");
281        gpioCfg.changeStatusIO("led", "false"); //fake
282        overflow for testing purposes
283        }, overflowTimeSetup);
284      }
285    } ,500);
286
287  gpioCfg.changeStatusIO("mash_valve", "true"); //open the
288    drain valve
289  var spargeTimer = setTimeout(function() { //wait until the
290    first mash drain is finished before spraying sparge
291    water
292    debug("Finished the first drain");
293    logMsg.message = "sparging in progress"; logMsg.code = 6;
294    //log the notable startSparge timestamp
295    logMsg.notableTimestamp = "startSparge";
296    gpioCfg.changeStatusIO("boil_valve", "true"); //open the
297    recirculation valve

```

```

280     gpioCfg.changeStatusIO("boil_pump", "true");//get the
          pump to run, consider some method to control the flow
          rate
281     spargeTimer = setInterval(function(){//must wait for the
          sparge time in a loop because of the overflow check
282     if(!mashTunOverflow){//if there is no overflow
          logMsg.message = "sparging in progress"; logMsg.code
          = 6;//this is just needed after an overflow
284     gpioCfg.changeStatusIO("boil_pump", "true");//this
          is just needed after an overflow
285     realSpargeTime += 500;//add approximately the loop
          time
286     if(realSpargeTime == 500){//fake an overflow to check
          code
287     debug("Fake overflow ON for testing purposes : " +
          realSpargeTime);
288     gpioCfg.changeStatusIO("led", "true");//fake
          overflow for testing purposes
289   }
290   if(realSpargeTime > spargeTimeSetp){//if the running
          time is enough
291     debug("Stopping the sparging process. Waiting for
          the mash to completely drain");
292     gpioCfg.changeStatusIO("boil_valve", "false");//
          close the recirculation valve
293     gpioCfg.changeStatusIO("boil_pump", "false");//stop
          pumping
294     clearInterval(overflowTimer);//from now on there is
          no more overflow risk
295     clearInterval(spargeTimer);//also stop the time
          increment loop
296     setTimeout(function(){//wait for all the mash to
          drain to the BK
297       debug("mash drained, sparging process finished");
298       gpioCfg.changeStatusIO("mash_valve", "false");//
          close the drain valve
299       gpioCfg.changeStatusIO("boil_valve", "false");//
          for security check
300       gpioCfg.changeStatusIO("boil_pump", "false");//
          for security check
301       clearInterval(logTimer);//stop periodic logging
302       //for now, I think there is no problem to call
          the boil here cause the only nested
          //functions are setInterval and setTimeout
303       theBoil(recipeContents);//maybe it is better to
          call this outside the loops?
304     }, 2.5*spargeTimeSetp);
305   }
306 }
307 }
308 }, 500);
309 }, drainTimeSetp);
310 }
311
312 function theBoil(recipeContents){
313   //Straightforward part of the process, no need to do a lot
     of checks, etc
314   //something important is remember the user to remove the
     grains from the MT

```

```

315 //because the chill water will be stored there
316 var boilFlag = false; //set when the boil starts
317 var endBoilTime; //hold the timestamp of when the boil must
318   end
319 var instantBK = "./datalog/instant_bk.csv";
320 var logReadHandlerBK = {
321   lastValidTemperature: 0, //the last valid temperature
322     reading (defaults to zero, not the better solution)
323   lastReadingsTimestamp: [0, 0, 0, 0, 0], //last 5
324     timestamps, to check if readings are going ok
325   errorCount: 0 //counts the file reading errors
326 };
327 debug("Heating wort until it boils");
328 log.logToFile("heating wort to boil", 8, "heatingBoil"); //
329   log the process start
330 var logTimer = setInterval(function() { //log while waiting
331   for the boil
332     log.logToFile("heating wort to boil", 8); //log
333       periodically
334     }, 5000);
335 gpioCfg.changeStatusIO("boil_heat", "true"); //full power
336 var readTmpTimer = setInterval(function() { //read
337   temperature every second
338   var hopAddSetp; //timestamp of when to add the next hop
339   log.getTemperatureReading(instantBK, logReadHandlerBK,
340     function(err, temperature){
341       if(err){
342         debug("something went wrong");
343         return;
344       }
345       if(temperature > 96 && !boilFlag){ //if it is near
346         enough boiling
347         debug("boiling started! Burn, baby, burn!");
348         clearInterval(logTimer); //stop logging code 7
349         log.logToFile("boiling wort", 9, "boilStart"); //log
350           the process start
351         logTimer = setInterval(function() { //log the boil
352           log.logToFile("boiling wort", 9); //log periodically
353         }, 5000);
354         endBoilTime = 60*1000*recipeContents[6] + global.
355           environmentVariables.timestamps.curr; //end of
356             boiling
357         global.environmentVariables.timestamps.
358           boilFinishScheduled = endBoilTime;
359         for(var hopPointer = 0; hopPointer < 8; hopPointer++){
360           //check all possible hop addition times
361           hopAddSetp = 60*1000*recipeContents[42 + 3*
362             hopPointer]; //time from the beginning in ms
363           if(hopAddSetp){ //if there is a next hop to add
364             //this way, if the hops are out of order of
365               addition, it doesn't matter
366             debug("Hop " + recipeContents[40 + 3*hopPointer]
367               + "scheduled to be added in " + hopAddSetp +
368                 " ms");
369             setTimeout(function() { //then add it when it is
370               time
371               debug("Adding hop " + recipeContents[40 + 3*
372                 hopPointer]);

```

```

353         controlHopCompartment(hopPointer + 1);
354         log.logToFile("added hop [" + hopPointer + "]",
355                         10); //log periodically
356     }, hopAddSetp);
357 }
358 }
359 });
360 if(global.environmentVariables.timestamps.curr >
361     endBoilTime){//end of the boil
362     debug("end of the boil");
363     gpioCfg.changeStatusIO("boil_heat", "false"); //shutdown
364     the BK heater
365     controlHopCompartment(0); //close the hops compartment
366     log.stopTemperatureLogging(); //for testing purposes
367 }, 1000);
368 }
369 function controlHopCompartment(pos){ //control the servo to
370     open the hops compartment until requested position
371     //maybe it's better to close everytime a hop is added,
372     think about it!
373     var angle = pos*11.25; //11.25 degree per compartment, if
374     pos=0, close everything
375     gpioCfg.changeStatusIO("servo_pwm", angle); //change the
376     compartment opening
377 }
378
379 function updateHeatingConditions(vessel, setp, temperature,
380     callback){
381     //This function must be called in a loop, every loop
382     interation
383     if(vessel == "mash_heat" || vessel == "MT" || vessel == "mash tun"){
384         vessel = "mash_heat"; //if wants to heat the mash tun
385         global.environmentVariables.tmpMT = temperature; //update
386         the mash tun temperature
387         if(global.environmentVariables.ioStatus["boil_heat"].state == b.HIGH){ //security check
388             gpioCfg.changeStatusIO("boil_heat", "false"); //turn off
389             the other heating element
390             debug("Security shutdown of the BK heater");
391         }
392     }
393     else if(vessel == "boil_heat" || vessel == "BK" || vessel
394         == "brewing kettle" || vessel == "copper"){
395         vessel = "boil_heat"; //if wants to heat the brewing
396         kettle
397         global.environmentVariables.tmpBK = temperature; //update
398         the brewing kettle temperature
399         if(global.environmentVariables.ioStatus["mash_heat"].state == b.HIGH){ //security check
400             gpioCfg.changeStatusIO("mash_heat", "false"); //turn off
401             the other heating element
402             debug("Security shutdown of the MT heater");
403         }
404     }

```

```

393     else//if vessel is unknown
394         callback("unknown vessel");
395         return;//don't even try to heat
396     }
397     debug("Heating power variable: " + global.heatingPower);
398     if(temperature < 0.7*setp){//if temperature is less than
399         0.7 of the setpoint
400         debug(vessel + ": 100% heating power");
401         gpioCfg.changeStatusIO(vessel, "true");//give 100% power
402             to the heating resistor
403     }
404     else if(temperature < 0.9*setp){//if temperature between
405         0.7 and 0.9 of the setpoint
406         debug(vessel + ": 66% heating power");
407         if(global.heatingPower == 0){//give 66% power to the
408             heating resistor
409             gpioCfg.changeStatusIO(vessel, "false");// 1/3 of the
410                 time off
411             global.heatingPower = 2;// heatingPower goes from 0 to
412                 2
413     }
414     else{
415         gpioCfg.changeStatusIO(vessel, "true");// 2/3 of the
416             time on
417             global.heatingPower--;
418     }
419     else if(temperature < setp){//if temperature between 0.9
420         and 1.0 of the setpoint
421         debug(vessel + ": 33% heating power");
422         if(global.heatingPower == 0){//give 33% power to the
423             heating resistor
424             gpioCfg.changeStatusIO(vessel, "true");// 1/3 of the
425                 time on
426             global.heatingPower = 2;// heatingPower goes from 0 to
427                 2
428     }
429     else{
430         gpioCfg.changeStatusIO(vessel, "false");// 2/3 of the
431             time off
432             global.heatingPower--;
433     }
434     else//in this case, the temperature got to the setpoint
435     debug(vessel + ": 0% heating power");
436     gpioCfg.changeStatusIO(vessel, "false");// turn the
437         heating element off
438     callback(null);//choose what to do
439 }

```

Código-fonte C.5: Código-fonte raiz da aplicação em Node.js

Apêndice D

Códigos-fonte da aplicação web

D.1 Módulo PHP que cria a barra de navegação da interface web

```

1 <?php
2     error_reporting(-1); ini_set("display_errors", "On"); //-
3         debug on
4
5     //echo '{"0":"true"}';
6     if(isset($_POST["url"])){//workaround because Express
7         doesn't set http_host and request_uri
8         echo generateHeader();
9     }
10
11    function generateHeader(){
12        if(isset($_POST["url"])){//workaround because Express
13            doesn't set http_host and request_uri
14            $url = parse_url($_POST["url"]);
15            $short_url = $url["path"];
16        }
17        else{
18            $url = parse_url($_SERVER["HTTP_HOST"]); //needed
19            because of the different port used for
20            startrecipe
21            $short_url = $_SERVER["REQUEST_URI"];
22        }
23        $links = array( "' href='http://$url[host]:8587/
24            listrecipe.php'",
25                "' href='http://$url[host]:8587/
26                    startrecipe.php'",
27                "' href='http://$url[host]:8587/stats
28                    .php'",
29                "' href='http://$url[host]:8587/
30                    settings.php'",
31                "' href='http://$url[host]:8587/about
32                    .php'");
33        $selected = "style='background:#595450;' href='#' ";
34
35        switch($short_url){//highlight div and disable click
36            to current page
37            case "/listrecipe.php":
```

```

27         $links[0] = $selected;
28         break;
29     case "/startrecipe.php":
30         $links[1] = $selected;
31         break;
32     case "/stats.php":
33         $links[2] = $selected;
34         break;
35     case "/settings.php":
36         $links[3] = $selected;
37         break;
38     case "/about.php":
39         $links[4] = $selected;
40         break;
41     }
42 // Navbar structure
43 return "
44 <div class='myheader'>
45     <div class='headercell'>
46         <a class='headerlink' $links[0]>receitas</a>
47     </div>
48     <div class='headercell'>
49         <a class='headerlink' $links[1]>brassagem</a>
50     </div>
51     <div class='headercell'>
52         <a class='headerlink' $links[2]>estatísticas
53             </a>
54     </div>
55     <div class='headercell'>
56         <a class='headerlink' $links[3]>configurações
57             </a>
58     </div>
59     <div class='headercell'>
60         <a class='headerlink' $links[4]>sobre</a>
61     </div>
62 </div>";
63 ?>

```

Código-fonte D.1: Módulo PHP que cria a barra de navegação da interface web

D.2 Função que passa a URL da página atual para um módulo em PHP

```

1 function headerPHP(pathToHeader){ //create the header of the
2     page
3     $.post(pathToHeader, {url:document.URL} , function(data,
4         status){ //send the page URL to PHP
5             if(status == "success"){ //if POST is successfull
6                 $('body').prepend($(data)); //add the received
7                     header to the top of the page
8                 $('body').show(); //and displays the hidden page
9                     afterwards
10            });
11        });
12    }

```

Código-fonte D.2: Função que passa a URL da página atual para um módulo em PHP

D.3 Página inicial

```

1 <!DOCTYPE html>
2
3 <head>
4   <title>Hello!</title>
5   <link rel="icon" type="image/png" href="img/beer2.png">
6   <style>
7     html {
8       background-image: url("./img/beer_compiler.png");
9       background-repeat: no-repeat;
10      background-size: cover;
11    }
12    a {
13      position: absolute;
14      top: 0;
15      left: 0;
16      width: 100%;
17      height: 100%;
18    }
19  </style>
20 </head>
21
22 <body>
23   <a href=".about.php"></a>
24 </body></html>
```

Código-fonte D.3: Página inicial da interface web

D.4 Página sobre

```

1 <!DOCTYPE html>
2 <html>
3 <head>
4   <meta charset="UTF-8">
5   <title>About</title>
6   <link href='https://fonts.googleapis.com/css?family=
7     Roboto&subset=latin,latin-ext' rel='stylesheet' type='
8     text/css'>
9   <link rel="stylesheet" type="text/css" href=".css/config
10    .css">
11   <link rel="stylesheet" type="text/css" href=".css/
12     buttons.css">
13   <link rel="icon" type="image/png" href=".img/beer2.png">
14   <script src="https://ajax.googleapis.com/ajax/libs/jquery
15     /1.11.3/jquery.min.js"></script>
16   <script type="text/javascript" src=".lib/header.js"></
17     script>
18   <script>
```

```

13     $(function () { headerPHP("./lib/header.php"); }); // add
           header
14   </script>
15 </head>
16
17 <body style="display:none;">
18   <?php // include './lib/header.php'; echo generateHeader()
19   ();?>
20   <h1>Cervejaria do Futuro</h1>
21   <p>Trabalho de Conclusão de Curso de Engenharia Elétrica
22   - Ênfase em Eletrônica</p>
23   <p>Escola de Engenharia de São Carlos - Universidade de
24   São Paulo (EESC-USP)</p>
25   <p>Professor orientador: Evandro Luís Linhari Rodrigues</
26   p>
27   <p>Aluno: Leonardo Graboski Veiga</p>
28   <ul>
29     <li>Email: leogveiga@gmail.com</li>
30     <li>Github: <a style="font-size:1em;" href="https://
31       github.com/leograbra/final_paper_tcc">https://
32       github.com/leograbra/final_paper_tcc</a></li>
33   </ul>
34
35   <br>
36   <p>Objetivo do Projeto: Desenvolver um sistema inovador
37   de produção de cerveja
38   , fácil de usar, divertido, confiável e disponível em
           qualquer lugar</p>
39
40   <br>
41
42   <p style="font-size:0.75em;">Esta interface foi
43   desenvolvida para ser visualizada em desktop, com o
44   navegador Google Chrome.
45   Outros navegadores e/ou dispositivos móveis podem
46   apresentar problemas de design ou funcionalidade</p>
47 </body>
48 </html>

```

Código-fonte D.4: Página sobre da interface web

D.5 Página de estatísticas

```

1 <html>
2 <head>
3   <meta charset="utf-8" />
4   <!--Many tries to avoid caching this page-->
5   <meta http-equiv="cache-control" content="max-age=0" />
6   <meta http-equiv="cache-control" content="no-cache" />
7   <meta http-equiv="expires" content="0" />
8   <meta http-equiv="expires" content="Tue, 01 Jan 1980
9     1:00:00 GMT" />
10  <meta http-equiv="pragma" content="no-cache" />
11  <title>Temperatura</title>

```

```

12 <link rel="stylesheet" type="text/css" href="./css/config.
13   css">
14 <link rel="stylesheet" type="text/css" href="./css/buttons.
15   css">
16 <link rel="icon" type="image/png" href="./img/beer2.png">
17 <script src="https://ajax.googleapis.com/ajax/libs/jquery
18   /1.11.3/jquery.min.js"></script>
19 <script type="text/javascript" src=".//lib/header.js"></
20   script>
21 <script>
22   $(function () { gambiarraHeaderPHP("./lib/header.php");}); //(
23     add header
24   </script>
25 </head>
26
27 <body style="display:none;">
28   <div id="mytemp">
29     <h2 style="display:inline-block;">Gráfico Dinâmico /
30       Temperatura Agora: </h2>
31     <h2 id="tnow" style="display:inline-block;"></h3>
32   </div>
33   <iframe id="realtime_graph" src=".//dyn_graph2.html" width=
34     "100%" height="100%" frameborder="0"></iframe>
35   <h2>Gráfico do histórico de temperatura</h2>
36   
39   <map name="plot">
40     <area shape="rect" coords="0,0,1300,577" href=".//img/
41       tplot.png" alt="?tplot.png">
42   </map>
43   <br>
44 </body>
45
46 <script>
47 $(function () {
48   //acesso ao iframe
49   //var myFrame = document.getElementById("realtime_graph");
50   //var insideMyFrame = myFrame.contentDocument || myFrame.
51     contentWindow.document;
52   var temperatura = document.getElementById("tnow");
53   var grafico = document.getElementById("static_graph");
54
55   setInterval(function(d){ //atualiza temperatura a cada 1s
56     myFrame = document.getElementById("realtime_graph");
57     insideMyFrame = myFrame.contentDocument || myFrame.
58       contentWindow.document;
59     d = insideMyFrame.getElementById("temp_now").innerHTML;
60     console.log("teste.php - lendo iframe:"+d);
61     console.log(insideMyFrame.getElementById("temp_now") .
62       innerHTML);
63     temperatura.innerHTML = d;
64   },1000); //repete a cada 1000ms
65
66   setInterval(function() { //atualiza grafico estatico a cada
67     2,5min
68     grafico.src = "/tplot.png?" + new Date().getTime();
69   },150000); //repete a cada 2,5min

```

```

56 } );
57 </script>
58 </html>

```

Código-fonte D.5: Página de estatísticas

D.6 Gráfico dinâmico de temperatura

```

1  <!doctype html>
2  <head>
3      <meta charset="utf-8" />
4      <meta http-equiv="cache-control" content="max-age=0" />
5      <meta http-equiv="cache-control" content="no-cache, no-
6          store, must-revalidate" />
7      <meta http-equiv="expires" content="0" />
8      <meta http-equiv="expires" content="Tue, 01 Jan 1980
9          1:00:00 GMT" />
10     <meta http-equiv="pragma" content="no-cache" />
11
12     <link type="text/css" rel="stylesheet" href="http://ajax.
13         googleapis.com/ajax/libs/jqueryui/1.8/themes/base/jquery
14             -ui.css">
15
16     <link type="text/css" rel="stylesheet" href="./rickshaw/src
17             /css/graph.css">
18     <link type="text/css" rel="stylesheet" href="./rickshaw/src
19             /css/detail.css">
20     <link type="text/css" rel="stylesheet" href="./rickshaw/src
21             /css/legend.css">
22     <link type="text/css" rel="stylesheet" href="./rickshaw/
23         examples/css/extensions.css?v=2">
24
25
26     <script src="./rickshaw/vendor/d3.v3.js"></script>
27
28     <script src="https://ajax.googleapis.com/ajax/libs/jquery
29         /1.6.2/jquery.min.js"></script>
30     <script>
31         jQuery.noConflict();
32     </script>
33
34     <script src="https://ajax.googleapis.com/ajax/libs/jqueryui
35         /1.8.15/jquery-ui.min.js"></script>
36
37     <script src=".rickshaw/src/js/Rickshaw.js"></script>
38     <script src=".rickshaw/src/js/Rickshaw.Class.js"></script>
39     <script src=".rickshaw/src/js/Rickshaw.Compat.classList.js
40             "></script>
41     <script src=".rickshaw/src/js/Rickshaw.Graph.js"></script>
42     <script src=".rickshaw/src/js/Rickshaw.Graph.Renderer.js">
43         </script>
44     <script src=".rickshaw/src/js/Rickshaw.Graph.Renderer.Area
45             .js"></script>
46     <script src=".rickshaw/src/js/Rickshaw.Graph.Renderer.Line
47             .js"></script>
48     <script src=".rickshaw/src/js/Rickshaw.Graph.Renderer.Bar.
49             js"></script>

```

```

34   <script src="./rickshaw/src/js/Rickshaw.Graph.Renderer.
35     ScatterPlot.js"></script>
36   <script src="./rickshaw/src/js/Rickshaw.Graph.Renderer.
37     Stack.js"></script>
38   <script src="./rickshaw/src/js/Rickshaw.Graph.RangeSlider.
39     js"></script>
40   <script src="./rickshaw/src/js/Rickshaw.Graph.RangeSlider.
41     Preview.js"></script>
42   <script src="./rickshaw/src/js/Rickshaw.Graph.HoverDetail.
43     js"></script>
44   <script src="./rickshaw/src/js/Rickshaw.Graph.Annotate.js">
45     </script>
46   <script src="./rickshaw/src/js/Rickshaw.Graph.Legend.js"></
47     script>
48   <script src="./rickshaw/src/js/Rickshaw.Graph.Axis.Time.js"
49     ></script>
50   <script src="./rickshaw/src/js/Rickshaw.Graph.Behavior.
51     Series.Toggle.js"></script>
52   <script src="./rickshaw/src/js/Rickshaw.Graph.Behavior.
53     Series.Order.js"></script>
54   <script src="./rickshaw/src/js/Rickshaw.Graph.Behavior.
55     Series.Highlight.js"></script>
56   <script src="./rickshaw/src/js/Rickshaw.Graph.Smoother.js">
57     </script>
58   <script src="./rickshaw/src/js/Rickshaw.Fixtures.Time.js"><
59     /script>
60   <script src="./rickshaw/src/js/Rickshaw.Fixtures.Time.Local
61     .js"></script>
62   <script src="./rickshaw/src/js/Rickshaw.Fixtures.Number.js"
63     ></script>
64   <script src="./rickshaw/src/js/Rickshaw.Fixtures.RandomData
65     .js"></script>
66   <script src="./rickshaw/src/js/Rickshaw.Fixtures.Color.js">
67     </script>
68   <script src="./rickshaw/src/js/Rickshaw.Color.Palette.js"><
69     /script>
70   <script src="./rickshaw/src/js/Rickshaw.Graph.Axis.Y.js"></
71     script>
72
73   <script src="./rickshaw/examples/js/extensions.js"></script
74     >
75 </head>
76 <body>
77 <div id="temp_now" style="display:none;">-</div>
78 <div id="content">
79
80   <form id="side_panel">
81     <!--<h1>Temperatura da Producao</h1>-->
82     <section><div id="legend"></div></section>
83     <section>
84       <div id="renderer_form" class="toggler">
85         <input type="radio" name="renderer" id="area" value=
86           "area" checked>
87         <label for="area">area</label>
88         <input type="radio" name="renderer" id="line" value=
89           "line">
90         <label for="line">linha</label>
91       </div>
92     </section>
93   </form>
94
95 </body>
96 </html>

```

```

70      </section>
71      <section>
72          <div id="offset_form">
73              <label for="stack">
74                  <input type="radio" name="offset" id="stack" value=
75                      "zero" checked>
76                  <span>pilha</span>
77              </label>
78              <label for="value">
79                  <input type="radio" name="offset" id="value" value=
80                      "value">
81                  <span>valor</span>
82              </label>
83          </div>
84          <div id="interpolation_form">
85              <label for="cardinal">
86                  <input type="radio" name="interpolation" id=""
87                      cardinal" value="cardinal" checked>
88                  <span>cardinal</span>
89              </label>
90              <label for="linear">
91                  <input type="radio" name="interpolation" id="linear"
92                      " value="linear">
93                  <span>linear</span>
94              </label>
95              <label for="step">
96                  <input type="radio" name="interpolation" id="step"
97                      value="step-after">
98                  <span>degrau</span>
99              </label>
100         </div>
101     </section>
102     <section>
103         <h6>Smoothing</h6>
104         <div id="smoother"></div>
105     </section>
106     <section>
107         <h6>Mostrar ultimos:</h6>
108         <label for="fiveminutes">
109             <input type="radio" name="maxpoints" id="fiveminutes"
110                 value="300">
111             <span>5 min</span>
112         </label>
113         <label for="thirtyminutes">
114             <input type="radio" name=""
115                 maxpoints" id=""
116                 thirtyminutes" value="1800
117                 ">
118             <span>30 min</span>
119         </label>
120         <label for="onehour">
121             <input type="radio" name=""
122                 maxpoints" id="onehour"
123                 value="3600" checked>
124             <span>hora</span>
125         </label>
126     </section>
127     <section></section>

```

```

117    </form>
118
119    <div id="chart_container">
120        <div id="chart"></div>
121        <div id="timeline"></div>
122        <div id="preview"></div>
123    </div>
124
125</div>
126
127<script>
128
129
130 //preisa ter inicializado os dados na hora de plotar, senao
131 //da erro
132 var seriesData = [[], []];
133 var seriesDataBkp = [[], []];
134 var graph;//o esquema eh declarar essa global, pq vai
135 //modificar dentro de funcao
136 //variaveis para formatar a string da data para o formato
137 //data
138 var fdata = d3.time.format("%a %b %e %X %Y");
139 var dt = new Date();
140 var max_data = 3600;//numero maximo de pontos do grafico
141 //var diff = [0, 0];//diferenca entre os valores atual e
142 //anterior de numero de pontos
143 //var last_size = [0, 0];//tamanho do array anterior
144 var last_data = [];//ultima data lida
145
146 //le o arquivo csv do log e plota o grafico
147 //aqui dentro inicializa tudo
148 d3.csv("./datalog/default.csv", function(data) {//le o
149     arquivo .csv
150     console.log("First read from .csv");
151     data.forEach(function(d){//para cada valor lido, edita os
152         dados
153         d.temperatura = +d.temperatura;//essa string vira numero
154         d.data = +d.data;//essa vira Epoch time
155         for (var i = 0; i < 2; i++){//le para array temporario
156             seriesData[i].push({x:d.data, y:d.temperatura});
157             seriesDataBkp[i].push({x:d.data, y:d.temperatura});
158             last_data[i] = d.data;//ultima data escrita no array
159         } //fim do for
160     });//fim do forEach
161     //limita o numero de dados plotados excluindo das primeiras
162     //posicoes
163     seriesData[0].splice(0,seriesData[0].length-max_data)
164     ;
165     seriesData[1].splice(0,seriesData[1].length-max_data);
166     seriesDataBkp[0].splice(0,seriesData[0].length-
167         max_data);
168     seriesDataBkp[1].splice(0,seriesData[1].length-
169         max_data);
170     lets_plot();//plota o grafico
171     updateit();
172     graph.render();//renderiza pela primeira vez
173     console.log(graph);
174     console.log(seriesData);

```

```

165 //}); //fim do d3.csv
166
167 //loop que le o arquivo csv com a ultima temperatura valida
168 setInterval(function(){//realiza o loop a cada x milisegundos
170   d3.csv("./datalog/instant.csv", function(data) {//le o
     arquivo .csv
171   var current = [];
172   var first_time = 0;
173   var j = [];
174   var con = [];
175   var new_data = [];
176   var last_temp;
177   var last_temp = document.getElementById("temp_now");
178   data.forEach(function(d){//para cada valor lido, edita os
     dados
179     d.temperatura = +d.temperatura;//essa string vira
       numero
180     d.data = +d.data;//essa vira Epoch time
181     for (var i = 0; i < 2; i++){//le para array temporario
       current[i] = {x:d.data, y:d.temperatura};
       new_data[i] = d.data;//ultima data lida
184     }//fim do for
185     last_temp = d.temperatura;//quando acaba o forEach, tem
       a ultima temp
186     console.log(new_data);
187   });//fim do forEach, funcao d
188   document.getElementById("temp_now").innerHTML = last_temp
     +"&degC";//atualiza valor da temp
189   console.log(temp_now);
190   //console.log("ultima:"+last_temp);
191   for (var i = 0; i < 2; i++){//escreve do temporario pro
     fixo
192     if(new_data[i] > last_data[i]){//se a data lida
       eh posterior a ultima data do grafico
193     last_data[i] = new_data[i];//atualiza a ultima data
       do grafico
194
195     if(seriesDataBkp[i].length >= 3600){//backup guarda
       os ultimos 3600 pontos
196
       seriesDataBkp[i].
       splice(0,
       seriesDataBkp[i].
       length-3600);
       seriesDataBkp[i].push
       (current[i]);
198   }
199   else{
200     seriesDataBkp[i].push(current[i]);
201   }
202   if(seriesData[i].length >= max_data){// nunca plota
       mais que o maximo de pontos
203   seriesData[i].splice(0,seriesData[i].length-
       max_data);
204
       seriesData[i].push(
       current[i]);
205   }
206   else{

```

```

207     if(seriesDataBkp[i].length > (seriesData[i].length
208         +1)) { //se mudar escala
209         if(seriesDataBkp[i].length < max_data) { //se tem
210             menos pontos que o maximo
211             j = 0;
212             con =
213                 seriesDataBkp
214                     [i].
215                     length-
216                     seriesData
217                     [i].
218                     length;
219         }
220     }
221     else{
222         j =
223             seriesDataBkp
224                 [i].
225                 length
226                 -
227                 max_data
228         ;
229         con = seriesDataBkp[i].length-seriesData[i].
230             length;
231     }
232     for(; j < con; con--) {
233         seriesData[i].unshift(seriesDataBkp[i][con]); //completa os elementos anteriores
234     }
235     //por exemplo, se a escala estava 300 e vai pra 1800, mas ja
236     tem 500 pontos, adiciona os 200 pontos iniciais que haviam
237     sido excluidos
238     }
239     }
240     else{
241         seriesData[i].push(current[i]);
242     }
243     }
244 }
245 //manda pro console pra debugar
246 console.log(seriesData);
247 graph.update();
248 });
249 //fim do d3.csv
250 //}, 30000); //repete a cada 15 segundos, metade do tempo do
251 //log (30s)
252 }, 600); //repete mais de uma vez por segundo
253
254
255 //lista dos botoes para ajustar numero de pontos do grafico
256 var ultimos = document.forms['side_panel'].elements['
257     maxpoints'];
258 //loop pela lista de botoes
259 for(var i = 0, len = ultimos.length; i < len; i++) {
260     ultimos[i].onclick = function() {
261         max_data = this.value; //muda o valor do numero maximo de
262             pontos
263         console.log("max points changed to max_data"+max_data);
264     }

```

```

243 }
244 // instantiate our graph!
245
246 function lets_plot(){
247   var palette = new Rickshaw.Color.Palette( { scheme: 'cool' } );
248
249   graph = new Rickshaw.Graph( {
250     element: document.getElementById("chart"),
251     width: 650,
252     height: 300,
253     min: 'auto',
254     renderer: 'area',
255     stroke: true,
256     preserve: true,
257     series: [
258       {
259         color: palette.color(),
260         data: seriesData[0],
261         name: 'Temperatura'
262       },
263       {
264         color: palette.color(),
265         data: seriesData[1],
266         name: 'Valvula'
267       }
268     ]
269   });
270
271 //graph.render();
272 }
273
274 function updateit(){
275   var preview = new Rickshaw.Graph.RangeSlider( {
276     graph: graph,
277     element: document.getElementById('preview'),
278   });
279
280   var hoverDetail = new Rickshaw.Graph.HoverDetail( {
281     graph: graph,
282     xFormatter: function(x) {
283       return new Date(x * 1000).toString();
284     }
285   });
286
287   var annotator = new Rickshaw.Graph.Annotate( {
288     graph: graph,
289     element: document.getElementById('timeline')
290   });
291
292   var legend = new Rickshaw.Graph.Legend( {
293     graph: graph,
294     element: document.getElementById('legend')
295   });
296
297   var shelving = new Rickshaw.Graph.Behavior.Series.Toggle( {
298     graph: graph,
299

```

```

300     legend: legend
301   } );
302
303 var order = new Rickshaw.Graph.Behavior.Series.Order( {
304   graph: graph,
305   legend: legend
306 } );
307
308 var highlighter = new Rickshaw.Graph.Behavior.Series.
309   Highlight( {
310   graph: graph,
311   legend: legend
312 } );
313
314 var smoother = new Rickshaw.Graph.Smoother( {
315   graph: graph,
316   element: document.querySelector('#smoother')
317 } );
318
319 var ticksTreatment = 'glow';
320
321 var xAxis = new Rickshaw.Graph.Axis.Time( {
322   graph: graph,
323   ticksTreatment: ticksTreatment,
324   timeFixture: new Rickshaw.Fixtures.Time.Local()
325   //timeFixture: fdata
326 } );
327
328 xAxis.render();
329
330 var yAxis = new Rickshaw.Graph.Axis.Y( {
331   graph: graph,
332   //pixelsPerTick: graph.height/10,
333   tickSize: 10,
334   tickFormat: Rickshaw.Fixtures.Number.formatKMBT,
335   ticksTreatment: ticksTreatment,
336 } );
337
338
339 yAxis.render();
340
341
342 var controls = new RenderControls( {
343   element: document.querySelector('form'),
344   graph: graph
345 } );
346
347 // add some data every so often
348
349 var messages = [
350   "Changed home page welcome message",
351   "Minified JS and CSS",
352   "Changed button color from blue to green",
353   "Refactored SQL query to use indexed columns",
354   "Added additional logging for debugging",
355   "Fixed typo",
356   "Rewrite conditional logic for clarity",

```

```

357     "Added documentation for new methods"
358 ];
359
360 /* setInterval( function() {
361     random.removeData(seriesData);
362     random.addData(seriesData);
363     graph.update();
364 }, 3000 );
365
366 function addAnnotation(force) {
367     if (messages.length > 0 && (force || Math.random() >= 0.95)
368         ) {
369         annotator.add(seriesData[2][seriesData[2].length-1].x,
370             messages.shift());
371         annotator.update();
372     }
373 }
374 addAnnotation(true);
375 setTimeout( function() { setInterval( addAnnotation, 6000 )
376     }, 6000 );
377 var previewXAxis = new Rickshaw.Graph.Axis.Time({
378     graph: preview.previews[0],
379     timeFixture: new Rickshaw.Fixtures.Time.Local(),
380     ticksTreatment: ticksTreatment
381 });
382 previewXAxis.render();*/
383
384
385
386 }
387
388
389 </script>
390
391 </body>

```

Código-fonte D.6: Gráfico dinâmico de temperatura

D.7 Página gerenciadora de receitas da interface web

```

1 <!DOCTYPE HTML>
2 <html>
3     <head>
4         <meta charset="UTF-8">
5         <title>Receitas</title>
6         <script src="https://ajax.googleapis.com/ajax/libs/jquery
7             /1.11.3/jquery.min.js"></script>
8         <link rel="stylesheet" type="text/css" href=".css/config
9             .css">
          <link rel="icon" type="image/png" href=".img/beer2.png">
          <?php

```

```

10     error_reporting(-1); ini_set("display_errors", "On");//  

11         debug on  

12     function listFiles() {  

13         $receitas = scandir("./recipes");//read all recipes  

14         $fileId=0;//help variables  

15         foreach ($receitas as $valor){//iterates over array,  

16             with auto-index  

17             if(strpos($valor,".del") == false){//if file is not  

18                 a backup  

19                 if(strpos($valor,".recipe") !== false){//if  

20                     current file extension is compatible  

21                     //$/filePath="./recipes/".$valor;//caminho ate a  

22                     receita  

23                     //edit the name to human readable:  

24                     $valor = str_replace(".recipe","", $valor);//  

25                     exclude extension  

26                     $nome = str_replace("_"," ",$valor);//all  

27                     underlines -> spaces  

28                     echo "<div id='recipe$fileId'><a class='  

29                     fileList big' href=newrecipe.php?name=$valor  

30                     >$nome<br></a> ";//echo the links to the  

31                     recipes inside identifiable DIV  

32                     //echo "<input id='_valor' class='del' type='  

33                     button' value='X' onClick='deleteRecipe(this  

34                     );'></div>";//create identifiable delete  

35                     button  

36                     echo "<input id='$valor' class='del' type='  

37                     button' value='X'></div>";//create  

38                     identifiable delete button with recipe name  

39                     as ID  

40                     $fileId++; //increment to set id number of next  

41                     recipe  

42                     }  

43                     }  

44                     }  

45                     }  

46                     ?>  

47                     <script type="text/javascript" src=".//lib/listrecipe.js">  

48                     </script>  

49                     <script type="text/javascript" src=".//lib/header.js"></  

50                     script>  

51                     <script type="text/javascript">  

52                     // POST request using AJAX  

53                     $(function() { //wait for the page to load  

54                         //WANT TO DELETE OR UNDELETE RECIPE  

55                         $(".del").click(function() {//if any del/undo button is  

56                             clicked  

57                             deleteRecipe($(this)); //delete or recover recipe  

58                         });  

59                         //WANT TO CREATE NEW RECIPE  

60                         $("#new_add").click(function addRecipeName() {//if want  

61                             to create recipe  

62                             $(this).hide(); //hide the button to add new recipe  

63                             $(this).siblings().show(200).css("display", "inlin  

64                             e-block"); //show the text input and add button  

65                         });

```

```

46    $( "#new_done" ).click(function addRecipe(){//if name was
47        put and want to create recipe
48        if($("#new_name").val().trim()){//if name is not
49            empty, replace spaces with underscore signs
50            window.location.href = "newrecipe.php?name="+$("#
51                new_name").val().replace(/ /g,"_");
52        }
53    });
54    //RECIPE PREVIEW
55    $(".fileList").mouseover(function(){//if needs to load
56        the recipe
57        recipePreview($(this));//pass its name (through the
58        current element)
59    });
60    $(".fileList").mouseout(function(){//when mouse leaves
61        recipe name
62        $("#preview").hide();
63    });
64    headerPHP("./lib/header.php");//add header
65  
```

</head>

```

67 <body style="display:none;">
68   <h1>Gerenciador de Receitas</h1>
69   <div>
70     <input id="new_add" class="add" type="button" value="
71       Criar nova receita"/>
72     <input id="new_name" class="long" type="text" maxlength
73       ="50" placeholder="Escreva o nome da sua receita"
74       style="display:none;"/>
75     <input id="new_done" class="enter" type="button" value=
76       "+" style="display:none;"/>
77   </div>
78   <div id=status_message style="display:none;">
79     <p style="width:30%;display:inline-block;">Teste</p>
80   </div>
81   <section>
82     <div id="recipeList" style="display:inline-block; width
83       :50%; float:left;">
84       <p>Receitas Cadastradas:<br></p>
85       <?php listFiles();?>
86       <br><br><br><br>
87     </div>
88     <div id="preview" style="display:none; width:50%;
89       float:left; background:#595450; border-radius:10px; "
90       >
91       <p class="prevhead">Nome da Receita:</p><p class="
92         prev" id="nome_da_receita"></p><br>
93       <p class="prevhead">Estilo:</p><p class="prev" id="
94         estilo"></p><br>
95       <p class="prevhead">Levedura:</p><p class="prev" id="
96         levedura"></p><br>
97     </div>
98   </section>
99 </body>
100 
```

```

87 <p class="prevhead">Água de mosturação (l):</p><p
88   class="prev" id="mosto"></p><br>
89 <p class="prevhead">Água de lavagem (l):</p><p class=
90   "prev" id="lavagem"></p><br>
91 <p class="prevhead">Tempo de fervura (min):</p><p
92   class="prev" id="fervura"></p><br>
93 <p class="prevhead">Maltes:</p><p class="prev" id="
94   maltes"></p><br>
95 <p class="prevhead">Lúpulos</p><p class="prev" id="
  lupulos"></p>
  </div>
</section>
</body>
</html>

```

Código-fonte D.7: Página gerenciadora de receitas da interface web

D.8 Funcões auxiliares do gerenciador de receitas

```

1 function deleteRecipe(element){//if any del/undo button is
2   clicked
3   //var recipeId = $(this).parent().attr("id");//save the
4   //parent ID so it can be used in callback if necessary
5   var btnId = $(element).attr("id");//save the button ID too
6   var whatToDo = "undo";//variable points which action should
7   //take, by default undo
8   if($(element).attr("value") == "X"){//if intends to delete
9     the recipe
10    whatToDo = "delete";//points it should be deleted
11  }
12  //http POST request, to file deletereceipt.php, sends the
13  //recipe to be deleted info, and callback on success
14  $.post("./lib/deletereceipt.php", {recipe:btnId, stat:
15    whatToDo}, function(data, status){
16    if(data == 0 && whatToDo == "delete"){//check if recipe
17      was successfully deleted
18      $("#"+btnId).attr("value", "desfazer");//the user have
19      the option to undelete the recipe
20    }
21    else if(data == 0 && whatToDo == "undo"){//check if
22      recipe was successfully deleted
23      $("#"+btnId).attr("value", "X");//the user have the
24      option to undelete the recipe
25    }
26    else{//tell the user there was some error
27      $("#status_message").children("p").text("Receita não
28        foi deletada. Erro " + data);//place status message
29        in HTML hidden paragraph
30      $("#status_message").show(500);//shows the paragraph
31        with the status message with fade-in effect
32    }
33  });
34}

```

```

23 | function recipePreview(element){ //when user put mouse into
24 |     recipe name
25 |     var fileName = $(element).attr("href").split("?")[1].split(
26 |         "=")[1];//get recipe name
27 |     $("#preview").show().css("display","inline-block");
28 |     $.post("./lib/previewrecipe.php", {name:fileName}, function
29 |         (data, status){//request recipe contents to server
30 |             if(status == "success"){
31 |                 $("#preview").children().each(function setNameInHTML(){
32 |                     var idOfElement = $(this).attr("id");
33 |                     $(this).text(data[idOfElement]);//put content inside
34 |                         corresponding HTML element
35 |                     if(idOfElement == "maltes"){//put all malts in the
36 |                         same div
37 |                         $(this).text("");//empty the text inside MALTES
38 |                         if(data["malte" + 1]){//if property is not empty
39 |                             $(this).append(data["malte" + 1].replace(" ", "&
40 |                                 nbsp;"));//append content to MALTES
41 |                         }
42 |                     }
43 |                     if(idOfElement == "lupulos"){//put all malts in the
44 |                         same div
45 |                         $(this).text("");//empty the text inside LUPULOS
46 |                         if(data["lupulo" + 1]){//if property is not empty
47 |                             $(this).append(data["lupulo" + 1].replace(" ", "&
48 |                                 nbsp;"));//append content to LUPULOS
49 |                         }
50 |                         }
51 |                     }
52 |                 });
53 |             }
54 |             else{
55 |                 console.log("oops failed!");
56 |             }
57 |         }, "json");//server return data as JSON encoded
58 |     }
59 |

```

Código-fonte D.8: Funções auxiliares do gerenciador de receitas

D.9 Código HTML do editor de receitas

```

1 <!DOCTYPE HTML>
2 <html>
3 <head>
4   <meta charset="UTF-8">
5   <title>Nova Receita</title>
6   <link rel="stylesheet" type="text/css" href=".//css/config.
    css">
7   <link rel="icon" type="image/png" href=".//img/beer2.png">
8   <script src="https://ajax.googleapis.com/ajax/libs/jquery
    /1.11.3/jquery.min.js"></script>
9   <script type="text/javascript" src=".//lib/newrecipe.js"></
    script>
10  <script type="text/javascript" src=".//lib/header.js"></
    script>
11  <script>
12    $(function () { //wait for the page to load
13      headerPHP("./lib/header.php"); //add the header
14
15      rearrangeAll(); //show all filled fields
16      $("#name").val(getNameFromURL().replace(/_/g, " ")); //
        set the recipe name got from GET
17      $(".myform").focusout(function () { //everytime the form
        focus change
18        rearrange(fieldsToRearrange(event.target.id)); //
          rearrange the part of the form that was changed
19        saveOnDemand($(this)); //save the form
20      });
21
22    });
23  </script>
24 </head>
25
26 <body style="display:none">
27 <h1>Crie ou edite sua receita!</h1>
28 <p id="statusMsg" style="text-align:right;">receita salva</p>
29
30
31 <?php
32   error_reporting(-1); //set debug options on
33   ini_set("display_errors", "On"); //set debug options on
34   require './lib/newrecipe.php'; //file that does the magic, i
     .e. form handling, file saving, etc
35   $all_variables = loadFormData(); //load recipe if there is a
     GET name
36 ?>
37
38 <form class="myform" id="form" name="form" method="post"
  action="<?php echo htmlspecialchars($_SERVER["PHP_SELF"]);?
  ">">
39 <div>
40   <label class="myform long" for="name">Nome da Receita:</
    label>
41   <input class="myform long" type="text" id="name"
     maxlength="50" name="nome_da_receita" readonly>
42 </div>
43 <div>
44   <label class="myform long" for="beerStyle">Estilo da
     Cerveja:</label>

```

```

45   <input class="myform long" type="text" id="beerStyle"
        maxlength="50" name="estilo" value="<?php echo
        $all_variables["estilo"];?>"><span class="error">*<?
        php echo $estiloErr;?></span><br>
46 </div>
47 <div>
48   <label class="myform long" for="yeast">Levedura:</label>
49   <input class="myform long" type="text" id="yeast"
        maxlength="50" name="levedura" value="<?php echo
        $all_variables["levedura"];?>"><span class="error">*<?
        php echo $leveduraErr;?></span><br>
50 </div>
51 <div>
52   <label class="myform long" for="mash_water">Água -
        mosturação(1):</label>
53   <input class="myform long" type="number" id="mash_water"
        min="0" max="50" step="0.5" name="mosto" value="<?php
        echo $all_variables["mosto"];?>"><span class="error">*<?
        php echo $mostoErr;?></span><br>
54 </div>
55 <div>
56   <label class="myform long" for="sparge_water">Água -
        sparging</i> (1):</label>
57   <input class="myform long" type="number" id="sparge_water"
        " min="0" max="50" step="0.5" name="lavagem" value="<?php
        echo $all_variables["lavagem"];?>">
58   <label class="myform short" for="sparge_temp">Temperatura
        :</label>
59   <input class="myform short" type="number" id="sparge_temp"
        " min="0" max="99" step="0.5" name="tlavagem" value="<?php
        echo $all_variables["tlavagem"];?>"><span class=
        "error">*<?php echo $lavagemErr;?></span><br>
60 </div>
61 <div>
62   <label class="myform long" for="boil_time">Fervura do
        mosto(min):</label>
63   <input class="myform long" type="number" id="boil_time"
        min="0" max="300" step="1" name="fervura" value="<?php
        echo $all_variables["fervura"];?>"><span class="error
        ">*<?php echo $fervuraErr;?></span><br>
64 </div>
65
66
67 <h4>Maltes</h4>
68 <div id="mlt1">
69   <label class="myform long" for="nmlt1">Malte 1:</label>
70   <input class="myform long" type="text" id="nmlt1"
        maxlength="25" name="malte1" value="<?php echo
        $all_variables["malte1"];?>">
71   <label class="myform short" for="qmlt1">Quantidade (kg) :</
        label>
72   <input class="myform short" type="number" id="qmlt1" min=
        "0" max="100" step="0.01" name="qtd1" value="<?php
        echo $all_variables["qtd1"];?>"><span class="error">*<?
        php echo $malte1Err;?></span>
73 </div>
74 <div id="mlt2" style="display:none;">
```

```

75   <label class="myform long" for="nmlt2">Malte 2:</label>
76   <input class="myform long" type="text" id="nmlt2"
77     maxlength="25" name="malte2" value="<?php echo
78       $all_variables["malte2"];?>">
79   <label class="myform short" for="">Quantidade (kg):</label>
80   >
81   <input class="myform short" type="number" id="qmlt2" min=
82     "0" max="100" step="0.01" name="qtd2" value="<?php
83     echo $all_variables["qtd2"];?>">
84 </div>
85 <div id="mlt3" style="display:none;">
86   <label class="myform long" for="nmlt3">Malte 3:</label>
87   <input class="myform long" type="text" id="nmlt3"
88     maxlength="25" name="malte3" value="<?php echo
89       $all_variables["malte3"];?>">
90   <label class="myform short" for="qmlt3">Quantidade (kg):</
91     label>
92   <input class="myform short" type="number" id="qmlt3" min=
93     "0" max="100" step="0.01" name="qtd3" value="<?php
94     echo $all_variables["qtd3"];?>">
95 </div>
96 <div id="mlt4" style="display:none;">
97   <label class="myform long" for="nmlt4">Malte 4:</label>
98   <input class="myform long" type="text" id="nmlt4"
99     maxlength="25" name="malte4" value="<?php echo
100      $all_variables["malte4"];?>">
101  <label class="myform short" for="qmlt4">Quantidade (kg):</
102    label>
103  <input class="myform short" type="number" id="qmlt4" min=
104    "0" max="100" step="0.01" name="qtd4" value="<?php
105      echo $all_variables["qtd4"];?>">
106 </div>
107 <div id="mlt5" style="display:none;">
108   <label class="myform long" for="nmlt5">Malte 5:</label>
109   <input class="myform long" type="text" id="nmlt5"
110     maxlength="25" name="malte5" value="<?php echo
111      $all_variables["malte5"];?>">
112  <label class="myform short" for="qmlt5">Quantidade (kg):</
113    label>
114  <input class="myform short" type="number" id="qmlt5" min=
115    "0" max="100" step="0.01" name="qtd5" value="<?php
116      echo $all_variables["qtd5"];?>">
117 </div>
118 <div id="mlt6" style="display:none;">
119   <label class="myform long" for="nmlt6">Malte 6:</label>
120   <input class="myform long" type="text" id="nmlt6"
121     maxlength="25" name="malte6" value="<?php echo
122      $all_variables["malte6"];?>">
123  <label class="myform short" for="qmlt6">Quantidade (kg):</
124    label>
125  <input class="myform short" type="number" id="qmlt6" min=
126    "0" max="100" step="0.01" name="qtd6" value="<?php
127      echo $all_variables["qtd6"];?>">
128 </div>
129 <div id="mlt7" style="display:none;">
130   <label class="myform long" for="nmlt7">Malte 7:</label>
131   <input class="myform long" type="text" id="nmlt7"
132     maxlength="25" name="malte7" value="<?php echo

```

```

107     $all_variables["malte7"];?>">
108     <label class="myform short" for="qmlt7">Quantidade (kg):</
109     label>
110     <input class="myform short" type="number" id="qmlt7" min=
111         "0" max="100" step="0.01" name="qtd7" value="<?php
112         echo $all_variables["qtd7"];?>">
113   </div>
114   <div id="mlt8" style="display:none;">
115     <label class="myform long" for="nmlt8">Malte 8:</label>
116     <input class="myform long" type="text" id="nmlt8"
117         maxlength="25" name="malte8" value="<?php echo
118         $all_variables["malte8"];?>">
119     <label class="myform short" for="qmlt8">Quantidade (kg):</
120     label>
121     <input class="myform short" type="number" id="qmlt8" min=
122         "0" max="100" step="0.01" name="qtd8" value="<?php
123         echo $all_variables["qtd8"];?>">
124   </div>
125
126   <h4>Lúpulos</h4>
127   <div id="lup1">
128     <label class="myform long" for="nlup1">Lúpulo 1:</label>
129     <input class="myform long" type="text" id="nlup1"
130         maxlength="25" name="lupulo1" value="<?php echo
131         $all_variables["lupulo1"];?>">
132     <label class="myform short" for="qlup1">Quantidade (g):</
133     label>
134     <input class="myform short" type="number" id="qlup1" min=
135         "0" max="10000" step="1" name="lqtd1" value="<?php
136         echo $all_variables["lqtd1"];?>">
137     <label class="myform long" for="tlup1">Tempo de adição(
138         min):</label>
139     <input class="myform short" type="number" id="tlup1" min=
140         "0" max="300" step="1" name="tlupulo1" value="<?php
141         echo $all_variables["tlupulo1"];?>"><span class="error
142             ">*<?php echo $lupulo1Err;?></span>
143   </div>
144   <div id="lup2" style="display:none;">
145     <label class="myform long" for="nlup2">Lúpulo 2:</label>
146     <input class="myform long" type="text" id="nlup2"
147         maxlength="25" name="lupulo2" value="<?php echo
148         $all_variables["lupulo2"];?>">
149     <label class="myform short" for="qlup2">Quantidade (g):</
150     label>
151     <input class="myform short" type="number" id="qlup2" min=
152         "0" max="10000" step="1" name="lqtd2" value="<?php
153         echo $all_variables["lqtd2"];?>">
154     <label class="myform long" for="tlup2">Tempo de adição(
155         min):</label>
156     <input class="myform short" type="number" id="tlup2" min=
157         "0" max="300" step="1" name="tlupulo2" value="<?php
158         echo $all_variables["tlupulo2"];?>">
159   </div>
160   <div id="lup3" style="display:none;">
161     <label class="myform long" for="nlup3">Lúpulo 3:</label>
162     <input class="myform long" type="text" id="nlup3"
163         maxlength="25" name="lupulo3" value="<?php echo
164         $all_variables["lupulo3"];?>">

```

```

137   <label class="myform short" for="qlup3">Quantidade(g) :</
138   <input class="myform short" type="number" id="qlup3" min=
139     "0" max="10000" step="1" name="lqtd3" value="<?php
140     echo $all_variables["lqtd3"];?>">
141   <label class="myform long" for="tlup3">Tempo de adicao(
142     min):</label>
143   <input class="myform short" type="number" id="tlup3" min=
144     "0" max="300" step="1" name="tlupulo3" value="<?php
145     echo $all_variables["tlupulo3"];?>">
146 </div>
147 <div id="lup4" style="display:none;">
148   <label class="myform long" for="nlup4">Lupulo 4:</label>
149   <input class="myform long" type="text" id="nlup4"
150     maxlength="25" name="lupulo4" value="<?php echo
151     $all_variables["lupulo4"];?>">
152   <label class="myform short" for="qlup4">Quantidade(g) :</
153   <label>
154   <input class="myform short" type="number" id="qlup4" min=
155     "0" max="10000" step="1" name="lqtd4" value="<?php
156     echo $all_variables["lqtd4"];?>">
157   <label class="myform long" for="tlup4">Tempo de adicao(
158     min):</label>
159   <input class="myform short" type="number" id="tlup4" min=
160     "0" max="300" step="1" name="tlupulo4" value="<?php
161     echo $all_variables["tlupulo4"];?>">
162 </div>
163 <div id="lup5" style="display:none;">
164   <label class="myform long" for="nlup5">Lupulo 5:</label>
165   <input class="myform long" type="text" id="nlup5"
166     maxlength="25" name="lupulo5" value="<?php echo
167     $all_variables["lupulo5"];?>">
168   <label class="myform short" for="qlup5">Quantidade(g) :</
169   <label>
170   <input class="myform short" type="number" id="qlup5" min=
171     "0" max="10000" step="1" name="lqtd5" value="<?php
172     echo $all_variables["lqtd5"];?>">
173   <label class="myform long" for="tlup5">Tempo de adicao(
174     min):</label>
175   <input class="myform short" type="number" id="tlup5" min=
176     "0" max="300" step="1" name="tlupulo5" value="<?php
177     echo $all_variables["tlupulo5"];?>">
178 </div>
179 <div id="lup6" style="display:none;">
180   <label class="myform long" for="nlup6">Lupulo 6:</label>
181   <input class="myform long" type="text" id="nlup6"
182     maxlength="25" name="lupulo6" value="<?php echo
183     $all_variables["lupulo6"];?>">
184   <label class="myform short" for="qlup6">Quantidade(g) :</
185   <label>
186   <input class="myform short" type="number" id="qlup6" min=
187     "0" max="10000" step="1" name="lqtd6" value="<?php
188     echo $all_variables["lqtd6"];?>">
189   <label class="myform long" for="tlup6">Tempo de adicao(
190     min):</label>
191   <input class="myform short" type="number" id="tlup6" min=
192     "0" max="300" step="1" name="tlupulo6" value="<?php
193     echo $all_variables["tlupulo6"];?>">

```

```

165    </div>
166    <div id="lup7" style="display:none;">
167      <label class="myform long" for="nlup7">Lupulo 7:</label>
168      <input class="myform long" type="text" id="nlup7"
169        maxlength="25" name="lupulo7" value="<?php echo
170          $all_variables["lupulo7"];?>">
171      <label class="myform short" for="qlup7">Quantidade (g) :<
172        label>
173      <input class="myform short" type="number" id="qlup7" min=
174        "0" max="10000" step="1" name="lqtd7" value="<?php
175          echo $all_variables["lqtd7"];?>">
176      <label class="myform long" for="tlup7">Tempo de adicao(
177        min):</label>
178      <input class="myform short" type="number" id="tlup7" min=
179        "0" max="300" step="1" name="tlupulo7" value="<?php
180          echo $all_variables["tlupulo7"];?>">
181    </div>
182
183    <h4>Cozimento do mosto</h4>
184    <div id="tp00">
185      <label class="myform long" for="tperaturaini">Temperatura
186        inicial:</label>
187      <input class="myform short" type="number" id="
188        tperaturaini" name="temperaturaini" min="0" max="99"
189        step="0.5" value="<?php echo $all_variables[
190          "temperaturaini"];?>"><span class="error">*<?php echo
191          $tiniErr;?></span>
192    </div>
193    <div id="tp01">
194      <label class="myform long" for="tperatural">Temperatura
195        1:</label>
196      <input class="myform short" type="number" id="tperatural"
197        name="temperatural" min="0" max="99" step="0.5" value=
198        "<?php echo $all_variables["temperatural"];?>">
199      <label class="myform short" for="tmp01">Tempo (min) :<
200        label>
201      <input class="myform short" type="number" id="tmp01" min=
202        "0" step="1" name="temp01" value="<?php echo
203          $all_variables["temp01"];?>"><span class="error">*<?
204            php echo $tempErr;?></span>
205    </div>
206    <div id="tp02" style="display:none;">

```

```

195 <label class="myform long" for="tperatura2">Temperatura
196   2:</label>
197   <input class="myform short" type="number" id="tperatura2"
198     name="temperatura2" min="0" max="99" step="0.5" value
199     ="<?php echo $all_variables["temperatura2"];?>">
200   <label class="myform short" for="tmpo2">Tempo(min):<
201     label>
202   <input class="myform short" type="number" id="tmpo2" min=
203     "0" step="1" name="tempo2" value="<?php echo
204     $all_variables["tempo2"];?>">
205 </div>
206 <div id="tmpo3" style="display:none;">
207   <label class="myform long" for="tperatura3">Temperatura
208   3:</label>
209   <input class="myform short" type="number" id="tperatura3"
210     name="temperatura3" min="0" max="99" step="0.5" value
211     ="<?php echo $all_variables["temperatura3"];?>">
212   <label class="myform short" for="tmpo3">Tempo(min):<
213     label>
214   <input class="myform short" type="number" id="tmpo3" min=
215     "0" step="1" name="tempo3" value="<?php echo
216     $all_variables["tempo3"];?>">
217 </div>
218 <div id="tmpo4" style="display:none;">
219   <label class="myform long" for="tperatura4">Temperatura
220   4:</label>
221   <input class="myform short" type="number" id="tperatura4"
222     name="temperatura4" min="0" max="99" step="0.5" value
223     ="<?php echo $all_variables["temperatura4"];?>">
224   <label class="myform short" for="tmpo4">Tempo(min):<
225     label>
226   <input class="myform short" type="number" id="tmpo4" min=
227     "0" step="1" name="tempo4" value="<?php echo
228     $all_variables["tempo4"];?>">
229 </div>
230 <div id="tmpo5" style="display:none;">
231   <label class="myform long" for="tperatura5">Temperatura
232   5:</label>
233   <input class="myform short" type="number" id="tperatura5"
234     name="temperatura5" min="0" max="99" step="0.5" value
235     ="<?php echo $all_variables["temperatura5"];?>">
236   <label class="myform short" for="tmpo5">Tempo(min):<
237     label>
238   <input class="myform short" type="number" id="tmpo5" min=
239     "0" step="1" name="tempo5" value="<?php echo
240     $all_variables["tempo5"];?>">
241 </div>
242 <div id="tmpo6" style="display:none;">
243   <label class="myform long" for="tperatura6">Temperatura
244   6:</label>
245   <input class="myform short" type="number" id="tperatura6"
246     name="temperatura6" min="0" max="99" step="0.5" value
247     ="<?php echo $all_variables["temperatura6"];?>">
248   <label class="myform short" for="tmpo6">Tempo(min):<
249     label>
250   <input class="myform short" type="number" id="tmpo6" min=
251     "0" step="1" name="tempo6" value="<?php echo
252     $all_variables["tempo6"];?>">

```

```

223   </div>
224   <div id="tpo7" style="display:none;">
225     <label class="myform long" for="tperatura7">Temperatura
226       7:</label>
227     <input class="myform short" type="number" id="tperatura7"
228       name="temperatura7" min="0" max="99" step="0.5" value
229       ="<?php echo $all_variables["temperatura7"];?>">
230     <label class="myform short" for="tmpo7">Tempo(min):<
231       label>
232     <input class="myform short" type="number" id="tmpo7" min=
233       "0" step="1" name="tempo7" value="<?php echo
234       $all_variables["tempo7"];?>">
235   </div>
236   <br><br>
237
238   <input class="myform" type="button" value="Voltar" onClick=
239     "window.location='./listrecipe.php'">
240 </form>
241 </body>
242 </html>

```

Código-fonte D.9: Código HTML do editor de receitas

D.10 Código PHP do editor de receitas

```

1 <?php
2   error_reporting(-1);
3   ini_set("display_errors", "On");
4
5   function test_input($data){
6     //verifica integridade dos dados{
7     $data = trim($data); //exclui caracteres desnecessarios
8     $data = stripslashes($data); //exclui backslashes "\"
9     $data = htmlspecialchars($data); //evita receber codigo
10      malicioso
11    return $data;
12  }
13
14  function requireSalva($variables){
15    //funcao criada soh para poder passar os valores para
16    //salvareceita.php
17    //require 'salvareceita.php';
18    if (!empty($variables["nome_da_receita"])){ //check if
19      recipe has a name

```

```

17     $filename = "/var/www/recipes/"; //absolute PATH to the
18         recipe
19     $filename .= str_replace(" ", "_", $variables["  

20         nome_da_receita"]); //mount the name
21     $filename .= ".recipe"; //add file extension
22 }
23 else{//if there is no name
24     return '{"status":"1","msg":"Erro ao salvar receita!  

25         Sem nome!"}'; //echo error
26 }
27 $s="";
28 foreach($variables as $v){//put one content in each line
29     $s .= serialize($v).PHP_EOL;
30 }
31
32 $result = file_put_contents($filename,$s);
33 if ($result)
34 {return '{"status":"0","msg":"Receita salva!"}';}
35 else {return '{"status":"1","msg":"Erro ao salvar receita  

36         ! Não deu pra gravar!"}';}
37 }
38
39 function requireCarrega (){
40 //funcao que carrega os valores salvos na receita
41 $path= "./recipes/".$_GET["name"].".recipe";
42 $variables = array( "nome_da_receita" => "", "estilo" =>  

43     "", "levedura" => "",  

44     "mosto" => "", "lavagem" => "", "tlavagem" => "", "  

45         fervura" => "", "temperaturaini" => "",  

46     "temperatural1" => "", "tempo1" => "", "temperatura2" =>  

47         "", "tempo2" => "",  

48     "temperatura3" => "", "tempo3" => "", "temperatura4" =>  

49         "", "tempo4" => "",  

50     "temperatura5" => "", "tempo5" => "", "temperatura6" =>  

51         "", "tempo6" => "",  

52     "temperatura7" => "", "tempo7" => "", "temperatura8" =>  

53         "", "tempo8" => "",  

54     "malte1" => "", "qtd1" => "", "malte2" => "", "qtd2" =>  

55         "",  

56     "malte3" => "", "qtd3" => "", "malte4" => "", "qtd4" =>  

57         "",  

58     "malte5" => "", "qtd5" => "", "malte6" => "", "qtd6" =>  

59         "",  

60     "malte7" => "", "qtd7" => "", "malte8" => "", "qtd8" =>  

61         "",  

62     "lupulo1" => "", "lqtd1" => "", "tlupulo1" => "",  

63     "lupulo2" => "", "lqtd2" => "", "tlupulo2" => "",  

64     "lupulo3" => "", "lqtd3" => "", "tlupulo3" => "",  

65     "lupulo4" => "", "lqtd4" => "", "tlupulo4" => "",  

66     "lupulo5" => "", "lqtd5" => "", "tlupulo5" => "",  

67     "lupulo6" => "", "lqtd6" => "", "tlupulo6" => "",  

68     "lupulo7" => "", "lqtd7" => "", "tlupulo7" => "",  

69     "lupulo8" => "", "lqtd8" => "", "tlupulo8" => "",  

70 );
71 //require 'carregareceita.php';
72 if (!empty($path)){
73     $file=fopen($path,"r"); //abre arquivo da receita
74 }

```

```

61     else{
62         echo "Erro ao carregar receita!";
63         return ;
64     }
65     $s = file($path, FILE_IGNORE_NEW_LINES); //le arquivo da
       receita salva
66     $count = 0; //variavel de iteracao
67     foreach($variables as &$v){//apesar de variables ter key
        => value, usar soh value
68         $v = unserialize($s[$count]); //copia um array no
           outro
69         $count++;
70     }
71
72     $result = fclose($file);
73     if (!$result)
74     {echo "Erro ao carregar receita!"}
75     return $variables;
76 }
77
78 function loadFormData(){
79     if (isset($_GET["name"])){ //check if recipe name was
        passed through URL
80         $filename = "recipes/".$_GET["name"].".recipe"; //mount
           the filename with relative PATH
81         if (file_exists($filename)){//if it is the first time
           loading and file exists
82             return requireCarrega(); //then load the file values
83         }
84         else{//not sure if anything should be done here
85
86     }
87 }
88
89 // define variaveis para guardar os dados recebidos e
   verificados
90 $all_variables = array( "nome_da_receita" => "", "estilo"
   => "", "levedura" => "", "mosto" => "", "lavagem" => "", "tlavagem" => "", "
   fervura" => "", "temperaturaini" => "", "temperatural" => "", "tempol" => "", "
   temperatura2" => "", "tempo2" => "", "temperatura3" => "", "tempo3" => "", "
   temperatura4" => "", "tempo4" => "", "temperatura5" => "", "tempo5" => "", "
   temperatura6" => "", "tempo6" => "", "temperatura7" => "", "tempo7" => "", "
   temperatura8" => "", "tempo8" => "", "malte1" => "", "qtd1" => "", "malte2" => "", "
   qtd2" => "", "malte3" => "", "qtd3" => "", "malte4" => "", "qtd4" => "", "
   malte5" => "", "qtd5" => "", "malte6" => "", "qtd6" => "", "
   malte7" => "", "qtd7" => "", "malte8" => "", "qtd8" => "", "
   lupulol" => "", "lqtd1" => "", "tlupulol" => "", "

```

```

102 "lupulo2" => "", "lqtd2" => "", "tlupulo2" => "",  

103 "lupulo3" => "", "lqtd3" => "", "tlupulo3" => "",  

104 "lupulo4" => "", "lqtd4" => "", "tlupulo4" => "",  

105 "lupulo5" => "", "lqtd5" => "", "tlupulo5" => "",  

106 "lupulo6" => "", "lqtd6" => "", "tlupulo6" => "",  

107 "lupulo7" => "", "lqtd7" => "", "tlupulo7" => "",  

108 "lupulo8" => "", "lqtd8" => "", "tlupulo8" => "",  

109 );  

110 $nameErr = $estiloErr = $malte1Err = $lupulo1Err = $tempErr  

111     = $tiniErr = "";  

112 $leveduraErr = $mostoErr = $lavagemErr = $fervuraErr = "";  

113 if ($_SERVER["REQUEST_METHOD"] == "POST") //se recebeu  

114     formulario  

115 {  

116     //echo json_encode($_POST); //echo content recieived for  

117         debug/verification  

118     if (empty($_POST["nome_da_receita"])){//verifica campo  

119         vazio  

120         $nameErr = "Nome eh necessario"; //string indicando o  

121             erro  

122     }  

123     else{//se campo nao esta vazio  

124         $all_variables["nome_da_receita"] = test_input($_POST["  

125             nome_da_receita"]); //testa a integridade do dado  

126         if (!preg_match("/^[a-zA-Z 0-9]*$/",$all_variables["  

127             nome_da_receita"])){//varifica se eh valido  

128             $nameErr = "Somente letras e numeros"; //string  

129                 indicando erro  

130         }  

131         //else {$nameErr = "";} //livre de erro  

132     }  

133     if (empty($_POST["estilo"])){  

134         $estiloErr = "Estilo eh necessario";  

135     }  

136     else{  

137         $all_variables["estilo"] = test_input($_POST["estilo"]);  

138         ;  

139         if (!preg_match("/^[a-zA-Z ]*$/",$all_variables["estilo  

140             "])){  

141             $estiloErr = "Somente letras";  

142         }  

143         //else {$estiloErr = "";}  

144     }  

145     if (empty($_POST["levedura"])){  

146         $leveduraErr = "Levedura eh necessario";  

147     }  

148     else{  

149         $all_variables["levedura"] = test_input($_POST["  

150             levedura"]);  

151         if (!preg_match("/^[a-zA-Z 0-9]*$/",$all_variables["  

152             levedura"])){  

153             $leveduraErr = "Somente letras e numeros";  

154         }  

155         //else {$leveduraErr = "";}  

156     }

```

```

148
149 if(empty($_POST["mosto"])){
150     $mostoErr = "Adicione a quantidade de agua do mosto";
151 }else{
152     $all_variables["mosto"] = test_input($_POST["mosto"]);
153     if (!preg_match("/^([0-9.]+)$/", $all_variables["mosto"])){
154         $mostoErr = "Somente numeros e virgula";
155     }
156     //else {$mostoErr = "";}
157 }
158
159 if(empty($_POST["lavagem"])){
160     $lavagemErr = "Adicione a quantidade de agua";
161 }
162 else{
163     $all_variables["lavagem"] = test_input($_POST["lavagem"]);
164     if (!preg_match("/^([0-9.]+)$/", $all_variables["lavagem"])){
165         $lavagemErr = "Somente numeros e virgula";
166     }
167     //else {$lavagemErr = "";}
168 }
169
170 if(empty($_POST["tlavagem"])){
171     $lavagemErr = "Temperatura eh necessario";
172 }
173 else{
174     $all_variables["tlavagem"] = test_input($_POST["tlavagem"]);
175     if (!preg_match("/^([0-9.]+)$/", $all_variables["tlavagem"])){
176         $lavagemErr = "Somente numeros e virgula";
177     }
178     //else {$lavagemErr = "";}
179 }
180
181 if(empty($_POST["fervura"])){
182     $fervuraErr = "Informe o tempo de fervura do mosto";
183 }
184 else{
185     $all_variables["fervura"] = test_input($_POST["fervura"]);
186     if (!preg_match("/^([0-9.]+)$/", $all_variables["fervura"])){
187         $fervuraErr = "Somente numeros e virgula";
188     }
189     //else {$fervuraErr = "";}
190 }
191
192 if(empty($_POST["malte1"])){
193     $malte1Err = "Adicione, no minimo, Malte 1";
194 }else{
195     $all_variables["malte1"] = test_input($_POST["malte1"]);
196     if (!preg_match("/^([a-zA-Z0-9]+)$/", $all_variables["malte1"]))

```

```

197     {$malte1Err = "Somente letras e numeros";}
198 //else {$malte1Err = "";}
199 }
200
201 if(empty($_POST["qtd1"]))
202 { $malte1Err = "Adicione, no minimo, Malte 1";}
203 else
204 { $all_variables["qtd1"] = test_input($_POST["qtd1"]);
205 if (!preg_match("/^0-9.*$/",$all_variables["qtd1"]))
206 { $malte1Err = "Somente numeros e virgula";}
207 //else {$malte1Err = "";}
208 }
209
210 $all_variables["malte2"] = test_input($_POST["malte2"]);
211 if (!preg_match("/^[a-zA-Z 0-9]*$/",$all_variables["malte2"]))
212 { $malte1Err="Somente letras e numeros";}
213 //else {$malte1Err = "";}
214 $all_variables["qtd2"] = test_input($_POST["qtd2"]);
215 if (!preg_match("/^0-9.*$/",$all_variables["qtd2"]))
216 { $malte1Err="Somente numeros e virgula";}
217 //else {$malte1Err = "";}
218
219 $all_variables["malte3"] = test_input($_POST["malte3"]);
220 if (!preg_match("/^[a-zA-Z 0-9]*$/",$all_variables["malte3"]))
221 { $malte1Err="Somente letras e numeros";}
222 //else {$malte1Err = "";}
223 $all_variables["qtd3"] = test_input($_POST["qtd3"]);
224 if (!preg_match("/^0-9.*$/",$all_variables["qtd3"]))
225 { $malte1Err="Somente numeros e virgula";}
226 //else {$malte1Err = "";}
227
228 $all_variables["malte4"] = test_input($_POST["malte4"]);
229 if (!preg_match("/^[a-zA-Z 0-9]*$/",$all_variables["malte4"]))
230 { $malte1Err="Somente letras e numeros";}
231 //else {$malte1Err = "";}
232 $all_variables["qtd4"] = test_input($_POST["qtd4"]);
233 if (!preg_match("/^0-9.*$/",$all_variables["qtd4"]))
234 { $malte1Err="Somente numeros e virgula";}
235 //else {$malte1Err = "";}
236
237 $all_variables["malte5"] = test_input($_POST["malte5"]);
238 if (!preg_match("/^[a-zA-Z 0-9]*$/",$all_variables["malte5"]))
239 { $malte1Err="Somente letras e numeros";}
240 //else {$malte1Err = "";}
241 $all_variables["qtd5"] = test_input($_POST["qtd5"]);
242 if (!preg_match("/^0-9.*$/",$all_variables["qtd5"]))
243 { $malte1Err="Somente numeros e virgula";}
244 //else {$malte1Err = "";}
245
246 $all_variables["malte6"] = test_input($_POST["malte6"]);
247 if (!preg_match("/^[a-zA-Z 0-9]*$/",$all_variables["malte6"]))
248 { $malte1Err="Somente letras e numeros";}
249 //else {$malte1Err = "";}

```

```

250     $all_variables["qtd6"] = test_input($_POST["qtd6"]);
251     if (!preg_match("/^0-9.*$/",$all_variables["qtd6"]))
252         {$malte1Err="Somente numeros e virgula";}
253     //else {$malte1Err = "";}
254
255     $all_variables["malte7"] = test_input($_POST["malte7"]);
256     if (!preg_match("/^a-zA-Z 0-9.*$/",$all_variables["malte7"]))
257         {$malte1Err="Somente letras e numeros";}
258     //else {$malte1Err = "";}
259     $all_variables["qtd7"] = test_input($_POST["qtd7"]);
260     if (!preg_match("/^0-9.*$/",$all_variables["qtd7"]))
261         {$malte1Err="Somente numeros e virgula";}
262     //else {$malte1Err = "";}
263
264     $all_variables["malte8"] = test_input($_POST["malte8"]);
265     if (!preg_match("/^a-zA-Z 0-9.*$/",$all_variables["malte8"]))
266         {$malte1Err="Somente letras e numeros";}
267     //else {$malte1Err = "";}
268     $all_variables["qtd8"] = test_input($_POST["qtd8"]);
269     if (!preg_match("/^0-9.*$/",$all_variables["qtd8"]))
270         {$malte1Err="Somente numeros e virgula";}
271     //else {$malte1Err = "";}
272
273     if(empty($_POST["lupulol"]))
274         {$lupulol1Err = "Adicione, no minimo, Lupulo 1";}
275     else
276         {$all_variables["lupulol1"] = test_input($_POST["lupulol"]);
277         if (!preg_match("/^a-zA-Z 0-9.*$/",$all_variables["lupulol1"]))
278             {$lupulol1Err = "Somente letras e numeros";}
279         //else {$lupulol1Err = "";}
280     }
281
282     if(empty($_POST["lqtd1"]))
283         {$lupulol1Err = "Adicione, no minimo, Lupulo 1";}
284     else
285         {$all_variables["lqtd1"] = test_input($_POST["lqtd1"]);
286         if (!preg_match("/^0-9.*$/",$all_variables["lqtd1"]))
287             {$lupulol1Err="Somente numeros e virgula";}
288         //else {$lupulol1Err = "";}
289     }
290
291     if(empty($_POST["tlupulol"]))
292         {$lupulol1Err = "Adicione, no minimo, Lupulo 1";}
293     else
294         {$all_variables["tlupulol"] = test_input($_POST["tlupulol"]);
295         if (!preg_match("/^0-9.*$/",$all_variables["tlupulol"]))
296             {$lupulol1Err="Somente numeros";}
297         //else {$lupulol1Err = "";}
298     }
299
300     $all_variables["lupulo2"] = test_input($_POST["lupulo2"]);
;
```

```

301 if (!preg_match("/^[_a-zA-Z0-9]*$/", $all_variables["lupulo2"]))
302     {$lupulo1Err="Somente letras e numeros";}
303 //else {$lupulo1Err = "";}
304 $all_variables["lqtd2"] = test_input($_POST["lqtd2"]);
305 if (!preg_match("/^[_0-9]*$/", $all_variables["lqtd2"]))
306     {$lupulo1Err="Somente numeros e virgula";}
307 //else {$lupulo1Err = "";}
308 $all_variables["tlupulo2"] = test_input($_POST["tlupulo2"]);
309 if (!preg_match("/^[_0-9]*$/", $all_variables["tlupulo2"]))
310     {$lupulo1Err="Somente numeros";}
311 //else {$lupulo1Err = "";}
312
313 $all_variables["lupulo3"] = test_input($_POST["lupulo3"]);
314 if (!preg_match("/^[_a-zA-Z0-9]*$/", $all_variables["lupulo3"]))
315     {$lupulo1Err="Somente letras e numeros";}
316 //else {$lupulo1Err = "";}
317 $all_variables["lqtd3"] = test_input($_POST["lqtd3"]);
318 if (!preg_match("/^[_0-9]*$/", $all_variables["lqtd3"]))
319     {$lupulo1Err="Somente numeros e virgula";}
320 //else {$lupulo1Err = "";}
321 $all_variables["tlupulo3"] = test_input($_POST["tlupulo3"]);
322 if (!preg_match("/^[_0-9]*$/", $all_variables["tlupulo3"]))
323     {$lupulo1Err="Somente numeros";}
324 //else {$lupulo1Err = "";}
325
326 $all_variables["lupulo4"] = test_input($_POST["lupulo4"]);
327 if (!preg_match("/^[_a-zA-Z0-9]*$/", $all_variables["lupulo4"]))
328     {$lupulo1Err="Somente letras e numeros";}
329 //else {$lupulo1Err = "";}
330 $all_variables["lqtd4"] = test_input($_POST["lqtd4"]);
331 if (!preg_match("/^[_0-9]*$/", $all_variables["lqtd4"]))
332     {$lupulo1Err="Somente numeros e virgula";}
333 //else {$lupulo1Err = "";}
334 $all_variables["tlupulo4"] = test_input($_POST["tlupulo4"]);
335 if (!preg_match("/^[_0-9]*$/", $all_variables["tlupulo4"]))
336     {$lupulo1Err="Somente numeros";}
337 //else {$lupulo1Err = "";}
338
339 $all_variables["lupulo5"] = test_input($_POST["lupulo5"]);
340 if (!preg_match("/^[_a-zA-Z0-9]*$/", $all_variables["lupulo5"]))
341     {$lupulo1Err="Somente letras e numeros";}
342 //else {$lupulo1Err = "";}
343 $all_variables["lqtd5"] = test_input($_POST["lqtd5"]);
344 if (!preg_match("/^[_0-9]*$/", $all_variables["lqtd5"]))
345     {$lupulo1Err="Somente numeros e virgula";}
346 //else {$lupulo1Err = "";}
347 $all_variables["tlupulo5"] = test_input($_POST["tlupulo5"]);

```

```

348     if (!preg_match("/^0-9]*$/",$all_variables["tlupulo5"]))
349         {$lupulo1Err="Somente numeros";}
350     //else {$lupulo1Err = "";}
351
352     $all_variables["lupulo6"] = test_input($_POST["lupulo6"])
353     ;
354     if (!preg_match("/^a-zA-Z 0-9]*$/",$all_variables["lupulo6"]))
355         {$lupulo1Err="Somente letras e numeros";}
356     //else {$lupulo1Err = "";}
357     $all_variables["lqtd6"] = test_input($_POST["lqtd6"]);
358     if (!preg_match("/^0-9.]*$/",$all_variables["lqtd6"]))
359         {$lupulo1Err="Somente numeros e virgula";}
360     //else {$lupulo1Err = "";}
361     $all_variables["tlupulo6"] = test_input($_POST["tlupulo6"])
362     );
363     if (!preg_match("/^0-9]*$/",$all_variables["tlupulo6"]))
364         {$lupulo1Err="Somente numeros";}
365     //else {$lupulo1Err = "";}
366
367     $all_variables["lupulo7"] = test_input($_POST["lupulo7"])
368     ;
369     if (!preg_match("/^a-zA-Z 0-9]*$/",$all_variables["lupulo7"]))
370         {$lupulo1Err="Somente letras e numeros";}
371     //else {$lupulo1Err = "";}
372     $all_variables["lqtd7"] = test_input($_POST["lqtd7"]);
373     if (!preg_match("/^0-9.]*$/",$all_variables["lqtd7"]))
374         {$lupulo1Err="Somente numeros e virgula";}
375     //else {$lupulo1Err = "";}
376     $all_variables["tlupulo7"] = test_input($_POST["tlupulo7"])
377     );
378     if (!preg_match("/^0-9]*$/",$all_variables["tlupulo7"]))
379         {$lupulo1Err="Somente numeros";}
380     //else {$lupulo1Err = "";}
381
382     $all_variables["lupulo8"] = test_input($_POST["lupulo8"])
383     ;
384     if (!preg_match("/^a-zA-Z 0-9]*$/",$all_variables["lupulo8"]))
385         {$lupulo1Err="Somente letras e numeros";}
386     //else {$lupulo1Err = "";}
387     $all_variables["lqtd8"] = test_input($_POST["lqtd8"]);
388     if (!preg_match("/^0-9.]*$/",$all_variables["lqtd8"]))
389         {$lupulo1Err="Somente numeros e virgula";}
390     //else {$lupulo1Err = "";}
391
392     if(empty($_POST["temperaturaini"]))
393         {$tiniErr = "Informe a temperatura inicial de cozimento
394         do mosto";}
395     else
396         {$all_variables["temperaturaini"] = test_input($_POST["temperaturaini"]);}
```

```

395     if (!preg_match("/^0-9.*$/",$all_variables["  
temperaturaini"]))  
396         {$stiniErr = "Somente numeros e virgula";}  
397     //else {$stiniErr = ""};  
398 }  
399  
400 if(empty($_POST["temperatural"]))  
401     {$tempErr = "Adicione, no minimo, Temperatura 1";}  
402 else  
403     {$all_variables["temperatural"] = test_input($_POST["  
temperatural"]);}  
404     if (!preg_match("/^0-9.*$/",$all_variables["  
temperatural"]))  
405         {$tempErr = "Somente numeros e virgula";}  
406     //else {$tempErr = ""};  
407 }  
408  
409 if(empty($_POST["tempol"]))  
410     {$tempErr = "Adicione, no minimo, Temperatura 1";}  
411 else  
412     {$all_variables["tempol"] = test_input($_POST["tempol"]);}  
413     if (!preg_match("/^0-9.*$/",$all_variables["tempol"]))  
414         {$tempErr = "Somente numeros";}  
415     //else {$tempErr = ""};  
416 }  
417  
418 $all_variables["temperatura2"] = test_input($_POST["  
temperatura2"]);  
419 if (!preg_match("/^0-9.*$/",$all_variables["  
temperatura2"]))  
420     {$tempErr="Somente numeros e virgula";}  
421 //else {$tempErr = ""};  
422 $all_variables["tempo2"] = test_input($_POST["tempo2"]);  
423 if (!preg_match("/^0-9.*$/",$all_variables["tempo2"]))  
424     {$tempErr="Somente numeros";}  
425 //else {$tempErr = ""};  
426  
427 $all_variables["temperatura3"] = test_input($_POST["  
temperatura3"]);  
428 if (!preg_match("/^0-9.*$/",$all_variables["  
temperatura3"]))  
429     {$tempErr="Somente numeros e virgula";}  
430 //else {$tempErr = ""};  
431 $all_variables["tempo3"] = test_input($_POST["tempo3"]);  
432 if (!preg_match("/^0-9.*$/",$all_variables["tempo3"]))  
433     {$tempErr="Somente numeros";}  
434 //else {$tempErr = ""};  
435  
436 $all_variables["temperatura4"] = test_input($_POST["  
temperatura4"]);  
437 if (!preg_match("/^0-9.*$/",$all_variables["  
temperatura4"]))  
438     {$tempErr="Somente numeros e virgula";}  
439 //else {$tempErr = ""};  
440 $all_variables["tempo4"] = test_input($_POST["tempo4"]);  
441 if (!preg_match("/^0-9.*$/",$all_variables["tempo4"]))  
442     {$tempErr="Somente numeros";}  


```

```

443 //else {$tempErr = "";}
444
445 $all_variables["temperatura5"] = test_input($_POST["temperatura5"]);
446 if (!preg_match("/^[-9.]*$/",$all_variables["temperatura5"])){
447 {$tempErr="Somente numeros e virgula";}
448 //else {$tempErr = "";}
449 $all_variables["tempo5"] = test_input($_POST["tempo5"]);
450 if (!preg_match("/^[-9.]*$/",$all_variables["tempo5"])){
451 {$tempErr="Somente numeros";}
452 //else {$tempErr = "";}
453
454 $all_variables["temperatura6"] = test_input($_POST["temperatura6"]);
455 if (!preg_match("/^[-9.]*$/",$all_variables["temperatura6"])){
456 {$tempErr="Somente numeros e virgula";}
457 //else {$tempErr = "";}
458 $all_variables["tempo6"] = test_input($_POST["tempo6"]);
459 if (!preg_match("/^[-9.]*$/",$all_variables["tempo6"])){
460 {$tempErr="Somente numeros";}
461 //else {$tempErr = "";}
462
463 $all_variables["temperatura7"] = test_input($_POST["temperatura7"]);
464 if (!preg_match("/^[-9.]*$/",$all_variables["temperatura7"])){
465 {$tempErr="Somente numeros e virgula";}
466 //else {$tempErr = "";}
467 $all_variables["tempo7"] = test_input($_POST["tempo7"]);
468 if (!preg_match("/^[-9.]*$/",$all_variables["tempo7"])){
469 {$tempErr="Somente numeros";}
470 //else {$tempErr = "";}
471
472 $all_variables["temperatura8"] = test_input($_POST["temperatura8"]);
473 if (!preg_match("/^[-9.]*$/",$all_variables["temperatura8"])){
474 {$tempErr="Somente numeros e virgula";}
475 //else {$tempErr = "";}
476 $all_variables["tempo8"] = test_input($_POST["tempo8"]);
477 if (!preg_match("/^[-9.]*$/",$all_variables["tempo8"])){
478 {$tempErr="Somente numeros";}
479 //else {$tempErr = "";}
480
481
482 //if(($nameErr === "") and ($estiloErr === "") and (
483 //    $malte1Err === "") and ($lupulolErr === "") and (
484 //    $tempErr === "") and ($stiniErr === "") and (
485 //    $leveduraErr === "") and ($mostoErr === "") and (
486 //    $lavagemErr === "") and ($fervuraErr === "")){
487 if($nameErr === ""){//só não salva se o nome estiver
488 //errado, se for outra coisa, salva mesmo assim
489 $sts = json_decode(requireSalva($all_variables),true);
490 //se nao tem nenhum erro, salva
491 if($estiloErr || $malte1Err || $lupulolErr || $tempErr
492 || $stiniErr || $leveduraErr || $mostoErr || $lavagemErr || $fervuraErr)

```

```

86     $lavagemErr || $fervuraErr) {
87     $sts["msg"] = "Receita salva, mas há campos
88         necessários não preenchidos.";
89 }
90 else{
91     echo "Falha ao salvar, verifique possíveis erros!\n";
92     echo "$nameErr, $estiloErr, $malte1Err, $lupulo1Err,
93         $tempErr, $tiniErr, $leveduraErr, $mostoErr,
94         $lavagemErr, $fervuraErr";
95 }
96 ?>

```

Código-fonte D.10: Código PHP do editor de receitas

D.11 Código javascript do editor de receitas

```

1 function fieldsToRearrange(lastActive){
2     if(lastActive.indexOf("mlt") > 0){//if it was a malt field
3         that changed
4         return "#mlt";//return malt id as string
5     }
6     else if(lastActive.indexOf("lup") > 0){//if it was a hop
7         field that changed
8         return "#lup";//return hop id as string
9     }
10    else{//if it was any other field that changed
11        return "#tpo";//return temperature id string
12    }
13}
14
15function rearrange(catg, line){//rearrange from LINE passed
16    to the last line
17    //the first line should be passed as value zero!
18    var nextLineEmpty = 0;//zero if all next fields are empty
19    var firstLineEmpty =0;//zero if first line is empty, 2 if
20        fully filled
21    if(typeof line === "undefined") {line = 0;}//optional
22        parameter, defaults to zero
23    if(typeof line === "undefined") {return;}//mandatory
24        parameter, should be passed
25    console.log("catg: " + catg + "; line: " + line);
26    line++;//the first line isn't zero indexed
27    console.log("starting line: " + line);
28    /*if(line == -1){//if last call was the last needed call
29        console.log("nothing more to do - the end " + line);
30        return -1;//return success, nothing more to do
31    }*/
32    for(var i = line; i < 8; i++){//do it for all the lines,
33        except the last
34        $(catg + (i)).children("input").each(function
35            checkIfEmpty() {

```

```

28     if($(this).val()){//if input isn't empty
29         if(i == line){//if it is the first line
30             firstLineEmpty++; //tells it isn't empty
31         }
32         else{//if it is one of the next lines
33             if(!nextLineEmpty){//if it is still empty
34                 nextLineEmpty = i;//variable non-zero tells next
35                     non-empty line
36             }
37         }
38     });
39 }
40 console.log("First line - " + firstLineEmpty);
41 console.log("Next line - " + nextLineEmpty);
42 if(!nextLineEmpty){//if all next lines are empty
43     if(!firstLineEmpty){//if a line that wasn't the last
44         filled line is deleted
45         line--;//correct the index, so it points to the last
46         filled line
47     }
48     else if(firstLineEmpty != $(catg + (line+1)).children().length/2){//if last filled line is incomplete
49         $(catg + (line+1)).hide();//do not show the next empty
50         line
51     }
52     else{//but if last filled line is fully filled
53         $(catg + (line+1)).show();//show the next line to the
54         user
55     }
56     for(i = 1; i <= line; i++){//show the non-empty lines
57         $(catg + i).show();
58     }
59     for(i = (line+2); i <= 8; i++){//hide the other empty
60         lines
61         $(catg + i).hide();
62     }
63     console.log("nothing more to do - " + line);
64     return -1;//success, do nothing more
65 }
66 else{//if there are next line(s) not empty
67     if(!firstLineEmpty){//and first line is empty
68         //copy next line value and erase from next line
69         $("#nmlt" + line).val($("#nmlt" + (nextLineEmpty)).val
70             ());
71         $("#nmlt" + (nextLineEmpty)).val("");
72         $("#qmlt" + line).val($("#qmlt" + (nextLineEmpty)).val
73             ());
74         $("#qmlt" + (nextLineEmpty)).val("");
75         console.log("Current line empty rearranged, try next
76             line");
77         rearrange(catg, line);//do it again for the next line
78     }
79     else{//if first line have contents already
80         console.log("Current line not empty, try next line");
81         rearrange(catg, line);//try rearranging next line
82     }
83 }

```

```

76 }
77
78 function rearrangeAll() {
79     rearrange("#mlt");
80     rearrange("#lup");
81     rearrange("#tpo");
82 }
83
84 function getNameFromURL() {
85     var sPageURL = window.location.search.substring(1); //get
86         URL
87     return sPageURL.split('=')[1];
88 }
89
90 function saveOnDemand(element) {
91     console.log($(element));
92     //var dataInput = $(this).serialize();
93     var dataRaw = $(element).serializeArray();
94     var dataInput = {};
95     $.each(dataRaw, function(index, value){ //transform to
96         object with pair key:value
97         //console.log("nome: " + value.name + " valor: " + value.
98             value);
99         dataInput[value.name] = value.value;
100    });
101    $("#statusMsg").text("salvando receita..."); //tell the user
102        that the recipe is being saved
103    $.post("./lib/newrecipe.php", dataInput, function(data,
104        status){ //send form data to php
105        console.log(data);
106        if(status == "success"){ //if could contact server
107            if(data.status == 0){ //if successfully saved
108                $("#statusMsg").text(data.msg);
109            }
110            else{ //otherwise
111                $("#statusMsg").text(data.msg);
112            }
113        }
114    }, "json");
115 }

```

Código-fonte D.11: Código javascript do editor de receitas

D.12 Gerenciador de brassagem

```

1 <!DOCTYPE HTML>
2 <html>
3     <head>
4         <meta charset="UTF-8">
5         <title>Controle</title>
6         <script src="https://ajax.googleapis.com/ajax/libs/jquery
7             /1.11.3/jquery.min.js"></script>

```

```

7   <link rel="stylesheet" href="https://fonts.googleapis.com
8     /icon?family=Material+Icons">
9   <link rel="stylesheet" type="text/css" href="./css/config
10    .css">
11   <link rel="stylesheet" type="text/css" href="./css/
12     buttons.css">
13   <link rel="icon" type="image/png" href="./img/beer2.png">
14     <script type="text/javascript" src="./lib/header.js"></
15       script>
16     <script type="text/javascript" src="./lib/listrecipe.js
17       "></script>
18   <script>
19     checkRecipeInProgress(recipeInProgress); //it may be
20       done before page is loaded, no worries
21       $(function main(){//when document is fully loaded
22         headerPHP("./lib/header.php");
23         getAvailableRecipes("#recipeSel");
24
25         $("input[type='button'][value='iniciar']").click(
26           startRecipeRequest);
27       });
28
29       function checkRecipeInProgress(callback){
30         $.post("/startrecipe", {command:"inProgress"},
31             recipeInProgress, "json");
32
33       }
34
35       function recipeInProgress(data, status){
36         if(status == "success"){//if server responds ok
37           if(data.resp == "true"){//if the recipes are
38             successfully recieved
39             window.location.replace("http://beaglebrewing.
40               servebeer.com:8587/control.php");
41           }
42         }
43
44         function startRecipeRequest(){
45           var recipeName = $("#recipeSel").val().replace
46             (/ /g, "_");
47           $("#previewData").attr("href", "?=" + recipeName); //
48             replace spaces with underscores
49             recipePreview($("#previewData")); //pass its name (
50               through the current element)
51             setTimeout(function(){
52               $.post("/startrecipe", {command:"startRequest",
53                 recipe:recipeName}, function(data, status){//
54                   ask the server for the recipe names
55                   if(status == "success"){//if server responds ok
56                     if(data.resp == "success"){//if the recipes are
57                       successfully recieved
58                       console.log(data);
59                       if(errorWarningHandler(data, "#errors", "#
60                         warnings", "#messages")){//if recipe can
61                           be started
62                           startRecipe(recipeName);
63                         }
64                       }
65                     }
66                   }
67                 );
68               }
69             );
70           }
71
72           function recipePreview(element){
73             element.attr("href", "http://beaglebrewing.servebeer.com:8587/control.php?=" + element.attr("value"));
74           }
75
76           function errorWarningHandler(data, errors, warnings, messages){
77             if(data.error){
78               errors.html(data.error);
79             }
80             if(data.warnings){
81               warnings.html(data.warnings);
82             }
83             if(data.messages){
84               messages.html(data.messages);
85             }
86           }
87
88           function startRecipe(recipeName){
89             $.post("/startrecipe", {command:"startRequest",
90               recipe:recipeName}, function(data, status){//
91                 ask the server for the recipe names
92                 if(status == "success"){//if server responds ok
93                   if(data.resp == "success"){//if the recipes are
94                     successfully recieved
95                     console.log(data);
96                     if(errorWarningHandler(data, "#errors", "#
97                       warnings", "#messages")){//if recipe can
98                         be started
99                         startRecipe(recipeName);
100                        }
101                      }
102                    }
103                  );
104                }
105              );
106            }
107
108            function checkRecipeInProgress(callback){
109              $.post("/startrecipe", {command:"inProgress"},
110                  recipeInProgress, "json");
111
112            }
113
114            function recipeInProgress(data, status){
115              if(status == "success"){//if server responds ok
116                if(data.resp == "true"){//if the recipes are
117                  successfully recieved
118                  window.location.replace("http://beaglebrewing.
119                    servebeer.com:8587/control.php");
120                }
121              }
122            }
123
124            function startRecipeRequest(){
125              var recipeName = $("#recipeSel").val().replace
126                (/ /g, "_");
127              $("#previewData").attr("href", "?=" + recipeName); //
128                replace spaces with underscores
129                recipePreview($("#previewData")); //pass its name (
130                  through the current element)
131                setTimeout(function(){
132                  $.post("/startrecipe", {command:"startRequest",
133                    recipe:recipeName}, function(data, status){//
134                      ask the server for the recipe names
135                      if(status == "success"){//if server responds ok
136                        if(data.resp == "success"){//if the recipes are
137                          successfully recieved
138                          console.log(data);
139                          if(errorWarningHandler(data, "#errors", "#
140                            warnings", "#messages")){//if recipe can
141                              be started
142                              startRecipe(recipeName);
143                                }
144                              }
145                            }
146                          );
147                        }
148                      );
149                    }
150                  );
151                }
152
153                function recipePreview(element){
154                  element.attr("href", "http://beaglebrewing.servebeer.com:8587/control.php?=" + element.attr("value"));
155                  }
156
157                function errorWarningHandler(data, errors, warnings, messages){
158                  if(data.error){
159                    errors.html(data.error);
160                  }
161                  if(data.warnings){
162                    warnings.html(data.warnings);
163                  }
164                  if(data.messages){
165                    messages.html(data.messages);
166                  }
167                }
168
169                function startRecipe(recipeName){
170                  $.post("/startrecipe", {command:"startRequest",
171                    recipe:recipeName}, function(data, status){//
172                      ask the server for the recipe names
173                      if(status == "success"){//if server responds ok
174                        if(data.resp == "success"){//if the recipes are
175                          successfully recieved
176                          console.log(data);
177                          if(errorWarningHandler(data, "#errors", "#
178                            warnings", "#messages")){//if recipe can
179                              be started
180                              startRecipe(recipeName);
181                                }
182                                }
183                                }
184                              );
185                            }
186                          );
187                        }
188
189                        function checkRecipeInProgress(callback){
190                          $.post("/startrecipe", {command:"inProgress"},
191                              recipeInProgress, "json");
192
193                        }
194
195                        function recipeInProgress(data, status){
196                          if(status == "success"){//if server responds ok
197                            if(data.resp == "true"){//if the recipes are
198                              successfully recieved
199                              window.location.replace("http://beaglebrewing.
200                                servebeer.com:8587/control.php");
201                            }
202                          }
203                        }
204
205                        function startRecipeRequest(){
206                          var recipeName = $("#recipeSel").val().replace
207                            (/ /g, "_");
208                          $("#previewData").attr("href", "?=" + recipeName); //
209                            replace spaces with underscores
210                            recipePreview($("#previewData")); //pass its name (
211                              through the current element)
212                            setTimeout(function(){
213                              $.post("/startrecipe", {command:"startRequest",
214                                recipe:recipeName}, function(data, status){//
215                                  ask the server for the recipe names
216                                  if(status == "success"){//if server responds ok
217                                    if(data.resp == "success"){//if the recipes are
218                                      successfully recieved
219                                      console.log(data);
220                                      if(errorWarningHandler(data, "#errors", "#
221                                        warnings", "#messages")){//if recipe can
222                                          be started
223                                          startRecipe(recipeName);
224                                            }
225                                            }
226                                            }
227                                          );
228                                        }
229                                      );
230                                    }
231
232                                    function recipePreview(element){
233                                      element.attr("href", "http://beaglebrewing.servebeer.com:8587/control.php?=" + element.attr("value"));
234                                      }
235
236                                    function errorWarningHandler(data, errors, warnings, messages){
237                                      if(data.error){
238                                        errors.html(data.error);
239                                      }
240                                      if(data.warnings){
241                                        warnings.html(data.warnings);
242                                      }
243                                      if(data.messages){
244                                        messages.html(data.messages);
245                                      }
246                                    }
247
248                                    function startRecipe(recipeName){
249                                      $.post("/startrecipe", {command:"startRequest",
250                                        recipe:recipeName}, function(data, status){//
251                                          ask the server for the recipe names
252                                          if(status == "success"){//if server responds ok
253                                            if(data.resp == "success"){//if the recipes are
254                                              successfully recieved
255                                              console.log(data);
256                                              if(errorWarningHandler(data, "#errors", "#
257                                                warnings", "#messages")){//if recipe can
258                                                  be started
259                                                  startRecipe(recipeName);
260                                                    }
261                                                    }
262                                                    }
263                                                  );
264                                                }
265                                              );
266                                            }
267
268                                            function checkRecipeInProgress(callback){
269                                              $.post("/startrecipe", {command:"inProgress"},
270                                                  recipeInProgress, "json");
271
272                                            }
273
274                                            function recipeInProgress(data, status){
275                                              if(status == "success"){//if server responds ok
276                                                if(data.resp == "true"){//if the recipes are
277                                                  successfully recieved
278                                                  window.location.replace("http://beaglebrewing.
279                                                    servebeer.com:8587/control.php");
280                                                }
281                                              }
282                                            }
283
284                                            function startRecipeRequest(){
285                                              var recipeName = $("#recipeSel").val().replace
286                                                (/ /g, "_");
287                                              $("#previewData").attr("href", "?=" + recipeName); //
288                                                replace spaces with underscores
289                                                recipePreview($("#previewData")); //pass its name (
290                                                  through the current element)
291                                                setTimeout(function(){
292                                                  $.post("/startrecipe", {command:"startRequest",
293                                                    recipe:recipeName}, function(data, status){//
294                                                      ask the server for the recipe names
295                                                      if(status == "success"){//if server responds ok
296                                                        if(data.resp == "success"){//if the recipes are
297                                                          successfully recieved
298                                                          console.log(data);
299                                                          if(errorWarningHandler(data, "#errors", "#
300                                                            warnings", "#messages")){//if recipe can
301                                                              be started
302                                                              startRecipe(recipeName);
303                                                                }
304                                                                }
305                                                                }
306                                                                );
307                                                              }
308                                                            );
309                                                          }
310
311                                                          function recipePreview(element){
312                                                            element.attr("href", "http://beaglebrewing.servebeer.com:8587/control.php?=" + element.attr("value"));
313                                                            }
314
315                                                          function errorWarningHandler(data, errors, warnings, messages){
316                                                            if(data.error){
317                                                              errors.html(data.error);
318                                                            }
319                                                            if(data.warnings){
320                                                              warnings.html(data.warnings);
321                                                            }
322                                                            if(data.messages){
323                                                              messages.html(data.messages);
324                                                            }
325                                                          }
326
327                                                          function startRecipe(recipeName){
328                                                            $.post("/startrecipe", {command:"startRequest",
329                                                              recipe:recipeName}, function(data, status){//
330                                                                ask the server for the recipe names
331                                                                if(status == "success"){//if server responds ok
332                                                                  if(data.resp == "success"){//if the recipes are
333                                                                    successfully recieved
334                                                                    console.log(data);
335                                                                    if(errorWarningHandler(data, "#errors", "#
336                                                                      warnings", "#messages")){//if recipe can
337                                                                        be started
338                                                                        startRecipe(recipeName);
339                                                                          }
340                                                                          }
341                                                                          }
342                                                                          );
343                                                                        }
344                                                                      );
345                                                                    }
346
347                                                                    function checkRecipeInProgress(callback){
348                                                                      $.post("/startrecipe", {command:"inProgress"},
349                                                                          recipeInProgress, "json");
350
351                                                                    }
352
353                                                                    function recipeInProgress(data, status){
354                                                                      if(status == "success"){//if server responds ok
355                                                                        if(data.resp == "true"){//if the recipes are
356                                                                          successfully recieved
357                                                                          window.location.replace("http://beaglebrewing.
358                                                                            servebeer.com:8587/control.php");
359                                                                        }
360                                                                      }
361                                                                    }
362
363                                                                    function startRecipeRequest(){
364                                                                      var recipeName = $("#recipeSel").val().replace
365                                                                        (/ /g, "_");
366                                                                      $("#previewData").attr("href", "?=" + recipeName); //
367                                                                        replace spaces with underscores
368                                                                        recipePreview($("#previewData")); //pass its name (
369                                                                          through the current element)
370                                                                        setTimeout(function(){
371                                                                          $.post("/startrecipe", {command:"startRequest",
372                                                                            recipe:recipeName}, function(data, status){//
373                                                                              ask the server for the recipe names
374                                                                              if(status == "success"){//if server responds ok
375                                                                                if(data.resp == "success"){//if the recipes are
376                                                                                  successfully recieved
377                                                                                  console.log(data);
378                                                                                  if(errorWarningHandler(data, "#errors", "#
379                                                                                    warnings", "#messages")){//if recipe can
380                                                                                      be started
381                                                                                      startRecipe(recipeName);
382                        
```

```

46          //window.location.replace("http://
        beaglebrewing.servebeer.com:8587/control
        .php?start=true");
47      }
48    }
49  },
50  "json");
51 ,1000);
52 }
53
54   function startRecipe(recipeName) {
55     console.log("Recipe name from startRecipe: " +
      recipeName);
56     $.post("/startrecipe", {command:"startRecipe",
      recipe:recipeName}, function(data, status) {
57       if(status == "success"){//if server responds
         ok
58       console.log(data);
59       if(data.resp == "success"){//if the recipes
         are successfully received
60       console.log("starting the requested
         recipe...");}
61       window.location.replace("http://
         beaglebrewing.servebeer.com:8587/
         control.php");}
62     }
63   }
64 }, "json");
65 }
66
67   function getAvailableRecipes(recipeSelDivId){
68     $.post("/startrecipe", {command:"getRecipes"}, {
69       function(data, status){//ask the server for
         the recipe names
70       if(status == "success"){//if server responds ok
         if(data.resp == "success"){//if the recipes are
           successfully received
71         for (var i = 0; i < data.recipes.length; i
           ++){//create one option for each recipe
           in the dropdown list
72           //console.log(data.recipes[i]);
           $(recipeSelDivId).append("<option value
             =' " + data.recipes[i] + "'>" + data.
             recipes[i] + "</option>");}
73         }
74       }
75     }
76     else if(data.resp == "error") {
77
78     }
79     //console.log(data);
80   }
81 }, "json");
82 }
83
84   function errorErrorHandler(data, errDivId,
     warnDivId, msgDivId){
85     if(data.err && data.warn){//if there are errors
       and warnings to give

```

```

86         $(errDivId).text("Esenciais: " + data.err).
87             show();
88         $(warnDivId).text("Facultativos: " + data.
89             warn).show();
90         $(msgDivId).show();
91         return 0;//don't start the recipe
92     }
93     else if(data.err){//if there are only errors
94         $(errDivId).text("Esenciais: " + data.err).
95             show();
96         $(msgDivId).show();
97         return 0;//don't start the recipe
98     }
99     else if(data.warn){//if there are only warnings
100        $(warnDivId).text("Facultativos: " + data.warn).
101            show();
102        $(msgDivId).text("Alguns itens da receita não foram
103            preenchidos."
104            +"Deseja continuar mesmo assim?").show();
105        if(confirm("Alguns itens da receita não foram
106            preenchidos.
107            +" Deseja realmente iniciar?") == true) {
108            return 1;//start the recipe
109        }
110    }
111 }
112 </script>
113 </head>
114
115 <body style="display:none;">
116     <h1>Iniciar Brassagem</h1>
117     <div class="warning">
118         <div><i class="material-icons custom">warning</i>
119         <p class="warning">Antes de iniciar uma receita,
120             certifique-se de que o equipamento está
121                 devidamente limpo e sanitizado, e de que a
122                     água e ingredientes estão a postos para a
123                         produção.
124         </p>
125     </div>
126     <select id="recipeSel"></select><br><br>
127     <input class="leftselect" type="button" value=
128         "iniciar"/>
129
130     <div id="preStart">
131         <p id="messages" style="display:none;">Alguns itens
132             da receita não foram preenchidos. Preencha os
133                 obrigatórios antes de continuar.</p>
134         <p id="warnings" style="display:none;"></p>
135         <p id="errors" style="display:none;"></p>

```

```

132      <div id="preview" style="display:none; width:50%;  

133          float:left; background:#595450; border-radius:10  

134          px;">  

135      <p class="prevhead">Nome da Receita:</p><p class="  

136          prev" id="nome_da_receita"></p><br>  

137      <p class="prevhead">Estilo:</p><p class="prev" id="  

138          estilo"></p><br>  

139      <p class="prevhead">Levedura:</p><p class="prev" id="  

140          levedura"></p><br>  

141      <p class="prevhead">Água de mosturação (l):</p><p  

142          class="prev" id="mosto"></p><br>  

143      <p class="prevhead">Água de lavagem (l):</p><p class="  

144          prev" id="lavagem"></p><br>  

145      <p class="prevhead">Tempo de fervura (min):</p><p  

146          class="prev" id="fervura"></p><br>  

147      <p class="prevhead">Maltes:</p><p class="prev" id="  

148          maltes"></p><br>  

149      <p class="prevhead">Lúpulos</p><p class="prev" id="  

150          lupulos"></p>  

151  </div>  

152 </div>  

153  

154      <a id="previewData" style="display:none;"></a>  

155  

156      <h2>Controle do sistema</h2>  

157      <p>Ao iniciar uma receita você será automaticamente  

158          redirecionado para o controle.</p>  

159      <p>É possível acessar os controles a qualquer momento  

160          :</p>  

161      <input class="leftselect" type="button" value="  

162          controle" onClick="window.location='./control.php'  

163          " />  

164  

165  </body>  

166 </html>

```

Código-fonte D.12: Gerenciador de brassagem

```

1  <!DOCTYPE HTML>  

2  <html>  

3      <head>  

4          <meta charset="UTF-8">  

5          <title>Controle</title>  

6          <script src="https://ajax.googleapis.com/ajax/libs/jquery  

7              /1.11.3/jquery.min.js"></script>  

8          <link rel="stylesheet" type="text/css" href=".//css/config  

9              .css">  

10         <link rel="icon" type="image/png" href=".//img/beer2.png">  

11         <script type="text/javascript" src=".//lib/header.js"></  

12             script>  

13         <script>  

14             $(function() { //when document is fully loaded  

15                 headerPHP("./lib/header.php"); //add the header

```

```

13     refreshSystemStatus(); //get the status fo the GPIO,
14     PWM, etc
15     var refreshHandler = setInterval(refreshSystemStatus,
16         500); //and then do it periodically
17
18     $(".btn").click(console.log($(this).attr("id")));
19     //valveToggle;
20
21     $("#confirmStartNextStep").click(function
22         startMashRamp() //whenever button is clicked
23         $.post("/clientrequest", {command:"startMashRamp"},
24             function(data, status){
25                 if(status == "success")//if server responds ok
26                     console.log("Starting the ramp control process"
27                         );
28
29                 }
30             }, "json");
31         });
32
33     //Display the slider value dinamically
34     $(".slider").on("input",function()//whenever user is
35         changing value
36         $(".slider-value").html($(this).val()+"°");//change
37         the display value
38     );
39
40     $(".slider").on("change",function(){
41         $.post("/controle", {command:"pinSwitch", btn:$(
42             this).attr("id"), val:$(this).val()}, function(
43             data, status){
44                 if(status == "success")//if server responds ok
45                     console.log("Server - ID: " + data.btn + ";
46                         VALUE: " + data.val);
47
48                 }
49             }, "json");
50         });
51
52     function valveToggle()//whenever button is clicked
53         //Post the button ID and VALUE
54         $.post("/controle", {command:"pinSwitch", btn:$(
55             this).attr("id"), val:$(this).is(":checked")}, function(
56             data, status){
57                 if(status == "success")//if server responds ok
58                     console.log("Server - ID: " + data.btn + "; VALUE
59                         : " + data.val);
60
61                 }
62             }, "json");
63         }
64
65     function refreshSystemStatus(){
66         $.post("/controle", {command:"getStatus"}, function(
67             data, status)//ask for the server status
68             var degreeAngle;//var to temporarily store the
69                 servo_motor angle in degree
70             if(status == "success")//if server responds ok
71                 for(var obj in data.ioStatus){//iterate though
72                     all object keys

```

```

54     if(data.ioStatus[obj].state == 1 && obj != "servo_pwm"){//if it is set and isn't the pwm
55         $("#" + obj).prop("checked", true);//check
56         the corresponding checkbox
57     }
58     else if(data.ioStatus[obj].state == 0 && obj != "servo_pwm"){//if it is clear and isn't the
59         pwm)
60         $("#" + obj).prop("checked", false);//check
61         the corresponding checkbox
62     }
63     else if(obj == "servo_pwm"){//if it is the pwm
64         degreeAngle = Math.round((data.ioStatus[obj].state.duty - 0.0325)*180/0.0775);//
65         calculate the pwm angle from duty to
66         degree
67         $("#" + obj).val(degreeAngle);//set the
68         slider position by setting its value
69         $(".slider-value").html(degreeAngle + "°");//refresh the indicator value
70         $("#pwm_slider").show();//then show the div
71         correctly set
72     }
73     if(data.auto){//tells the process is in automatic
74         mode
75         $("#" + auto).prop("checked", true);
76         $(".btn").off("click");
77     }
78     else{//automatic mode turned off
79         $("#" + auto).prop("checked", false);
80         $(".btn").off("click");//does it otherwise many
81         click events are set per button
82         $(".btn").on("click", valveToggle);
83     }
84     updateStatusMessage(data);
85 }, "json");
86 }

87 function updateStatusMessage(data){
88     if(!data.processFail){//if the process is running
89         smoothly
90         if(data.code){//if something is going on
91             switch(data.code){
92                 case 2://mash water being heated
93                     $("#current_status").text("Esquentando água
94                     da brassagem: ");
95                     $("#current_status_helper").html(data.tmpMT +
96                     "°C &rarr; " + data.tmpMTsetp + "°C");
97                     break;
98                 case 3://waiting for the user to add the grains
99                     $("#current_status").text("Adicione os maltes
100                     e clique em prosseguir!");
101                     $("#current_status_helper").text("");
102                     $("#confirmationButton").show();//wait for
103                     the user to click this button to continue
104                     break;
105             }
106         }
107     }
108 }
```

```

94     case 4://if the ramp control is going on
95         $("#confirmationButton").hide();
96         $("#current_status").text("Esquentando mosto:
97             ");
98         $("#current_status_helper").html(data.tmpMT +
99             "°C &rarr; " + data.tmpMTsetp + "°C");
100        break;
101    case 5://if the step rest is going on
102        $("#current_status").text("Degrau de repouso:
103            ");
104        if(data.tmpBKsetp){//if sparging is set
105            if(data.timeLeft >= 1){
106                console.log("minutos");
107                $("#current_status_helper").html(data.
108                    tmpMT + "°C &rarr; " +
109                    Math.floor(data.timeLeft) + ":" + (data
110                        .timeLeft % 1)*60 +
111                        " minutos restantes. Temperatura de
112                            sparging: " + data.tmpBK + "°C");
113            }
114        }
115        else{//no sparging, no sparging water being
116            heated
117            if(data.timeLeft >= 1){
118                $("#current_status_helper").html(data.
119                    tmpMT + "°C &rarr; " +
120                    Math.floor(data.timeLeft) + ":" + (data
121                        .timeLeft % 1)*60 +
122                        " minutos restantes");
123            }
124        }
125    }
126    break;
127    case 6://if the sparging process is running (
128        without overflow)
129        $("#current_status").html("<i>Sparging</i> em
130            andamento. ");
131        $("#current_status_helper").text("");
132        break;
133    case 7://if there is an overflow
134        $("#current_status").html("<i>Sparging</i> em
135            andamento. ");
136        $("#current_status_helper").text("Tina do
mosto cheia, drenando...");
```

```

134         break;
135     case 8://heating for the boil
136         $("#current_status").text("Aquecendo mosto
137             para a fervura. ");
138         $("#current_status_helper").html(data.tmpBK +
139             "°C");
140         break;
141     case 9://boiling the wort
142         $("#current_status").text("Fervura em
143             andamento. ");
144         $("#current_status_helper").html((data.
145             timestamps.boilFinishScheduled - data.
146             timestamps.curr)/60000 + " minutos
147             restantes");
148         break;
149     case 10://hop added
150         $("#current_status").text("Fervura em
151             andamento. ");
152         $("#current_status_helper").text("Lúpulo
153             adicionado!");
154         break;
155     }
156     $("#h2").show(); // show some information/status
157     message
158   }
159   else{//if nothing is going on
160     $("#current_status").text("Sistema parado");//
161     display idle message
162     $("#current_status_helper").text(""); //display
163     idle message
164   }
165   else{//if there is some error that caused the
166     production to stop irreversibly
167     $("#current_status").text("Erro no sistema.");
168     $("#current_status_helper").text("Algo impediu que
169     esta receita continue.");
170   }
171   
```

</script>

</head>

<body style="display:none;">

<!--<h1>Controle do Sistema</h1>-->

<h2 style="display:inline-block;" id="current_status">-</h2>

<h2 style="display:inline-block;" id="

current_status_helper"></h2>

<form>

<div class="slideThree">

<input type="checkbox" value="None" id="auto" name="

check" />

<label for="auto"></label>

AUTO

</div>

<div class="slideThree" id="confirmationButton" style="

display:none;">

```

174 <input type="checkbox" value="None" id="confirmStartNextStep" name="check" />
175 <label for="confirmStartNextStep"></label>
176 <span>PROSSEGUIR</span>
177 </div>
178 <hr>
179 <div class="slideThree">
180 <input type="checkbox" class="btn" value="None" id="led" name="check" />
181 <label for="led"></label>
182 <span>LED PLACA</span>
183 </div>
184 <div class="slideThree">
185 <input type="checkbox" class="btn" value="None" id="mash_pump" name="check" />
186 <label for="mash_pump"></label>
187 <span>BOMBA DO MOSTO</span>
188 </div>
189 <div class="slideThree">
190 <input type="checkbox" class="btn" value="None" id="boil_pump" name="check" />
191 <label for="boil_pump"></label>
192 <span>BOMBA DA FERVURA</span>
193 </div>
194 <div class="slideThree">
195 <input type="checkbox" class="btn" value="None" id="mash_valve" name="check" />
196 <label for="mash_valve"></label>
197 <span>VÁLVULA DO MOSTO</span>
198 </div>
199 <div class="slideThree">
200 <input type="checkbox" class="btn" value="None" id="boil_valve" name="check" />
201 <label for="boil_valve"></label>
202 <span>VÁLVULA DA FERVURA</span>
203 </div><div class="slideThree">
204 <input type="checkbox" class="btn" value="None" id="chill_valve" name="check" />
205 <label for="chill_valve"></label>
206 <span>VÁLVULA DO CHILLER</span>
207 </div>
208 <div class="slideThree">
209 <input type="checkbox" class="btn" value="None" id="water_valve" name="check" />
210 <label for="water_valve"></label>
211 <span>VÁLVULA DA ÁGUA</span>
212 </div>
213 <div class="slideThree">
214 <input type="checkbox" class="btn" value="None" id="mash_heat" name="check" />
215 <label for="mash_heat"></label>
216 <span>AQUECEDOR DO MOSTO</span>
217 </div>
218 <div class="slideThree">
219 <input type="checkbox" class="btn" value="None" id="boil_heat" name="check" />
220 <label for="boil_heat"></label>

```

```

221      <span>AQUECEDOR DA FERVURA</span>
222    </div><br>
223    <div id="pwm_slider" style="display:none;">
224      <input type="range" class="slider" id="servo_pwm"
225        name="servo_range" min="0" max="180" value="0"
226        step="1"/>
227      <span class="slider-value"></span>
228      <label class="pwm" for="servo_pwm">SERVO-MOTOR</
229      label>
230    </div>
231    </form><br>
232  </body>
233 </html>

```

Código-fonte D.13: Painel de controle de brassagem

D.14 CSS do formulário

```

1 form.myform
2 {
3   background: #595450; /* Old browsers */
4   background: -moz-linear-gradient(top,  #595450 0%, #47413d
5     100%); /* FF3.6+ */
6   background: -webkit-gradient(linear, left top, left bottom
7     , color-stop(0%,#595450), color-stop(100%,#47413d)); /* Chrome,Safari4+
8   background: -webkit-linear-gradient(top,  #595450 0%,#47413d
9     100%); /* Chrome10+,Safari5.1+ */
10  background: -o-linear-gradient(top,  #595450 0%,#47413d
11    100%); /* Opera 11.10+ */
12  background: -ms-linear-gradient(top,  #595450 0%,#47413d
13    100%); /* IE10+ */
14  background: linear-gradient(to bottom,  #595450 0%,#47413d
15    100%); /* W3C */
16  filter: progid:DXImageTransform.Microsoft.gradient(
17    startColorstr='#595450', endColorstr='#47413d',
18    GradientType=0 ); /* IE6-9 */
19
20  margin:auto;
21  position:relative;
22  font-family: Tahoma, Geneva, sans-serif;
23  font-size: 14px;
24  line-height: 24px;
25  font-weight: bold;
26  color: #F5CC7A;
27  text-decoration: none;
28  -webkit-border-radius: 10px;
29  -moz-border-radius: 10px;
30  border-radius: 10px;
31  padding:10px;
32  -webkit-box-shadow: 0px 0px 8px rgba(0, 0, 0, 0.3);
33  -moz-box-shadow: 0px 0px 8px rgba(0, 0, 0, 0.3);
34  box-shadow: 0px 0px 8px rgba(0, 0, 0, 0.3);
35 }

```

```
29 | label.myform
30 | {
31 |     display:inline-block;
32 |     width:20%;
33 |     /*padding-right:10px;
34 |     text-align:right;
35 |     float:left*/
36 |
37 |
38 | input.myform, select.myform, textarea.myform
39 | {
40 |     vertical-align: middle;
41 |     font-family: Arial, Helvetica, Sans-Serif;
42 |     font-style: normal;
43 |     font-weight: bold;
44 |     font-size: 13px;
45 |
46 |
47 | input[type=number].myform
48 | {
49 |     border-color:#5C5653;
50 |     background-color:#C4C2C1;
51 |     /*width:20%;*/
52 |     box-sizing: border-box;
53 |     display:inline-block;
54 |     vertical-align: middle;
55 |     font-family: Arial, Helvetica, Sans-Serif;
56 |     font-style: normal;
57 |     font-weight: bold;
58 |     font-size: 13px;
59 |     -webkit-border-radius: 5px;
60 |     -moz-border-radius: 5px;
61 |     border-radius: 5px;
62 |
63 |
64 | input[type=text].myform
65 | {
66 |     border-color:#5C5653;
67 |     background-color:#C4C2C1;
68 |     /*width:20%;*/
69 |     box-sizing: border-box;
70 |     display:inline-block;
71 |     vertical-align: middle;
72 |     font-family: Arial, Helvetica, Sans-Serif;
73 |     font-style: normal;
74 |     font-weight: bold;
75 |     font-size: 13px;
76 |     -webkit-border-radius: 5px;
77 |     -moz-border-radius: 5px;
78 |     border-radius: 5px;
79 |
80 |
81 | input[type=submit].myform
82 | {
83 |     width:100px;
84 |     position:relative;
85 |     margin:5px;
86 |     bottom:35px;
```

```
87     float:right;
88     background:#33282C;
89     color:#f5cc7a;
90     font-family: Tahoma, Geneva, sans-serif;
91     height:30px;
92     -webkit-border-radius: 15px;
93     -moz-border-radius: 15px;
94     border-radius: 15px;
95 }
96 input[type=submit].myform:hover {
97     background:#fff;
98     color:#33282C;
99 }
100
101 input[type=reset].myform
102 {
103     width:100px;
104     position:relative;
105     margin:5px;
106     bottom:35px;
107     float:right;
108     background:#33282C;
109     color:#f5cc7a;
110     font-family: Tahoma, Geneva, sans-serif;
111     height:30px;
112     -webkit-border-radius: 15px;
113     -moz-border-radius: 15px;
114     border-radius: 15px;
115 }
116 input[type=reset].myform:hover {
117     background:#fff;
118     color:#33282C;
119 }
120
121 input[type=button].myform
122 {
123     width:100px;
124     position:relative;
125     margin:5px;
126     bottom:35px;
127     float:right;
128     background:#33282C;
129     color:#f5cc7a;
130     font-family: Tahoma, Geneva, sans-serif;
131     height:30px;
132     -webkit-border-radius: 15px;
133     -moz-border-radius: 15px;
134     border-radius: 15px;
135 }
136 input[type=button].myform:hover {
137     background:#fff;
138     color:#33282C;
139 }
140
141 .long{width:20%;}/*For widths that don't need to be too long
142      */
143 .short{width:10%;}/*For widths that don't need to be too long
144      */
```

Código-fonte D.14: CSS do formulário

D.15 CSS específico para alguns botões

```
1 input[type=button].leftselect
2 {
3     vertical-align:middle;
4     font-family: Arial, Helvetica, Sans-Serif;
5     font-style: normal;
6     font-weight: bold;
7     font-size: 13px;
8     text-transform: uppercase;
9     width:150px;
10    position:relative;
11    margin:5px;
12    bottom:46px;
13    float:right;
14    background:#33282C;
15    color:#f5cc7a;
16    font-family: Tahoma, Geneva, sans-serif;
17    height:30px;
18    -webkit-border-radius: 15px;
19    -moz-border-radius: 15px;
20    border-radius: 15px;
21    border: 1px solid #999;
22}
23 input[type=button].leftselect:hover {
24    background:#fff;
25    color:#33282C;
26}
27
28 input[type=button].okbtn
29 {
30     vertical-align:middle;
31     font-family: Arial, Helvetica, Sans-Serif;
32     font-style: normal;
33     font-weight: bold;
34     font-size: 13px;
35     text-transform: uppercase;
36     width:50px;
37     margin:5px;
38     background:#33282C;
39     color:#f5cc7a;
40     font-family: Tahoma, Geneva, sans-serif;
41     height:25px;
42     -webkit-border-radius: 15px;
43     -moz-border-radius: 15px;
44     border-radius: 15px;
45     border: 1px solid #999;
46}
47 input[type=button].okbtn:hover {
48    background:#fff;
49    color:#33282C;
50}
```

Código-fonte D.15: CSS específico para alguns botões

D.16 CSS do template da aplicação web

```

1 .long{width:18%;}/*For widths that don't need to be too long
2   */
3 .short{width:10%;}/*For widths that don't need to be too long
4   */
5 .big{width:60%;}
6 .full{width:100%;}
7
8 /*Warning google symbol and paragraph side by side*/
9 div.warning{
10   border: 3px solid orange;
11   -webkit-border-radius: 6px;
12   -moz-border-radius: 6px;
13   border-radius: 6px;
14   margin-bottom:10px;
15 }
16 div.warning > div{
17   float:left;
18 }
19 div.warning > p{
20   position:relative;
21   margin: 0px 0px 0px 60px;
22 }
23 .material-icons.custom{
24   font-size: 40px;
25   color: #E65C00;
26 }
27
28 body{
29   background-color:#A2A2A2;
30   margin: 8px;
31 }
32 h1{
33   font-family:"Arial", Helvetica, sans-serif;
34   font-family: 'Roboto', sans-serif;
35   font-size:2.5em;
36   color:#FFD633;
37 }
38 h2{
39   font-family:"Arial", Helvetica, sans-serif;
40   font-family: 'Roboto', sans-serif;
41   font-size:2.0em;
42   color:#FFD633;
43 }
44
45 p{
46   font-family:"Arial", Helvetica, sans-serif;
47   font-family: 'Roboto', sans-serif;
48   font-size:1.15em;

```

```
49     color:#494949;
50 }
51
52 li{
53     font-family: 'Roboto', sans-serif;
54     font-family:"Arial", Helvetica, sans-serif;
55     font-size:1.15em;
56     color:#494949;
57 }
58
59 .prevhead{
60     font-family: 'Roboto', sans-serif;
61     font-family:"Arial", Helvetica, sans-serif;
62     font-size:13px;
63     color:#FFD633;
64     display:inline-block;
65     margin:0 0 0 10px;
66     width:25%;
67     vertical-align:top;
68 }
69
70 .prev{
71     font-family: 'Roboto', sans-serif;
72     font-family:"Arial", Helvetica, sans-serif;
73     font-size:13px;
74     color:#FFFFFF;
75     display:inline-block;
76     margin:0 0 0 10px;
77     width:70%;
78 }
79
80 a:link, a:visited{
81     font-family: 'Roboto', sans-serif;
82     font-family:"Arial", Helvetica, sans-serif;
83     font-size:1.15em;
84     text-decoration:none;
85     display:inline-block;
86     color:#FFD633;
87 }
88
89 a:hover, a:active{
90     background-color:#616161;
91 }
92
93 ol{
94     font-family: 'Roboto', sans-serif;
95     font-family:"Arial", Helvetica, sans-serif;
96     font-size:1.15em;
97     color:#FFD633;
98 }
99
100 .enter, .del{
101     font-family: 'Roboto', sans-serif;
102     font-family:"Arial", Helvetica, sans-serif;
103     font-weight:bolder;
104     font-size:10px;
105     color:red;
106     border-radius:12px;
```

```
107     border-style:outset;
108 }
109
110 .enter:hover, .del:hover{
111     border-style:inset;
112 }
113
114 .add{
115     vertical-align:middle;
116     font-style: normal;
117     font-weight: bold;
118     font-size: 13px;
119     text-transform: uppercase;
120     width:30%;
121     background:#33282C;
122     color:#f5cc7a;
123     font-family: 'Roboto', sans-serif;
124     font-family: Tahoma, Geneva, sans-serif;
125     height:30px;
126     -webkit-border-radius: 15px;
127     -moz-border-radius: 15px;
128     border-radius: 15px;
129 }
130 .add:hover {
131     background:#fff;
132     color:#33282C;
133 }
134
135 input[type=text]
136 {
137     border-color:#5C5653;
138     background-color:#C4C2C1;
139     -webkit-box-sizing:border-box;
140     -moz-box-sizing: border-box;
141     box-sizing: border-box;
142     display:inline-block;
143     vertical-align: middle;
144     font-family: 'Roboto', sans-serif;
145     font-family: Tahoma, Geneva, sans-serif;
146     font-style: normal;
147     font-weight: bold;
148     font-size: 13px;
149     -webkit-border-radius: 5px;
150     -moz-border-radius: 5px;
151     border-radius: 5px;
152 }
153
154 select
155 {
156     border-color:#5C5653;
157     background-color:#C4C2C1;
158 /*width:20%;*/
159     box-sizing: border-box;
160     display:inline-block;
161     vertical-align: middle;
162     font-family: 'Roboto', sans-serif;
163     font-family: Arial, Helvetica, Sans-Serif;
164     font-style: normal;
```

```

165    font-weight: bold;
166    font-size: 13px;
167    -webkit-border-radius: 5px;
168    -moz-border-radius: 5px;
169    border-radius: 5px;
170 }
171
172 ::-webkit-input-placeholder {color: #33282C;}
173 ::-moz-placeholder { /* Firefox 18- */color: #33282C;}
174 ::-ms-placeholder { /* Firefox 19+ */color: #33282C;}
175 ::-ms-input-placeholder {color: #33282C;}
176
177 form.myform
178 {
179     background: #595450; /* Old browsers */
180     background: -moz-linear-gradient(top, #595450 0%, #47413d
181         100%); /* FF3.6+ */
182     background: -webkit-gradient(linear, left top, left bottom
183         , color-stop(0%,#595450), color-stop(100%,#47413d)); /* Chrome, Safari4+ */
184     background: -webkit-linear-gradient(top, #595450
185         0%,#47413d 100%); /* Chrome10+, Safari5.1+ */
186     background: -o-linear-gradient(top, #595450 0%,#47413d
187         100%); /* Opera 11.10+ */
188     background: -ms-linear-gradient(top, #595450 0%,#47413d
189         100%); /* IE10+ */
190     background: linear-gradient(to bottom, #595450 0%,#47413d
191         100%); /* W3C */
192     filter: progid:DXImageTransform.Microsoft.gradient(
193         startColorstr='#595450', endColorstr='#47413d',
194         GradientType=0 ); /* IE6-9 */
195
196     margin:auto;
197     position:relative;
198     font-family: 'Roboto', sans-serif;
199     font-family: Tahoma, Geneva, sans-serif;
200     font-size: 14px;
201     line-height: 24px;
202     font-weight: bold;
203     color: #F5CC7A;
204     text-decoration: none;
205     -webkit-border-radius: 10px;
206     -moz-border-radius: 10px;
207     border-radius: 10px;
208     padding:10px;
209     -webkit-box-shadow: 0px 0px 8px rgba(0, 0, 0, 0.3);
210     -moz-box-shadow: 0px 0px 8px rgba(0, 0, 0, 0.3);
211     box-shadow: 0px 0px 8px rgba(0, 0, 0, 0.3);
212 }
213
214 label.myform
215 {
216     display:inline-block;
217     /*padding-right:10px;
218     text-align:right;
219     float:left*/
220 }
221
222
223

```

```
214 input.myform, select.myform, textarea.myform
215 {
216     vertical-align: middle;
217     font-family: 'Roboto', sans-serif;
218     font-family: Arial, Helvetica, Sans-Serif;
219     font-style: normal;
220     font-weight: bold;
221     font-size: 13px;
222 }
223
224 input[type=number].myform
225 {
226     border-color:#5C5653;
227     background-color:#C4C2C1;
228     /*width:20%;*/
229     box-sizing: border-box;
230     display:inline-block;
231     vertical-align: middle;
232     font-family: 'Roboto', sans-serif;
233     font-family: Arial, Helvetica, Sans-Serif;
234     font-style: normal;
235     font-weight: bold;
236     font-size: 13px;
237     -webkit-border-radius: 5px;
238     -moz-border-radius: 5px;
239     border-radius: 5px;
240 }
241
242 input[type=text].myform
243 {
244     border-color:#5C5653;
245     background-color:#C4C2C1;
246     /*width:20%;*/
247     box-sizing: border-box;
248     display:inline-block;
249     vertical-align: middle;
250     font-family: 'Roboto', sans-serif;
251     font-family: Arial, Helvetica, Sans-Serif;
252     font-style: normal;
253     font-weight: bold;
254     font-size: 13px;
255     -webkit-border-radius: 5px;
256     -moz-border-radius: 5px;
257     border-radius: 5px;
258 }
259
260 input[type=datetime-local].myform
261 {
262     border-color:#5C5653;
263     background-color:#C4C2C1;
264     /*width:20%;*/
265     box-sizing: border-box;
266     display:inline-block;
267     vertical-align: middle;
268     font-family: 'Roboto', sans-serif;
269     font-family: Arial, Helvetica, Sans-Serif;
270     font-style: normal;
271     font-weight: bold;
```

```
272     font-size: 13px;
273     -webkit-border-radius: 5px;
274     -moz-border-radius: 5px;
275     border-radius: 5px;
276 }
277
278 input[type=submit].myform
279 {
280     width:100px;
281     position:relative;
282     margin:5px;
283     bottom:35px;
284     float:right;
285     background:#33282C;
286     color:#f5cc7a;
287     font-family: 'Roboto', sans-serif;
288     font-family: Tahoma, Geneva, sans-serif;
289     height:30px;
290     -webkit-border-radius: 15px;
291     -moz-border-radius: 15px;
292     border-radius: 15px;
293 }
294 input[type=submit].myform:hover {
295     background:#fff;
296     color:#33282C;
297 }
298
299 input[type=reset].myform
300 {
301     width:100px;
302     position:relative;
303     margin:5px;
304     bottom:35px;
305     float:right;
306     background:#33282C;
307     color:#f5cc7a;
308     font-family: 'Roboto', sans-serif;
309     font-family: Tahoma, Geneva, sans-serif;
310     height:30px;
311     -webkit-border-radius: 15px;
312     -moz-border-radius: 15px;
313     border-radius: 15px;
314 }
315 input[type=reset].myform:hover {
316     background:#fff;
317     color:#33282C;
318 }
319
320 input[type=button].myform
321 {
322     width:100px;
323     position:relative;
324     margin:5px;
325     bottom:35px;
326     float:right;
327     background:#33282C;
328     color:#f5cc7a;
329     font-family: 'Roboto', sans-serif;
```

```

330     font-family: Tahoma, Geneva, sans-serif;
331     height:30px;
332     -webkit-border-radius: 15px;
333     -moz-border-radius: 15px;
334     border-radius: 15px;
335 }
336 input[type=button].myform:hover {
337     background:#fff;
338     color:#33282C;
339 }
340
341 label.pwm {
342     position:relative;
343     white-space:nowrap;
344
345     font: 12px/26px Arial, sans-serif;
346     color: #000;
347     font-weight: bold;
348     text-shadow: 1px 1px 0px rgba(255,255,255,.15);
349 }
350
351 /*HERE STARTS THE CHECKBOX ON-OFF BUTTON*/
352 input[type=checkbox] {
353     visibility: hidden;
354 }
355
356 /* SLIDE THREE */
357 .slideThree {
358     width: 80px;
359     height: 26px;
360     background: #595450;
361     margin: 20px;
362     margin-right: 200px;
363
364     -webkit-border-radius: 50px;
365     -moz-border-radius: 50px;
366     border-radius: 50px;
367     position: relative;
368     display:inline-block;
369
370     -webkit-box-shadow: inset 0px 1px 1px rgba(0,0,0,0.5), 0px
371         1px 0px rgba(255,255,255,0.2);
372     -moz-box-shadow: inset 0px 1px 1px rgba(0,0,0,0.5), 0px 1px
373         0px rgba(255,255,255,0.2);
374     box-shadow: inset 0px 1px 1px rgba(0,0,0,0.5), 0px 1px 0px
375         rgba(255,255,255,0.2);
376 }
377
378 .slideThree:after {
379     content: 'OFF';
380     font: 12px/26px Arial, sans-serif;
381     color: #000;
382     position: absolute;
383     right: 10px;
384     z-index: 0;
385     font-weight: bold;
386     text-shadow: 1px 1px 0px rgba(255,255,255,.15);
387 }

```

```

385 }
386 .slideThree:before {
387   content: 'ON';
388   font: 12px/26px Arial, sans-serif;
389   color: #00bf00;
390   position: absolute;
391   left: 10px;
392   z-index: 0;
393   font-weight: bold;
394 }
395
396 .slideThree label {
397   display: block;
398   width: 34px;
399   height: 20px;
400
401   -webkit-border-radius: 50px;
402   -moz-border-radius: 50px;
403   border-radius: 50px;
404
405   -webkit-transition: all .4s ease;
406   -moz-transition: all .4s ease;
407   -o-transition: all .4s ease;
408   -ms-transition: all .4s ease;
409   transition: all .4s ease;
410   cursor: pointer;
411   position: absolute;
412   top: 3px;
413   left: 3px;
414   z-index: 1;
415
416   -webkit-box-shadow: 0px 2px 5px 0px rgba(0,0,0,0.3);
417   -moz-box-shadow: 0px 2px 5px 0px rgba(0,0,0,0.3);
418   box-shadow: 0px 2px 5px 0px rgba(0,0,0,0.3);
419   background: #fcfff4;
420
421   background: -webkit-linear-gradient(top, #fcfff4 0%, #
422     dfe5d7 40%, #b3bead 100%);
423   background: -moz-linear-gradient(top, #fcfff4 0%, #dfe5d7
424     40%, #b3bead 100%);
425   background: -o-linear-gradient(top, #fcfff4 0%, #dfe5d7
426     40%, #b3bead 100%);
427   background: -ms-linear-gradient(top, #fcfff4 0%, #dfe5d7
428     40%, #b3bead 100%);
429   background: linear-gradient(top, #fcfff4 0%, #dfe5d7 40%, #
430     b3bead 100%);
431   filter: progid:DXImageTransform.Microsoft.gradient(
432     startColorstr='#fcfff4', endColorstr='#b3bead',
433     GradientType=0 );
434 }
435
436 .slideThree input[type=checkbox]:checked + label {
437   left: 43px;
438 }
439
440 .slideThree span {
441   position: absolute;
442   /*top:3px;*/
443 }
```

```
436     left:83px;
437     white-space:nowrap;
438
439     font: 12px/26px Arial, sans-serif;
440     color: #000;
441     font-weight: bold;
442     text-shadow: 1px 1px 0px rgba(255,255,255,.15);
443 }
444 /* HERE ENDS THE CHECKBOX ON-OFF BUTTON*/
445
446
447 /* HERE STARTS THE SLIDER CSS*/
448 input[type=range].slider {
449     -webkit-appearance: none;
450     width: 50%;
451     margin: 8.8px 0;
452 }
453 input[type=range].slider:focus {
454     outline: none;
455 }
456 input[type=range].slider::-webkit-slider-runnable-track {
457     width: 100%;
458     height: 8.4px;
459     cursor: pointer;
460     box-shadow: 1px 1px 1px #000000, 0px 0px 1px #0d0d0d;
461     background: #595450;
462     border-radius: 7.8px;
463     border: 1px solid #010101;
464 }
465 input[type=range].slider::-webkit-slider-thumb {
466     box-shadow: 0.9px 0.9px 5px #000031, 0px 0px 0.9px #00004b;
467     border: 3px solid #ffd633;
468     height: 26px;
469     width: 26px;
470     border-radius: 13px;
471     background: #ffd633;
472     cursor: pointer;
473     -webkit-appearance: none;
474     margin-top: -9.8px;
475 }
476 input[type=range].slider:focus::-webkit-slider-runnable-track
477     {
478         background: #3E3B38;
479     }
480 input[type=range].slider::-moz-range-track {
481     width: 100%;
482     height: 8.4px;
483     cursor: pointer;
484     box-shadow: 1px 1px 1px #000000, 0px 0px 1px #0d0d0d;
485     background: #595450;
486     border-radius: 7.8px;
487     border: 1px solid #010101;
488 }
489 input[type=range].slider::-moz-range-thumb {
490     box-shadow: 0.9px 0.9px 5px #000031, 0px 0px 0.9px #00004b;
491     border: 1px solid #ffd633;
492     height: 22px;
493     width: 22px;
```

```

493 border-radius: 11px;
494 background: #ffd633;
495 cursor: pointer;
496 }
497 input[type=range].slider::-ms-track {
498 width: 100%;
499 height: 8.4px;
500 cursor: pointer;
501 background: transparent;
502 border-color: transparent;
503 color: transparent;
504 }
505 input[type=range].slider::-ms-fill-lower {
506 background: #1f181b;
507 border: 1px solid #010101;
508 border-radius: 15.6px;
509 box-shadow: 1px 1px 1px #000000, 0px 0px 1px #0d0d0d;
510 }
511 input[type=range].slider::-ms-fill-upper {
512 background: #595450;
513 border: 1px solid #010101;
514 border-radius: 15.6px;
515 box-shadow: 1px 1px 1px #000000, 0px 0px 1px #0d0d0d;
516 }
517 input[type=range].slider::-ms-thumb {
518 box-shadow: 0.9px 0.9px 5px #000031, 0px 0px 0.9px #00004b;
519 border: 3px solid #ffd633;
520 height: 26px;
521 width: 26px;
522 border-radius: 13px;
523 background: #ffd633;
524 cursor: pointer;
525 height: 8.4px;
526 }
527 input[type=range].slider:focus::-ms-fill-lower {
528 background: #595450;
529 }
530 input[type=range].slider:focus::-ms-fill-upper {
531 background: #3E3B38;
532 }
533
534 .slider-value {
535 display: inline-block;
536 position: relative;
537 width: 60px;
538 color: #fff;
539 font-size: 16px;
540 line-height: 20px;
541 text-align: center;
542 border-radius: 3px;
543 background: #595450;
544 padding: 5px 10px;
545 margin-left: 7px;
546 }
547 /*HERE ENDS THE SLIDER CSS*/
548
549 /*HERE STARTS THE HEADER MENU CSS*/
550 div.myheader {

```

```
551     /* Retro compatibility */
552     width:80%;
553     /* Firefox */
554     width: -moz-calc(80% + 16px);
555     /* WebKit */
556     width: -webkit-calc(80% + 16px);
557     /* Opera */
558     width: -o-calc(80% + 16px);
559     /* Standard */
560     width: calc(80% + 16px);
561
562     margin:-8px -8px;
563     padding-left:20%;
564     height:40px;
565     background:#33282C;
566 }
567
568 div.headercell{
569     display:inline-block;
570     height:inherit;
571     width:15%;
572 }
573
574 a.headerlink{
575     display:inline-block;
576     text-align:center;
577     line-height: 40px;
578     color:#f5cc7a;
579     font-family: 'Roboto', sans-serif;
580     font-family: Tahoma, Geneva, sans-serif;
581     font-weight:bold;
582     width:100%;
583 }
584 /* HERE ENDS THE HEADER MENU CSS */
```

Código-fonte D.16: CSS do template da aplicação web

Apêndice E

Arquivos de configuração do sistema

E.1 Arquivo de configuração de rede

```

1 # This file describes the network interfaces available
2 # on your system and how to activate them.
3 # For more information, see interfaces(5).
4
5 # The loopback network interface
6 auto lo
7 iface lo inet loopback
8
9 # The primary network interface
10 #auto eth0
11 #iface eth0 inet dhcp
12 # Example to keep MAC address between reboots
13 #hwaddress ether DE:AD:BE:EF:CA:FE
14
15 # The secondary network interface
16 #auto eth1
17 #iface eth1 inet dhcp
18
19 # WiFi Example
20 auto wlan0
21 allow-hotplug wlan0
22 iface wlan0 inet static
23 #allow-hotplug wlan0
24 #auto lo
25 #iface lo inet loopback
26 #auto eth0
27 #iface eth0 inet static
28 address 192.168.1.155
29 netmask 255.255.252.0
30 network 192.168.1.0
31 gateway 192.168.1.1
32 #pre-up ifconfig eth0 hw ether 00:01:02:03:05:14
33 dns-nameservers 143.107.225.6 143.107.182.2 8.8.8.8
34 wpa-ssid      "nome_da_rede"
35 wpa-psk       "senha1"
36 #iface wlan0 inet dhcp
37 #      wpa-ssid "outra_rede"
```

```

38 #      wpa-psk    "senha2"
39
40 # Ethernet/RNDIS gadget (g_ether)
41 # ... or on host side, usbnet and random hwaddr
42 # Note on some boards, usb0 is automatically
43 # setup with an init script
44 iface usb0 inet static
45 address 192.168.7.2
46 netmask 255.255.255.0
47 network 192.168.7.0
48 gateway 192.168.7.1

```

Código-fonte E.1: /etc/network/interfaces

E.2 Device Tree para o DS18B20

```

1 /*
2 * Copyright (C) 2012 Texas Instruments Incorporated - http://
3 * www.ti.com/
4 *
5 * This program is free software; you can redistribute it and/
6 * or modify
7 * it under the terms of the GNU General Public License
8 * version 2 as
9 * published by the Free Software Foundation.
10 *
11 * Modified by Russell Senior from the weather cape's DTS
12 * file.
13 * Minor formatting by C W Rose.
14 * Modified by Leonardo Graboski Veiga to change the DS18B20
15 * pin and pin configuration
16 */
17 /dts-v1/;
18 /plugin/;

19 /
20 {
21     compatible = "ti,beaglebone", "ti,beaglebone-black";
22     part-number = "BB-W1";
23     version = "00A0";
24
25     exclusive-use = "P9.11";
26
27     fragment@0 {
28         target = <&am33xx_pinmux>;
29         __overlay__ {
30             bb_w1_pins: pinmux_bb_w1_pins {
31                 pinctrl-single,pins = <0x70 0x37>;
32             };
33         };
34     };
35
36     fragment@1 {
37         target = <&ocp>;
38         __overlay__ {
39             onewire@0 {

```

```
35         status          = "okay";
36         compatible     = "w1-gpio";
37         pinctrl-names  = "default";
38         pinctrl-0       = <&bb_w1_pins>;
39
40         gpios          = <&gpiol 30 0>;
41     };
42 };
43 };
44 }
```

Código-fonte E.2: w1.dts

Apêndice F

Caracterização do funcionamento do servo-motor com AT89S52

F.1 Simulação e ensaio em bancada

O "ciclo" referido a seguir é o mínimo incremento do tempo em alto do sinal de controle — baseado em simulação, o código utilizado para gerar o pulso em nível alto apresentou uma limitação de período/incremento de $20\mu\text{s}$ para $f=12\text{MHz}$, portanto o código trabalha com resolução de $20\mu\text{s}/\text{incremento}$ em 12MHz . Na figura F.1 é apresentada a forma de onda necessária para controlar o servo motor.



Figura F.1: Forma de onda de acionamento do servo-motor

O período T é fixo, com valor de 20ms , e o tempo em nível alto Δt é de, aprioximadamente $0,5\text{ms} < \Delta t < 2,5\text{ms}$. O objetivo da caracterização do servomotor em questão foi definir com precisão os limites de Δt . Após a simulação bem-sucedida do controle do servo motor incluso na biblioteca padrão do Proteus, o código foi efetivamente gravado no μC AT89S52, com $f=24\text{MHz}$ e o motor foi excursionado até seus limites — e além deles — e seu comportamento foi observado e documentado, conforme é apresentado na figura F.2. O led vermelho ligado mecanicamente ao braço do servo é somente uma referência visual para a posição angular deste.

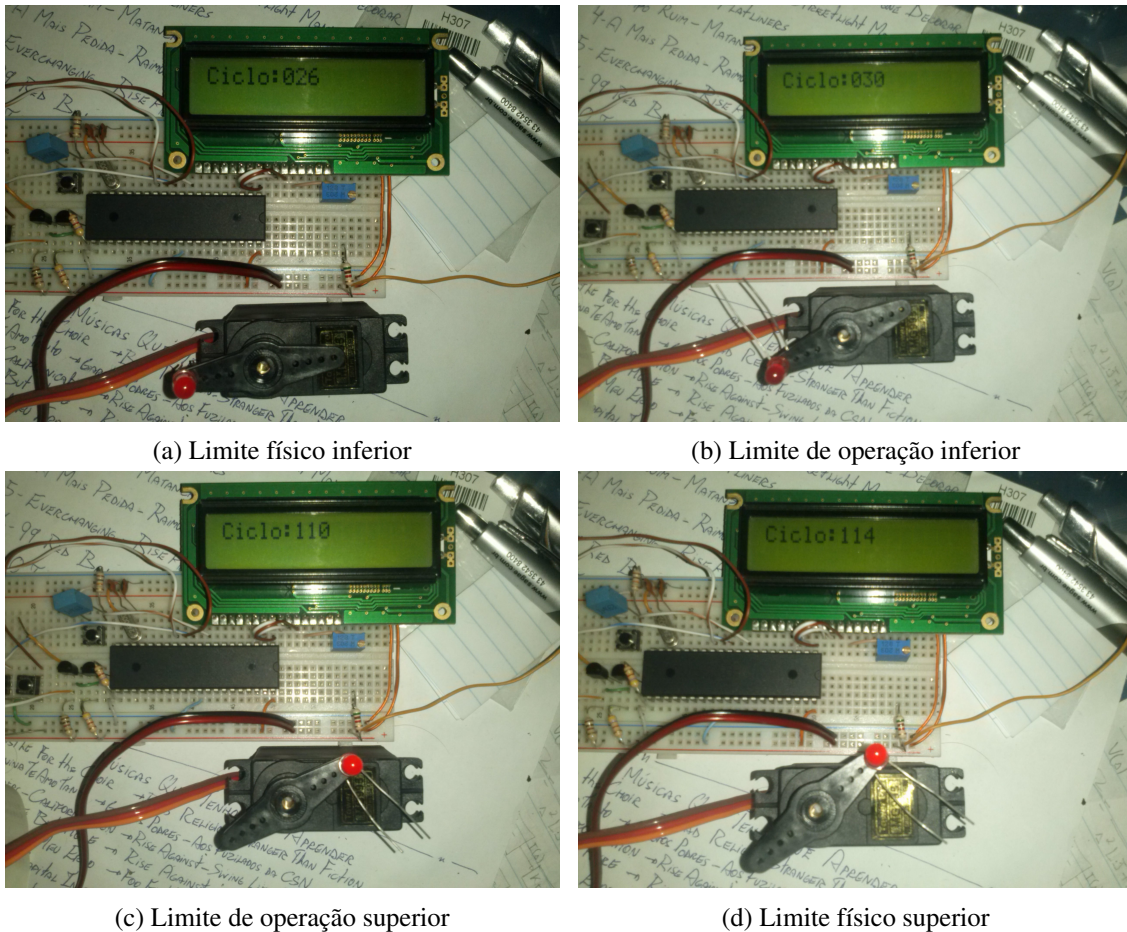


Figura F.2: Limites de excursão do servo-motor

A partir do ensaio realizado, pôde ser observado que quando funcionando muito próximo dos limites de excursão, o motor gera vibração mecânica e calor excessivos. Como a excursão máxima, em graus, é maior do que 180° , a faixa segura de operação foi definida para $30 < ciclo < 110$, tendo em vista que essa faixa tem uma excursão aproximada de 180° e está distante dos valores mínimo e máximo de excursão.

Voltando ao Proteus, ao simular o circuito, foi adicionado um osciloscópio ao pino de controle do servo motor, possibilitando a predição do tempo em alta do sinal. Três simulações para valores notáveis de "ciclo", i.e. incremento mínimo de Δt , foram feitas: para $ciclo=1$, determinando o offset da temporização, pois há atrasos de chamada de rotina de configuração dos temporizadores; $ciclo=25$, determinando o valor mínimo de operação e; $ciclo=114$, determinando o valor máximo de operação. Os resultados são mostrados na Figura F.3, onde é observado no osciloscópio o sinal para $ciclo=1$ e diversas marcações de temporização para outros valores de ciclo.

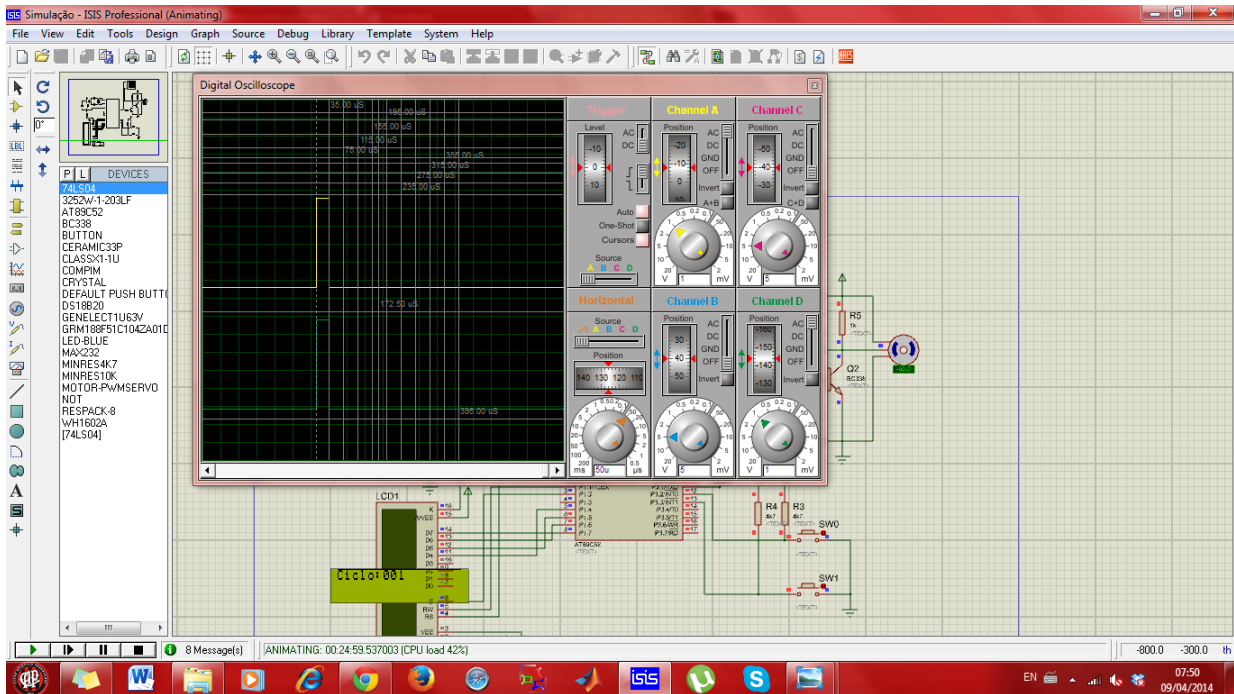


Figura F.3: Simulação para obtenção do valor mínimo de incremento Δt

Diversas outras amostras de Δt foram registradas e seus valores interpolados de maneira a observar a linearidade t_{min} com a qual Δt é incrementado. O gráfico da Figura F.4 apresenta os resultados.



Figura F.4: Gráfico de Δt em função de *ciclo*

A partir do ensaio e da simulação aqui descritos, foram obtidos os limites de operação do servomotor TowerPro MG995 e a fórmula de Δt em função do valor do seu incremento mínimo (ciclo). A tabela F.1 resume os limites de temporização do servo-motor MG995.

$$\Delta t = (ciclo - 1) \cdot t_{min} + offset \quad (\text{F.1})$$

$$t_{min} = 20\mu s$$

$$offset = 35\mu s$$

Tabela F.1: Limites de temporização do servo-motor TowerPro MG995

Limite	Valor (ms)
período mínimo	10
excursão mínima	0,515
excursão mínima ideal	0,615
excursão máxima	2,295
excursão máxima ideal	2,215

É importante que os limites de temporização sejam respeitados, uma vez que o motor, cuja excursão máxima é limitada mecânicamente, tenta compensá-la requisitando cada vez mais corrente da fonte, até queimar. Geralmente quando os limites são excedidos ou chegam próximos do máximo, o motor começa a vibrar e aquecer, indicando ao projetista atento que há algo errado.

F.2 Código-fonte

```

1 #include <at89s8252.h>
2 ****DEFINIÇÃO DOS PORTS E CONSTANTES*****
3 #define RS      P1_0
4 #define RW      P1_1
5 #define E       P1_2
6 #define LCD     P1
7 #define LINE0   0x80
8 #define LINE1   0xC0
9 #define SERVO   P2_0
10 ****
11 **** VARIÁVEIS EXTERNAS ****
12 volatile unsigned int estouro=0;
13 volatile unsigned char ciclo=25;
14 ****
15 ****funções de main.c*****
16
17 void config();
18 void tmr0() __interrupt 1;
19 void tmr1() __interrupt 3;

```

```

21 | void ext_int0() __interrupt 0;
22 | void ext_int1() __interrupt 2;
23 | void inicia_lcd();
24 | void envia_lcd(unsigned char);
25 | void envia_str_lcd(unsigned char [],unsigned char);
26 | void reset_lcd();
27 | void atraso(unsigned char);
28 | /******fim das funções******/
29 | void config(){
30 |     TMOD=0x12;//timer 1 como timer(16b) e timer 0 como timer(8
|         b auto reload))
31 |     IE=0x8A;//interrupção geral e por timer 0 e 1 ativadas
32 |     TL0=TH0=0xCE;//preset para 50us
33 |     TH1=0xB1;//prepara para 20ms
34 |     TL1=0xDF;
35 |     EX0=EX1=1; //habilita interrupção externa
36 |     TR1=1;//liga ambos os timers
37 |     TR0=1;
38 |     PT0=PT1=1;//prioridade de interrupção maior para os timers
39 |
40 }
41 void tmr0() __interrupt 1{
42     estouro++;
43     if(estouro==ciclo){//se deu a largura de pulso
44         estouro=0;//zera o controle
45         SERVO=0;
46         TR0=0;//desliga o timer
47     }
48 }
49
50 void tmr1() __interrupt 3{
51     TH1=0xB1;//prepara para 20ms
52     TL1=0xDF;
53     TL0=TH0=0xD8;//preset para 40us(12MHz) ou 20us(24MHz)
54     TR0=1;//liga o timer 0
55     SERVO=1;
56 }
57
58 void ext_int0() __interrupt 0{
59     unsigned int atraso;
60     //if(ciclo<126){//valor prático para 24MHz -> 2,5ms
61     ciclo++;
62     //}
63     for(atraso=0;atraso!=0xffff;atraso++);
64 }
65
66 void ext_int1() __interrupt 2{
67     unsigned int atraso;
68     //if(ciclo>24){//valor prático para 24MHz -> 0,5ms
69     ciclo--;
70     //}
71     for(atraso=0;atraso!=0xffff;atraso++);
72 }
73
74 void inicia_lcd(){
75     const unsigned char instr[]={0x06,0x0C,0x28,0x01};
76     unsigned char colorado,invicta;
77     RS=RW=E=0;

```

```

78     for(colorado=0;colorado!=60;colorado++) { //gera um atraso de
79         15ms de inicialização
80         atraso(250);
81     }
82     E=1;
83     LCD=0x24;      //envia comando para operação em 4 bits
84     E=0;
85     for(invicta=0;invicta!=20;invicta++) {    //gera um atraso de
86         5ms de inicialização
87         atraso(250);
88     }
89     for(colorado=0;colorado!=4;colorado++) { //envia as
90         instruções de inicialização
91         envia_lcd(instr[colorado]);
92         for(invicta=0;invicta!=20;invicta++) { //gera um atraso de
93             5ms de inicialização
94             atraso(250);
95         }
96     }
97
98     void envia_lcd(unsigned char letra) {
99         E=1;
100        LCD=(0x0f&LCD) | (letra&0xf0); //máscara para os bits de
101            controle
102        E=0;
103        letra<=4; //faz o swap dos nibbles
104        E=1;
105        LCD=(0x0f&LCD) | (letra&0xf0); //máscara para os bits de
106            controle
107        E=0;
108        atraso(250); //espera enviar o dado
109    }
110
111    void envia_str_lcd(unsigned char string[],unsigned char pos) {
112        unsigned char way;
113        RS=0;
114        envia_lcd(pos);
115        RS=1;
116        for(way=0;string[way]!='\0';way++) {
117            envia_lcd(string[way]);
118        }
119    }
120
121    void reset_lcd() {
122        unsigned char coruja;
123        RS=RW=0;
124        E=1;
125        LCD=0x04;
126        E=0;
127        E=1;
128        LCD=0x14;
129        E=0;
130        for(coruja=0;coruja!=8;coruja++) { //gera um atraso de 2ms
131            de inicialização
132            atraso(250);
133        }
134    }
135 }
```

```

129
130 void atraso(unsigned char tempo) {
131     //essa rotina não é recomendada para tempos de menos que 30
132     //us(22us na verdade, massss....)
133     //as instruções a seguir corrigem o offset da função
134     tempo-=15; //1us
135     tempo/=6; //8us
136     //cada laço while demora 6us
137     while(tempo){ //enquanto o tempo em us não for zero
138         --tempo; //decrementa a cada ciclo do laço while
139     }
140
141 void main() {
142     unsigned char temp;
143     inicia_lcd();
144     envia_str_lcd("Ciclo:",0x80);
145     config();
146     while(1) {
147         RS=0;
148         envia_lcd(0x86);
149         RS=1;
150         temp=ciclo/100;
151         envia_lcd(temp+'0');
152         temp=ciclo-temp*100;
153         envia_lcd((temp/10)+'0');
154         temp-=(temp/10)*10;
155         envia_lcd(temp+'0');
156     }
157 }
```

Código-fonte F.1: Código-fonte de caracterização do funcionamento do servo-motor com AT89S52

Apêndice G

Cálculo de OG e IBU de uma receita de cerveja

Neste apêndice é apresentado o cálculo da gravidade original (OG) e do amargor (IBU) de uma receita de cerveja, baseado em [1]. Em primeiro lugar, é importante salientar que o cálculo da OG e do IBU dependem fortemente de dados do equipamento de produção de cerveja e/ou de constantes levantadas empiricamente, o que significa que este roteiro deve ser visto como um guia e, portanto, na necessidade de obter dados exatos, medições feitas por laboratórios especializados são necessárias.

Primeiramente é preciso calcular as unidades de ácidos alfa, que é um meio para quantificar a contribuição de amargor independentemente do tipo de lúpulo. Para isto, o peso em onças é multiplicado pela porcentagem de ácidos alfa, medida em laboratório e fornecida pelo fabricante. A fórmula para cálculo de AAU é apresentada na equação G.1. Outra aplicação interessante é quando uma variação específica de lúpulo tem sua porcentagem de ácidos alfa diferente em anos diferentes: neste caso, sabendo a AAU da receita original, é fácil recalcular a massa necessária para adequar a receita às novas especificações.

$$AAU = w \cdot aa \quad (\text{G.1})$$

Outro parâmetro de padronização de uma cerveja é a gravidade original, que nada mais é do que a densidade do mosto após o cozimento dos grãos. Ela é baseada nos pontos de contribuição (*pts*) de cada malte, ou seja, uma transformação numérica da gravidade original do malte, que quantifica a contribuição de açúcares do malte em questão para o mosto e indicada em g/cm^3 . O valor da gravidade original do malte é fornecido pelo fabricante geralmente

em pontos, mas a equação G.2 expressa o cálculo a partir do valor da densidade. Com isso é possível calcular a gravidade original do mosto, conforme descrito na equação G.3, na qual n é o número de maltes empregados na receita, η é a eficiência do equipamento, ou capacidade de extração de açúcares fermentáveis dos grãos para o mosto e V é o volume final de cerveja. Observe-se que o volume é expresso em galões e a massa em onças.

$$pts_{malte} = (1 - OG_{malte}) \cdot 1000 \quad (\text{G.2})$$

$$OG = \left\{ \left[\sum_n (pts_n \cdot w_n) \right] \cdot \frac{\eta}{1000 \cdot V} \right\} + 1 \quad (\text{G.3})$$

A utilização é um dos fatores mais críticos para o cálculo adequado da quantidade de IBU da cerveja. Ela é uma função da OG e do tempo de fervura. Uma vez que seu valor é fortemente dependente do vigor da fervura, da química do mosto e de outros parâmetros difíceis de quantificar, valores empíricos de constantes são empregados como um ponto de estimativa de IBU — embora com o tempo o operador do equipamento deva fazer um ajuste fino destas constantes para aumentar a precisão do cálculo. O cálculo da utilização u é apresentado no conjunto de equações G.6.

$$u = f(OG) \cdot f(t), \quad \text{onde :} \quad (\text{G.4a})$$

$$f(OG) = 1,65 \cdot 0,000125^{(OG-1)} \quad (\text{G.4b})$$

$$f(t) = \frac{1 - e^{-0,04t}}{4,15} \quad (\text{G.4c})$$

Finalmente, é possível calcular a quantidade de amargor da cerveja usando a fórmula G.5, na qual V é o volume final da produção expresso em galões e 74,89 é o fator de conversão de onças por galão para miligramas por litro, unidade do IBU.

$$IBU = \frac{AAU \cdot u \cdot 74,89}{V} \quad (\text{G.5})$$

G.1 Estimação do IBU para uma receita de 20l

Para saber se 400g de lúpulos são suficientes para uma receita de 20 litros, foi feito um cálculo hipotético considerando situações extremas: densidade original alta ($1,120 g/cm^3$), tempo de

fervura alto (120min), lúpulo nobre (baixo teor de ácidos alfa = 5%):

$$AAU = (400 \cdot 0,035274) \cdot 5,0 = 70,55$$

$$f(OG) = 1,65 \cdot 0,000125^{(1,12-1,00)} = 0,56$$

$$f(t) = \frac{1 - e^{-0,04 \cdot 120}}{4,15} = 0,24$$

$$u = 0,56 \cdot 0,24 = 0,135$$

$$IBU = \frac{70,55 \cdot 0,135 \cdot 74,89}{20 \cdot 0,264} = 135mg/l$$

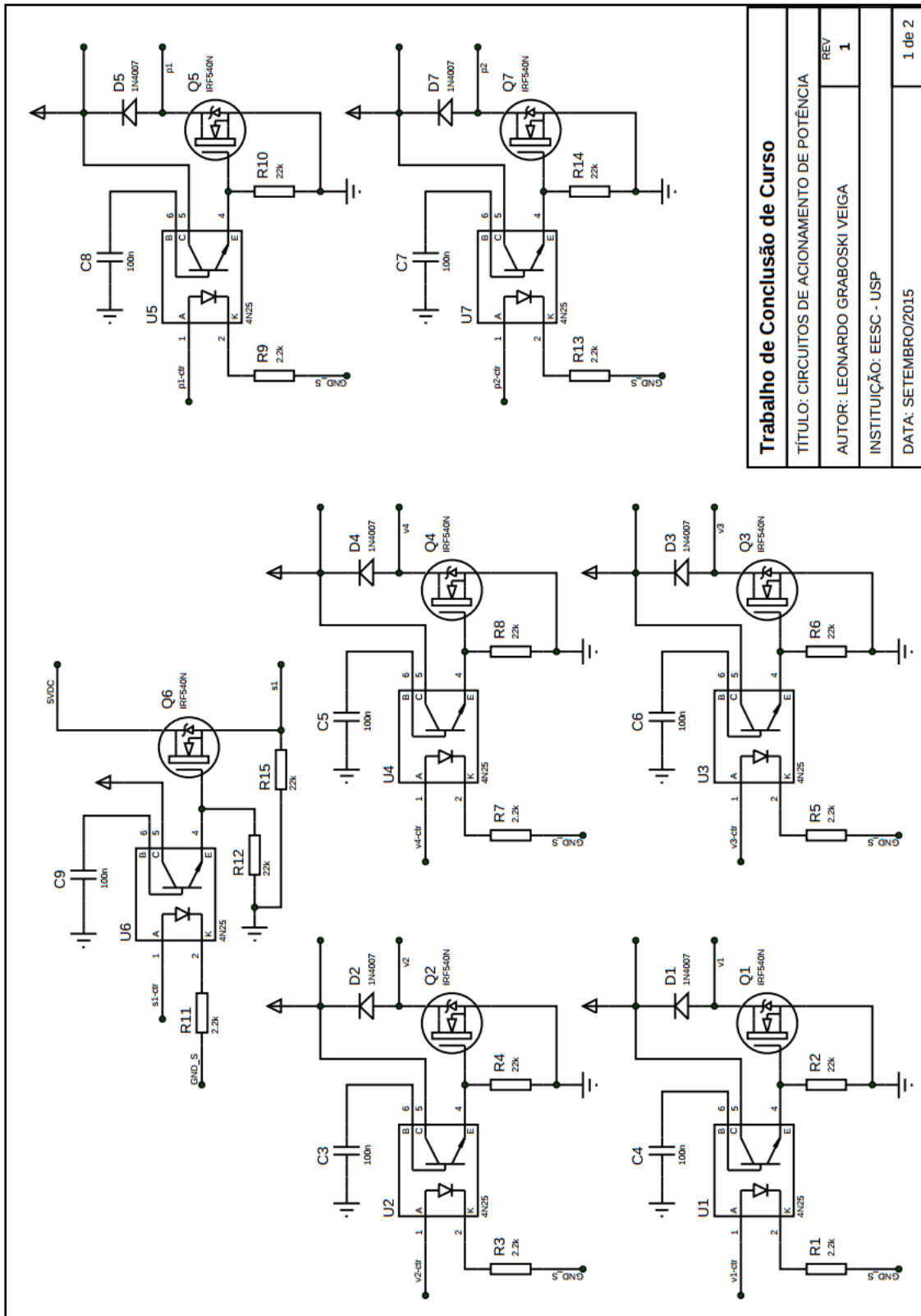
Considerando o guia do BJCP (Beer Judge Certification Program), que é adotado por profissionais ao redor de todo o mundo para participarem de competições de cervejas como juízes, os dois estilos de cerveja com maior amargor são *Imperial India Pale Ale* e *American Barley Wine*, ambos com limite superior de 120 IBU [58] e o livro *How to Brew* que descreve somente um estilo com mais de 120 IBU — justamente o *American Barley Wine* — é razoável assumir que raramente será necessário operar a estrutura de adição de lúpulos em sua capacidade máxima.

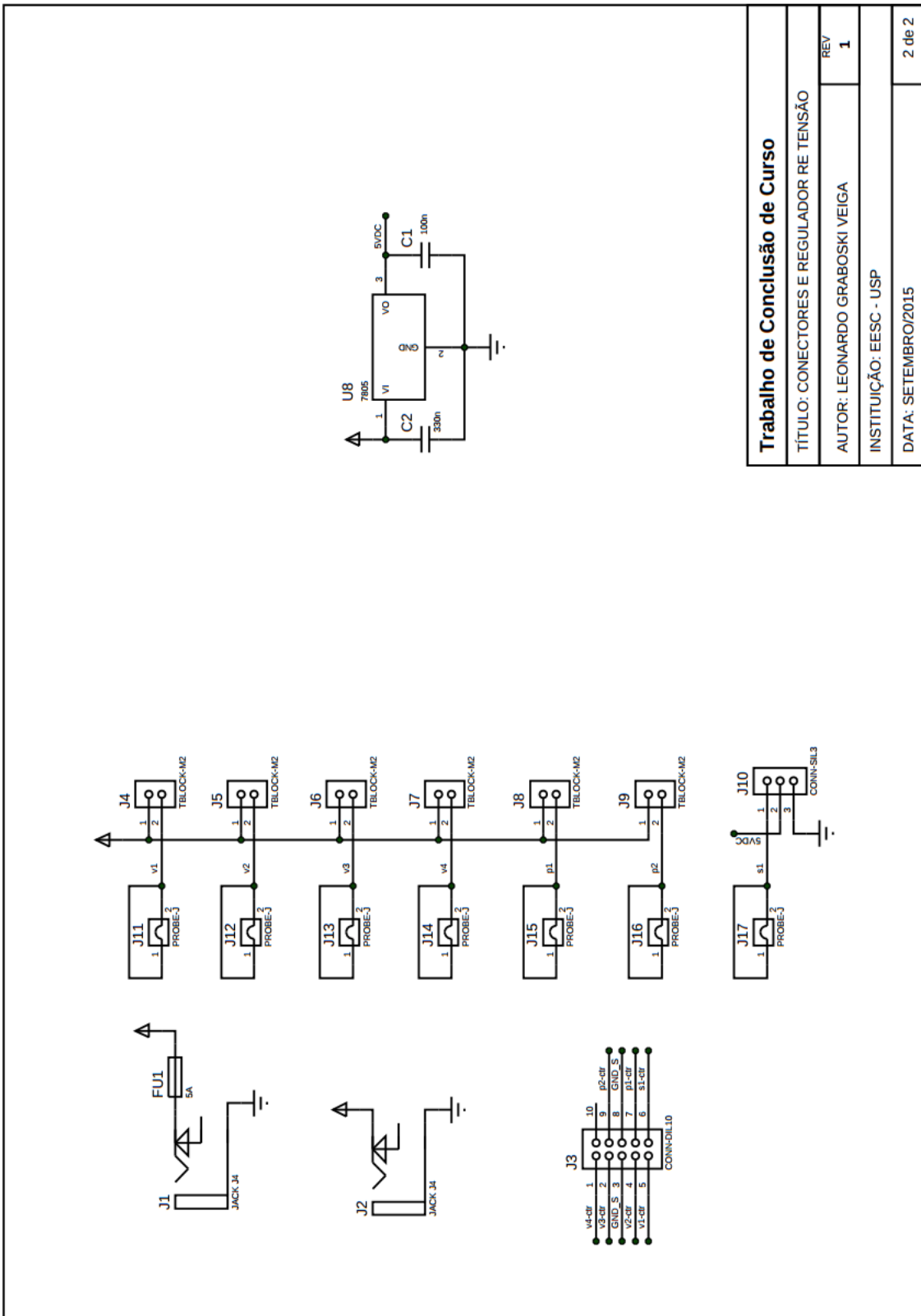
Apêndice H

Análise do tempo de leitura do sensor DS18B20 em Python

Apêndice I

Diagrama esquemático do circuito de acionamentos de potência





Anexo I

Diagrama de conexões elétricas da BeagleBone Black

REV	Description	DATE	BY
A4A	Initial production Release.	11/19/2012	GC
A5	On the initial production release the processors were to be found incorrect as supplied by TI. Parts while marked AM3359 were actually AM3352. This revision uses the correct parts.	1/2/2013	GC
D	<ul style="list-style-type: none"> 1. Deleted R29-R44 from the LCD lines. 2. Added 47pf capacitors C156-C173 to LCD data lines to ground. 3. Changed schematic revision to A5A. 4. Changed a few footprints after PCB update for above changes. 5. Added access point for the battery function of the TPS65217C. 6. Added Ferrite beads in series with LED power and 5V power rail of the USB host connector. Required to pass FCC/CE testing due to noise emissions on that pin. 7. Added power button to enable sleep, wakeup, power down and power up features on the system. 8. Added Modification to add 100K ohm resistor to ground to prevent crosstalk when serial cable is not plugged in. 		
A5A	<ul style="list-style-type: none"> 1. Added 100K pulldown on J1 pin 4 to prevent crosstalk when serial cable is not connected into PCB layout. 2. Changed the LED resistors to 4.7kΩ to lower the brightness. 	2/8/2013	GC
C	<ul style="list-style-type: none"> 1. Changed R46, R47, R48 to 0 ohms. 2. Changed R45 to 22 Ohms. <p>Change was made due to production failures on some boards due to differences in impedances.</p>		
A5B	<ul style="list-style-type: none"> 1. Moved the enable for the VDD_3V3B regulator to VDD_3V3A rail. Change was made to reduce the delay between the ramp up of the 3.3V rails. 2. Added a AND gate to the SYS_RESETn circuitry. There is a small change that on power up the nRESETn signal on the processor may go high, causing the SYS_RESETn signal to go HI before it should. This change reinforces the reset with the PORZn reset signal. 3. Added optional zero ohm resistor to tie GND_OSCO to system ground. 	5/2/2013	GC
A5C	<ul style="list-style-type: none"> 1. Added optional zero ohm resistor to tie GND_OSC1 to system ground. 2. Changed C106 to a 1uF capacitor. 3. Changed C24 to a 2.2uF capacitor. 4. Made R8 installed and R9 not installed. 	6/12/2013	GC
A6	<ul style="list-style-type: none"> 1. Changed the processor to the AM3358BZCZ100. 	12/13/2013	GC
B	<ul style="list-style-type: none"> 1. Increased the eMMC from 2GB to 4GB. 	1/20/2014	GC
C	<ul style="list-style-type: none"> 1. Increased the eMMC from 2GB to 4GB. 	3/21/2014	GC

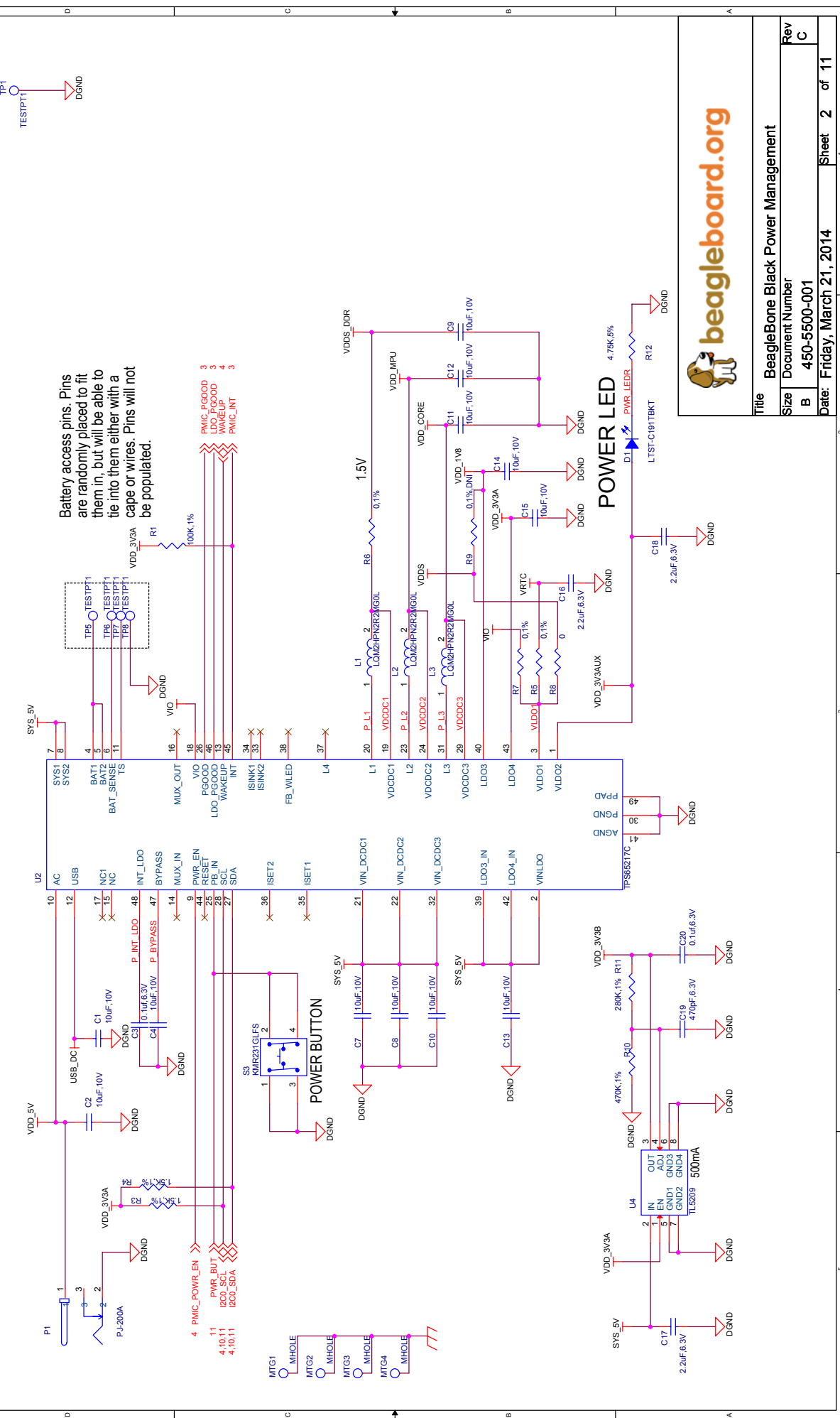
This schematic is *NOT SUPPORTED* and DOES NOT constitute a reference design. Only "community" support is allowed via resources at BeagleBoard.org/discuss.

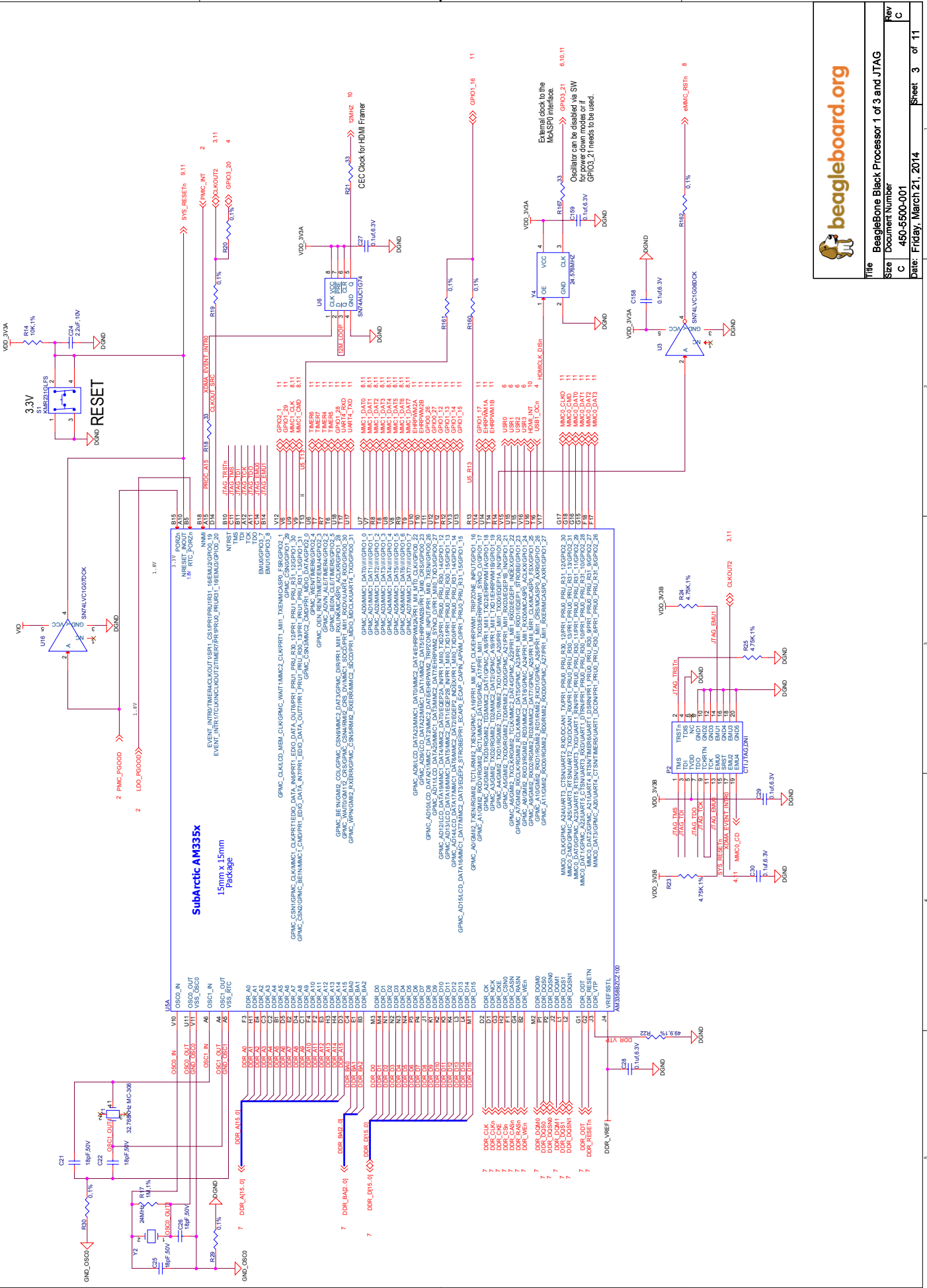
THERE IS NO WARRANTY FOR THIS DESIGN ' TO THE EXTENT PERMITTED BY APPLICABLE LAW. EXCEPT WHEN OTHERWISE STATED IN WRITING THE DESIGN "AS IS" WITHOUT WARRANTY OF ANY KIND, EITHER EXPRESSED OR IMPLIED, INCLUDING, BUT NOT LIMITED TO, THE IMPLIED WARRANTIES OF MERCHANTABILITY AND FITNESS FOR A PARTICULAR PURPOSE. THE ENTIRE RISK AS TO THE QUALITY AND PERFORMANCE OF THE DESIGN IS WITH YOU. SHOULD THE DESIGN PROVE DEFECTIVE, YOU ASSUME THE COST OF ALL NECESSARY SERVICING, REPAIR OR CORRECTION.

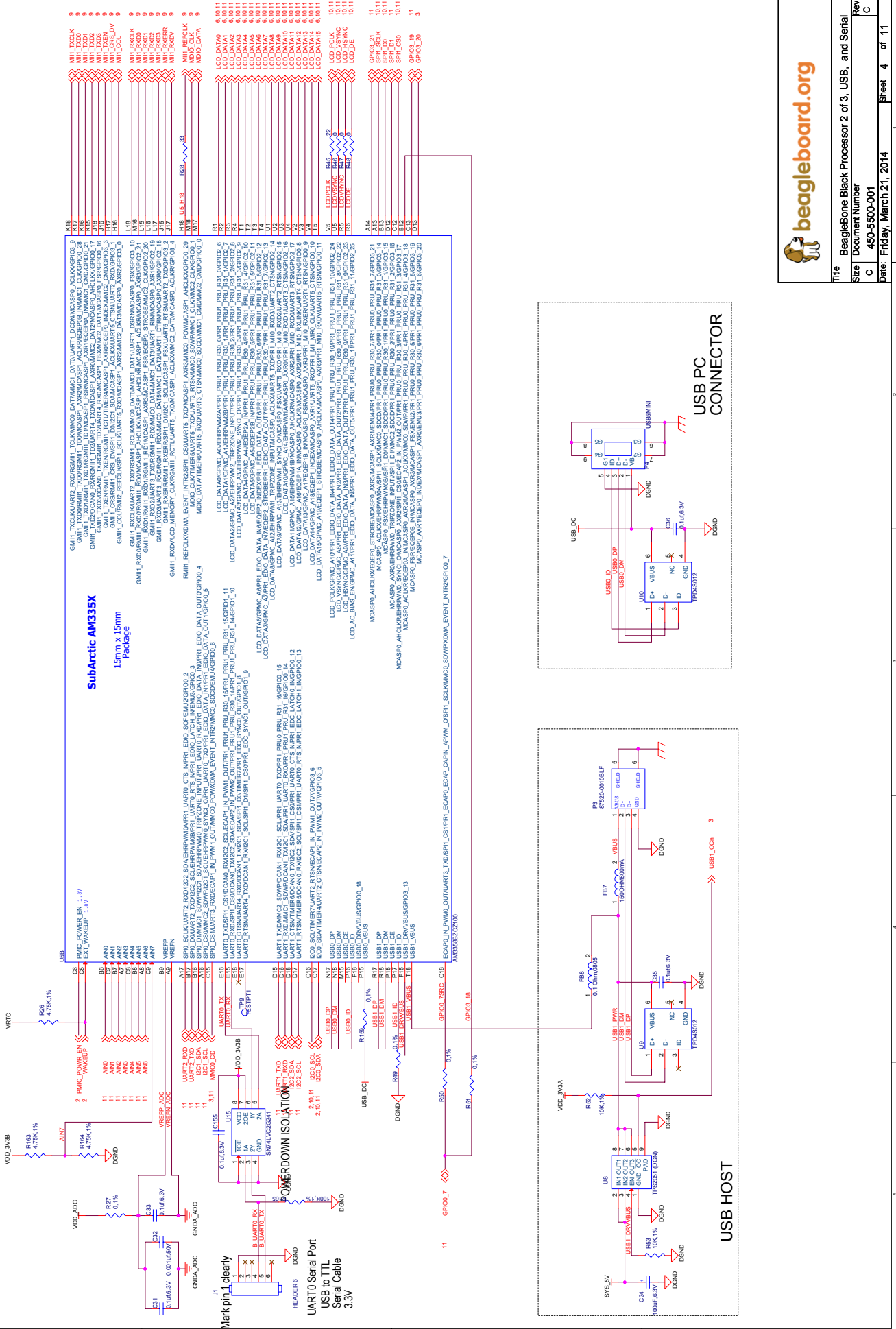
PAGE NO.	SCHEMATIC PAGE
1	COVER PAGE
2	POWER MANAGEMENT
3	PROCESSOR 1 OF 3, JTAG HEADER
4	PROCESSOR 2 OF 3, UAB PORTS
5	PROCESSOR 3 OF 3
6	LED, CONFIGURATION AND BUTTON
7	DDR3 MEMORY
8	eMMC FLASH
9	10/100 ETHERNET
10	HDMI FRAMER
11	EXP CONN, USD

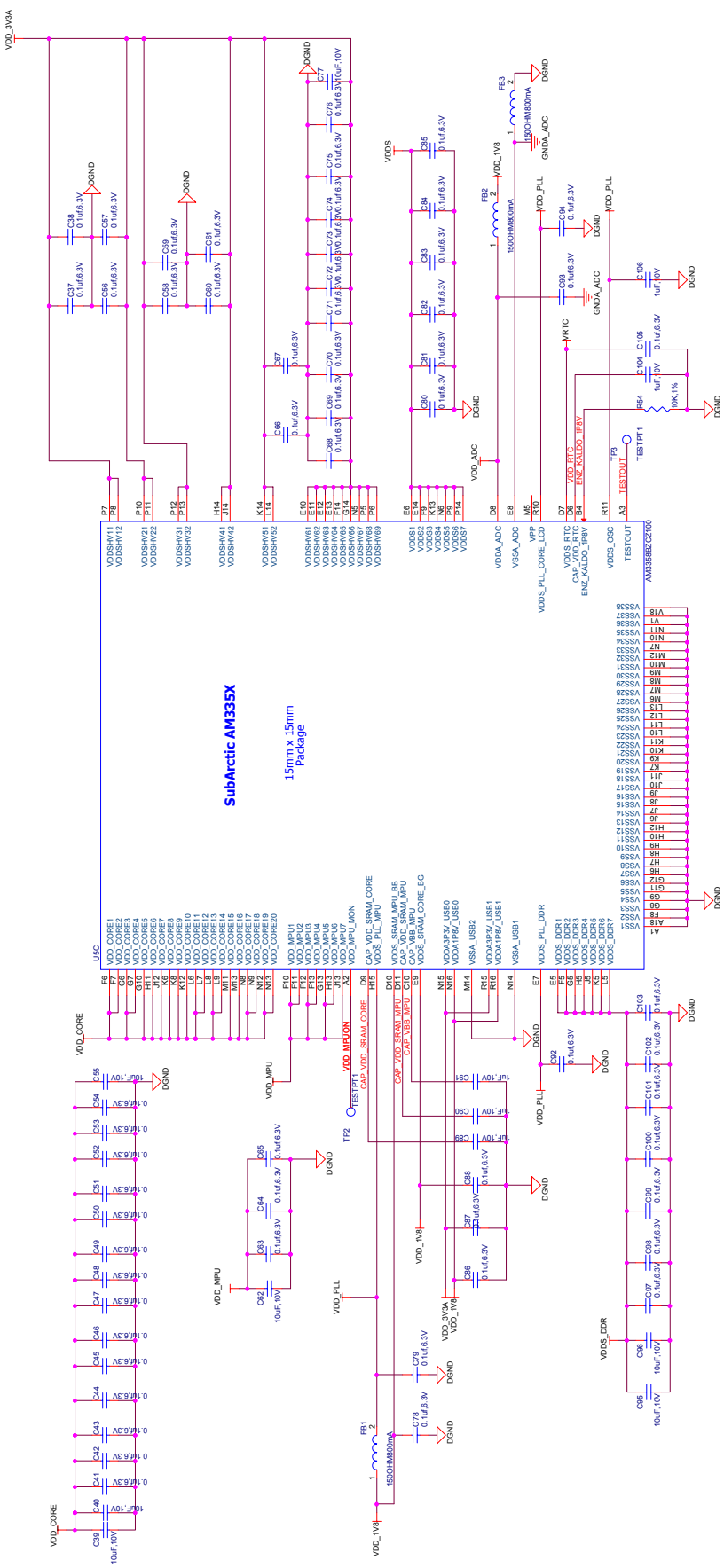
NOTE: PCB Revision for this board is Rev B6

	beagleboard.org
Title	BeagleBone Black Cover Page
Size	Document Number
B	450-5500-001
Date:	Friday, March 21, 2014
Rev	C
Sheet	1 of 11





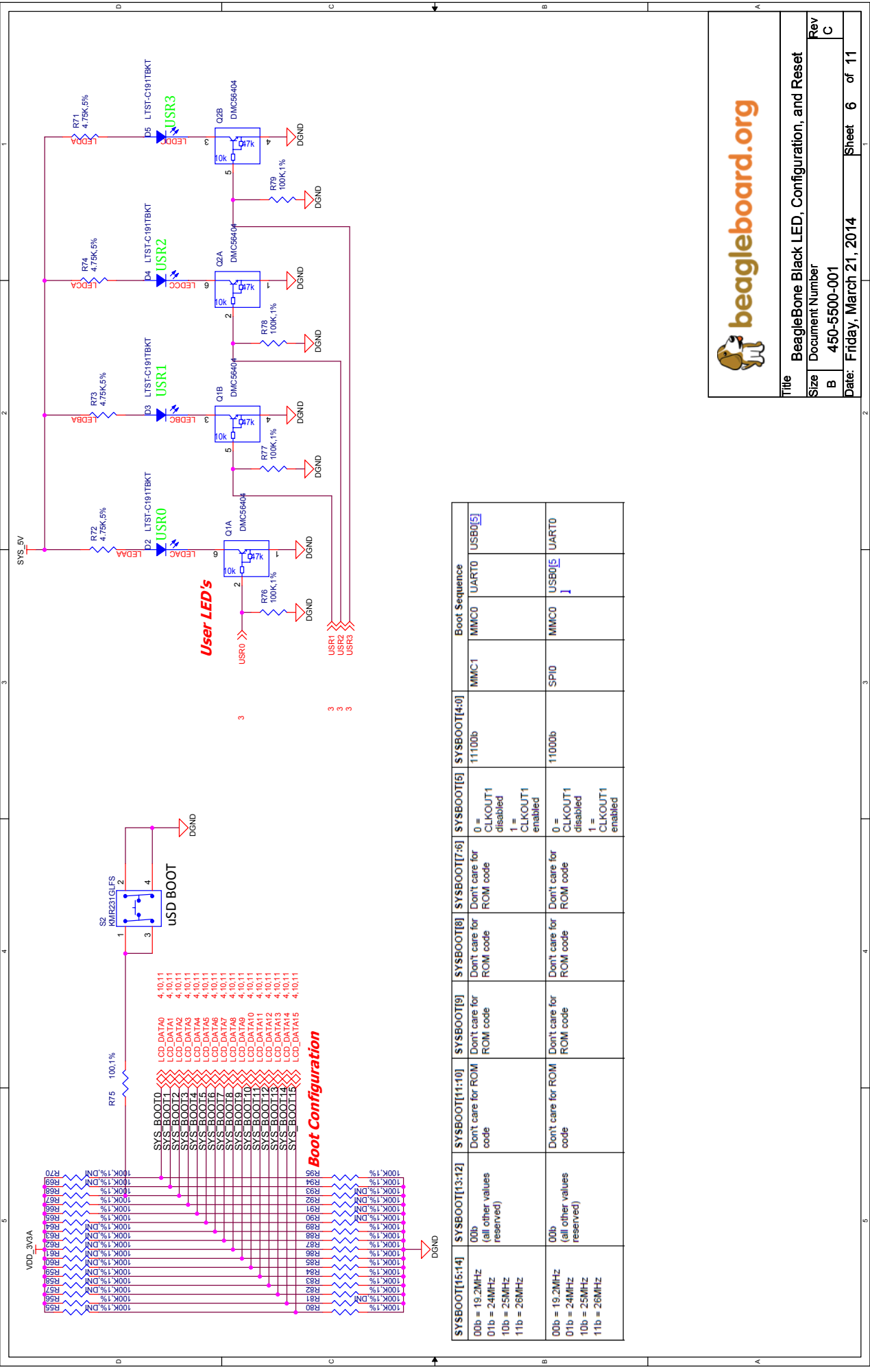




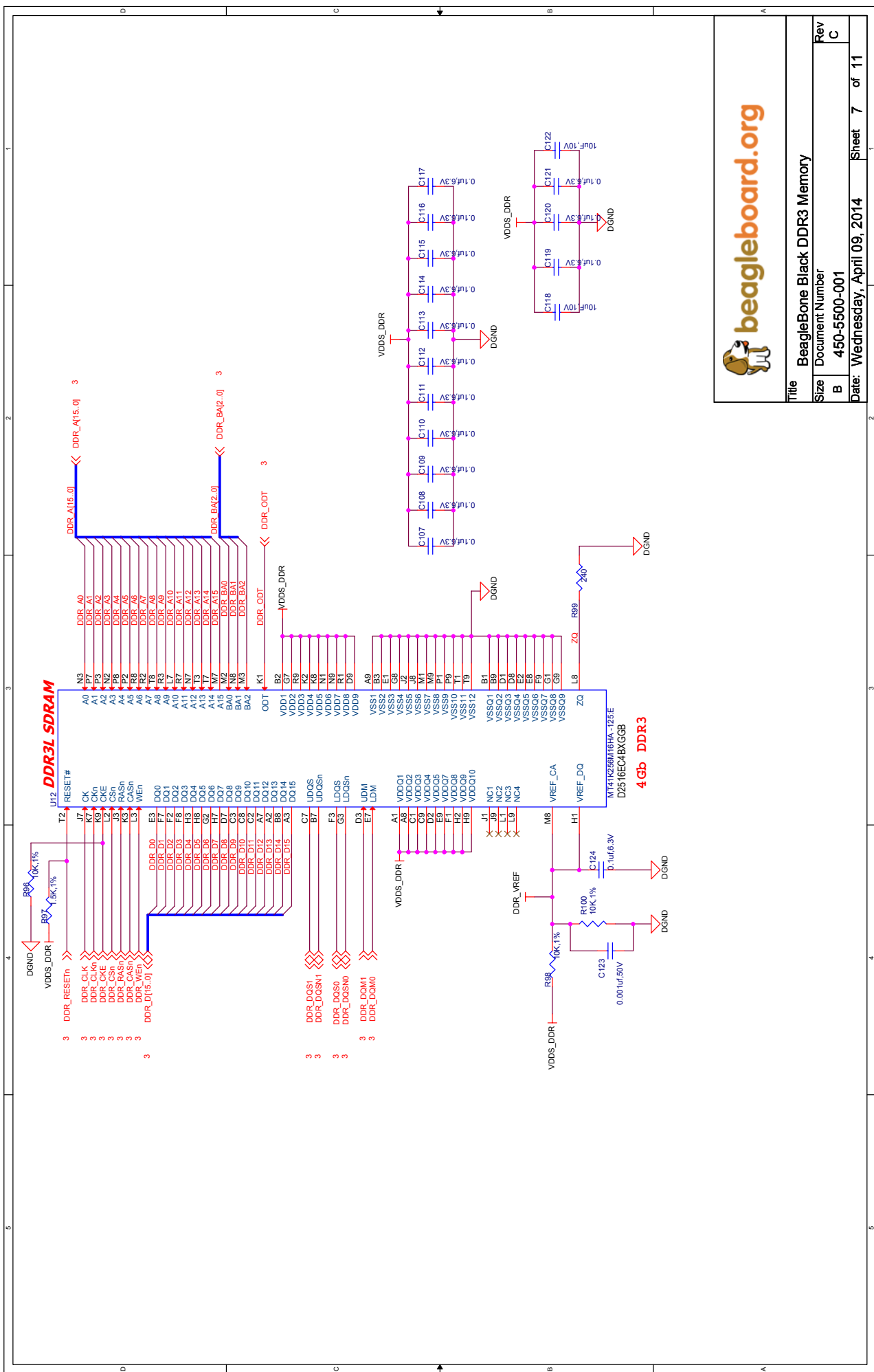
BeagleBone Black Processor 3 of 3

BeagleBoe Black Processor Rev

1

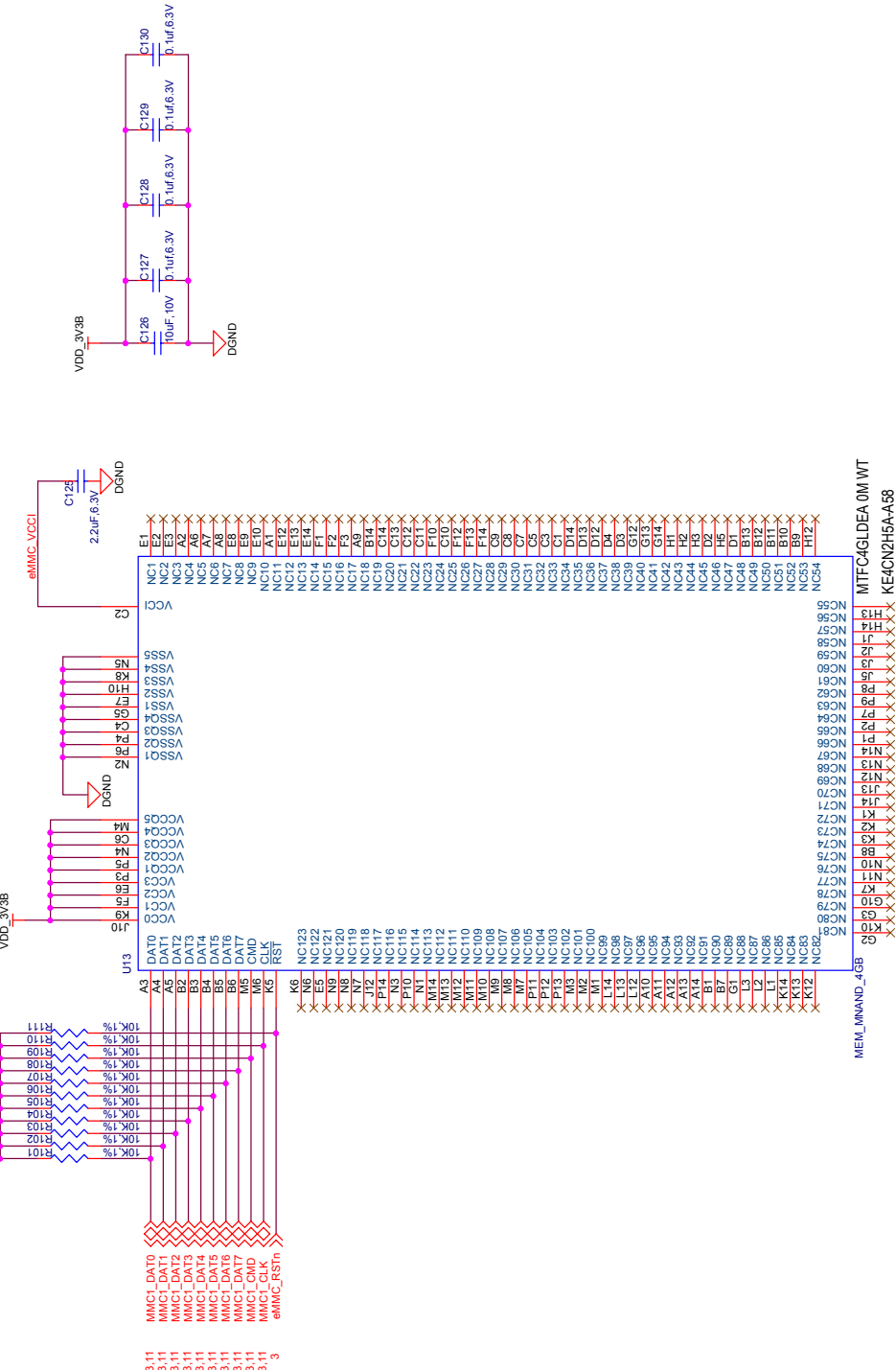


Title		BeagleBone Black LED, Configuration, and Reset	
Size	Document Number	Rev	C
B	450-5500-001		
Date:	Friday, March 21, 2014	Sheet 6 of 11	1



Title: BeagleBone Black DDR3 Memory
Size: Document Number
B 450-5500-001
Date: Wednesday, April 09, 2014

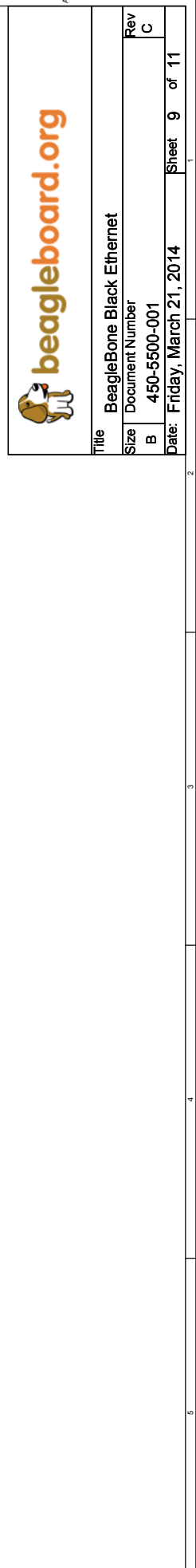
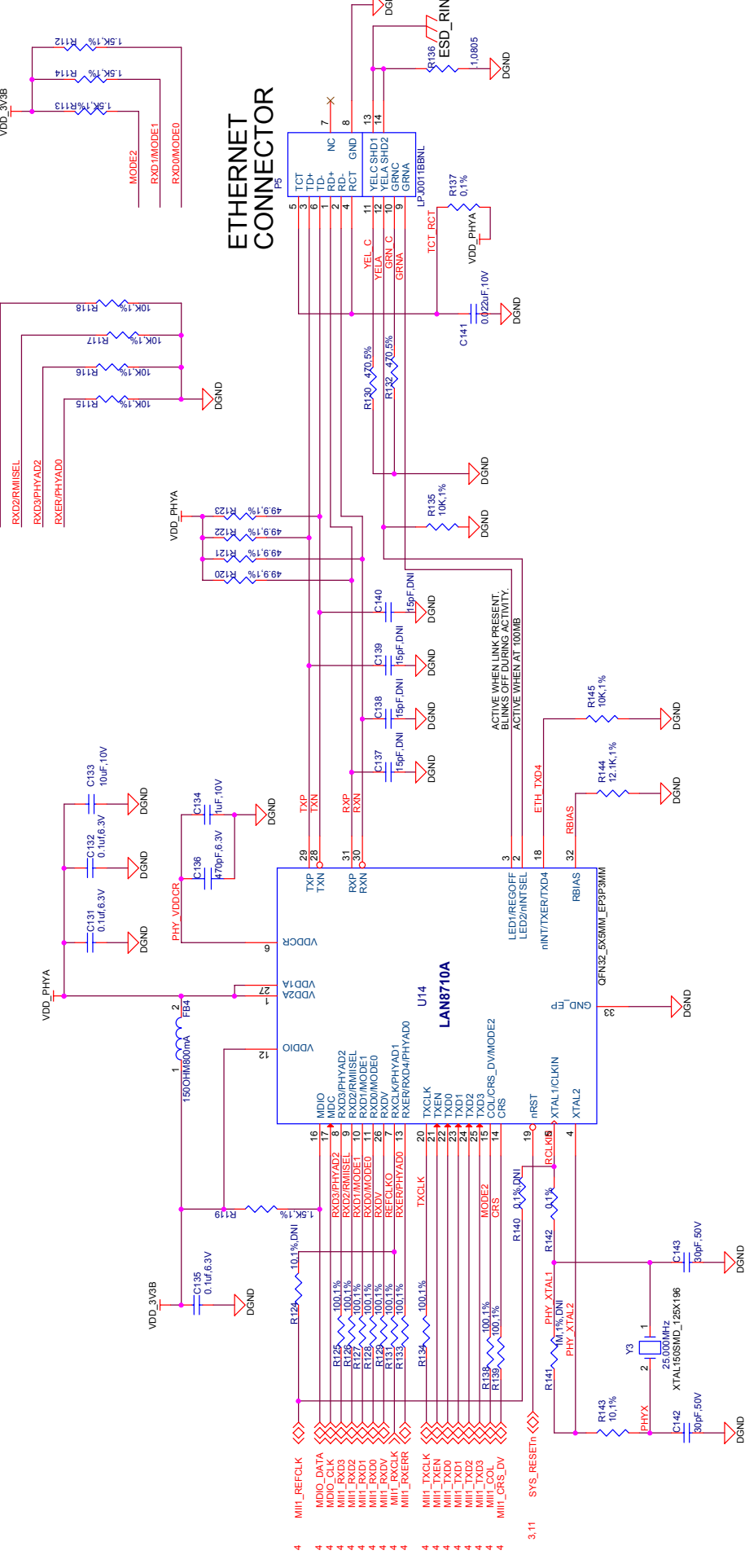
A	B	C
1	2	3
4	5	6
7	8	9
10	11	12

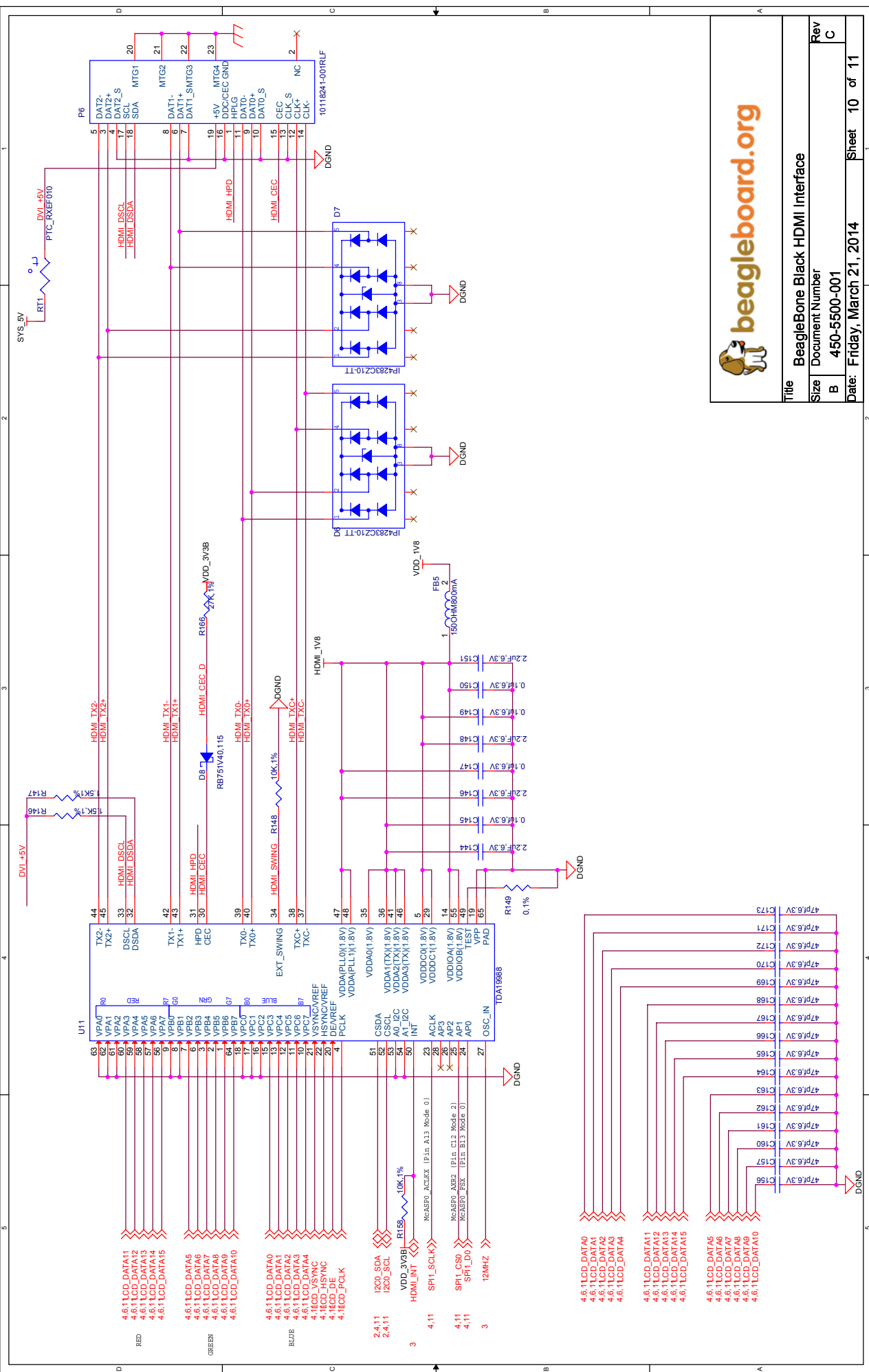


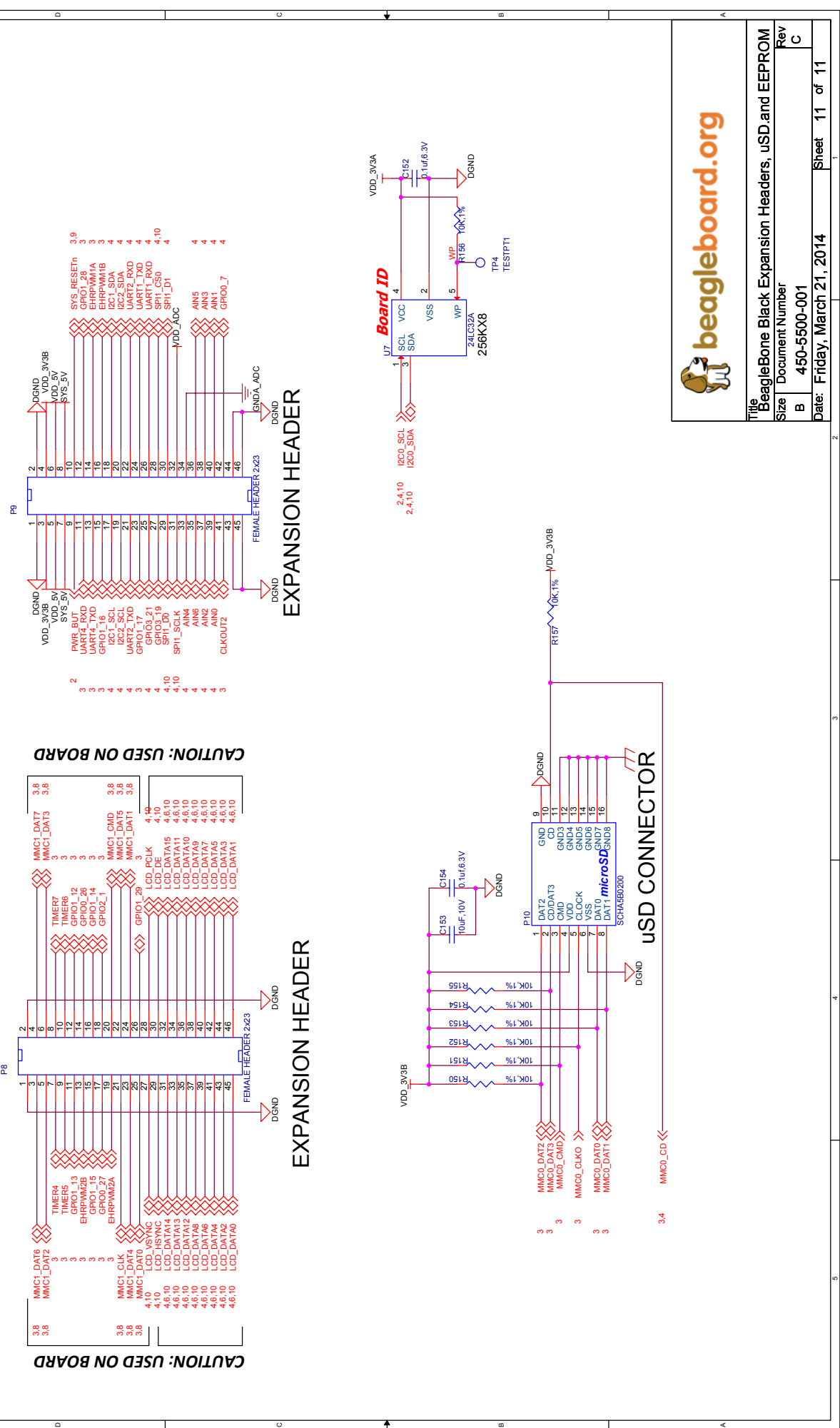
Title: BeagleBoneBlack 4G eMMC
Size: Document Number
B: 450-5500-001
Date: Friday, March 21, 2014

Rev	C
8	of 11

1	2	3	4	5
---	---	---	---	---







Anexo II

Registradores do Módulo de Controle

Tabela II.1: Registradores do módulo de controle.

Fonte: adaptado de TEXAS INSTRUMENTS(2014)

Offset	Acrônimo
800h	conf_gpmc_ad0
804h	conf_gpmc_ad1
808h	conf_gpmc_ad2
80Ch	conf_gpmc_ad3
810h	conf_gpmc_ad4
814h	conf_gpmc_ad5
818h	conf_gpmc_ad6
81Ch	conf_gpmc_ad7
820h	conf_gpmc_ad8
824h	conf_gpmc_ad9
828h	conf_gpmc_ad10
82Ch	conf_gpmc_ad11
830h	conf_gpmc_ad12
834h	conf_gpmc_ad13
838h	conf_gpmc_ad14
83Ch	conf_gpmc_ad15
840h	conf_gpmc_a0
844h	conf_gpmc_a1

Tabela II.1: Registradores do módulo de controle.
 Fonte: adaptado de TEXAS INSTRUMENTS(2014) (continuação)

848h	conf_gpmc_a2
84Ch	conf_gpmc_a3
850h	conf_gpmc_a4
854h	conf_gpmc_a5
858h	conf_gpmc_a6
85Ch	conf_gpmc_a7
860h	conf_gpmc_a8
864h	conf_gpmc_a9
868h	conf_gpmc_a10
86Ch	conf_gpmc_a11
870h	conf_gpmc_wait0
874h	conf_gpmc_wpn
878h	conf_gpmc_ben1
87Ch	conf_gpmc_csn0
880h	conf_gpmc_csn1
884h	conf_gpmc_csn2
888h	conf_gpmc_csn3
88Ch	conf_gpmc_clk
890h	conf_gpmc_advn_ale
894h	conf_gpmc_oen_ren
898h	conf_gpmc_wen
89Ch	conf_gpmc_ben0_cle
8A0h	conf_lcd_data0
8A4h	conf_lcd_data1
8A8h	conf_lcd_data2
8ACh	conf_lcd_data3
8B0h	conf_lcd_data4
8B4h	conf_lcd_data5

Tabela II.1: Registradores do módulo de controle.
 Fonte: adaptado de TEXAS INSTRUMENTS(2014) (continuação)

8B8h	conf_lcd_data6
8BCh	conf_lcd_data7
8C0h	conf_lcd_data8
8C4h	conf_lcd_data9
8C8h	conf_lcd_data10
8CCh	conf_lcd_data11
8D0h	conf_lcd_data12
8D4h	conf_lcd_data13
8D8h	conf_lcd_data14
8DCh	conf_lcd_data15
8E0h	conf_lcd_vsync
8E4h	conf_lcd_hsync
8E8h	conf_lcd_pclk
8ECh	conf_lcd_ac_bias_en
8F0h	conf_mmc0_dat3
8F4h	conf_mmc0_dat2
8F8h	conf_mmc0_dat1
8FCh	conf_mmc0_dat0
900h	conf_mmc0_clk
904h	conf_mmc0_cmd
908h	conf_mmi1_col
90Ch	conf_mmi1_crs
910h	conf_mmi1_rx_er
914h	conf_mmi1_tx_en
918h	conf_mmi1_rx_dv
91Ch	conf_mmi1_txd3
920h	conf_mmi1_txd2
924h	conf_mmi1_txd1

Tabela II.1: Registradores do módulo de controle.
 Fonte: adaptado de TEXAS INSTRUMENTS(2014) (continuação)

928h	conf_mmi1_txd0
92Ch	conf_mmi1_tx_clk
930h	conf_mmi1_rx_clk
934h	conf_mmi1_rxd3
938h	conf_mmi1_rxd2
93Ch	conf_mmi1_rxd1
940h	conf_mmi1_rxd0
944h	conf_rmmi1_ref_clk
948h	conf_mdio
94Ch	conf_mdc
950h	conf_spi0_sclk
954h	conf_spi0_d0
958h	conf_spi0_d1
95Ch	conf_spi0_cs0
960h	conf_spi0_cs1
964h	conf_ecap0_in_pwm0_out
968h	conf_uart0_ctsn
96Ch	conf_uart0_rtsn
970h	conf_uart0_rdx
974h	conf_uart0_tdx
978h	conf_uart1_ctsn
97Ch	conf_uart1_rtsn
980h	conf_uart1_rdx
984h	conf_uart1_tdx
988h	conf_i2c0_sda
98Ch	conf_i2c0_scl
990h	conf_mcasp0_aclkx
994h	conf_mcasp0_fsx

Tabela II.1: Registradores do módulo de controle.
 Fonte: adaptado de TEXAS INSTRUMENTS(2014) (continuação)

998h	conf_mcasp0_axr0
99Ch	conf_mcasp0_ahclkx
9A0h	conf_mcasp0_aclkx
9A4h	conf_mcasp0_fsr
9A8h	conf_mcasp0_axr1
9ACh	conf_mcasp0_ahclkx
9B0h	conf_xdma_event_intr0
9B4h	conf_xdma_event_intr1
9B8h	conf_warmrstn
9C0h	conf_nnnmi
9D0h	conf_tms
9D4h	conf_tdi
9D8h	conf_tdo
9DCh	conf_tck
9E0h	conf_trstn
9E4h	conf_emu0
9E8h	conf_emu1
9F8h	conf_RTC_pwrctrlstn
9FCh	conf_pmic_power_en
A00h	conf_ext_wakeup
A04h	conf_RTC_kaldo_enn
A1Ch	conf_usb0_drvvbus
A34h	conf_usb1_drvvbus

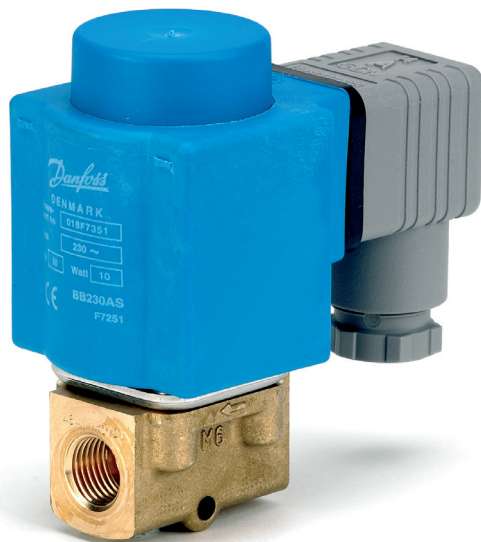
Anexo III

Válvula Danfoss EV210BD 032U3620

Ficha técnica

Válvulas solenoides de 2/2 vias de operação direta

Tipo EV210B



A EV210B cobre uma ampla linha de válvulas solenoides de 2/2 vias de operação direta para uso universal.

A EV210B é uma válvula muito robusta com alto desempenho e pode ser utilizada em todos os tipos e condições de trabalho, até mesmo nas mais adversas aplicações industriais, tais como controle e fechamento.

Características e versões:

- Para água, óleo, ar comprimido e meios neutros similares.
- Faixa de fluxo: 0 – 8 m³/h
- Pressão diferencial: 0 – 30 bar
- Temperatura do meio: -30 a 140 °C
- Temperatura ambiente: Até 80 °C
- Grau de proteção: Até IP67
- Conexões de rosca: G 1/8 – G 1
- DN 1.5 – 25
- Viscosidade: Até 50 cSt
- A válvula pode ser usada para vácuo
- Versão EV210B em latão para água, óleo, ar comprimido e meios neutros similares
- Versão EV210 em aço inoxidável para líquidos e gases neutros e agressivos.
- Também disponível com conexão NPT.

**Corpo da válvula em latão
EV210B, NF**


Conex. ISO 228/1	Material de vedado cão	Diâmetro do orifício	Valor kv [m³/h]	Pressão diferencial mín. a máx. [bar]/ tipo de bobina ²⁾							Temperatura do meio mín. a máx. [°C]	Código
				BA 9 [W c.a]	BA 15 [W c.c]	BD 15 [W c.a]	BB 10 [W c.a]	BB 18 [W c.c]	BG 12 [W c.a]	BG 20 [W c.c]		
G 1/8	EPDM ¹⁾	1.5	0.08	0 - 30	0 - 30	0 - 30	0 - 30	0 - 30	0 - 30	0 - 30	-30 - 120	032U5701
	FKM		0.08	0 - 30	0 - 30	0 - 30	0 - 30	0 - 30	0 - 30	0 - 30	-10 - 100	032U5702
	FKM	2.0	0.15	0 - 30	0 - 20	0 - 30	0 - 30	0 - 30	0 - 30	0 - 30	-10 - 100	032U5704
	EPDM ¹⁾	3.0	0.30	0 - 15	0 - 9	0 - 24	0 - 20	0 - 13	0 - 30	0 - 25	-30 - 120	032U5705
	FKM		0.30	0 - 15	0 - 9	0 - 24	0 - 20	0 - 13	0 - 30	0 - 25	-10 - 100	032U5706
G 1/4	FKM	1.5	0.08	0 - 30	0 - 30	0 - 30	0 - 30	0 - 30	0 - 30	0 - 30	-10 - 100	032U3629
	EPDM ¹⁾	2.0	0.15	0 - 30	0 - 20	0 - 30	0 - 30	0 - 30	0 - 30	0 - 30	-30 - 120	032U5707
	FKM		0.15	0 - 30	0 - 20	0 - 30	0 - 30	0 - 30	0 - 30	0 - 30	-10 - 100	032U5708
	EPDM ¹⁾	3.0	0.30	0 - 15	0 - 9	0 - 24	0 - 20	0 - 13	0 - 30	0 - 25	-30 - 120	032U5709
	FKM		0.30	0 - 15	0 - 9	0 - 24	0 - 20	0 - 13	0 - 30	0 - 25	-10 - 100	032U5710
	EPDM ¹⁾	4.5	0.55	0 - 8	0 - 3.5	0 - 12	0 - 10	0 - 4.5	0 - 13	0 - 9	-30 - 120	032U3600
	FKM		0.55	0 - 8	0 - 3.5	0 - 12	0 - 10	0 - 4.5	0 - 13	0 - 9	-10 - 100	032U3601
	EPDM ¹⁾	6.0	0.70	0 - 2.5	0 - 1.0	0 - 3.3	0 - 4.0	0 - 2.0	0 - 6	0 - 4.5	-30 - 120	032U3602
	FKM		0.70	0 - 2.5	0 - 1.0	0 - 3.3	0 - 4.0	0 - 2.0	0 - 6	0 - 4.5	-10 - 100	032U3603
G 3/8	EPDM ¹⁾	3.0	0.30	0 - 15	0 - 9	0 - 24	0 - 20	0 - 13	0 - 30	0 - 25	-30 - 120	032U3642
	FKM		0.30	0 - 15	0 - 9	0 - 24	0 - 20	0 - 13	0 - 30	0 - 25	-10 - 100	032U3643
	EPDM ¹⁾	4.5	0.55	0 - 8	0 - 3.5	0 - 12	0 - 10	0 - 4.5	0 - 13	0 - 9	-30 - 120	032U3605
	FKM		0.55	0 - 8	0 - 3.5	0 - 12	0 - 10	0 - 4.5	0 - 13	0 - 9	-10 - 100	032U3606
	EPDM ¹⁾	6.0	0.70	0 - 2.5	0 - 1.0	0 - 3.3	0 - 4.0	0 - 2.0	0 - 6	0 - 4.5	-30 - 120	032U3607
	FKM		0.70	0 - 2.5	0 - 1.0	0 - 3.3	0 - 4.0	0 - 2.0	0 - 6	0 - 4.5	-10 - 100	032U3608
	EPDM ¹⁾	8.0	1.00	0 - 1.5	0 - 0.5	0 - 2.0	0 - 2.0	0 - 1.2	0 - 3	0 - 2.5	-30 - 120	032U3609
	FKM		1.00	0 - 1.5	0 - 0.5	0 - 2.0	0 - 2.0	0 - 1.2	0 - 3	0 - 2.5	-10 - 100	032U3610
	EPDM ¹⁾	10.0	1.50	0 - 0.8	0 - 0.3	0 - 1.1	0 - 1.2	0 - 0.6	0 - 1.6	0 - 1.3	-30 - 120	032U3611
	FKM		1.50	0 - 0.8	0 - 0.3	0 - 1.1	0 - 1.2	0 - 0.6	0 - 1.6	0 - 1.3	-10 - 100	032U3612
	EPDM ¹⁾	15.0	2.50	0 - 0.25	-	0 - 0.4	0 - 0.3	0 - 0.15	0 - 0.45	0 - 0.4	-30 - 120	032U3613
	FKM		2.50	0 - 0.25	-	0 - 0.4	0 - 0.3	0 - 0.15	0 - 0.45	0 - 0.4	-10 - 100	032U3614
G 1/2	EPDM ¹⁾	8.0	1.00	0 - 1.5	0 - 0.5	0 - 2.0	0 - 2.0	0 - 1.2	0 - 3	0 - 2.5	-30 - 120	032U3615
	FKM		1.00	0 - 1.5	0 - 0.5	0 - 2.0	0 - 2.0	0 - 1.2	0 - 3	0 - 2.5	-10 - 100	032U3616
	EPDM ¹⁾	10.0	1.50	0 - 0.8	0 - 0.3	0 - 1.1	0 - 1.2	0 - 0.6	0 - 1.6	0 - 1.3	-30 - 120	032U3617
	FKM		1.50	0 - 0.8	0 - 0.3	0 - 1.1	0 - 1.2	0 - 0.6	0 - 1.6	0 - 1.3	-10 - 100	032U3618
	EPDM ¹⁾	15.0	2.85	0 - 0.25	-	0 - 0.4	0 - 0.3	0 - 0.15	0 - 0.45	0 - 0.4	-30 - 120	032U3619
	FKM		2.85	0 - 0.25	-	0 - 0.4	0 - 0.3	0 - 0.15	0 - 0.45	0 - 0.4	-10 - 100	032U3620
G 3/4	EPDM ¹⁾	20.0	4.50	-	-	-	0 - 0.28	0 - 0.12	0 - 0.4	0 - 0.35	-30 - 120	032U3621
	FKM		4.50	-	-	-	0 - 0.28	0 - 0.12	0 - 0.4	0 - 0.35	-10 - 100	032U3622
G 1	EPDM ¹⁾	25.0	8.00	-	-	-	0 - 0.25	0 - 0.09	0 - 0.35	0 - 0.2	-30 - 120	032U3623
	FKM		8.00	-	-	-	0 - 0.25	0 - 0.09	0 - 0.35	0 - 0.2	-10 - 100	032U3624

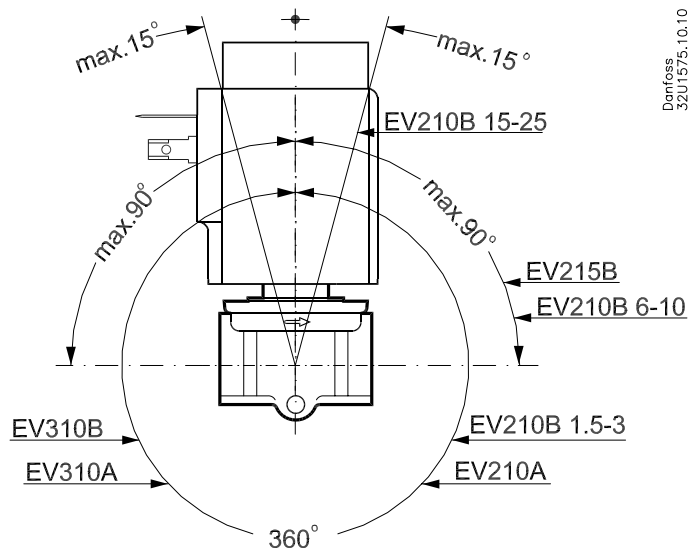
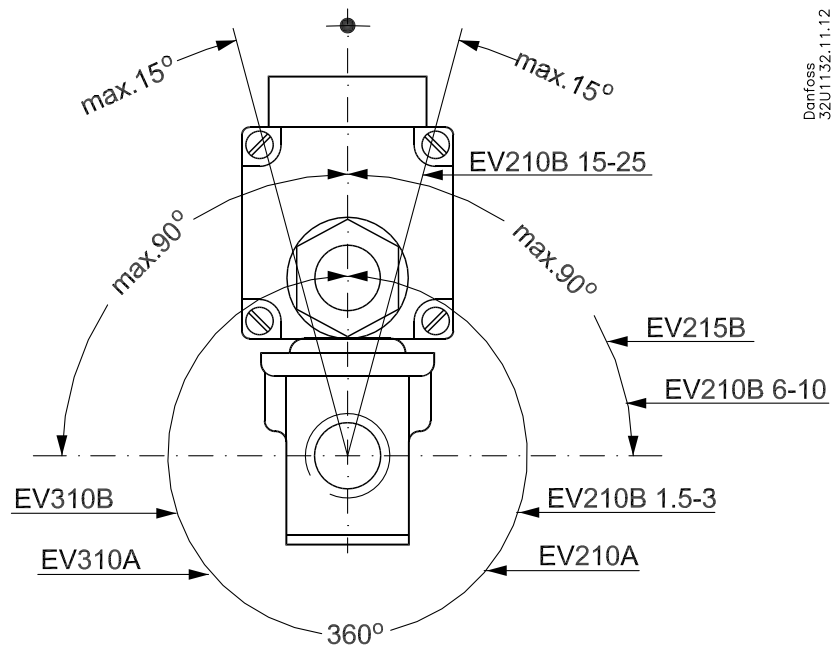
¹⁾ Vapor de baixa pressão de 140 °C / 3.6 bar, orifício DN 1.5 - 4.5.

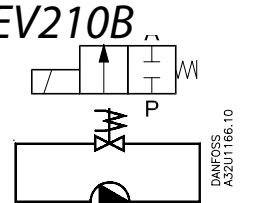
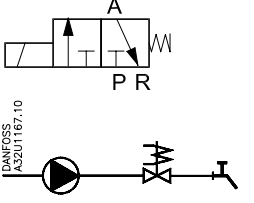
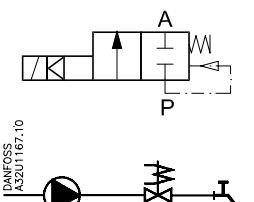
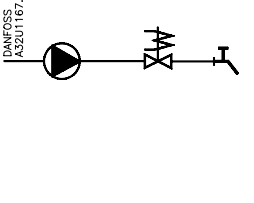
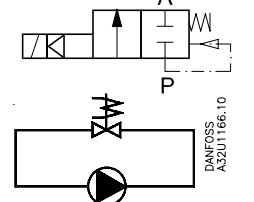
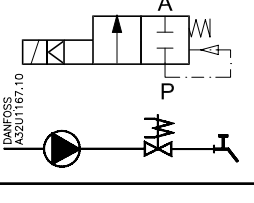
- Vapor de baixa pressão: DN 1.5 - 3 Usar bobina tipo BB ou BG.

DN 4.5 Usar bobina tipo BG.

²⁾ A faixa de pressão pode ser estendida para usar em um vácuo grosso, normalmente até 99% de vácuo (10 mbar), dependendo da aplicação.

Direct-operated valves



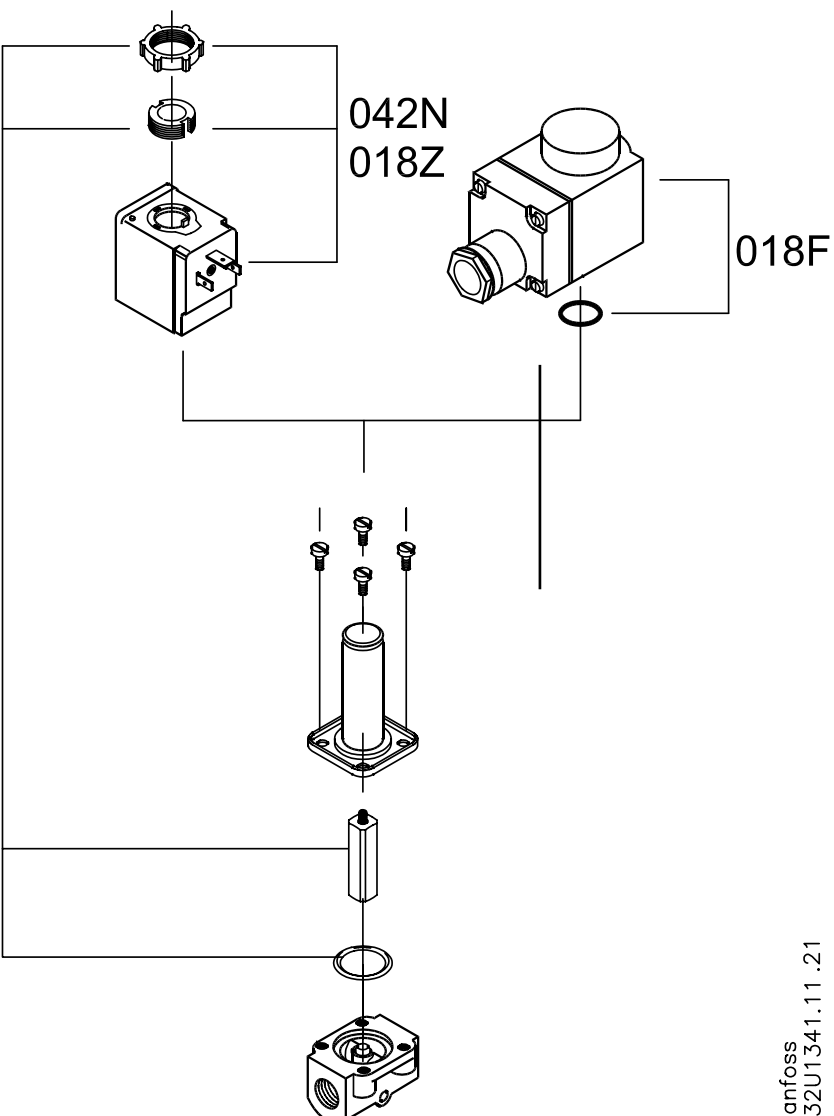
	Medium			
	Air and neutral gases	Water	Oil	Steam
EV210B   <small>DANFOSS A32U1166.10</small>	X	X	X	
EV310B   <small>DANFOSS A32U1167.10</small>	X	X	X	
EV220B   <small>DANFOSS A32U1167.10</small>  	X	X	X	
EV250B   <small>DANFOSS A32U1166.10</small>	X	X	X	X
EV225B   <small>DANFOSS A32U1167.10</small>				X

For other characteristics please see the valve selection guide

Characteristics		Description
Connection [ISO 228/1]	Function	
G 3/8" - G 1"	NC/NO	EV210B covers a wide range of direct-operated 2/2-way solenoid valves for universal use. EV210B is a real robust valve program with high performance and can be used in all kind of tough working conditions.
G 1/8" - G 3/8"	NC/NO	EV310B is a direct-operated 3/2-way solenoid valve. The valve is especially used in connection with air-operated valves to allow air supply and air relief for the air actuator.
G 1/4" - G 1"	NC/NO	EV220B 6-22 is a direct servo-operated 2/2-way solenoid valve program. This program is especially for OEM applications demanding a robust solution and moderate flow rates.
G 1/2" - G 2"	NC/NO	EV220B 15-50 is a universal indirect servo-operated 2/2-way solenoid valve program. Valve body in brass, dezincification resistant brass and stainless steel ensures that a broad variety of applications can be covered.
G 3/8" - G 1"	NC	EV250B with assisted lift is especially to use in closed circuits with low differential pressure, but demanding moderate flow rates. Valve body in DZR brass ensures a long life, even in connection with aggressive steam media.
G 1/4" - G 1"	NC	The EV225B design is based on a PTFE diaphragm and valve body in dezincification resistant brass, ensuring high reliable function and long life even in connection with contaminated steam.

Spare parts set for EV210B NC

The spare parts set contains locking button and nut for coil, armature with valve plate and spring, and O-rings.



EPDM¹⁾ versions

Type	Code no.
EV210B 1.5 - 4.5	032U6000
EV210B 6,8,10	032U2006

FKM¹⁾ versions

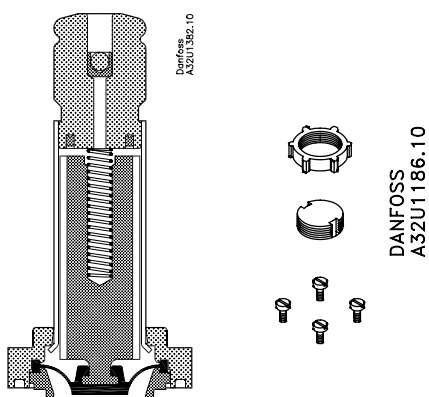
Type	Code no.
EV210B 1.5 - 4.5	032U2003
EV210B 6,8,10	032U2011

¹⁾ See page 20 for description of seal materials

Danfoss
A32U1341.11.21

Isolating diaphragm kit for EV210B 1.5-4.5 NC and EV220B 15-50 NC

Avoids build up of contaminates that can block movement of the armature. Permits use of more aggressive media that would normally attack the armature. Gel filled; guarantees operation after long periods of inactivity.



Seal material	Code no.
EPDM ¹⁾	042U1009
FKM ¹⁾	042U1010

¹⁾ See page 20 for description of seal materials

Anexo IV

Bobina Danfoss 042N7550

Data sheet

Solenoid coils



Danfoss solenoid valves and coils are usually ordered separately to allow maximum flexibility, enabling you to select a valve and coil combination to best suit your needs. The Danfoss coil program consists of both the easy-to-handle Clip-On system and traditional coils with threaded fastener. Also, with approvals such as EEx/ATEX and UL, we offer a wide range of application specific coils for e.g. steam or hazardous areas.

Features

- Encapsulated coils with long operating life, even under extreme conditions
- Standard coils for AC or DC
- Standard coils from 12 V to 400 V, 50, 60 or 50/60 Hz
- Coils can be fitted without use of tools
- Coils can only be removed with use of tools
- Standard coils available with:
 - Cable plugs
 - Industrial plugs
 - Terminal box
 - 3 core cable
 - Junction box
 - Conduit hub

BA, High performance coils



- Ambient temperature: Up to 40 °C
- IP00 version with DIN 43650 A spade connectors
- IP20 version with protective cap
- IP65 version with mounted cable plug

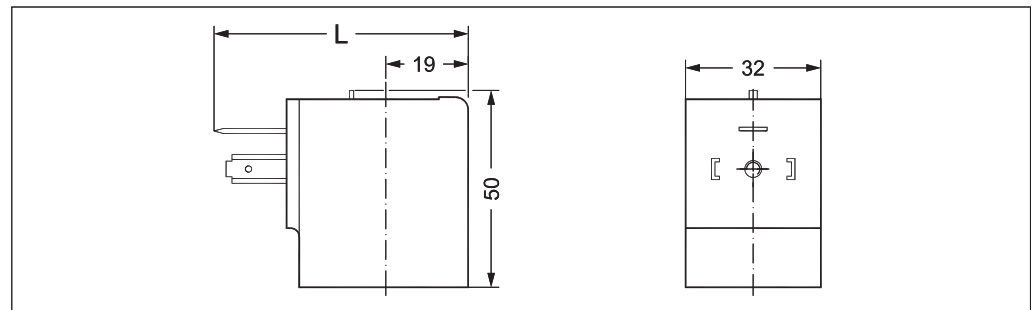
Coil type	Supply voltage		Frequency [Hz]	Power consumption holding [W]	Code no.
	[V AC]	[V DC]			
BA024A	24	–	50	9	042N7508
BA048A	48	–	50	9	042N7510
BA115A	115	–	50	9	042N7512
BA230A	220 – 230	–	50	9	042N7501
BA240A	240	–	50	9	042N7502
BA400A	380 – 400	–	50	9	042N7504
BA024B	24	–	60	9	042N7520
BA115B	115	–	60	9	042N7522
BA220B	220	–	60	9	042N7523
BA012D	–	12	–	15	042N7550
BA024D	–	24	–	15	042N7551

Technical data

Design	In accordance with VDE 0580		
Voltage variation	220/380 V AC	-15%, +10%	
	230/400 V AC	-10%, +6%	
	Other AC coils with NC valve	-15%, +10%	
	Other AC coils with NO valve and all DC	±10%	
Power consumption, cut in	39 VA AC coils only		
Insulation of coil windings	Class H according to IEC 85		
Connection	Spade connector in accordance with DIN 43650 form A		
Enclosure, IEC 529	IP00 with spade connec. IP20 with protective cap, IP65 with cable plug		
Ambient temperature	Max. 40 °C		
Duty rating	Continuous		
Plug type	Cable plug		

Dimensions and weight

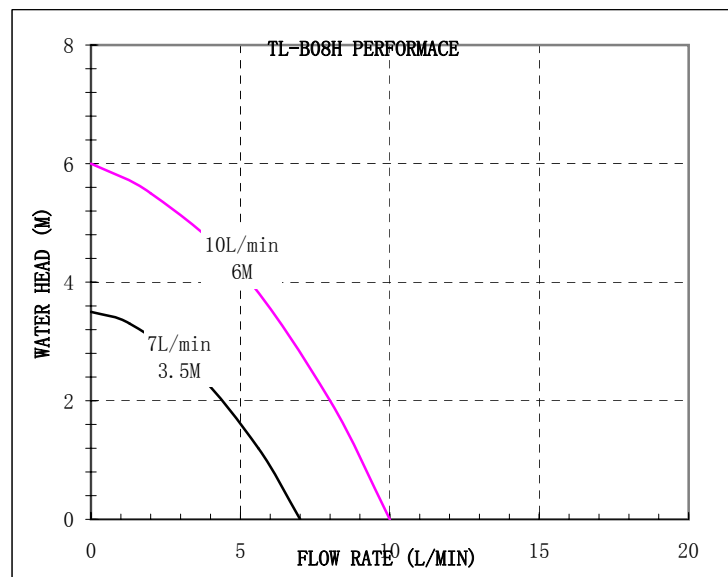
Type	L without cable plug [mm]	L with protective cap [mm]	L with cable plug [mm]	Weight [kg]
BA	54	71	79	0.16



Anexo V

Bomba centrífuga Topsflo B08H121006

TOPSFLO / TL- B08H

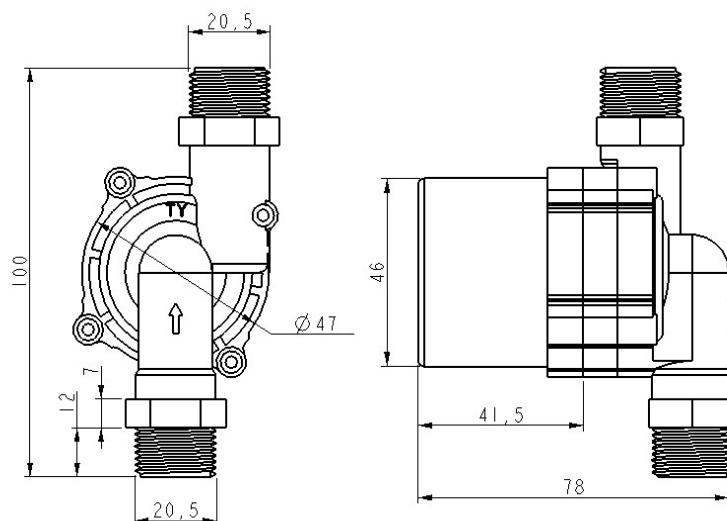


Model	Product Code	Max Flow Rate (L/M)	Rated Voltage (DC)	Current (A)	Max Water Head (M)	Power (W)
TL-B08H (100°C)	TL-B08H-12-0703	7	12VDC	0.9	3.5	11
	TL-B08H-12-1006	10	12VDC	1.6	6	20
	TL-B08H-24-0703	7	24VDC	0.5	3.5	12
	TL-B08H-24-1006	10	24VDC	0.8	6	20
can customize specification of TL-B08H-24-1208, but which only for ≤70°C liquid only						
TL-B08H/PV (100°C)	TL-B08H/PV-12/24-1006	10	12V (8V~26V)	0.8	6	20
	special design low starting, can be powered directly by solar panels, apply for both 12V and 24V voltage					
pump itself meet: I/H/F (high temperature 100°C / food grade) can be customized: S (submersible) ONLY for liquid ≤60°C, ambient temperature≤40°C						

Important Note:

TOPSFLO not confirmation also not recommend the TL-B08H or H/PV pump used for Solar Hot Water System Circulation, for the pump is belong to normal plastic circulation pump (not with specializing enhanced design) which can not meet 10bar system pressure.

TOPSFLO also not responsible for any quality problems happened in short time or years due to usage of this pump for Solar Hot Water System Circulation which usually with system pressure requirements to 10bar, also with all materials requirements should above 200°C,etc

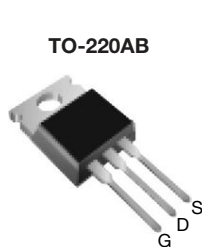


Anexo VI

Transistor IRF540N

Power MOSFET

PRODUCT SUMMARY	
V _{DS} (V)	100
R _{DS(on)} (Ω)	V _{GS} = 10 V 0.077
Q _g (Max.) (nC)	72
Q _{gs} (nC)	11
Q _{gd} (nC)	32
Configuration	Single



FEATURES

- Dynamic dV/dt Rating
- Repetitive Avalanche Rated
- 175 °C Operating Temperature
- Fast Switching
- Ease of Parallelizing
- Simple Drive Requirements
- Compliant to RoHS Directive 2002/95/EC



DESCRIPTION

Third generation Power MOSFETs from Vishay provide the designer with the best combination of fast switching, ruggedized device design, low on-resistance and cost-effectiveness.

The TO-220AB package is universally preferred for all commercial-industrial applications at power dissipation levels to approximately 50 W. The low thermal resistance and low package cost of the TO-220AB contribute to its wide acceptance throughout the industry.

ORDERING INFORMATION	
Package	TO-220AB
Lead (Pb)-free	IRF540PbF SiHF540-E3
SnPb	IRF540 SiHF540

ABSOLUTE MAXIMUM RATINGS (T _C = 25 °C, unless otherwise noted)				
PARAMETER		SYMBOL	LIMIT	UNIT
Drain-Source Voltage		V _{DS}	100	V
Gate-Source Voltage		V _{GS}	± 20	
Continuous Drain Current	V _{GS} at 10 V	T _C = 25 °C	28	A
		T _C = 100 °C	20	
Pulsed Drain Current ^a		I _{DM}	110	
Linear Derating Factor			1.0	W/°C
Single Pulse Avalanche Energy ^b		E _{AS}	230	mJ
Repetitive Avalanche Current ^a		I _{AR}	28	A
Repetitive Avalanche Energy ^a		E _{AR}	15	mJ
Maximum Power Dissipation	T _C = 25 °C	P _D	150	W
Peak Diode Recovery dV/dt ^c		dV/dt	5.5	V/ns
Operating Junction and Storage Temperature Range		T _J , T _{stg}	- 55 to + 175	°C
Soldering Recommendations (Peak Temperature)	for 10 s		300 ^d	
Mounting Torque	6-32 or M3 screw		10	lbf · in
			1.1	N · m

Notes

- Repetitive rating; pulse width limited by maximum junction temperature (see fig. 11).
- V_{DD} = 25 V, starting T_J = 25 °C, L = 440 μH, R_g = 25 Ω, I_{AS} = 28 A (see fig. 12).
- I_{SD} ≤ 28 A, dI/dt ≤ 170 A/μs, V_{DD} ≤ V_{DS}, T_J ≤ 175 °C.
- 1.6 mm from case.

* Pb containing terminations are not RoHS compliant, exemptions may apply

IRF540, SiHF540

Vishay Siliconix



THERMAL RESISTANCE RATINGS

PARAMETER	SYMBOL	TYP.	MAX.	UNIT
Maximum Junction-to-Ambient	R_{thJA}	-	62	°C/W
Case-to-Sink, Flat, Greased Surface	R_{thCS}	0.50	-	
Maximum Junction-to-Case (Drain)	R_{thJC}	-	1.0	

SPECIFICATIONS ($T_J = 25^\circ\text{C}$, unless otherwise noted)

PARAMETER	SYMBOL	TEST CONDITIONS	MIN.	TYP.	MAX.	UNIT
Static						
Drain-Source Breakdown Voltage	V_{DS}	$V_{GS} = 0 \text{ V}$, $I_D = 250 \mu\text{A}$	100	-	-	V
V_{DS} Temperature Coefficient	$\Delta V_{DS}/T_J$	Reference to 25°C , $I_D = 1 \text{ mA}$	-	0.13	-	$^\circ\text{C}/\text{C}$
Gate-Source Threshold Voltage	$V_{GS(\text{th})}$	$V_{DS} = V_{GS}$, $I_D = 250 \mu\text{A}$	2.0	-	4.0	V
Gate-Source Leakage	I_{GSS}	$V_{GS} = \pm 20 \text{ V}$	-	-	± 100	nA
Zero Gate Voltage Drain Current	I_{DSS}	$V_{DS} = 100 \text{ V}$, $V_{GS} = 0 \text{ V}$	-	-	25	μA
		$V_{DS} = 80 \text{ V}$, $V_{GS} = 0 \text{ V}$, $T_J = 150^\circ\text{C}$	-	-	250	
Drain-Source On-State Resistance	$R_{DS(\text{on})}$	$V_{GS} = 10 \text{ V}$	$I_D = 17 \text{ A}^b$	-	-	Ω
Forward Transconductance	g_{fs}	$V_{DS} = 50 \text{ V}$	$I_D = 17 \text{ A}^b$	8.7	-	-
Dynamic						
Input Capacitance	C_{iss}	$V_{GS} = 0 \text{ V}$, $V_{DS} = 25 \text{ V}$, $f = 1.0 \text{ MHz}$, see fig. 5	-	1700	-	pF
Output Capacitance	C_{oss}		-	560	-	
Reverse Transfer Capacitance	C_{rss}		-	120	-	
Total Gate Charge	Q_g	$V_{GS} = 10 \text{ V}$	$I_D = 17 \text{ A}$, $V_{DS} = 80 \text{ V}$, see fig. 6 and 13 ^b	-	-	72
Gate-Source Charge	Q_{gs}			-	-	11
Gate-Drain Charge	Q_{gd}			-	-	32
Turn-On Delay Time	$t_{d(on)}$			-	11	-
Rise Time	t_r	$V_{DD} = 50 \text{ V}$, $I_D = 17 \text{ A}$ $R_g = 9.1 \Omega$, $R_D = 2.9 \Omega$, see fig. 10 ^b	$R_g = 9.1 \Omega$, $R_D = 2.9 \Omega$, see fig. 10 ^b	-	44	-
Turn-Off Delay Time	$t_{d(off)}$			-	53	-
Fall Time	t_f			-	43	-
Internal Drain Inductance	L_D	Between lead, 6 mm (0.25") from package and center of die contact		-	4.5	-
Internal Source Inductance	L_S			-	7.5	-
Drain-Source Body Diode Characteristics						
Continuous Source-Drain Diode Current	I_S	MOSFET symbol showing the integral reverse p-n junction diode		-	-	28
Pulsed Diode Forward Current ^a	I_{SM}			-	-	110
Body Diode Voltage	V_{SD}	$T_J = 25^\circ\text{C}$, $I_S = 28 \text{ A}$, $V_{GS} = 0 \text{ V}^b$	$T_J = 25^\circ\text{C}$, $I_F = 17 \text{ A}$, $dI/dt = 100 \text{ A}/\mu\text{s}^b$	-	-	2.5
Body Diode Reverse Recovery Time	t_{rr}			-	180	360
Body Diode Reverse Recovery Charge	Q_{rr}			-	1.3	2.8
Forward Turn-On Time	t_{on}	Intrinsic turn-on time is negligible (turn-on is dominated by L_S and L_D)				

Notes

- a. Repetitive rating; pulse width limited by maximum junction temperature (see fig. 11).
- b. Pulse width $\leq 300 \mu\text{s}$; duty cycle $\leq 2\%$.

Anexo VII

Servo-motor TowerPro MG995

TowerPro MG995 Servo

Basic Information

Modulation:	Digital
Torque:	4.8V: 130.5 oz-in (9.40 kg-cm) 6.0V: 152.8 oz-in (11.00 kg-cm)
Speed:	4.8V: 0.20 sec/60° 6.0V: 0.16 sec/60°
Weight:	1.94 oz (55.0 g)
Dimensions:	Length: 1.60 in (40.7 mm) Width: 0.78 in (19.7 mm) Height: 1.69 in (42.9 mm)
Motor Type:	3-pole
Gear Type:	Metal
Rotation/Support:	? (add)



Special Notes

- This servo can be purchased with 180 or 360 degree rotation for robotics applications.

Brand: [Tower pro](#)

Product Number: ? (add)

Suggested Retail: ? (add)

Street Price: 8.50 USD

Compare: [add](#)

Additional Specifications

Rotational Range:	? (add)
Pulse Cycle:	1 ms
Pulse Width:	? (add)
Connector Type:	JR

User Reviews

Number of Reviews: 18

Average Rating: 2.7 / 5.0